

REGIONE CALABRIA

COMUNE DI S. AGATA D'ESARO

PROVINCIA DI COSENZA

DIPARTIMENTO 5
INFRASTRUTTURE, LAVORI PUBBLICI, MOBILITA'

D.L. n° 104 del 12/09/2013, convertito, con modificazioni dalla Legge n° 128 del 08/11/2013
MISURE URGENTI IN MATERIA DI ISTRUZIONE, UNIVERSITA' E RICERCA.
AVVISO PUBBLICO per L'ACCESSO A FINANZIAMENTI IN MATERIA DI EDILIZIA SCOLASTICA
approvato con decreto n° 1107 DEL 23/02/2015

**PROGETTO DEFINITIVO ED ESECUTIVO DEI LAVORI VOLTI AL
MIGLIORAMENTO DELLA PALESTRA SCOLASTICA DI
PROPRIETA' COMUNALE**

PROGETTAZIONE E DIREZIONE LAVORI:

ING. Carlo BUFANO
ING. Gian Carlo RAIMONDO
ING. Francesca LAISE

COMMITTENTE:

AMMINISTRAZIONE COMUNALE

ELABORATO :

**FASCICOLO DEI CALCOLI CORPO A
- STATO DI FATTO -**

TAVOLA :

**PDE
22**

SCALA :

AGGIORNAMENTI :	DATA
Gennaio	2018

STATO DI FATTO CORPO A

Fascicolo dei calcoli

- a.** Risposta strutturale modello di Calcolo
- b.** Verifica delle travi di Fondazione Old
- c.** Verifica dei pilastri Old
- d.** Verifica delle travi Old

FASCICOLO DEI CALCOLI

(RISPOSTA STRUTTURALE MODELLO DI CALCOLO)

DIMOSTRAZIONE NUMERICA DELLA SICUREZZA DELL'OPERA E DEL RAGGIUNGIMENTO DELLE PRESTAZIONI ATTESE

INDICE:

PRESENTAZIONE DEI RISULTATI	4
TABULATI DI INPUT	7
Dati generali	7
Impalcati	7
Percentuali Spostamento masse impalcati	7
Combinazioni del Sisma in X e Y e Verticale	7
Spettri di risposta	8
Caratteristiche del terreno	9
Materiali	10
Nodi - Geometria e vincoli	11
Input - Aste - Tabella sezioni tipo	14
Aste - Geometria e vincoli	14
Aste - Carichi	27
Pareti - geometria e vincoli	39
Muri - Carichi	40
Tabella solai tipo	41
Dati solai	41
TABULATI DI VERIFICA	43
Risultati Analisi Dinamica - Baricentri masse e masse	43
Verifica Degli Spostamenti Relativi	44
Risultati Analisi Dinamica - Massime tensioni sul terreno aste	45
Risultati Analisi Dinamica - Sollecitazioni massime - Sigma terreno platea	45
Risultati Analisi Dinamica - Spostamenti massimi - Nodi	59
Risultati Analisi Dinamica - Reazioni massime - Nodi	63
Risultati Analisi Dinamica - Sollecitazioni massime - Involuppi - Travi	64
Risultati Analisi Dinamica - Sollecitazioni massime - Involuppi - Pilastrini	67
Risultati Analisi Dinamica - Sollecitazioni massime - Involuppi - Travi di fondazione	69
Risultati Analisi Dinamica - Sollecitazioni massime - Involuppi - Aste generiche	71
Risultati Analisi Dinamica - Sollecitazioni Massime - Muri discretizzati	77
VERIFICHE STATO LIMITE ULTIMO	91
VERIFICHE STATO LIMITE DI ESERCIZIO	91

Il Progettista

MODELLAZIONE

La struttura è costituita da diversi elementi distinti, in base alla loro funzione, in

[lista elementi del modello]

I livelli di sicurezza scelti dal Committente e dal Progettista in funzione del tipo e dell'uso della struttura, nonché in funzione delle conseguenze del danno, con riguardo a persone, beni, e possibile turbativa sociale, compreso il costo delle opere necessarie per la riduzione del rischio di danno o di collasso, hanno indirizzato al progetto di una struttura con i seguenti requisiti:

- ? sicurezza nei confronti degli Stati Limite Ultimi (SLU)
- ? sicurezza nei confronti degli Stati Limite di Esercizio (SLE)
- ? sicurezza nei confronti di deformazioni permanenti inaccettabili: Stato Limite di Danno (SLD).

La struttura è stata schematizzata con un modello spaziale agli elementi finiti che tengono conto dell'effettivo stato deformativo e di sollecitazione, secondo l'effettiva realizzazione. I vincoli esterni della struttura sono stati caratterizzati, a seconda degli elementi in fondazione se presenti, con: travi winkler, plinti diretti, plinti su pali, platee; ovvero con vincoli perfetti di incastro, appoggio, carrello, ecc. I vincoli interni sono stati schematizzati secondo le sollecitazioni mutuamente scambiate tra gli elementi strutturali, inserendo, ove opportuno, il rilascio di alcune caratteristiche della sollecitazione per schematizzare il comportamento di vincoli interni non iperstatici (cerniere, carrelli, ecc.). Il modello agli elementi finiti è stato calcolato tenendo conto dell'interazione tra strutture in fondazione e strutture in elevazione, consentendo un'accurata distribuzione delle azioni statiche e sismiche; il calcolo viene eseguito considerando il comportamento elastico lineare della struttura. I solai sono schematizzati come aree di carico, sulle quali vengono definiti i carichi permanenti (QP Solai), carichi fissi (QFissi Solai) e variabili (QV solai); tali carichi vengono assegnati alle aste in modo automatico in relazione all'influenza delle diverse aree di carico. Le masse corrispondenti ai carichi variabili sui solai nelle combinazioni sismiche vengono trattate in maniera automatica mediante un coefficiente moltiplicativo definito insieme alla tipologia del solaio.

Il modello utilizzato è stato valutato alla luce dei diversi scenari di carico a cui viene sottoposta la struttura durante la sua costruzione e la sua vita, atto a garantire la sicurezza e la durabilità della stessa. Per la tipologia strutturale affrontata non è stato necessario definire scenari di contingenza, quindi non è stata schematizzata la struttura durante le fasi costruttive, e si ritiene che non ci siano variazioni del modello di calcolo e degli schemi di vincolo, durante la vita dell'opera. Per il dettaglio degli scenari di calcolo si faccia riferimento alla "Relazione di Calcolo"

Il progetto e la verifica degli elementi strutturali è stato effettuato seguendo la teoria degli Stati limite. I parametri relativi alle verifiche effettuate sono riportati nella Relazione di Calcolo.

Il solutore agli elementi finiti impiegato nell'analisi è SpaceSolver, per il calcolo di strutture piane e spaziali schematizzabili da un insieme di elementi finiti tipo

- ? BEAM,
- ? PLATE-SHELL,
- ? WINK,
- ? BOUNDARY,

interagenti tra loro attraverso i nodi, con la possibilità di tenere in conto tutti i possibili disassamenti, mediante l'introduzione di concetti rigidi e traslazioni degli elementi bidimensionali. Il solutore lavora in campo elastico lineare, si basa sulle routines di Matlab ed è stato sviluppato in collaborazione con l'Università di Roma – Tor Vergata. Il solutore offre la possibilità di risolvere anche travi su suolo alla Winkler con molle spalmate sull'intera suola, anziché sul solo asse, plinti diretti e su pali, pali singoli, platee, piastre sottili e spesse con controllo delle rotazioni attorno all'asse normale alla piastra (drilling). Inoltre, per gli elementi BEAM considera il centro di taglio e non il baricentro.

L'affidabilità del solutore è stata testata su una serie di esempi campioni calcolati con altri procedimenti o con formule note, di cui si rende disponibile la documentazione.

AFFIDABILITA' DEI CODICI UTILIZZATI

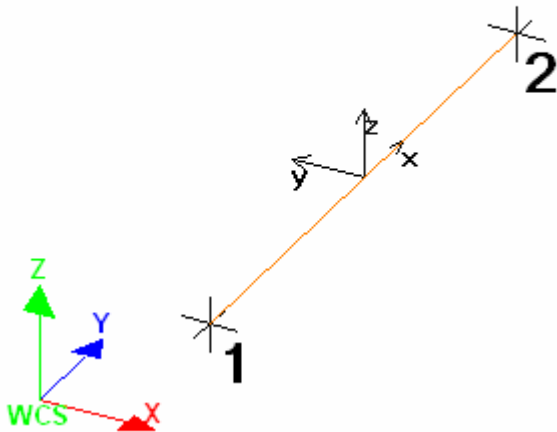
Il programma è dotato di una serie di filtri di auto diagnostica che segnalano i seguenti eventi:

- ? labilità della struttura
- ? assenza di masse
- ? nodi collegati ad aste nulle
- ? mancanza di terreno sugli elementi in fondazione
- ? controllo sull'assegnazione dei nodi all'impalcato
- ? correttezza degli spettri di progetto
- ? fattori di partecipazione modali
- ? assegnazione dei criteri di verifica agli elementi
- ? numerazione degli elementi strutturali
- ? congruenza delle connessioni tra elementi shell
- ? congruenza delle aree di carico
- ? definizione delle caratteristiche d'inerzia delle sezioni
- ? presenza del magrone sotto la travi tipo wink
- ? elementi non verificati per semi progetto allo SLU, con inserimento automatico delle armature secondo i criteri di verifica.
- ? elementi non verificati allo SLU per armature già inserite nell'elemento strutturale
- ? elementi non verificati allo SLE per armature già inserite nell'elemento strutturale

PRESENTAZIONE DEI RISULTATI

I disegni dello schema statico adottato sono riportati nel fascicolo allegato alla presente relazione

E' stato impiegato il Sistema Internazionale per le unità di misura, con riferimento al daN per le forze.



Il sistema di riferimento globale rispetto al quale è stata riferita l'intera struttura è una terna di assi cartesiani sinistrorsa OXYZ (X,Y, e Z sono disposti e orientati rispettivamente secondo il pollice, l'indice ed il medio della mano destra, una volta posizionati questi ultimi a 90° tra loro).

La terna di riferimento locale per un'asta è pure una terna sinistrorsa O'xyz che ha l'asse x orientato dal nodo iniziale I dell'asta verso il nodo finale J e gli assi y e z diretti secondo gli assi geometrici della sezione con l'asse y orizzontale e orientato in modo da portarsi a coincidere con l'asse x a mezzo di una rotazione oraria di 90° e l'asse z di conseguenza.

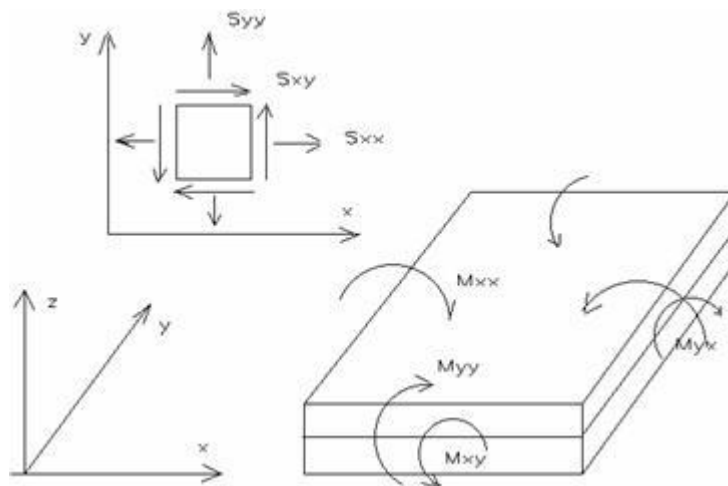
Per un'asta comunque disposta nello spazio la sua terna locale è orientata in modo tale da portarsi a coincidere con la terna globale a mezzo di rotazioni orarie degli assi locali inferiori a 180°.

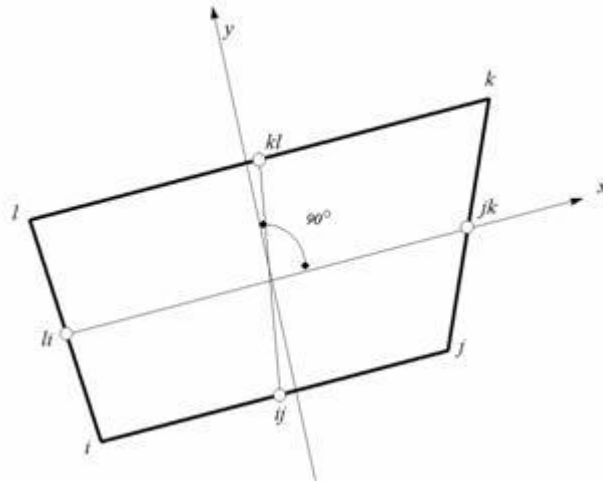
- ? Le forze, sia sulle aste che sulle pareti o lastre, sono positive se opposte agli assi locali;
- ? Le forze nodali sono positive se opposte agli assi globali;
- ? Le coppie sono positive se sinistrorse.

Le caratteristiche di sollecitazione sono positive se sulla faccia di normale positiva sono rappresentate da vettori equiversi agli assi di riferimento locali; in particolare il vettore momento positivo rappresenta una coppia che ruota come le dita della mano destra che si chiudono quando il pollice è equi verso all'asse locale.

- ? Le traslazioni sono positive se concorde con gli assi globali;
- ? Le rotazioni sono positive se sinistrorse.

Il sistema di riferimento locale per gli elementi bidimensionali è quello riportato in figura





La terna locale per l'elemento shell è costituita dall'asse x locale che va dal nodo li al nodo jk, l'asse y è diretto secondo il piano dell'elemento e orientato verso il nodo l e l'asse z di conseguenza in modo da formare la solita terna sinistrorsa. L'asse z locale rappresenta la normale positiva all'elemento. Le sollecitazioni dell'elemento sono:

a) sforzi membranali.

$$S_{xx} = s_x$$

$$S_{yy} = s_y$$

$$S_{xy} = t_{xy}$$

b) sforzi flessionali:

M_{xx} momento flettente che genera s_x , cioè intorno ad y.

M_{yy} momento flettente che genera s_y , cioè intorno ad x

M_{xy} momento torcente che genera t_{xy} .

Le sollecitazioni principali dell'elemento sono:

$$M_{1,2} = \frac{M_{xx} + M_{yy}}{2} \pm \sqrt{\left(\frac{M_{xx} - M_{yy}}{2}\right)^2 + M_{xy}^2}$$

$$S_{1,2} = \frac{S_{xx} + S_{yy}}{2} \pm \sqrt{\left(\frac{S_{xx} - S_{yy}}{2}\right)^2 + S_{xy}^2}$$

$$\tan 2\theta = \frac{M_{xy}}{M_{xx} - M_{yy}}$$

dove θ è l'angolo formato dagli assi principali di M_1 e M_2 con quelli di riferimento e

$$\tan 2\psi = \frac{S_{xy}}{S_{xx} - S_{yy}}$$

dove ψ è l'angolo formato dagli assi principali di S_1 e S_2 con quelli di riferimento

L'elemento shell usato come piastra dà i momenti flettenti e non i tagli in direzione ortogonale all'elemento che possono ottenersi come derivazione dei momenti flettenti;

$$T_{zx} = M_{xx,x} + M_{xy,y}$$

$$T_{zy} = M_{xy,y} + M_{yy,y}$$

quando invece viene usato come lastra ci restituisce una 's' costante ed una 't' costante non adatti a rappresentare momenti flettenti, ma solo sforzi normali e tagli nel piano della lastra.

I tabulati di calcolo contengono due sezioni principali: la descrizione del modello di calcolo e la presentazione dei risultati.

La descrizione del modello di calcolo contiene:

- ? i dati generali (dimensioni)
- ? le coordinate nodali;
- ? i vincoli dei nodi e i vincoli interni delle aste, con le eventuali sconessioni;
- ? le caratteristiche sezionali;
- ? le caratteristiche dei solai;
- ? le caratteristiche delle aste;
- ? i carichi sulle aste, sui nodi e sui muri (inclusa la distribuzione delle distorsioni impresse, e delle variazioni e dei gradienti di temperatura);
- ? configurazione di sistemi che introducono stati coattivi;
- ? le caratteristiche dei materiali;
- ? legami costitutivi e criteri di verifica;
- ? le condizioni di carico;

La stampa dei risultati contiene:

- ? le combinazioni dei carichi;
- ? le forze sismiche agenti sulla struttura;
- ? gli spostamenti d'impalcato, se l'impalcato è rigido;
- ? gli spostamenti nodali;
- ? le sollecitazioni sulle membrature per ogni combinazione di carico;
- ? la sollecitazione sul terreno sotto travi di fondazione o platee;
- ? deformate;
- ? diagrammi sollecitazioni;

TABULATI DI INPUT

Dati generali

Nome struttura	
Fattore rigidezza assiale pilastri	1
Numero di frequenze	30
% Filtro masse libere	0.1
% Coefficiente di smorzamento viscoso	5
Spostamenti modali con segno	Si
Deformabilità a taglio delle aste	Si
Spostamento ammissibile impalcati	0.0100*h

Impalcati

N°	Quota mm	Rigido	Incr.Soll.Pil	Inc.Soll.Par.
0	0	No	1.000	1.000
1	6250	Si	1.000	1.000
2	15600	No	1.000	1.000

Percentuali Spostamento masse impalcati

Posizione	% Spostamento direzione X	% Spostamento direzione Y
1	0	-5
2	5	0
3	0	5
4	-5	0

Combinazioni del Sisma in X e Y e Verticale

Comb	Pos. SismaX	Pos. SismaY	Fx	Fy	Fz
1	1	2	1	0.3	0
2	1	2	0.3	1	0
3	1	4	1	0.3	0
4	1	4	0.3	1	0
5	3	2	1	0.3	0
6	3	2	0.3	1	0
7	3	4	1	0.3	0
8	3	4	0.3	1	0

Comb. = Numero di combinazione dei sismi

Pos. SismaX = Posizione in cui viene scelto il sisma in direzione X

Pos. SismaY = Posizione in cui viene scelto il sisma in direzione Y

Fx = Fattore con cui il sisma X partecipa

Fy = Fattore con cui il sisma Y partecipa

Fz = Fattore con cui il sisma Verticale partecipa (quando richiesto)

Ogni combinazione genera al massimo 8 sotto-combinazioni in base a tutte le combinazioni possibili dei segni di Fx ed Fy ed Fz

Spettri di risposta

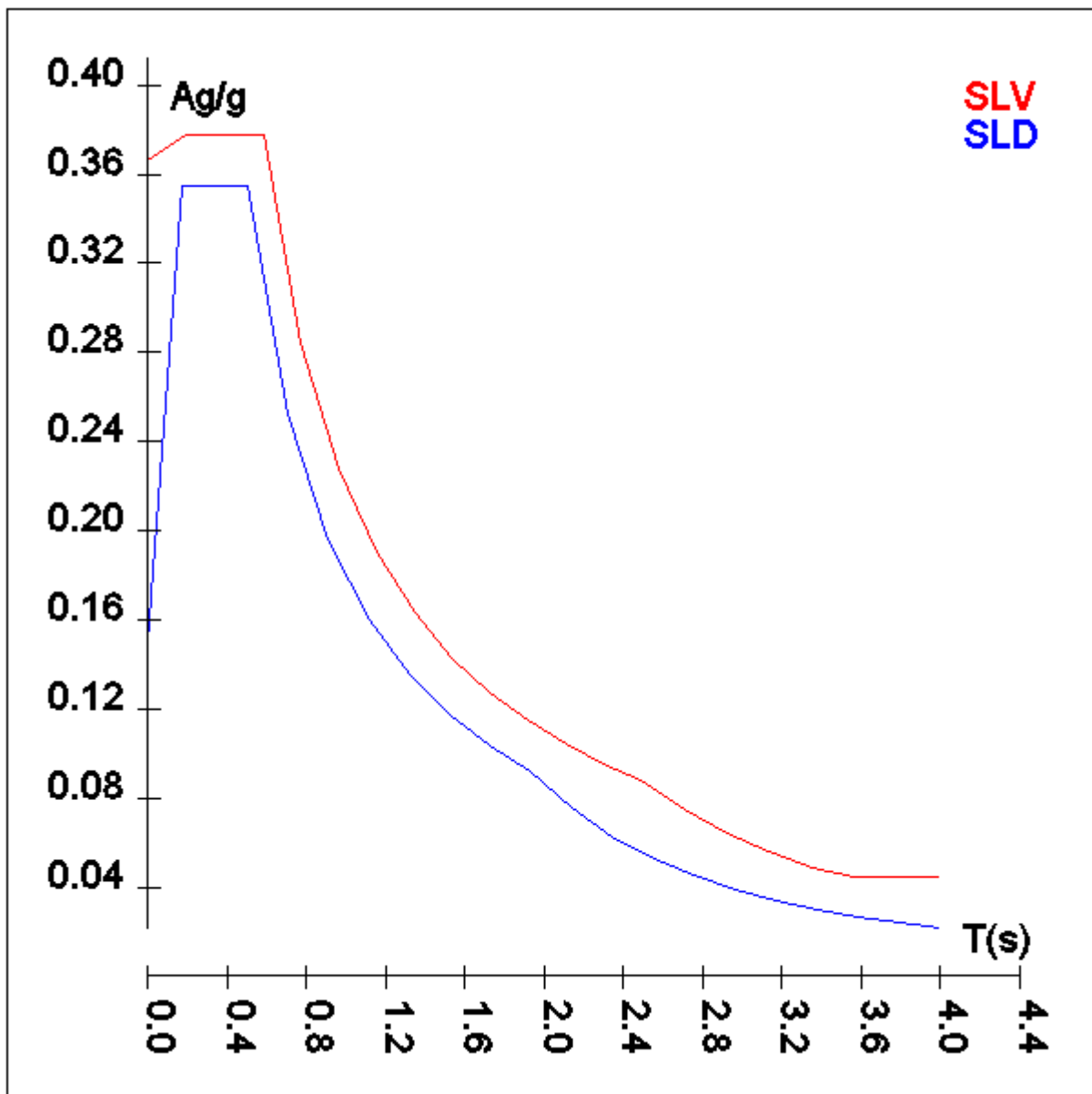
Spettro :SpettroNT Sisma

Il calcolo degli spettri e del fattore di struttura sono stati calcolati per la seguente tipologia di terreno e struttura

Vita della struttura	
Tipo	Opere ordinarie (50-100) 50 - 100 anni
Vita nominale(anni)	50.0
Classe d'uso	Classe III
Coefficiente d'uso	1.500
Periodo di riferimento(anni)	75.000
Stato limite di esercizio - SLD	PVR=63.0%
Stato limite ultimo - SLV	PVR=10.0%
Periodo di ritorno SLD(anni)	TR=75.4
Periodo di ritorno SLV(anni)	TR=711.8
Parametri del sito	
Comune	Sant'Agata di Esaro - (CS)
Longitudine	15.9842
Latitudine	39.6221
Id reticolo del sito	38333-38555-38556-38334
Valori di riferimento del sito	
Ag/g(TR=75.4) SLD	0.0829
F0(TR=75.4) SLD	2.3769
T* C(TR=75.4) SLD	0.333
Ag/g(TR=711.8) SLV	0.2230
F0(TR=711.8) SLV	2.4722
T* C(TR=711.8) SLV	0.415
Coefficiente Amplificazione Topografica	St=1.200
Categoria terreno C	
stato limite SLV	
	S=1.37
	TB=0.19
	TC=0.58
	TD=2.49
stato limite SLD	
	S=1.50
	TB=0.17
	TC=0.50
	TD=1.93
Fattore di struttura (SLV)	
Classe duttilità	B
Tipo struttura	Calcestruzzo
Struttura non regolare in altezza	Kr=0.800000
	Kw=1.000
Regolare in pianta	NO (cfr.NTC7.3.1)
Tipologia : struttura a pareti non accoppiate	Ce=3.000
Fattore di struttura $q=Kw*Kr*Ce$	2.400

	TSLV [s]	SLV[a/g]	TSLD [s]	SLD[a/g]
	0.00000	0.36639	0.00000	0.14926
	0.19421	0.37741	0.16758	0.35476
	0.58262	0.37741	0.50274	0.35476
	0.77356	0.28425	0.70687	0.25231
	0.96449	0.22798	0.91101	0.19577
	1.15542	0.19031	1.11514	0.15994

1.34635	0.16332	1.31928	0.13519
1.53729	0.14303	1.52341	0.11707
1.72822	0.12723	1.72755	0.10324
1.91915	0.11457	1.93168	0.09233
2.11008	0.10421	2.13852	0.07533
2.30102	0.09556	2.34535	0.06263
2.49195	0.08824	2.55218	0.05289
2.70739	0.07475	2.75901	0.04526
2.92282	0.06414	2.96584	0.03917
3.13826	0.05564	3.17267	0.03423
3.35369	0.04872	3.37951	0.03017
3.56913	0.04460	3.58634	0.02679
3.78456	0.04460	3.79317	0.02394
4.00000	0.04460	4.00000	0.02153



Caratteristiche del terreno

Terreno- Cost.Winkler=8.00 kg/cm Falda assente										
Strato n°	Spessore	γ	γ_{Sat}	ϕ	Addensato	OCR	Coesione	Cu	E	ν
	cm	kg/mc	kg/mc	°			kg/cmq	kg/cmq	kg/cmq	
1	600	1600	2000	28	No	--	0.00	0.00	1E02	0.30

Materiali

Materiale: C25/30		
Peso specifico	kg/mc	2500
Modulo di Young E	kg/cm ²	3E05
Modulo di Poisson ν		0.13
Coefficiente di dilatazione termica λ	1/°C	1e-005

Materiale: Acciaio		
Peso specifico	kg/mc	7850
Modulo di Young E	kg/cm ²	2E06
Modulo di Poisson ν		0.30
Coefficiente di dilatazione termica λ	1/°C	1.2e-005

Materiale: Legno		
Peso specifico	kg/mc	800
Modulo di Young E	kg/cm ²	1E05
Modulo di Poisson ν		0.40
Coefficiente di dilatazione termica λ	1/°C	5e-006

Materiale: C32/40		
Peso specifico	kg/mc	2500
Modulo di Young E	kg/cm ²	3E05
Modulo di Poisson ν		0.13
Coefficiente di dilatazione termica λ	1/°C	1e-005

Materiale: ClsRcm 32		
Peso specifico	kg/mc	2500
Modulo di Young E	kg/cm ²	3E05
Modulo di Poisson ν		0.13
Coefficiente di dilatazione termica λ	1/°C	1e-005

Materiale: ClsRcm 35		
Peso specifico	kg/mc	2500
Modulo di Young E	kg/cm ²	3E05
Modulo di Poisson ν		0.13
Coefficiente di dilatazione termica λ	1/°C	1e-005

Materiale: ClsRcm 39		
Peso specifico	kg/mc	2500
Modulo di Young E	kg/cm ²	3E05
Modulo di Poisson ν		0.13
Coefficiente di dilatazione termica λ	1/°C	1e-005

Nodi - Geometria e vincoli

Nodo	X	Y	Z	Tx	Ty	Tz	Rx	Ry	Rz	Impalcato
	Coordinate [mm]			Vincoli						
0	3700	13900	0	1	1	0	0	0	1	0
0	25900	13900	0	1	1	0	0	0	1	0
1	0	0	0	1	1	0	0	0	1	0
2	3700	0	0	1	1	0	0	0	1	0
3	7400	0	0	1	1	0	0	0	1	0
4	11100	0	0	1	1	0	0	0	1	0
5	14800	0	0	1	1	0	0	0	1	0
6	18500	0	0	1	1	0	0	0	1	0
7	22200	0	0	1	1	0	0	0	1	0
8	25900	0	0	1	1	0	0	0	1	0
9	0	17500	0	1	1	0	0	0	1	0
10	3700	17500	0	1	1	0	0	0	1	0
11	7400	17500	0	1	1	0	0	0	1	0
12	11100	17500	0	1	1	0	0	0	1	0
13	14800	17500	0	1	1	0	0	0	1	0
13	7400	1600	0	1	1	0	0	0	1	0
13	7400	-1500	0	1	1	0	0	0	1	0
14	11100	1600	0	1	1	0	0	0	1	0
14	11100	-1500	0	1	1	0	0	0	1	0
14	18500	17500	0	1	1	0	0	0	1	0
15	22200	17500	0	1	1	0	0	0	1	0
15	14800	-1500	0	1	1	0	0	0	1	0
15	14800	1600	0	1	1	0	0	0	1	0
16	18500	1600	0	1	1	0	0	0	1	0
16	25900	17500	0	1	1	0	0	0	1	0
17	22200	1600	0	1	1	0	0	0	1	0
21	7400	19000	0	1	1	0	0	0	1	0
22	11100	19000	0	1	1	0	0	0	1	0
23	3700	-1500	0	1	1	0	0	0	1	0
23	18500	-1500	0	1	1	0	0	0	1	0
23	14800	19000	0	1	1	0	0	0	1	0
23	7400	-3500	0	1	1	0	0	0	1	0
23	3700	1600	0	1	1	0	0	0	1	0
24	11100	-3500	0	1	1	0	0	0	1	0
24	22200	-1500	0	1	1	0	0	0	1	0
25	14800	-3500	0	1	1	0	0	0	1	0
27	25900	1600	0	1	1	0	0	0	1	0
31	3700	19000	0	1	1	0	0	0	1	0
31	18500	19000	0	1	1	0	0	0	1	0
31	7400	21000	0	1	1	0	0	0	1	0
32	11100	21000	0	1	1	0	0	0	1	0
32	22200	19000	0	1	1	0	0	0	1	0
33	18500	-3500	0	1	1	0	0	0	1	0
33	3700	-3500	0	1	1	0	0	0	1	0
33	14800	21000	0	1	1	0	0	0	1	0
34	22200	-3500	0	1	1	0	0	0	1	0
34	25900	-1500	0	1	1	0	0	0	1	0
41	3700	21000	0	1	1	0	0	0	1	0
41	18500	21000	0	1	1	0	0	0	1	0
42	25900	19000	0	1	1	0	0	0	1	0
42	22200	21000	0	1	1	0	0	0	1	0
44	25900	-3500	0	1	1	0	0	0	1	0
52	25900	21000	0	1	1	0	0	0	1	0
101	0	0	6250	0	0	0	0	0	0	1
102	3700	0	6250	0	0	0	0	0	0	1
103	7400	0	6250	0	0	0	0	0	0	1

Nodo	X	Y	Z	Tx	Ty	Tz	Rx	Ry	Rz	Impalcato
104	11100	0	6250	0	0	0	0	0	0	1
105	14800	0	6250	0	0	0	0	0	0	1
106	18500	0	6250	0	0	0	0	0	0	1
107	22200	0	6250	0	0	0	0	0	0	1
108	25900	0	6250	0	0	0	0	0	0	1
109	0	17500	6250	0	0	0	0	0	0	1
110	3700	17500	6250	0	0	0	0	0	0	1
111	7400	17500	6250	0	0	0	0	0	0	1
112	11100	17500	6250	0	0	0	0	0	0	1
113	14800	17500	6250	0	0	0	0	0	0	1
113	7400	15900	0	1	1	0	0	0	1	0
114	18500	17500	6250	0	0	0	0	0	0	1
114	11100	15900	0	1	1	0	0	0	1	0
115	14800	15900	0	1	1	0	0	0	1	0
115	22200	17500	6250	0	0	0	0	0	0	1
116	18500	15900	0	1	1	0	0	0	1	0
116	25900	17500	6250	0	0	0	0	0	0	1
117	22200	15900	0	1	1	0	0	0	1	0
123	3700	15900	0	1	1	0	0	0	1	0
127	25900	15900	0	1	1	0	0	0	1	0
201	0	0	14050	0	0	0	0	0	0	2
202	3700	0	14360	0	0	0	0	0	0	2
203	7400	0	14670	0	0	0	0	0	0	2
204	11100	0	14980	0	0	0	0	0	0	2
205	14800	0	15290	0	0	0	0	0	0	2
206	18500	0	15600	0	0	0	0	0	0	2
207	22200	0	15300	0	0	0	0	0	0	2
208	25900	0	15000	0	0	0	0	0	0	2
209	0	17500	14050	0	0	0	0	0	0	2
210	3700	17500	14360	0	0	0	0	0	0	2
211	7400	17500	14670	0	0	0	0	0	0	2
211	0	0	14550	0	0	0	0	0	0	2
212	3700	0	14860	0	0	0	0	0	0	2
212	11100	17500	14980	0	0	0	0	0	0	2
213	7400	0	15170	0	0	0	0	0	0	2
213	14800	17500	15290	0	0	0	0	0	0	2
214	18500	17500	15600	0	0	0	0	0	0	2
214	11100	0	15480	0	0	0	0	0	0	2
215	22200	17500	15300	0	0	0	0	0	0	2
215	14800	0	15790	0	0	0	0	0	0	2
216	25900	17500	15000	0	0	0	0	0	0	2
216	18500	0	16100	0	0	0	0	0	0	2
217	22200	0	15800	0	0	0	0	0	0	2
218	25900	0	15500	0	0	0	0	0	0	2
219	0	17500	14550	0	0	0	0	0	0	2
220	3700	17500	14860	0	0	0	0	0	0	2
221	7400	17500	15170	0	0	0	0	0	0	2
221	0	-1750	14550	0	0	0	0	0	0	2
222	3700	-1750	14860	0	0	0	0	0	0	2
222	11100	17500	15480	0	0	0	0	0	0	2
223	14800	17500	15790	0	0	0	0	0	0	2
223	7400	-1750	15170	0	0	0	0	0	0	2
224	18500	17500	16100	0	0	0	0	0	0	2
224	11100	-1750	15480	0	0	0	0	0	0	2
225	22200	17500	15800	0	0	0	0	0	0	2
225	14800	-1750	15790	0	0	0	0	0	0	2
226	18500	-1750	16100	0	0	0	0	0	0	2
226	25900	17500	15500	0	0	0	0	0	0	2
227	22200	-1750	15800	0	0	0	0	0	0	2
228	25900	-1750	15500	0	0	0	0	0	0	2
229	0	19250	14550	0	0	0	0	0	0	2
230	3700	19250	14860	0	0	0	0	0	0	2
231	7400	19250	15170	0	0	0	0	0	0	2
232	11100	19250	15480	0	0	0	0	0	0	2
233	14800	19250	15790	0	0	0	0	0	0	2
234	18500	19250	16100	0	0	0	0	0	0	2

Nodo	X	Y	Z	Tx	Ty	Tz	Rx	Ry	Rz	Impalcato
235	22200	19250	15800	0	0	0	0	0	0	2
236	25900	19250	15500	0	0	0	0	0	0	2
801	11100	3600	0	1	1	0	0	0	1	0
802	7400	3600	0	1	1	0	0	0	1	0
803	11100	13900	0	1	1	0	0	0	1	0
804	7400	13900	0	1	1	0	0	0	1	0
805	22200	3600	0	1	1	0	0	0	1	0
806	18500	3600	0	1	1	0	0	0	1	0
807	22200	13900	0	1	1	0	0	0	1	0
808	18500	13900	0	1	1	0	0	0	1	0
809	14800	3600	0	1	1	0	0	0	1	0
810	14800	13900	0	1	1	0	0	0	1	0
811	12950	0	6250	0	0	0	0	0	0	1
812	16650	0	6250	0	0	0	0	0	0	1
812	3700	3600	0	1	1	0	0	0	1	0
813	12950	17500	6250	0	0	0	0	0	0	1
814	16650	17500	6250	0	0	0	0	0	0	1
815	12950	17500	15135	0	0	0	0	0	0	2
816	16650	17500	15445	0	0	0	0	0	0	2
817	16650	0	15445	0	0	0	0	0	0	2
818	12950	0	15135	0	0	0	0	0	0	2
819	25900	3600	0	1	1	0	0	0	1	0
820	0	1750	14550	0	0	0	0	0	0	2
821	0	3500	14550	0	0	0	0	0	0	2
822	0	5250	14550	0	0	0	0	0	0	2
823	0	7000	14550	0	0	0	0	0	0	2
824	0	8750	14550	0	0	0	0	0	0	2
825	0	10500	14550	0	0	0	0	0	0	2
826	0	12250	14550	0	0	0	0	0	0	2
827	0	14000	14550	0	0	0	0	0	0	2
828	0	15750	14550	0	0	0	0	0	0	2
829	3700	1750	14860	0	0	0	0	0	0	2
830	3700	3500	14860	0	0	0	0	0	0	2
831	3700	5250	14860	0	0	0	0	0	0	2
832	3700	7000	14860	0	0	0	0	0	0	2
833	3700	8750	14860	0	0	0	0	0	0	2
834	3700	10500	14860	0	0	0	0	0	0	2
835	3700	12250	14860	0	0	0	0	0	0	2
836	3700	14000	14860	0	0	0	0	0	0	2
837	3700	15750	14860	0	0	0	0	0	0	2
838	7400	1750	15170	0	0	0	0	0	0	2
839	7400	3500	15170	0	0	0	0	0	0	2
840	7400	5250	15170	0	0	0	0	0	0	2
841	7400	7000	15170	0	0	0	0	0	0	2
842	7400	8750	15170	0	0	0	0	0	0	2
843	7400	10500	15170	0	0	0	0	0	0	2
844	7400	12250	15170	0	0	0	0	0	0	2
845	7400	14000	15170	0	0	0	0	0	0	2
846	7400	15750	15170	0	0	0	0	0	0	2
847	11100	1750	15480	0	0	0	0	0	0	2
848	11100	3500	15480	0	0	0	0	0	0	2
849	11100	5250	15480	0	0	0	0	0	0	2
850	11100	7000	15480	0	0	0	0	0	0	2
851	11100	8750	15480	0	0	0	0	0	0	2
852	11100	10500	15480	0	0	0	0	0	0	2
853	11100	12250	15480	0	0	0	0	0	0	2
854	11100	14000	15480	0	0	0	0	0	0	2
855	11100	15750	15480	0	0	0	0	0	0	2
856	14800	1750	15790	0	0	0	0	0	0	2
857	14800	3500	15790	0	0	0	0	0	0	2
858	14800	5250	15790	0	0	0	0	0	0	2
859	14800	7000	15790	0	0	0	0	0	0	2
860	14800	8750	15790	0	0	0	0	0	0	2
861	14800	10500	15790	0	0	0	0	0	0	2
862	14800	12250	15790	0	0	0	0	0	0	2
863	14800	14000	15790	0	0	0	0	0	0	2

Nodo	X	Y	Z	Tx	Ty	Tz	Rx	Ry	Rz	Impalcato
864	14800	15750	15790	0	0	0	0	0	0	2
865	18500	1750	16100	0	0	0	0	0	0	2
866	18500	3500	16100	0	0	0	0	0	0	2
867	18500	5250	16100	0	0	0	0	0	0	2
868	18500	7000	16100	0	0	0	0	0	0	2
869	18500	8750	16100	0	0	0	0	0	0	2
870	18500	10500	16100	0	0	0	0	0	0	2
871	18500	12250	16100	0	0	0	0	0	0	2
872	18500	14000	16100	0	0	0	0	0	0	2
873	18500	15750	16100	0	0	0	0	0	0	2
874	22200	1750	15800	0	0	0	0	0	0	2
875	22200	3500	15800	0	0	0	0	0	0	2
876	22200	5250	15800	0	0	0	0	0	0	2
877	22200	7000	15800	0	0	0	0	0	0	2
878	22200	8750	15800	0	0	0	0	0	0	2
879	22200	10500	15800	0	0	0	0	0	0	2
880	22200	12250	15800	0	0	0	0	0	0	2
881	22200	14000	15800	0	0	0	0	0	0	2
882	22200	15750	15800	0	0	0	0	0	0	2
883	25900	1750	15500	0	0	0	0	0	0	2
884	25900	3500	15500	0	0	0	0	0	0	2
885	25900	5250	15500	0	0	0	0	0	0	2
886	25900	7000	15500	0	0	0	0	0	0	2
887	25900	8750	15500	0	0	0	0	0	0	2
888	25900	10500	15500	0	0	0	0	0	0	2
889	25900	12250	15500	0	0	0	0	0	0	2
890	25900	14000	15500	0	0	0	0	0	0	2
891	25900	15750	15500	0	0	0	0	0	0	2

Input - Aste - Tabella sezioni tipo

Tipo	Nome	Raggio
C		cm
	Fi30	2

Tipo	Nome	Base	Altezza	Larg.mag.
R		cm	cm	cm
	50x180	50	180	0
	50x100	50	100	0
	50x150	50	150	0
	50x50	50	50	0
	20x100	20	100	0
	20x60	20	60	0
	16x32	16	32	0
	100x210	100	210	0

Tipo	Nome	Alt. sup.	Base sup.	Alt. inf.	Base inf.	Larg.mag.
T		cm	cm	cm	cm	cm
	T160x210	180	160	30	190	240
	T70x150	120	50	30	70	100
	T200	50	200	100	50	0

Aste - Geometria e vincoli

	Ni	Nf	Vinc.	Sez.	Mat.	Crit.pr.	Rot.	f.f.	xi	yi	zi	xf	yf	zf	Tipo	L2	L3
							°		cm							cm	
1	1	101	I-I	50x150	ClsRcm_35	CLS_Pilastri-Esist	0	2020	0	0	0	0	0	0	Pila.	625	625
1	101	201	I-I	50x150	ClsRcm_35	CLS_Pilastri-Esist	0	2020	0	0	0	0	0	0	Pila.	780	780
1	201	211	I-CC	50x50	C32/40	CLS_Pilastri	0	2020	0	0	0	0	0	0	Pila.	50	50
2	2	102	I-I	50x150	ClsRcm_35	CLS_Pilastri-Esist	0	2020	0	0	0	0	0	0	Pila.	625	625
2	102	202	I-I	50x150	ClsRcm_35	CLS_Pilastri-Esist	0	2020	0	0	0	0	0	0	Pila.	811	811
2	202	212	I-CC	50x50	C32/40	CLS_Pilastri	0	2020	0	0	0	0	0	0	Pila.	50	50
3	3	103	I-I	100x210	C32/40	ClsPil_Incamicciati	0	2020	0	0	-35	0	0	-35	Pila.	625	625
3	103	203	I-I	100x210	C32/40	ClsPil_Incamicciati	0	2020	0	0	-35	0	0	-35	Pila.	842	842
3	203	213	I-CC	50x50	C32/40	CLS_Pilastri	0	2020	0	0	0	0	0	0	Pila.	50	50
4	4	104	I-I	100x210	C32/40	ClsPil_Incamicciati	0	2020	0	0	-35	0	0	-35	Pila.	625	625
4	104	204	I-I	100x210	C32/40	ClsPil_Incamicciati	0	2020	0	0	-35	0	0	-35	Pila.	873	873
4	204	214	I-CC	50x50	C32/40	CLS_Pilastri	0	2020	0	0	0	0	0	0	Pila.	50	50
5	5	105	I-I	100x210	C32/40	ClsPil_Incamicciati	0	2020	0	0	-35	0	0	-35	Pila.	625	625
5	105	205	I-I	100x210	C32/40	ClsPil_Incamicciati	0	2020	0	0	-35	0	0	-35	Pila.	904	904
5	205	215	I-CC	50x50	C32/40	CLS_Pilastri	0	2020	0	0	0	0	0	0	Pila.	50	50
6	6	106	I-I	100x210	C32/40	ClsPil_Incamicciati	0	2020	0	0	-35	0	0	-35	Pila.	625	625
6	106	206	I-I	100x210	C32/40	ClsPil_Incamicciati	0	2020	0	0	-35	0	0	-35	Pila.	935	935
6	206	216	I-CC	50x50	C32/40	CLS_Pilastri	0	2525	0	0	0	0	0	0	Pila.	50	50
7	7	107	I-I	100x210	C32/40	ClsPil_Incamicciati	0	2020	0	0	-35	0	0	-35	Pila.	625	625
7	107	207	I-I	100x210	C32/40	ClsPil_Incamicciati	0	2020	0	0	-35	0	0	-35	Pila.	905	905
7	207	217	I-CC	50x50	C32/40	CLS_Pilastri	0	2020	0	0	0	0	0	0	Pila.	50	50
8	8	108	I-I	50x150	ClsRcm_35	CLS_Pilastri-Esist	0	2020	0	0	0	0	0	0	Pila.	625	625
8	108	208	I-I	50x150	ClsRcm_35	CLS_Pilastri-Esist	0	2020	0	0	0	0	0	0	Pila.	875	875
8	208	218	I-CC	50x50	C32/40	CLS_Pilastri	0	2020	0	0	0	0	0	0	Pila.	50	50
9	9	109	I-I	50x150	ClsRcm_35	CLS_Pilastri-Esist	0	8080	0	0	0	0	0	0	Pila.	625	625
9	109	209	I-I	50x150	ClsRcm_35	CLS_Pilastri-Esist	0	8080	0	0	0	0	0	0	Pila.	780	780
9	209	219	I-CC	50x50	C32/40	CLS_Pilastri	0	8080	0	0	0	0	0	0	Pila.	50	50
10	10	110	I-I	50x150	ClsRcm_35	CLS_Pilastri-Esist	0	8080	0	0	0	0	0	0	Pila.	625	625
10	110	210	I-I	50x150	ClsRcm_35	CLS_Pilastri-Esist	0	8080	0	0	0	0	0	0	Pila.	811	811
10	210	220	I-CC	50x50	C32/40	CLS_Pilastri	0	8080	0	0	0	0	0	0	Pila.	50	50
11	11	111	I-I	100x210	C32/40	ClsPil_Incamicciati	0	8080	0	0	35	0	0	35	Pila.	625	625
11	111	211	I-I	100x210	C32/40	ClsPil_Incamicciati	0	8080	0	0	35	0	0	35	Pila.	842	842
11	211	221	I-CC	50x50	C32/40	CLS_Pilastri	0	8080	0	0	0	0	0	0	Pila.	50	50
12	12	112	I-I	100x210	C32/40	ClsPil_Incamicciati	0	8080	0	0	35	0	0	35	Pila.	625	625

	Ni	Nf	Vinc.	Sez.	Mat.	Crit.pr.	Rot.	f.f.	xi	yi	zi	xf	yf	zf	Tipo	L2	L3
12	112	212	I-I	100x210	C32/40	Cls Pil_Incami ciati	0	8080	0	0	35	0	0	35	Pila.	873	873
12	212	222	I-CC	50x50	C32/40	CLS_Pilast ri	0	8080	0	0	0	0	0	0	Pila.	50	50
13	13	113	I-I	100x210	C32/40	Cls Pil_Incami ciati	0	8080	0	0	35	0	0	35	Pila.	625	625
13	113	213	I-I	100x210	C32/40	Cls Pil_Incami ciati	0	8080	0	0	35	0	0	35	Pila.	904	904
13	213	223	I-CC	50x50	C32/40	CLS_Pilast ri	0	8080	0	0	0	0	0	0	Pila.	50	50
14	14	114	I-I	100x210	C32/40	Cls Pil_Incami ciati	0	8080	0	0	35	0	0	35	Pila.	625	625
14	114	214	I-I	100x210	C32/40	Cls Pil_Incami ciati	0	8080	0	0	35	0	0	35	Pila.	935	935
14	214	224	I-CC	50x50	C32/40	CLS_Pilast ri	0	8585	0	0	0	0	0	0	Pila.	50	50
15	15	115	I-I	100x210	C32/40	Cls Pil_Incami ciati	0	8080	0	0	35	0	0	35	Pila.	625	625
15	115	215	I-I	100x210	C32/40	Cls Pil_Incami ciati	0	8080	0	0	35	0	0	35	Pila.	905	905
15	215	225	I-CC	50x50	C32/40	CLS_Pilast ri	0	8080	0	0	0	0	0	0	Pila.	50	50
16	16	116	I-I	50x150	ClsRcm_3 5	CLS_Pilast ri-Esist	0	8080	0	0	0	0	0	0	Pila.	625	625
16	116	216	I-I	50x150	ClsRcm_3 5	CLS_Pilast ri-Esist	0	8080	0	0	0	0	0	0	Pila.	875	875
16	216	226	I-CC	50x50	C32/40	CLS_Pilast ri	0	8080	0	0	0	0	0	0	Pila.	50	50
101	101	109	I-I	50x180	ClsRcm_3 9	CLS_Travi Alte_Esist	0	8585	0	0	0	0	0	0	Trave	1750	1750
102	101	102	I-I	50x150	ClsRcm_3 9	CLS_Travi Alte_Esist	0	7272	0	30	0	0	30	0	Trave	370	370
102	102	103	I-I	50x150	ClsRcm_3 9	CLS_Travi Alte_Esist	0	7272	0	30	0	0	65	0	Trave	370	370
103	102	110	I-I	50x180	ClsRcm_3 9	CLS_Travi Alte_Esist	0	8585	0	0	0	0	0	0	Trave	1750	1750
104	103	111	I-I	50x180	ClsRcm_3 9	CLS_Travi Alte_Esist	0	8585	0	0	0	0	0	0	Trave	1750	1750
105	104	112	I-I	50x180	ClsRcm_3 9	CLS_Travi Alte_Esist	0	8585	0	0	0	0	0	0	Trave	1750	1750
106	105	113	I-I	50x180	ClsRcm_3 9	CLS_Travi Alte_Esist	0	8585	0	0	0	0	0	0	Trave	1750	1750
107	106	114	I-I	50x180	ClsRcm_3 9	CLS_Travi Alte_Esist	0	8585	0	0	0	0	0	0	Trave	1750	1750
108	107	115	I-I	50x180	ClsRcm_3 9	CLS_Travi Alte_Esist	0	8585	0	0	0	0	0	0	Trave	1750	1750
109	108	116	I-I	50x180	ClsRcm_3 9	CLS_Travi Alte_Esist	0	8585	0	0	0	0	0	0	Trave	1750	1750
111	107	108	I-I	50x150	ClsRcm_3 9	CLS_Travi Alte_Esist	0	7272	0	65	0	0	30	0	Trave	370	370
112	109	110	I-I	50x150	ClsRcm_3 9	CLS_Travi Alte_Esist	0	9898	0	-30	0	0	-30	0	Trave	370	370
112	110	111	I-I	50x150	ClsRcm_3 9	CLS_Travi Alte_Esist	0	9898	0	-30	0	0	-65	0	Trave	370	370
113	115	116	I-I	50x150	ClsRcm_3 9	CLS_Travi Alte_Esist	0	9898	0	-65	0	0	-30	0	Trave	370	370
114	103	104	I-I	T200	C32/40	Cls Travi_Inca miciate	0	7272	0	0	20	0	0	20	Trave	370	370
114	104	811	I-I	T200	C32/40	Cls Travi_Inca miciate	0	7272	0	0	20	0	-35	20	Trave	185	185
114	811	105	I-I	T200	C32/40	Cls Travi_Inca miciate	0	7272	0	-35	20	0	0	20	Trave	185	185
114	105	812	I-I	T200	C32/40	Cls Travi_Inca miciate	0	7272	0	0	20	0	-35	20	Trave	185	185
114	812	106	I-I	T200	C32/40	Cls Travi_Inca miciate	0	7272	0	-35	20	0	0	20	Trave	185	185
114	106	107	I-I	T200	C32/40	Cls Travi_Inca miciate	0	7272	0	0	20	0	0	20	Trave	370	370
115	111	112	I-I	T200	C32/40	Cls Travi_Inca miciate	0	9898	0	0	20	0	0	20	Trave	370	370
115	112	813	I-I	T200	C32/40	Cls Travi_Inca	0	9890	0	0	20	0	35	20	Trave	185	185

	Ni	Nf	Vinc.	Sez.	Mat.	Crit.pr.	Rot.	f.f.	xi	yi	zi	xf	yf	zf	Tipo	L2	L3
						miciate											
115	813	113	I-I	T200	C32/40	ClS Travi_Inca miciate	0	9098	0	35	20	0	0	20	Trave	185	185
115	113	814	I-I	T200	C32/40	ClS Travi_Inca miciate	0	9890	0	0	20	0	35	20	Trave	185	185
115	814	114	I-I	T200	C32/40	ClS Travi_Inca miciate	0	9098	0	35	20	0	0	20	Trave	185	185
115	114	115	I-I	T200	C32/40	ClS Travi_Inca miciate	0	9898	0	0	20	0	0	20	Trave	370	370
201	201	209	I-I	50x100	ClS Rcm_3 9	CLS_Travi Alte_Esist	0	8580	0	0	0	0	0	0	Trave	1750	1750
202	201	202	I-I	50x150	ClS Rcm_3 9	CLS_Travi Alte_Esist	0	7272	0	30	0	0	30	0	Trave	371	371
202	202	203	I-I	50x150	ClS Rcm_3 9	CLS_Travi Alte_Esist	0	7272	0	30	0	0	65	0	Trave	371	371
202	203	204	I-I	50x150	ClS Rcm_3 9	CLS_Travi Alte_Esist	0	7272	0	65	0	0	65	0	Trave	371	371
203	202	210	I-I	50x100	ClS Rcm_3 9	CLS_Travi Alte_Esist	0	8585	0	0	0	0	0	0	Trave	1750	1750
204	203	211	I-I	50x100	ClS Rcm_3 9	CLS_Travi Alte_Esist	0	8585	0	0	0	0	0	0	Trave	1750	1750
205	204	212	I-I	50x100	ClS Rcm_3 9	CLS_Travi Alte_Esist	0	8585	0	0	0	0	0	0	Trave	1750	1750
206	204	818	I-I	50x150	ClS Rcm_3 9	CLS_Travi Alte_Esist	0	7270	0	35	0	0	0	0	Trave	186	186
206	818	205	I-I	50x150	ClS Rcm_3 9	CLS_Travi Alte_Esist	0	7072	0	0	0	0	35	0	Trave	186	186
206	205	817	I-I	50x150	ClS Rcm_3 9	CLS_Travi Alte_Esist	0	7270	0	35	0	0	0	0	Trave	186	186
206	817	206	I-I	50x150	ClS Rcm_3 9	CLS_Travi Alte_Esist	0	7072	0	0	0	0	35	0	Trave	186	186
206	206	207	I-I	50x150	ClS Rcm_3 9	CLS_Travi Alte_Esist	0	7272	0	65	0	0	65	0	Trave	371	371
206	207	208	I-I	50x150	ClS Rcm_3 9	CLS_Travi Alte_Esist	0	7272	0	65	0	0	30	0	Trave	371	371
207	205	213	I-I	50x100	ClS Rcm_3 9	CLS_Travi Alte_Esist	0	8585	0	0	0	0	0	0	Trave	1750	1750
208	206	214	I-I	50x100	ClS Rcm_3 9	CLS_Travi Alte_Esist	0	8580	0	0	0	0	0	0	Trave	1750	1750
209	207	215	I-I	50x100	ClS Rcm_3 9	CLS_Travi Alte_Esist	0	8585	0	0	0	0	0	0	Trave	1750	1750
210	208	216	I-I	50x100	ClS Rcm_3 9	CLS_Travi Alte_Esist	0	8585	0	0	0	0	0	0	Trave	1750	1750
211	209	210	I-I	50x150	ClS Rcm_3 9	CLS_Travi Alte_Esist	0	9898	0	-30	0	0	-30	0	Trave	371	371
211	210	211	I-I	50x150	ClS Rcm_3 9	CLS_Travi Alte_Esist	0	9898	0	-30	0	0	-65	0	Trave	371	371
211	211	212	I-I	50x150	ClS Rcm_3 9	CLS_Travi Alte_Esist	0	9898	0	-65	0	0	-65	0	Trave	371	371
211	212	815	I-I	50x150	ClS Rcm_3 9	CLS_Travi Alte_Esist	0	9890	0	-65	0	0	-30	0	Trave	186	186
211	815	213	I-I	50x150	ClS Rcm_3 9	CLS_Travi Alte_Esist	0	9098	0	-30	0	0	-65	0	Trave	186	186
211	213	816	I-I	50x150	ClS Rcm_3 9	CLS_Travi Alte_Esist	0	9890	0	-65	0	0	-30	0	Trave	186	186
211	816	214	I-I	50x150	ClS Rcm_3 9	CLS_Travi Alte_Esist	0	9098	0	-30	0	0	-65	0	Trave	186	186
211	214	215	I-I	50x150	ClS Rcm_3 9	CLS_Travi Alte_Esist	0	9898	0	-65	0	0	-65	0	Trave	371	371
211	215	216	I-I	50x150	ClS Rcm_3 9	CLS_Travi Alte_Esist	0	9898	0	-65	0	0	-30	0	Trave	371	371
399	211	830	Cy-C y	Fi30	Acciaio	Acciaio_Ti rante	0	0000	0	0	0	0	0	0	Trave	510	510
400	212	821	Cy-C y	Fi30	Acciaio	Acciaio_Ti rante	0	0000	0	0	0	0	0	0	Trave	510	510
401	821	832	Cy-C y	Fi30	Acciaio	Acciaio_Ti rante	0	0000	0	0	0	0	0	0	Trave	510	510
402	830	823	Cy-C y	Fi30	Acciaio	Acciaio_Ti rante	0	0000	0	0	0	0	0	0	Trave	510	510
403	823	834	Cy-C y	Fi30	Acciaio	Acciaio_Ti rante	0	0000	0	0	0	0	0	0	Trave	510	510
404	832	825	Cy-C y	Fi30	Acciaio	Acciaio_Ti rante	0	0000	0	0	0	0	0	0	Trave	510	510
405	825	836	Cy-C y	Fi30	Acciaio	Acciaio_Ti rante	0	0000	0	0	0	0	0	0	Trave	510	510
406	834	827	Cy-C y	Fi30	Acciaio	Acciaio_Ti rante	0	0000	0	0	0	0	0	0	Trave	510	510
407	827	220	Cy-C y	Fi30	Acciaio	Acciaio_Ti rante	0	0000	0	0	0	0	0	0	Trave	510	510
408	836	219	Cy-C y	Fi30	Acciaio	Acciaio_Ti rante	0	0000	0	0	0	0	0	0	Trave	510	510

	Ni	Nf	Vinc.	Sez.	Mat.	Crit.pr.	Rot.	f.f.	xi	yi	zi	xf	yf	zf	Tipo	L2	L3
409	217	884	Cy-Cy	Fi30	Acciaio	Acciaio_Tirante	0	0000	0	0	0	0	0	0	Trave	510	510
410	218	875	Cy-Cy	Fi30	Acciaio	Acciaio_Tirante	0	0000	0	0	0	0	0	0	Trave	510	510
411	875	886	Cy-Cy	Fi30	Acciaio	Acciaio_Tirante	0	0000	0	0	0	0	0	0	Trave	510	510
412	884	877	Cy-Cy	Fi30	Acciaio	Acciaio_Tirante	0	0000	0	0	0	0	0	0	Trave	510	510
413	877	888	Cy-Cy	Fi30	Acciaio	Acciaio_Tirante	0	0000	0	0	0	0	0	0	Trave	510	510
414	886	879	Cy-Cy	Fi30	Acciaio	Acciaio_Tirante	0	0000	0	0	0	0	0	0	Trave	510	510
415	879	890	Cy-Cy	Fi30	Acciaio	Acciaio_Tirante	0	0000	0	0	0	0	0	0	Trave	510	510
416	888	881	Cy-Cy	Fi30	Acciaio	Acciaio_Tirante	0	0000	0	0	0	0	0	0	Trave	510	510
417	881	226	Cy-Cy	Fi30	Acciaio	Acciaio_Tirante	0	0000	0	0	0	0	0	0	Trave	510	510
418	890	225	Cy-Cy	Fi30	Acciaio	Acciaio_Tirante	0	0000	0	0	0	0	0	0	Trave	510	510
8000	23	13	I-I	50x180	C25/30	CLS_TraviAlte	0	7575	0	0	0	0	0	0	Trave	370	370
8000	13	14	I-I	50x180	C25/30	CLS_TraviAlte	0	7575	0	0	0	0	0	0	Trave	370	370
8000	14	15	I-I	50x180	C25/30	CLS_TraviAlte	0	7575	0	0	0	0	0	0	Trave	370	370
8000	15	16	I-I	50x180	C25/30	CLS_TraviAlte	0	7575	0	0	0	0	0	0	Trave	370	370
8000	16	17	I-I	50x180	C25/30	CLS_TraviAlte	0	7575	0	0	0	0	0	0	Trave	370	370
8000	17	27	I-I	50x180	C25/30	CLS_TraviAlte	0	7575	0	0	0	0	0	0	Trave	370	370
8001	123	113	I-I	50x180	C25/30	CLS_TraviAlte	0	9595	0	0	0	0	0	0	Trave	370	370
8001	113	114	I-I	50x180	C25/30	CLS_TraviAlte	0	9595	0	0	0	0	0	0	Trave	370	370
8001	114	115	I-I	50x180	C25/30	CLS_TraviAlte	0	9595	0	0	0	0	0	0	Trave	370	370
8001	115	116	I-I	50x180	C25/30	CLS_TraviAlte	0	9595	0	0	0	0	0	0	Trave	370	370
8001	116	117	I-I	50x180	C25/30	CLS_TraviAlte	0	9595	0	0	0	0	0	0	Trave	370	370
8001	117	127	I-I	50x180	C25/30	CLS_TraviAlte	0	9595	0	0	0	0	0	0	Trave	370	370
9001	1	9	I-I	T70x150	ClsRcm_32	CLS_TraviFondazion e_Esist	0	8080	0	0	-60	0	0	-60	Fond.	1750	1750
9002	1	2	I-I	T160x210	ClsRcm_32	CLS_TraviFondazion e_Esist	0	7172	0	0	0	0	0	0	Fond.	370	370
9002	2	3	I-I	T160x210	ClsRcm_32	CLS_TraviFondazion e_Esist	0	7272	0	0	0	0	35	0	Fond.	370	370
9002	3	4	I-I	T160x210	ClsRcm_32	CLS_TraviFondazion e_Esist	0	7272	0	35	0	0	35	0	Fond.	370	370
9002	4	5	I-I	T160x210	ClsRcm_32	CLS_TraviFondazion e_Esist	0	7272	0	35	0	0	35	0	Fond.	370	370
9002	5	6	I-I	T160x210	ClsRcm_32	CLS_TraviFondazion e_Esist	0	7272	0	35	0	0	35	0	Fond.	370	370
9002	6	7	I-I	T160x210	ClsRcm_32	CLS_TraviFondazion e_Esist	0	7272	0	35	0	0	35	0	Fond.	370	370
9002	7	8	I-I	T160x210	ClsRcm_32	CLS_TraviFondazion e_Esist	0	7273	0	35	0	0	0	0	Fond.	370	370
9003	2	812	I-I	T70x150	ClsRcm_32	CLS_TraviFondazion e_Esist	0	8080	0	0	-60	0	0	-60	Fond.	360	360
9003	812	0	I-I	T70x150	ClsRcm_32	CLS_TraviFondazion e_Esist	0	8080	0	0	-60	0	0	-60	Fond.	1030	1030
9003	0	10	I-I	T70x150	ClsRcm_32	CLS_TraviFondazion e_Esist	0	8080	0	0	-60	0	0	-60	Fond.	360	360
9004	3	802	I-I	T70x150	ClsRcm_32	CLS_TraviFondazion e_Esist	0	8080	0	0	-60	0	0	-60	Fond.	360	360
9004	802	804	I-I	T70x150	ClsRcm_32	CLS_TraviFondazion e_Esist	0	8080	0	0	-60	0	0	-60	Fond.	1030	1030
9004	804	11	I-I	T70x150	ClsRcm_32	CLS_TraviFondazion e_Esist	0	8080	0	0	-60	0	0	-60	Fond.	360	360

	Ni	Nf	Vinc.	Sez.	Mat.	Crit.pr.	Rot.	f.f.	xi	yi	zi	xf	yf	zf	Tipo	L2	L3
9005	4	801	I-I	T70x150	ClsRcm_3 2	CLS_Travi Fondazion e_Esist	0	8080	0	0	-60	0	0	-60	Fond.	360	360
9005	801	803	I-I	T70x150	ClsRcm_3 2	CLS_Travi Fondazion e_Esist	0	8080	0	0	-60	0	0	-60	Fond.	1030	1030
9005	803	12	I-I	T70x150	ClsRcm_3 2	CLS_Travi Fondazion e_Esist	0	8080	0	0	-60	0	0	-60	Fond.	360	360
9006	5	809	I-I	T70x150	ClsRcm_3 2	CLS_Travi Fondazion e_Esist	0	8080	0	0	-60	0	0	-60	Fond.	360	360
9006	809	810	I-I	T70x150	ClsRcm_3 2	CLS_Travi Fondazion e_Esist	0	8080	0	0	-60	0	0	-60	Fond.	1030	1030
9006	810	13	I-I	T70x150	ClsRcm_3 2	CLS_Travi Fondazion e_Esist	0	8080	0	0	-60	0	0	-60	Fond.	360	360
9007	6	806	I-I	T70x150	ClsRcm_3 2	CLS_Travi Fondazion e_Esist	0	8080	0	0	-60	0	0	-60	Fond.	360	360
9007	806	808	I-I	T70x150	ClsRcm_3 2	CLS_Travi Fondazion e_Esist	0	8080	0	0	-60	0	0	-60	Fond.	1030	1030
9007	808	14	I-I	T70x150	ClsRcm_3 2	CLS_Travi Fondazion e_Esist	0	8080	0	0	-60	0	0	-60	Fond.	360	360
9008	7	805	I-I	T70x150	ClsRcm_3 2	CLS_Travi Fondazion e_Esist	0	8080	0	0	-60	0	0	-60	Fond.	360	360
9008	805	807	I-I	T70x150	ClsRcm_3 2	CLS_Travi Fondazion e_Esist	0	8080	0	0	-60	0	0	-60	Fond.	1030	1030
9008	807	15	I-I	T70x150	ClsRcm_3 2	CLS_Travi Fondazion e_Esist	0	8080	0	0	-60	0	0	-60	Fond.	360	360
9009	8	819	I-I	T70x150	ClsRcm_3 2	CLS_Travi Fondazion e_Esist	0	8080	0	0	-60	0	0	-60	Fond.	360	360
9009	819	0	I-I	T70x150	ClsRcm_3 2	CLS_Travi Fondazion e_Esist	0	8080	0	0	-60	0	0	-60	Fond.	1030	1030
9009	0	16	I-I	T70x150	ClsRcm_3 2	CLS_Travi Fondazion e_Esist	0	8080	0	0	-60	0	0	-60	Fond.	360	360
9010	9	10	I-I	T160x210	ClsRcm_3 2	CLS_Travi Fondazion e_Esist	0	9798	0	0	0	0	0	0	Fond.	370	370
9010	10	11	I-I	T160x210	ClsRcm_3 2	CLS_Travi Fondazion e_Esist	0	9898	0	0	0	0	-35	0	Fond.	370	370
9010	11	12	I-I	T160x210	ClsRcm_3 2	CLS_Travi Fondazion e_Esist	0	9898	0	-35	0	0	-35	0	Fond.	370	370
9010	12	13	I-I	T160x210	ClsRcm_3 2	CLS_Travi Fondazion e_Esist	0	9898	0	-35	0	0	-35	0	Fond.	370	370
9010	13	14	I-I	T160x210	ClsRcm_3 2	CLS_Travi Fondazion e_Esist	0	9898	0	-35	0	0	-35	0	Fond.	370	370
9010	14	15	I-I	T160x210	ClsRcm_3 2	CLS_Travi Fondazion e_Esist	0	9898	0	-35	0	0	-35	0	Fond.	370	370
9010	15	16	I-I	T160x210	ClsRcm_3 2	CLS_Travi Fondazion e_Esist	0	9899	0	-35	0	0	0	0	Fond.	370	370
338	211	820	I-I	20x100	Legno	Legno_Te nso-Presso flessione	0	5050	0	0	0	0	0	0	Gen.	175	175
339	212	829	I-I	20x100	Legno	Legno_Te nso-Presso flessione	0	5050	0	0	0	0	0	0	Gen.	175	175
340	213	838	I-I	20x100	Legno	Legno_Te nso-Presso flessione	0	5050	0	0	0	0	0	0	Gen.	175	175
341	214	847	I-I	20x100	Legno	Legno_Te nso-Presso flessione	0	5050	0	0	0	0	0	0	Gen.	175	175
342	215	856	I-I	20x100	Legno	Legno_Te nso-Presso flessione	0	5050	0	0	0	0	0	0	Gen.	175	175
343	216	865	I-I	20x100	Legno	Legno_Te nso-Presso flessione	0	5050	0	0	0	0	0	0	Gen.	175	175
338	820	821	I-I	20x100	Legno	Legno_Te nso-Presso	0	5050	0	0	0	0	0	0	Gen.	175	175

	Ni	Nf	Vinc.	Sez.	Mat.	Crit.pr.	Rot.	f.f.	xi	yi	zi	xf	yf	zf	Tipo	L2	L3
						flessione											
338	821	822	I-I	20x100	Legno	Legno_Te nso-Presso flessione	0	5050	0	0	0	0	0	0	Gen.	175	175
338	822	823	I-I	20x100	Legno	Legno_Te nso-Presso flessione	0	5050	0	0	0	0	0	0	Gen.	175	175
338	823	824	I-I	20x100	Legno	Legno_Te nso-Presso flessione	0	5050	0	0	0	0	0	0	Gen.	175	175
338	824	825	I-I	20x100	Legno	Legno_Te nso-Presso flessione	0	5050	0	0	0	0	0	0	Gen.	175	175
338	825	826	I-I	20x100	Legno	Legno_Te nso-Presso flessione	0	5050	0	0	0	0	0	0	Gen.	175	175
338	826	827	I-I	20x100	Legno	Legno_Te nso-Presso flessione	0	5050	0	0	0	0	0	0	Gen.	175	175
338	827	828	I-I	20x100	Legno	Legno_Te nso-Presso flessione	0	5050	0	0	0	0	0	0	Gen.	175	175
338	828	219	I-I	20x100	Legno	Legno_Te nso-Presso flessione	0	5050	0	0	0	0	0	0	Gen.	175	175
339	829	830	I-I	20x100	Legno	Legno_Te nso-Presso flessione	0	5050	0	0	0	0	0	0	Gen.	175	175
339	830	831	I-I	20x100	Legno	Legno_Te nso-Presso flessione	0	5050	0	0	0	0	0	0	Gen.	175	175
339	831	832	I-I	20x100	Legno	Legno_Te nso-Presso flessione	0	5050	0	0	0	0	0	0	Gen.	175	175
339	832	833	I-I	20x100	Legno	Legno_Te nso-Presso flessione	0	5050	0	0	0	0	0	0	Gen.	175	175
339	833	834	I-I	20x100	Legno	Legno_Te nso-Presso flessione	0	5050	0	0	0	0	0	0	Gen.	175	175
339	834	835	I-I	20x100	Legno	Legno_Te nso-Presso flessione	0	5050	0	0	0	0	0	0	Gen.	175	175
339	835	836	I-I	20x100	Legno	Legno_Te nso-Presso flessione	0	5050	0	0	0	0	0	0	Gen.	175	175
339	836	837	I-I	20x100	Legno	Legno_Te nso-Presso flessione	0	5050	0	0	0	0	0	0	Gen.	175	175
339	837	220	I-I	20x100	Legno	Legno_Te nso-Presso flessione	0	5050	0	0	0	0	0	0	Gen.	175	175
340	838	839	I-I	20x100	Legno	Legno_Te nso-Presso flessione	0	5050	0	0	0	0	0	0	Gen.	175	175
340	839	840	I-I	20x100	Legno	Legno_Te nso-Presso flessione	0	5050	0	0	0	0	0	0	Gen.	175	175
340	840	841	I-I	20x100	Legno	Legno_Te nso-Presso flessione	0	5050	0	0	0	0	0	0	Gen.	175	175
340	841	842	I-I	20x100	Legno	Legno_Te nso-Presso flessione	0	5050	0	0	0	0	0	0	Gen.	175	175
340	842	843	I-I	20x100	Legno	Legno_Te nso-Presso flessione	0	5050	0	0	0	0	0	0	Gen.	175	175
340	843	844	I-I	20x100	Legno	Legno_Te nso-Presso flessione	0	5050	0	0	0	0	0	0	Gen.	175	175
340	844	845	I-I	20x100	Legno	Legno_Te nso-Presso flessione	0	5050	0	0	0	0	0	0	Gen.	175	175
340	845	846	I-I	20x100	Legno	Legno_Te nso-Presso flessione	0	5050	0	0	0	0	0	0	Gen.	175	175
340	846	221	I-I	20x100	Legno	Legno_Te nso-Presso flessione	0	5050	0	0	0	0	0	0	Gen.	175	175
341	847	848	I-I	20x100	Legno	Legno_Te nso-Presso flessione	0	5050	0	0	0	0	0	0	Gen.	175	175
341	848	849	I-I	20x100	Legno	Legno_Te nso-Presso flessione	0	5050	0	0	0	0	0	0	Gen.	175	175
341	849	850	I-I	20x100	Legno	Legno_Te	0	5050	0	0	0	0	0	0	Gen.	175	175

	Ni	Nf	Vinc.	Sez.	Mat.	Crit.pr.	Rot.	f.f.	xi	yi	zi	xf	yf	zf	Tipo	L2	L3
						nso-Presso flessione											
341	850	851	I-I	20x100	Legno	Legno_Te nso-Presso flessione	0	5050	0	0	0	0	0	0	Gen.	175	175
341	851	852	I-I	20x100	Legno	Legno_Te nso-Presso flessione	0	5050	0	0	0	0	0	0	Gen.	175	175
341	852	853	I-I	20x100	Legno	Legno_Te nso-Presso flessione	0	5050	0	0	0	0	0	0	Gen.	175	175
341	853	854	I-I	20x100	Legno	Legno_Te nso-Presso flessione	0	5050	0	0	0	0	0	0	Gen.	175	175
341	854	855	I-I	20x100	Legno	Legno_Te nso-Presso flessione	0	5050	0	0	0	0	0	0	Gen.	175	175
341	855	222	I-I	20x100	Legno	Legno_Te nso-Presso flessione	0	5050	0	0	0	0	0	0	Gen.	175	175
342	856	857	I-I	20x100	Legno	Legno_Te nso-Presso flessione	0	5050	0	0	0	0	0	0	Gen.	175	175
342	857	858	I-I	20x100	Legno	Legno_Te nso-Presso flessione	0	5050	0	0	0	0	0	0	Gen.	175	175
342	858	859	I-I	20x100	Legno	Legno_Te nso-Presso flessione	0	5050	0	0	0	0	0	0	Gen.	175	175
342	859	860	I-I	20x100	Legno	Legno_Te nso-Presso flessione	0	5050	0	0	0	0	0	0	Gen.	175	175
342	860	861	I-I	20x100	Legno	Legno_Te nso-Presso flessione	0	5050	0	0	0	0	0	0	Gen.	175	175
342	861	862	I-I	20x100	Legno	Legno_Te nso-Presso flessione	0	5050	0	0	0	0	0	0	Gen.	175	175
342	862	863	I-I	20x100	Legno	Legno_Te nso-Presso flessione	0	5050	0	0	0	0	0	0	Gen.	175	175
342	863	864	I-I	20x100	Legno	Legno_Te nso-Presso flessione	0	5050	0	0	0	0	0	0	Gen.	175	175
342	864	223	I-I	20x100	Legno	Legno_Te nso-Presso flessione	0	5050	0	0	0	0	0	0	Gen.	175	175
343	865	866	I-I	20x100	Legno	Legno_Te nso-Presso flessione	0	5050	0	0	0	0	0	0	Gen.	175	175
343	866	867	I-I	20x100	Legno	Legno_Te nso-Presso flessione	0	5050	0	0	0	0	0	0	Gen.	175	175
343	867	868	I-I	20x100	Legno	Legno_Te nso-Presso flessione	0	5050	0	0	0	0	0	0	Gen.	175	175
343	868	869	I-I	20x100	Legno	Legno_Te nso-Presso flessione	0	5050	0	0	0	0	0	0	Gen.	175	175
343	869	870	I-I	20x100	Legno	Legno_Te nso-Presso flessione	0	5050	0	0	0	0	0	0	Gen.	175	175
343	870	871	I-I	20x100	Legno	Legno_Te nso-Presso flessione	0	5050	0	0	0	0	0	0	Gen.	175	175
343	871	872	I-I	20x100	Legno	Legno_Te nso-Presso flessione	0	5050	0	0	0	0	0	0	Gen.	175	175
343	872	873	I-I	20x100	Legno	Legno_Te nso-Presso flessione	0	5050	0	0	0	0	0	0	Gen.	175	175
343	873	224	I-I	20x100	Legno	Legno_Te nso-Presso flessione	0	5050	0	0	0	0	0	0	Gen.	175	175
272	211	212	I-I	20x60	Legno	Legno_Te nso-Presso flessione	0	5050	0	0	0	0	0	0	Gen.	371	371
273	212	213	I-I	20x60	Legno	Legno_Te nso-Presso flessione	0	5050	0	0	0	0	0	0	Gen.	371	371
274	213	214	I-I	20x60	Legno	Legno_Te nso-Presso flessione	0	5050	0	0	0	0	0	0	Gen.	371	371
275	214	215	I-I	20x60	Legno	Legno_Te nso-Presso flessione	0	5050	0	0	0	0	0	0	Gen.	371	371

	Ni	Nf	Vinc.	Sez.	Mat.	Crit.pr.	Rot.	f.f.	xi	yi	zi	xf	yf	zf	Tipo	L2	L3
276	215	216	I-I	20x60	Legno	Legno_Te nso-Presso flessione	0	5050	0	0	0	0	0	0	Gen.	371	371
277	219	220	I-I	20x60	Legno	Legno_Te nso-Presso flessione	0	5050	0	0	0	0	0	0	Gen.	371	371
278	220	221	I-I	20x60	Legno	Legno_Te nso-Presso flessione	0	5050	0	0	0	0	0	0	Gen.	371	371
279	221	222	I-I	20x60	Legno	Legno_Te nso-Presso flessione	0	5050	0	0	0	0	0	0	Gen.	371	371
280	222	223	I-I	20x60	Legno	Legno_Te nso-Presso flessione	0	5050	0	0	0	0	0	0	Gen.	371	371
281	223	224	I-I	20x60	Legno	Legno_Te nso-Presso flessione	0	5050	0	0	0	0	0	0	Gen.	371	371
282	820	829	CC-C C	16x32	Legno	Legno_Arc areccio	0	5050	0	0	0	0	0	0	Gen.	371	371
283	829	838	CC-C C	16x32	Legno	Legno_Arc areccio	0	5050	0	0	0	0	0	0	Gen.	371	371
284	838	847	CC-C C	16x32	Legno	Legno_Arc areccio	0	5050	0	0	0	0	0	0	Gen.	371	371
285	847	856	CC-C C	16x32	Legno	Legno_Arc areccio	0	5050	0	0	0	0	0	0	Gen.	371	371
286	856	865	CC-C C	16x32	Legno	Legno_Arc areccio	0	5050	0	0	0	0	0	0	Gen.	371	371
287	821	830	I-I	20x60	Legno	Legno_Te nso-Presso flessione	0	5050	0	0	0	0	0	0	Gen.	371	371
288	830	839	I-I	20x60	Legno	Legno_Te nso-Presso flessione	0	5050	0	0	0	0	0	0	Gen.	371	371
289	839	848	I-I	20x60	Legno	Legno_Te nso-Presso flessione	0	5050	0	0	0	0	0	0	Gen.	371	371
290	848	857	I-I	20x60	Legno	Legno_Te nso-Presso flessione	0	5050	0	0	0	0	0	0	Gen.	371	371
291	857	866	I-I	20x60	Legno	Legno_Te nso-Presso flessione	0	5050	0	0	0	0	0	0	Gen.	371	371
292	822	831	CC-C C	16x32	Legno	Legno_Arc areccio	0	5050	0	0	0	0	0	0	Gen.	371	371
293	831	840	CC-C C	16x32	Legno	Legno_Arc areccio	0	5050	0	0	0	0	0	0	Gen.	371	371
294	840	849	CC-C C	16x32	Legno	Legno_Arc areccio	0	5050	0	0	0	0	0	0	Gen.	371	371
295	849	858	CC-C C	16x32	Legno	Legno_Arc areccio	0	5050	0	0	0	0	0	0	Gen.	371	371
296	858	867	CC-C C	16x32	Legno	Legno_Arc areccio	0	5050	0	0	0	0	0	0	Gen.	371	371
297	823	832	I-I	20x60	Legno	Legno_Te nso-Presso flessione	0	5050	0	0	0	0	0	0	Gen.	371	371
298	832	841	I-I	20x60	Legno	Legno_Te nso-Presso flessione	0	5050	0	0	0	0	0	0	Gen.	371	371
299	841	850	I-I	20x60	Legno	Legno_Te nso-Presso flessione	0	5050	0	0	0	0	0	0	Gen.	371	371
300	850	859	I-I	20x60	Legno	Legno_Te nso-Presso flessione	0	5050	0	0	0	0	0	0	Gen.	371	371
301	859	868	I-I	20x60	Legno	Legno_Te nso-Presso flessione	0	5050	0	0	0	0	0	0	Gen.	371	371
302	824	833	CC-C C	16x32	Legno	Legno_Arc areccio	0	5050	0	0	0	0	0	0	Gen.	371	371
303	833	842	CC-C C	16x32	Legno	Legno_Arc areccio	0	5050	0	0	0	0	0	0	Gen.	371	371
304	842	851	CC-C C	16x32	Legno	Legno_Arc areccio	0	5050	0	0	0	0	0	0	Gen.	371	371
305	851	860	CC-C C	16x32	Legno	Legno_Arc areccio	0	5050	0	0	0	0	0	0	Gen.	371	371
306	860	869	CC-C C	16x32	Legno	Legno_Arc areccio	0	5050	0	0	0	0	0	0	Gen.	371	371
307	825	834	I-I	20x60	Legno	Legno_Te nso-Presso flessione	0	5050	0	0	0	0	0	0	Gen.	371	371
308	834	843	I-I	20x60	Legno	Legno_Te nso-Presso flessione	0	5050	0	0	0	0	0	0	Gen.	371	371
309	843	852	I-I	20x60	Legno	Legno_Te nso-Presso	0	5050	0	0	0	0	0	0	Gen.	371	371

	Ni	Nf	Vinc.	Sez.	Mat.	Crit.pr.	Rot.	f.f.	xi	yi	zi	xf	yf	zf	Tipo	L2	L3
						flessione											
310	852	861	I-I	20x60	Legno	Legno_Te nso-Presso flessione	0	5050	0	0	0	0	0	0	Gen.	371	371
311	861	870	I-I	20x60	Legno	Legno_Te nso-Presso flessione	0	5050	0	0	0	0	0	0	Gen.	371	371
312	826	835	CC-C C	16x32	Legno	Legno_Arc areccio	0	5050	0	0	0	0	0	0	Gen.	371	371
313	835	844	CC-C C	16x32	Legno	Legno_Arc areccio	0	5050	0	0	0	0	0	0	Gen.	371	371
314	844	853	CC-C C	16x32	Legno	Legno_Arc areccio	0	5050	0	0	0	0	0	0	Gen.	371	371
315	853	862	CC-C C	16x32	Legno	Legno_Arc areccio	0	5050	0	0	0	0	0	0	Gen.	371	371
316	862	871	CC-C C	16x32	Legno	Legno_Arc areccio	0	5050	0	0	0	0	0	0	Gen.	371	371
317	827	836	I-I	20x60	Legno	Legno_Te nso-Presso flessione	0	5050	0	0	0	0	0	0	Gen.	371	371
318	836	845	I-I	20x60	Legno	Legno_Te nso-Presso flessione	0	5050	0	0	0	0	0	0	Gen.	371	371
319	845	854	I-I	20x60	Legno	Legno_Te nso-Presso flessione	0	5050	0	0	0	0	0	0	Gen.	371	371
320	854	863	I-I	20x60	Legno	Legno_Te nso-Presso flessione	0	5050	0	0	0	0	0	0	Gen.	371	371
321	863	872	I-I	20x60	Legno	Legno_Te nso-Presso flessione	0	5050	0	0	0	0	0	0	Gen.	371	371
322	828	837	CC-C C	16x32	Legno	Legno_Arc areccio	0	5050	0	0	0	0	0	0	Gen.	371	371
323	837	846	CC-C C	16x32	Legno	Legno_Arc areccio	0	5050	0	0	0	0	0	0	Gen.	371	371
324	846	855	CC-C C	16x32	Legno	Legno_Arc areccio	0	5050	0	0	0	0	0	0	Gen.	371	371
325	855	864	CC-C C	16x32	Legno	Legno_Arc areccio	0	5050	0	0	0	0	0	0	Gen.	371	371
326	864	873	CC-C C	16x32	Legno	Legno_Arc areccio	0	5050	0	0	0	0	0	0	Gen.	371	371
338	219	229	I-I	20x100	Legno	Legno_Te nso-Presso flessione	0	5050	0	0	0	0	0	0	Gen.	175	175
339	220	230	I-I	20x100	Legno	Legno_Te nso-Presso flessione	0	5050	0	0	0	0	0	0	Gen.	175	175
340	221	231	I-I	20x100	Legno	Legno_Te nso-Presso flessione	0	5050	0	0	0	0	0	0	Gen.	175	175
341	222	232	I-I	20x100	Legno	Legno_Te nso-Presso flessione	0	5050	0	0	0	0	0	0	Gen.	175	175
342	223	233	I-I	20x100	Legno	Legno_Te nso-Presso flessione	0	5050	0	0	0	0	0	0	Gen.	175	175
343	224	234	I-I	20x100	Legno	Legno_Te nso-Presso flessione	0	5050	0	0	0	0	0	0	Gen.	175	175
333	229	230	CC-C C	16x32	Legno	Legno_Arc areccio	0	5050	0	0	0	0	0	0	Gen.	371	371
334	230	231	CC-C C	16x32	Legno	Legno_Arc areccio	0	5050	0	0	0	0	0	0	Gen.	371	371
335	231	232	CC-C C	16x32	Legno	Legno_Arc areccio	0	5050	0	0	0	0	0	0	Gen.	371	371
336	232	233	CC-C C	16x32	Legno	Legno_Arc areccio	0	5050	0	0	0	0	0	0	Gen.	371	371
337	233	234	CC-C C	16x32	Legno	Legno_Arc areccio	0	5050	0	0	0	0	0	0	Gen.	371	371
338	221	211	I-I	20x100	Legno	Legno_Te nso-Presso flessione	0	5050	0	0	0	0	0	0	Gen.	175	175
339	222	212	I-I	20x100	Legno	Legno_Te nso-Presso flessione	0	5050	0	0	0	0	0	0	Gen.	175	175
340	223	213	I-I	20x100	Legno	Legno_Te nso-Presso flessione	0	5050	0	0	0	0	0	0	Gen.	175	175
341	224	214	I-I	20x100	Legno	Legno_Te nso-Presso flessione	0	5050	0	0	0	0	0	0	Gen.	175	175
342	225	215	I-I	20x100	Legno	Legno_Te nso-Presso flessione	0	5050	0	0	0	0	0	0	Gen.	175	175
343	226	216	I-I	20x100	Legno	Legno_Te	0	5050	0	0	0	0	0	0	Gen.	175	175

	Ni	Nf	Vinc.	Sez.	Mat.	Crit.pr.	Rot.	f.f.	xi	yi	zi	xf	yf	zf	Tipo	L2	L3
						nso-Presso flessione											
346	221	222	CC-C C	16x32	Legno	Legno_Arc areccio	0	5050	0	0	0	0	0	0	Gen.	371	371
346	222	223	CC-C C	16x32	Legno	Legno_Arc areccio	0	5050	0	0	0	0	0	0	Gen.	371	371
346	223	224	CC-C C	16x32	Legno	Legno_Arc areccio	0	5050	0	0	0	0	0	0	Gen.	371	371
346	224	225	CC-C C	16x32	Legno	Legno_Arc areccio	0	5050	0	0	0	0	0	0	Gen.	371	371
346	225	226	CC-C C	16x32	Legno	Legno_Arc areccio	0	5050	0	0	0	0	0	0	Gen.	371	371
344	217	874	I-I	20x100	Legno	Legno_Te nso-Presso flessione	0	5050	0	0	0	0	0	0	Gen.	175	175
345	218	883	I-I	20x100	Legno	Legno_Te nso-Presso flessione	0	5050	0	0	0	0	0	0	Gen.	175	175
344	874	875	I-I	20x100	Legno	Legno_Te nso-Presso flessione	0	5050	0	0	0	0	0	0	Gen.	175	175
344	875	876	I-I	20x100	Legno	Legno_Te nso-Presso flessione	0	5050	0	0	0	0	0	0	Gen.	175	175
344	876	877	I-I	20x100	Legno	Legno_Te nso-Presso flessione	0	5050	0	0	0	0	0	0	Gen.	175	175
344	877	878	I-I	20x100	Legno	Legno_Te nso-Presso flessione	0	5050	0	0	0	0	0	0	Gen.	175	175
344	878	879	I-I	20x100	Legno	Legno_Te nso-Presso flessione	0	5050	0	0	0	0	0	0	Gen.	175	175
344	879	880	I-I	20x100	Legno	Legno_Te nso-Presso flessione	0	5050	0	0	0	0	0	0	Gen.	175	175
344	880	881	I-I	20x100	Legno	Legno_Te nso-Presso flessione	0	5050	0	0	0	0	0	0	Gen.	175	175
344	881	882	I-I	20x100	Legno	Legno_Te nso-Presso flessione	0	5050	0	0	0	0	0	0	Gen.	175	175
344	882	225	I-I	20x100	Legno	Legno_Te nso-Presso flessione	0	5050	0	0	0	0	0	0	Gen.	175	175
345	883	884	I-I	20x100	Legno	Legno_Te nso-Presso flessione	0	5050	0	0	0	0	0	0	Gen.	175	175
345	884	885	I-I	20x100	Legno	Legno_Te nso-Presso flessione	0	5050	0	0	0	0	0	0	Gen.	175	175
345	885	886	I-I	20x100	Legno	Legno_Te nso-Presso flessione	0	5050	0	0	0	0	0	0	Gen.	175	175
345	886	887	I-I	20x100	Legno	Legno_Te nso-Presso flessione	0	5050	0	0	0	0	0	0	Gen.	175	175
345	887	888	I-I	20x100	Legno	Legno_Te nso-Presso flessione	0	5050	0	0	0	0	0	0	Gen.	175	175
345	888	889	I-I	20x100	Legno	Legno_Te nso-Presso flessione	0	5050	0	0	0	0	0	0	Gen.	175	175
345	889	890	I-I	20x100	Legno	Legno_Te nso-Presso flessione	0	5050	0	0	0	0	0	0	Gen.	175	175
345	890	891	I-I	20x100	Legno	Legno_Te nso-Presso flessione	0	5050	0	0	0	0	0	0	Gen.	175	175
345	891	226	I-I	20x100	Legno	Legno_Te nso-Presso flessione	0	5050	0	0	0	0	0	0	Gen.	175	175
369	216	217	I-I	20x60	Legno	Legno_Te nso-Presso flessione	0	8585	0	0	0	0	0	0	Gen.	371	371
370	217	218	I-I	20x60	Legno	Legno_Te nso-Presso flessione	0	8585	0	0	0	0	0	0	Gen.	371	371
371	874	883	CC-C C	16x32	Legno	Legno_Arc areccio	0	8585	0	0	0	0	0	0	Gen.	371	371
372	865	874	CC-C C	16x32	Legno	Legno_Arc areccio	0	8585	0	0	0	0	0	0	Gen.	371	371
373	875	884	I-I	20x60	Legno	Legno_Te nso-Presso flessione	0	8585	0	0	0	0	0	0	Gen.	371	371
374	866	875	I-I	20x60	Legno	Legno_Te	0	8585	0	0	0	0	0	0	Gen.	371	371

	Ni	Nf	Vinc.	Sez.	Mat.	Crit.pr.	Rot.	f.f.	xi	yi	zi	xf	yf	zf	Tipo	L2	L3
						nso-Presso flessione											
375	876	885	CC-C C	16x32	Legno	Legno_Arc areccio	0	8585	0	0	0	0	0	0	Gen.	371	371
376	867	876	CC-C C	16x32	Legno	Legno_Arc areccio	0	8585	0	0	0	0	0	0	Gen.	371	371
377	877	886	I-I	20x60	Legno	Legno_Te nso-Presso flessione	0	8585	0	0	0	0	0	0	Gen.	371	371
378	868	877	I-I	20x60	Legno	Legno_Te nso-Presso flessione	0	8585	0	0	0	0	0	0	Gen.	371	371
379	878	887	CC-C C	16x32	Legno	Legno_Arc areccio	0	8585	0	0	0	0	0	0	Gen.	371	371
380	869	878	CC-C C	16x32	Legno	Legno_Arc areccio	0	8585	0	0	0	0	0	0	Gen.	371	371
381	879	888	I-I	20x60	Legno	Legno_Te nso-Presso flessione	0	8585	0	0	0	0	0	0	Gen.	371	371
382	870	879	I-I	20x60	Legno	Legno_Te nso-Presso flessione	0	8585	0	0	0	0	0	0	Gen.	371	371
383	880	889	CC-C C	16x32	Legno	Legno_Arc areccio	0	8585	0	0	0	0	0	0	Gen.	371	371
384	871	880	CC-C C	16x32	Legno	Legno_Arc areccio	0	8585	0	0	0	0	0	0	Gen.	371	371
385	881	890	I-I	20x60	Legno	Legno_Te nso-Presso flessione	0	8585	0	0	0	0	0	0	Gen.	371	371
386	872	881	I-I	20x60	Legno	Legno_Te nso-Presso flessione	0	8585	0	0	0	0	0	0	Gen.	371	371
387	882	891	CC-C C	16x32	Legno	Legno_Arc areccio	0	8585	0	0	0	0	0	0	Gen.	371	371
388	873	882	CC-C C	16x32	Legno	Legno_Arc areccio	0	8585	0	0	0	0	0	0	Gen.	371	371
389	225	226	I-I	20x60	Legno	Legno_Te nso-Presso flessione	0	8585	0	0	0	0	0	0	Gen.	371	371
390	224	225	I-I	20x60	Legno	Legno_Te nso-Presso flessione	0	8585	0	0	0	0	0	0	Gen.	371	371
391	234	235	CC-C C	16x32	Legno	Legno_Arc areccio	0	8585	0	0	0	0	0	0	Gen.	371	371
392	235	236	CC-C C	16x32	Legno	Legno_Arc areccio	0	8585	0	0	0	0	0	0	Gen.	371	371
344	225	235	I-I	20x100	Legno	Legno_Te nso-Presso flessione	0	5050	0	0	0	0	0	0	Gen.	175	175
345	226	236	I-I	20x100	Legno	Legno_Te nso-Presso flessione	0	5050	0	0	0	0	0	0	Gen.	175	175
345	228	218	I-I	20x100	Legno	Legno_Te nso-Presso flessione	0	5050	0	0	0	0	0	0	Gen.	175	175
346	227	228	CC-C C	16x32	Legno	Legno_Arc areccio	0	8585	0	0	0	0	0	0	Gen.	371	371
346	226	227	CC-C C	16x32	Legno	Legno_Arc areccio	0	8585	0	0	0	0	0	0	Gen.	371	371
344	227	217	I-I	20x100	Legno	Legno_Te nso-Presso flessione	0	5050	0	0	0	0	0	0	Gen.	175	175

Aste - Carichi

Descrizione carichi aste

UnifG	Uniforme globale
UnifL	Uniforme locale
VarG	Variabile lineare globale
VarL	Variabile lineare locale
PolG	Poligonale globale
Termico	Distorsione termica
Torcente	Carico torcente
Precomp.	Carico da precompressione

PolL

Poligonale locale

Sezione	Ni	Nf	Cond.	Tipo c.	Xi	QXi	QYi	QZi	Xf	QXf	QYf	QZf
					cm	car. dist. kg/m coppie torc. kg*m/m			cm	car. dist. kg/m coppie torc. kg*m/m		
Pilastro 1												
50x150	1	101	Peso Proprio	UnifG	0	0	0	1875	625	0	0	1875
50x150	101	201	Peso Proprio	UnifG	0	0	0	1875	780	0	0	1875
50x50	201	211	Peso Proprio	UnifG	0	0	0	625	50	0	0	625
Pilastro 2												
50x150	2	102	Peso Proprio	UnifG	0	0	0	1875	625	0	0	1875
50x150	102	202	Peso Proprio	UnifG	0	0	0	1875	811	0	0	1875
50x50	202	212	Peso Proprio	UnifG	0	0	0	625	50	0	0	625
Pilastro 3												
100x210	3	103	Peso Proprio	UnifG	0	0	0	5250	625	0	0	5250
100x210	103	203	Peso Proprio	UnifG	0	0	0	5250	842	0	0	5250
50x50	203	213	Peso Proprio	UnifG	0	0	0	625	50	0	0	625
Pilastro 4												
100x210	4	104	Peso Proprio	UnifG	0	0	0	5250	625	0	0	5250
100x210	104	204	Peso Proprio	UnifG	0	0	0	5250	873	0	0	5250
50x50	204	214	Peso Proprio	UnifG	0	0	0	625	50	0	0	625
Pilastro 5												
100x210	5	105	Peso Proprio	UnifG	0	0	0	5250	625	0	0	5250
100x210	105	205	Peso Proprio	UnifG	0	0	0	5250	904	0	0	5250
50x50	205	215	Peso Proprio	UnifG	0	0	0	625	50	0	0	625
Pilastro 6												
100x210	6	106	Peso Proprio	UnifG	0	0	0	5250	625	0	0	5250
100x210	106	206	Peso Proprio	UnifG	0	0	0	5250	935	0	0	5250
50x50	206	216	Peso Proprio	UnifG	0	0	0	625	50	0	0	625
Pilastro 7												
100x210	7	107	Peso Proprio	UnifG	0	0	0	5250	625	0	0	5250
100x210	107	207	Peso Proprio	UnifG	0	0	0	5250	905	0	0	5250
50x50	207	217	Peso Proprio	UnifG	0	0	0	625	50	0	0	625
Pilastro 8												
50x150	8	108	Peso Proprio	UnifG	0	0	0	1875	625	0	0	1875
50x150	108	208	Peso Proprio	UnifG	0	0	0	1875	875	0	0	1875
50x50	208	218	Peso Proprio	UnifG	0	0	0	625	50	0	0	625
Pilastro 9												
50x150	9	109	Peso Proprio	UnifG	0	0	0	1875	625	0	0	1875
50x150	109	209	Peso Proprio	UnifG	0	0	0	1875	780	0	0	1875
50x50	209	219	Peso Proprio	UnifG	0	0	0	625	50	0	0	625
Pilastro 10												
50x150	10	110	Peso Proprio	UnifG	0	0	0	1875	625	0	0	1875
50x150	110	210	Peso Proprio	UnifG	0	0	0	1875	811	0	0	1875
50x50	210	220	Peso Proprio	UnifG	0	0	0	625	50	0	0	625
Pilastro 11												
100x210	11	111	Peso Proprio	UnifG	0	0	0	5250	625	0	0	5250
100x210	111	211	Peso Proprio	UnifG	0	0	0	5250	842	0	0	5250
50x50	211	221	Peso Proprio	UnifG	0	0	0	625	50	0	0	625
Pilastro 12												
100x210	12	112	Peso Proprio	UnifG	0	0	0	5250	625	0	0	5250
100x210	112	212	Peso Proprio	UnifG	0	0	0	5250	873	0	0	5250
50x50	212	222	Peso Proprio	UnifG	0	0	0	625	50	0	0	625
Pilastro 13												
100x210	13	113	Peso Proprio	UnifG	0	0	0	5250	625	0	0	5250
100x210	113	213	Peso Proprio	UnifG	0	0	0	5250	904	0	0	5250
50x50	213	223	Peso Proprio	UnifG	0	0	0	625	50	0	0	625
Pilastro 14												
100x210	14	114	Peso Proprio	UnifG	0	0	0	5250	625	0	0	5250
100x210	114	214	Peso Proprio	UnifG	0	0	0	5250	935	0	0	5250
50x50	214	224	Peso Proprio	UnifG	0	0	0	625	50	0	0	625
Pilastro 15												
100x210	15	115	Peso Proprio	UnifG	0	0	0	5250	625	0	0	5250
100x210	115	215	Peso Proprio	UnifG	0	0	0	5250	905	0	0	5250
50x50	215	225	Peso Proprio	UnifG	0	0	0	625	50	0	0	625
Pilastro 16												
50x150	16	116	Peso Proprio	UnifG	0	0	0	1875	625	0	0	1875

Sezione	Ni	Nf	Cond.	Tipo c.	Xi	QXi	QYi	QZi	Xf	QXf	QYf	QZf
50x150	116	216	Peso Proprio	UnifG	0	0	0	1875	875	0	0	1875
50x50	216	226	Peso Proprio	UnifG	0	0	0	625	50	0	0	625
Trave 101												
50x180	101	109	Peso Proprio	UnifG	0	0	0	2250	1600	0	0	2250
50x180	101	109	QP Solai	PolG	0	0	0	555	1750	0	0	555
50x180	101	109	QFissi Solai	PolG	0	0	0	185	1750	0	0	185
50x180	101	109	QV Solai	PolG	0	0	0	925	1750	0	0	925
50x180	101	109	QV SolaiPsi0	PolG	0	0	0	648	1750	0	0	648
50x180	101	109	QV SolaiPsi1	PolG	0	0	0	648	1750	0	0	648
50x180	101	109	QV SolaiPsi2	PolG	0	0	0	555	1750	0	0	555
50x180	101	109	Tamponamenti(G2)	UnifG	0	0	0	1500	1750	0	0	1500
Trave 102												
50x150	101	102	Peso Proprio	UnifG	0	0	0	1875	370	0	0	1875
50x150	101	102	Tamponamenti(G2)	UnifG	0	0	0	1000	370	0	0	1000
50x150	102	103	Peso Proprio	UnifG	0	0	0	1875	370	0	0	1875
50x150	102	103	Tamponamenti(G2)	UnifG	0	0	0	1000	370	0	0	1000
Trave 103												
50x180	102	110	Peso Proprio	UnifG	0	0	0	2250	1600	0	0	2250
50x180	102	110	QP Solai	PolG	0	0	0	1110	1750	0	0	1110
50x180	102	110	QFissi Solai	PolG	0	0	0	370	1750	0	0	370
50x180	102	110	QV Solai	PolG	0	0	0	1850	1750	0	0	1850
50x180	102	110	QV SolaiPsi0	PolG	0	0	0	1295	1750	0	0	1295
50x180	102	110	QV SolaiPsi1	PolG	0	0	0	1295	1750	0	0	1295
50x180	102	110	QV SolaiPsi2	PolG	0	0	0	1110	1750	0	0	1110
Trave 104												
50x180	103	111	Peso Proprio	UnifG	0	0	0	2250	1610	0	0	2250
50x180	103	111	QP Solai	PolG	0	0	0	1110	1750	0	0	1110
50x180	103	111	QFissi Solai	PolG	0	0	0	370	1750	0	0	370
50x180	103	111	QV Solai	PolG	0	0	0	1850	1750	0	0	1850
50x180	103	111	QV SolaiPsi0	PolG	0	0	0	1295	1750	0	0	1295
50x180	103	111	QV SolaiPsi1	PolG	0	0	0	1295	1750	0	0	1295
50x180	103	111	QV SolaiPsi2	PolG	0	0	0	1110	1750	0	0	1110
Trave 105												
50x180	104	112	Peso Proprio	UnifG	0	0	0	2250	1610	0	0	2250
50x180	104	112	QP Solai	PolG	0	0	0	1110	1750	0	0	1110
50x180	104	112	QFissi Solai	PolG	0	0	0	370	1750	0	0	370
50x180	104	112	QV Solai	PolG	0	0	0	1850	1750	0	0	1850
50x180	104	112	QV SolaiPsi0	PolG	0	0	0	1295	1750	0	0	1295
50x180	104	112	QV SolaiPsi1	PolG	0	0	0	1295	1750	0	0	1295
50x180	104	112	QV SolaiPsi2	PolG	0	0	0	1110	1750	0	0	1110
Trave 106												
50x180	105	113	Peso Proprio	UnifG	0	0	0	2250	1610	0	0	2250
50x180	105	113	QP Solai	PolG	0	0	0	1110	1750	0	0	1110
50x180	105	113	QFissi Solai	PolG	0	0	0	370	1750	0	0	370
50x180	105	113	QV Solai	PolG	0	0	0	1850	1750	0	0	1850
50x180	105	113	QV SolaiPsi0	PolG	0	0	0	1295	1750	0	0	1295
50x180	105	113	QV SolaiPsi1	PolG	0	0	0	1295	1750	0	0	1295
50x180	105	113	QV SolaiPsi2	PolG	0	0	0	1110	1750	0	0	1110
Trave 107												
50x180	106	114	Peso Proprio	UnifG	0	0	0	2250	1610	0	0	2250
50x180	106	114	QP Solai	PolG	0	0	0	1110	1750	0	0	1110
50x180	106	114	QFissi Solai	PolG	0	0	0	370	1750	0	0	370
50x180	106	114	QV Solai	PolG	0	0	0	1850	1750	0	0	1850
50x180	106	114	QV SolaiPsi0	PolG	0	0	0	1295	1750	0	0	1295
50x180	106	114	QV SolaiPsi1	PolG	0	0	0	1295	1750	0	0	1295
50x180	106	114	QV SolaiPsi2	PolG	0	0	0	1110	1750	0	0	1110
Trave 108												
50x180	107	115	Peso Proprio	UnifG	0	0	0	2250	1610	0	0	2250
50x180	107	115	QP Solai	PolG	0	0	0	1110	1750	0	0	1110
50x180	107	115	QFissi Solai	PolG	0	0	0	370	1750	0	0	370
50x180	107	115	QV Solai	PolG	0	0	0	1850	1750	0	0	1850
50x180	107	115	QV SolaiPsi0	PolG	0	0	0	1295	1750	0	0	1295
50x180	107	115	QV SolaiPsi1	PolG	0	0	0	1295	1750	0	0	1295
50x180	107	115	QV SolaiPsi2	PolG	0	0	0	1110	1750	0	0	1110
Trave 109												
50x180	108	116	Peso Proprio	UnifG	0	0	0	2250	1600	0	0	2250

Sezione	Ni	Nf	Cond.	Tipo c.	Xi	QXi	QYi	QZi	Xf	QXf	QYf	QZf
50x180	108	116	QP Solai	PolG	0	0	0	555	1750	0	0	555
50x180	108	116	QFissi Solai	PolG	0	0	0	185	1750	0	0	185
50x180	108	116	QV Solai	PolG	0	0	0	925	1750	0	0	925
50x180	108	116	QV SolaiPsi0	PolG	0	0	0	647	1750	0	0	647
50x180	108	116	QV SolaiPsi1	PolG	0	0	0	647	1750	0	0	647
50x180	108	116	QV SolaiPsi2	PolG	0	0	0	555	1750	0	0	555
50x180	108	116	Tamponamenti(G2)	UnifG	0	0	0	1500	1750	0	0	1500
Trave 111												
50x150	107	108	Peso Proprio	UnifG	0	0	0	1875	370	0	0	1875
50x150	107	108	Tamponamenti(G2)	UnifG	0	0	0	1000	370	0	0	1000
Trave 112												
50x150	109	110	Peso Proprio	UnifG	0	0	0	1875	370	0	0	1875
50x150	109	110	Tamponamenti(G2)	UnifG	0	0	0	1000	370	0	0	1000
50x150	110	111	Peso Proprio	UnifG	0	0	0	1875	370	0	0	1875
50x150	110	111	Tamponamenti(G2)	UnifG	0	0	0	1000	370	0	0	1000
Trave 113												
50x150	115	116	Peso Proprio	UnifG	0	0	0	1875	370	0	0	1875
50x150	115	116	Tamponamenti(G2)	UnifG	0	0	0	1000	370	0	0	1000
Trave 114												
T200	103	104	Peso Proprio	UnifG	0	0	0	3750	370	0	0	3750
T200	104	811	Peso Proprio	UnifG	0	0	0	3750	185	0	0	3750
T200	104	811	Tamponamenti(G2)	UnifG	0	0	0	1000	185	0	0	1000
T200	105	812	Peso Proprio	UnifG	0	0	0	3750	185	0	0	3750
T200	105	812	Tamponamenti(G2)	UnifG	0	0	0	1000	185	0	0	1000
T200	106	107	Peso Proprio	UnifG	0	0	0	3750	370	0	0	3750
T200	811	105	Peso Proprio	UnifG	0	0	0	3750	185	0	0	3750
T200	811	105	Tamponamenti(G2)	UnifG	0	0	0	1000	185	0	0	1000
T200	812	106	Peso Proprio	UnifG	0	0	0	3750	185	0	0	3750
T200	812	106	Tamponamenti(G2)	UnifG	0	0	0	1000	185	0	0	1000
Trave 115												
T200	111	112	Peso Proprio	UnifG	0	0	0	3750	370	0	0	3750
T200	112	813	Peso Proprio	UnifG	0	0	0	3750	185	0	0	3750
T200	112	813	Tamponamenti(G2)	UnifG	0	0	0	1000	185	0	0	1000
T200	113	814	Peso Proprio	UnifG	0	0	0	3750	185	0	0	3750
T200	113	814	Tamponamenti(G2)	UnifG	0	0	0	1000	185	0	0	1000
T200	114	115	Peso Proprio	UnifG	0	0	0	3750	370	0	0	3750
T200	813	113	Peso Proprio	UnifG	0	0	0	3750	185	0	0	3750
T200	813	113	Tamponamenti(G2)	UnifG	0	0	0	1000	185	0	0	1000
T200	814	114	Peso Proprio	UnifG	0	0	0	3750	185	0	0	3750
T200	814	114	Tamponamenti(G2)	UnifG	0	0	0	1000	185	0	0	1000
Trave 201												
50x100	201	209	Peso Proprio	UnifG	0	0	0	1250	1675	0	0	1250
Trave 202												
50x150	201	202	Peso Proprio	UnifG	0	0	0	1875	371	0	0	1875
50x150	202	203	Peso Proprio	UnifG	0	0	0	1875	371	0	0	1875
50x150	203	204	Peso Proprio	UnifG	0	0	0	1875	371	0	0	1875
Trave 203												
50x100	202	210	Peso Proprio	UnifG	0	0	0	1250	1600	0	0	1250
Trave 204												
50x100	203	211	Peso Proprio	UnifG	0	0	0	1250	1610	0	0	1250
Trave 205												
50x100	204	212	Peso Proprio	UnifG	0	0	0	1250	1610	0	0	1250
Trave 206												
50x150	204	818	Peso Proprio	UnifG	0	0	0	1875	186	0	0	1875
50x150	205	817	Peso Proprio	UnifG	0	0	0	1875	186	0	0	1875
50x150	206	207	Peso Proprio	UnifG	0	0	0	1875	371	0	0	1875
50x150	207	208	Peso Proprio	UnifG	0	0	0	1875	371	0	0	1875
50x150	817	206	Peso Proprio	UnifG	0	0	0	1875	186	0	0	1875
50x150	818	205	Peso Proprio	UnifG	0	0	0	1875	186	0	0	1875
Trave 207												
50x100	205	213	Peso Proprio	UnifG	0	0	0	1250	1610	0	0	1250
Trave 208												
50x100	206	214	Peso Proprio	UnifG	0	0	0	1250	1680	0	0	1250
Trave 209												
50x100	207	215	Peso Proprio	UnifG	0	0	0	1250	1610	0	0	1250
Trave 210												

Sezione	Ni	Nf	Cond.	Tipo c.	Xi	QXi	QYi	QZi	Xf	QXf	QYf	QZf
50x100	208	216	Peso Proprio	UnifG	0	0	0	1250	1600	0	0	1250
Trave 211												
50x150	209	210	Peso Proprio	UnifG	0	0	0	1875	371	0	0	1875
50x150	210	211	Peso Proprio	UnifG	0	0	0	1875	371	0	0	1875
50x150	211	212	Peso Proprio	UnifG	0	0	0	1875	371	0	0	1875
50x150	212	815	Peso Proprio	UnifG	0	0	0	1875	186	0	0	1875
50x150	213	816	Peso Proprio	UnifG	0	0	0	1875	186	0	0	1875
50x150	214	215	Peso Proprio	UnifG	0	0	0	1875	371	0	0	1875
50x150	215	216	Peso Proprio	UnifG	0	0	0	1875	371	0	0	1875
50x150	815	213	Peso Proprio	UnifG	0	0	0	1875	186	0	0	1875
50x150	816	214	Peso Proprio	UnifG	0	0	0	1875	186	0	0	1875
Trave 399												
Fi30	211	830	Peso Proprio	UnifG	0	0	0	6	510	0	0	6
Trave 400												
Fi30	212	821	Peso Proprio	UnifG	0	0	0	6	510	0	0	6
Trave 401												
Fi30	821	832	Peso Proprio	UnifG	0	0	0	6	510	0	0	6
Trave 402												
Fi30	830	823	Peso Proprio	UnifG	0	0	0	6	510	0	0	6
Trave 403												
Fi30	823	834	Peso Proprio	UnifG	0	0	0	6	510	0	0	6
Trave 404												
Fi30	832	825	Peso Proprio	UnifG	0	0	0	6	510	0	0	6
Trave 405												
Fi30	825	836	Peso Proprio	UnifG	0	0	0	6	510	0	0	6
Trave 406												
Fi30	834	827	Peso Proprio	UnifG	0	0	0	6	510	0	0	6
Trave 407												
Fi30	827	220	Peso Proprio	UnifG	0	0	0	6	510	0	0	6
Trave 408												
Fi30	836	219	Peso Proprio	UnifG	0	0	0	6	510	0	0	6
Trave 409												
Fi30	217	884	Peso Proprio	UnifG	0	0	0	6	510	0	0	6
Trave 410												
Fi30	218	875	Peso Proprio	UnifG	0	0	0	6	510	0	0	6
Trave 411												
Fi30	875	886	Peso Proprio	UnifG	0	0	0	6	510	0	0	6
Trave 412												
Fi30	884	877	Peso Proprio	UnifG	0	0	0	6	510	0	0	6
Trave 413												
Fi30	877	888	Peso Proprio	UnifG	0	0	0	6	510	0	0	6
Trave 414												
Fi30	886	879	Peso Proprio	UnifG	0	0	0	6	510	0	0	6
Trave 415												
Fi30	879	890	Peso Proprio	UnifG	0	0	0	6	510	0	0	6
Trave 416												
Fi30	888	881	Peso Proprio	UnifG	0	0	0	6	510	0	0	6
Trave 417												
Fi30	881	226	Peso Proprio	UnifG	0	0	0	6	510	0	0	6
Trave 418												
Fi30	890	225	Peso Proprio	UnifG	0	0	0	6	510	0	0	6
Trave 8000												
50x180	13	14	Peso Proprio	UnifG	0	0	0	2250	370	0	0	2250
50x180	14	15	Peso Proprio	UnifG	0	0	0	2250	370	0	0	2250
50x180	15	16	Peso Proprio	UnifG	0	0	0	2250	370	0	0	2250
50x180	16	17	Peso Proprio	UnifG	0	0	0	2250	370	0	0	2250
50x180	17	27	Peso Proprio	UnifG	0	0	0	2250	370	0	0	2250
50x180	23	13	Peso Proprio	UnifG	0	0	0	2250	370	0	0	2250
Trave 8001												
50x180	113	114	Peso Proprio	UnifG	0	0	0	2250	370	0	0	2250
50x180	114	115	Peso Proprio	UnifG	0	0	0	2250	370	0	0	2250
50x180	115	116	Peso Proprio	UnifG	0	0	0	2250	370	0	0	2250
50x180	116	117	Peso Proprio	UnifG	0	0	0	2250	370	0	0	2250
50x180	117	127	Peso Proprio	UnifG	0	0	0	2250	370	0	0	2250
50x180	123	113	Peso Proprio	UnifG	0	0	0	2250	370	0	0	2250
Fondazione 9001												

Sezione	Ni	Nf	Cond.	Tipo c.	Xi	QXi	QYi	QZi	Xf	QXf	QYf	QZf
T70x150	1	9	Peso Proprio	UnifG	0	0	0	2025	1750	0	0	2025
T70x150	1	9	Tamponamenti(G2)	UnifG	0	0	0	1200	1750	0	0	1200
Fondazione 9002												
T160x210	1	2	Peso Proprio	UnifG	0	0	0	8625	395	0	0	8625
T160x210	1	2	Tamponamenti(G2)	UnifG	0	0	0	1200	370	0	0	1200
T160x210	2	3	Peso Proprio	UnifG	0	0	0	8625	370	0	0	8625
T160x210	2	3	Tamponamenti(G2)	UnifG	0	0	0	1200	370	0	0	1200
T160x210	3	4	Peso Proprio	UnifG	0	0	0	8625	370	0	0	8625
T160x210	4	5	Peso Proprio	UnifG	0	0	0	8625	370	0	0	8625
T160x210	4	5	Tamponamenti(G2)	UnifG	0	0	0	1200	370	0	0	1200
T160x210	5	6	Peso Proprio	UnifG	0	0	0	8625	370	0	0	8625
T160x210	5	6	Tamponamenti(G2)	UnifG	0	0	0	1200	370	0	0	1200
T160x210	6	7	Peso Proprio	UnifG	0	0	0	8625	370	0	0	8625
T160x210	7	8	Peso Proprio	UnifG	0	0	0	8625	395	0	0	8625
T160x210	7	8	Tamponamenti(G2)	UnifG	0	0	0	1200	370	0	0	1200
Fondazione 9003												
T70x150	0	10	Peso Proprio	UnifG	0	0	0	2025	360	0	0	2025
T70x150	2	812	Peso Proprio	UnifG	0	0	0	2025	360	0	0	2025
T70x150	812	0	Peso Proprio	UnifG	0	0	0	2025	1030	0	0	2025
Fondazione 9004												
T70x150	3	802	Peso Proprio	UnifG	0	0	0	2025	360	0	0	2025
T70x150	802	804	Peso Proprio	UnifG	0	0	0	2025	1030	0	0	2025
T70x150	804	11	Peso Proprio	UnifG	0	0	0	2025	360	0	0	2025
Fondazione 9005												
T70x150	4	801	Peso Proprio	UnifG	0	0	0	2025	360	0	0	2025
T70x150	801	803	Peso Proprio	UnifG	0	0	0	2025	1030	0	0	2025
T70x150	803	12	Peso Proprio	UnifG	0	0	0	2025	360	0	0	2025
Fondazione 9006												
T70x150	5	809	Peso Proprio	UnifG	0	0	0	2025	360	0	0	2025
T70x150	809	810	Peso Proprio	UnifG	0	0	0	2025	1030	0	0	2025
T70x150	810	13	Peso Proprio	UnifG	0	0	0	2025	360	0	0	2025
Fondazione 9007												
T70x150	6	806	Peso Proprio	UnifG	0	0	0	2025	360	0	0	2025
T70x150	806	808	Peso Proprio	UnifG	0	0	0	2025	1030	0	0	2025
T70x150	808	14	Peso Proprio	UnifG	0	0	0	2025	360	0	0	2025
Fondazione 9008												
T70x150	7	805	Peso Proprio	UnifG	0	0	0	2025	360	0	0	2025
T70x150	805	807	Peso Proprio	UnifG	0	0	0	2025	1030	0	0	2025
T70x150	807	15	Peso Proprio	UnifG	0	0	0	2025	360	0	0	2025
Fondazione 9009												
T70x150	0	16	Peso Proprio	UnifG	0	0	0	2025	360	0	0	2025
T70x150	8	819	Peso Proprio	UnifG	0	0	0	2025	360	0	0	2025
T70x150	8	819	Tamponamenti(G2)	UnifG	0	0	0	1200	360	0	0	1200
T70x150	819	0	Peso Proprio	UnifG	0	0	0	2025	1030	0	0	2025
T70x150	819	0	Tamponamenti(G2)	UnifG	0	0	0	1200	1030	0	0	1200
Fondazione 9010												
T160x210	9	10	Peso Proprio	UnifG	0	0	0	8625	395	0	0	8625
T160x210	9	10	Tamponamenti(G2)	UnifG	0	0	0	1200	370	0	0	1200
T160x210	10	11	Peso Proprio	UnifG	0	0	0	8625	370	0	0	8625
T160x210	10	11	Tamponamenti(G2)	UnifG	0	0	0	1200	370	0	0	1200
T160x210	11	12	Peso Proprio	UnifG	0	0	0	8625	370	0	0	8625
T160x210	12	13	Peso Proprio	UnifG	0	0	0	8625	370	0	0	8625
T160x210	12	13	Tamponamenti(G2)	UnifG	0	0	0	1200	370	0	0	1200
T160x210	13	14	Peso Proprio	UnifG	0	0	0	8625	370	0	0	8625
T160x210	13	14	Tamponamenti(G2)	UnifG	0	0	0	1200	370	0	0	1200
T160x210	14	15	Peso Proprio	UnifG	0	0	0	8625	370	0	0	8625
T160x210	15	16	Peso Proprio	UnifG	0	0	0	8625	395	0	0	8625
T160x210	15	16	Tamponamenti(G2)	UnifG	0	0	0	1200	370	0	0	1200
Generica 272												
20x60	211	212	Peso Proprio	UnifG	0	0	0	96	371	0	0	96
20x60	211	212	QP Solai	PolG	0	0	0	53	371	0	0	53
20x60	211	212	QFissi Solai	PolG	0	0	0	88	371	0	0	88
Generica 273												
20x60	212	213	Peso Proprio	UnifG	0	0	0	96	371	0	0	96
20x60	212	213	QP Solai	PolG	0	0	0	53	371	0	0	53
20x60	212	213	QFissi Solai	PolG	0	0	0	88	371	0	0	88

Sezione	Ni	Nf	Cond.	Tipo c.	Xi	QXi	QYi	QZi	Xf	QXf	QYf	QZf
Generica 274												
20x60	213	214	Peso Proprio	UnifG	0	0	0	96	371	0	0	96
20x60	213	214	QP Solai	PolG	0	0	0	53	371	0	0	53
20x60	213	214	QFissi Solai	PolG	0	0	0	88	371	0	0	88
Generica 275												
20x60	214	215	Peso Proprio	UnifG	0	0	0	96	371	0	0	96
20x60	214	215	QP Solai	PolG	0	0	0	53	371	0	0	53
20x60	214	215	QFissi Solai	PolG	0	0	0	88	371	0	0	88
Generica 276												
20x60	215	216	Peso Proprio	UnifG	0	0	0	96	371	0	0	96
20x60	215	216	QP Solai	PolG	0	0	0	53	371	0	0	53
20x60	215	216	QFissi Solai	PolG	0	0	0	88	371	0	0	88
Generica 277												
20x60	219	220	Peso Proprio	UnifG	0	0	0	96	371	0	0	96
20x60	219	220	QP Solai	PolG	0	0	0	52	371	0	0	52
20x60	219	220	QFissi Solai	PolG	0	0	0	87	371	0	0	87
Generica 278												
20x60	220	221	Peso Proprio	UnifG	0	0	0	96	371	0	0	96
20x60	220	221	QP Solai	PolG	0	0	0	52	371	0	0	52
20x60	220	221	QFissi Solai	PolG	0	0	0	87	371	0	0	87
Generica 279												
20x60	221	222	Peso Proprio	UnifG	0	0	0	96	371	0	0	96
20x60	221	222	QP Solai	PolG	0	0	0	52	371	0	0	52
20x60	221	222	QFissi Solai	PolG	0	0	0	87	371	0	0	87
Generica 280												
20x60	222	223	Peso Proprio	UnifG	0	0	0	96	371	0	0	96
20x60	222	223	QP Solai	PolG	0	0	0	52	371	0	0	52
20x60	222	223	QFissi Solai	PolG	0	0	0	87	371	0	0	87
Generica 281												
20x60	223	224	Peso Proprio	UnifG	0	0	0	96	371	0	0	96
20x60	223	224	QP Solai	PolG	0	0	0	52	371	0	0	52
20x60	223	224	QFissi Solai	PolG	0	0	0	87	371	0	0	87
Generica 282												
16x32	820	829	Peso Proprio	UnifG	0	0	0	41	371	0	0	41
16x32	820	829	QP Solai	PolG	0	0	0	53	371	0	0	53
16x32	820	829	QFissi Solai	PolG	0	0	0	88	371	0	0	88
Generica 283												
16x32	829	838	Peso Proprio	UnifG	0	0	0	41	371	0	0	41
16x32	829	838	QP Solai	PolG	0	0	0	53	371	0	0	53
16x32	829	838	QFissi Solai	PolG	0	0	0	88	371	0	0	88
Generica 284												
16x32	838	847	Peso Proprio	UnifG	0	0	0	41	371	0	0	41
16x32	838	847	QP Solai	PolG	0	0	0	53	371	0	0	53
16x32	838	847	QFissi Solai	PolG	0	0	0	88	371	0	0	88
Generica 285												
16x32	847	856	Peso Proprio	UnifG	0	0	0	41	371	0	0	41
16x32	847	856	QP Solai	PolG	0	0	0	53	371	0	0	53
16x32	847	856	QFissi Solai	PolG	0	0	0	88	371	0	0	88
Generica 286												
16x32	856	865	Peso Proprio	UnifG	0	0	0	41	371	0	0	41
16x32	856	865	QP Solai	PolG	0	0	0	53	371	0	0	53
16x32	856	865	QFissi Solai	PolG	0	0	0	88	371	0	0	88
Generica 287												
20x60	821	830	Peso Proprio	UnifG	0	0	0	96	371	0	0	96
20x60	821	830	QP Solai	PolG	0	0	0	53	371	0	0	53
20x60	821	830	QFissi Solai	PolG	0	0	0	88	371	0	0	88
Generica 288												
20x60	830	839	Peso Proprio	UnifG	0	0	0	96	371	0	0	96
20x60	830	839	QP Solai	PolG	0	0	0	53	371	0	0	53
20x60	830	839	QFissi Solai	PolG	0	0	0	88	371	0	0	88
Generica 289												
20x60	839	848	Peso Proprio	UnifG	0	0	0	96	371	0	0	96
20x60	839	848	QP Solai	PolG	0	0	0	53	371	0	0	53
20x60	839	848	QFissi Solai	PolG	0	0	0	88	371	0	0	88
Generica 290												
20x60	848	857	Peso Proprio	UnifG	0	0	0	96	371	0	0	96

Sezione	Ni	Nf	Cond.	Tipo c.	Xi	QXi	QYi	QZi	Xf	QXf	QYf	QZf
20x60	848	857	QP Solai	PolG	0	0	0	53	371	0	0	53
20x60	848	857	QFissi Solai	PolG	0	0	0	88	371	0	0	88
Generica 291												
20x60	857	866	Peso Proprio	UnifG	0	0	0	96	371	0	0	96
20x60	857	866	QP Solai	PolG	0	0	0	53	371	0	0	53
20x60	857	866	QFissi Solai	PolG	0	0	0	88	371	0	0	88
Generica 292												
16x32	822	831	Peso Proprio	UnifG	0	0	0	41	371	0	0	41
16x32	822	831	QP Solai	PolG	0	0	0	53	371	0	0	53
16x32	822	831	QFissi Solai	PolG	0	0	0	88	371	0	0	88
Generica 293												
16x32	831	840	Peso Proprio	UnifG	0	0	0	41	371	0	0	41
16x32	831	840	QP Solai	PolG	0	0	0	53	371	0	0	53
16x32	831	840	QFissi Solai	PolG	0	0	0	88	371	0	0	88
Generica 294												
16x32	840	849	Peso Proprio	UnifG	0	0	0	41	371	0	0	41
16x32	840	849	QP Solai	PolG	0	0	0	53	371	0	0	53
16x32	840	849	QFissi Solai	PolG	0	0	0	88	371	0	0	88
Generica 295												
16x32	849	858	Peso Proprio	UnifG	0	0	0	41	371	0	0	41
16x32	849	858	QP Solai	PolG	0	0	0	53	371	0	0	53
16x32	849	858	QFissi Solai	PolG	0	0	0	88	371	0	0	88
Generica 296												
16x32	858	867	Peso Proprio	UnifG	0	0	0	41	371	0	0	41
16x32	858	867	QP Solai	PolG	0	0	0	53	371	0	0	53
16x32	858	867	QFissi Solai	PolG	0	0	0	88	371	0	0	88
Generica 297												
20x60	823	832	Peso Proprio	UnifG	0	0	0	96	371	0	0	96
20x60	823	832	QP Solai	PolG	0	0	0	53	371	0	0	53
20x60	823	832	QFissi Solai	PolG	0	0	0	88	371	0	0	88
Generica 298												
20x60	832	841	Peso Proprio	UnifG	0	0	0	96	371	0	0	96
20x60	832	841	QP Solai	PolG	0	0	0	53	371	0	0	53
20x60	832	841	QFissi Solai	PolG	0	0	0	88	371	0	0	88
Generica 299												
20x60	841	850	Peso Proprio	UnifG	0	0	0	96	371	0	0	96
20x60	841	850	QP Solai	PolG	0	0	0	53	371	0	0	53
20x60	841	850	QFissi Solai	PolG	0	0	0	88	371	0	0	88
Generica 300												
20x60	850	859	Peso Proprio	UnifG	0	0	0	96	371	0	0	96
20x60	850	859	QP Solai	PolG	0	0	0	53	371	0	0	53
20x60	850	859	QFissi Solai	PolG	0	0	0	88	371	0	0	88
Generica 301												
20x60	859	868	Peso Proprio	UnifG	0	0	0	96	371	0	0	96
20x60	859	868	QP Solai	PolG	0	0	0	53	371	0	0	53
20x60	859	868	QFissi Solai	PolG	0	0	0	88	371	0	0	88
Generica 302												
16x32	824	833	Peso Proprio	UnifG	0	0	0	41	371	0	0	41
16x32	824	833	QP Solai	PolG	0	0	0	52	371	0	0	52
16x32	824	833	QFissi Solai	PolG	0	0	0	87	371	0	0	87
Generica 303												
16x32	833	842	Peso Proprio	UnifG	0	0	0	41	371	0	0	41
16x32	833	842	QP Solai	PolG	0	0	0	52	371	0	0	52
16x32	833	842	QFissi Solai	PolG	0	0	0	87	371	0	0	87
Generica 304												
16x32	842	851	Peso Proprio	UnifG	0	0	0	41	371	0	0	41
16x32	842	851	QP Solai	PolG	0	0	0	52	371	0	0	52
16x32	842	851	QFissi Solai	PolG	0	0	0	87	371	0	0	87
Generica 305												
16x32	851	860	Peso Proprio	UnifG	0	0	0	41	371	0	0	41
16x32	851	860	QP Solai	PolG	0	0	0	52	371	0	0	52
16x32	851	860	QFissi Solai	PolG	0	0	0	87	371	0	0	87
Generica 306												
16x32	860	869	Peso Proprio	UnifG	0	0	0	41	371	0	0	41
16x32	860	869	QP Solai	PolG	0	0	0	52	371	0	0	52
16x32	860	869	QFissi Solai	PolG	0	0	0	87	371	0	0	87

Sezione	Ni	Nf	Cond.	Tipo c.	Xi	QXi	QYi	QZi	Xf	QXf	QYf	QZf
Generica 307												
20x60	825	834	Peso Proprio	UnifG	0	0	0	96	371	0	0	96
20x60	825	834	QP Solai	PolG	0	0	0	53	371	0	0	53
20x60	825	834	QFissi Solai	PolG	0	0	0	88	371	0	0	88
Generica 308												
20x60	834	843	Peso Proprio	UnifG	0	0	0	96	371	0	0	96
20x60	834	843	QP Solai	PolG	0	0	0	53	371	0	0	53
20x60	834	843	QFissi Solai	PolG	0	0	0	88	371	0	0	88
Generica 309												
20x60	843	852	Peso Proprio	UnifG	0	0	0	96	371	0	0	96
20x60	843	852	QP Solai	PolG	0	0	0	53	371	0	0	53
20x60	843	852	QFissi Solai	PolG	0	0	0	88	371	0	0	88
Generica 310												
20x60	852	861	Peso Proprio	UnifG	0	0	0	96	371	0	0	96
20x60	852	861	QP Solai	PolG	0	0	0	53	371	0	0	53
20x60	852	861	QFissi Solai	PolG	0	0	0	88	371	0	0	88
Generica 311												
20x60	861	870	Peso Proprio	UnifG	0	0	0	96	371	0	0	96
20x60	861	870	QP Solai	PolG	0	0	0	53	371	0	0	53
20x60	861	870	QFissi Solai	PolG	0	0	0	88	371	0	0	88
Generica 312												
16x32	826	835	Peso Proprio	UnifG	0	0	0	41	371	0	0	41
16x32	826	835	QP Solai	PolG	0	0	0	53	371	0	0	53
16x32	826	835	QFissi Solai	PolG	0	0	0	88	371	0	0	88
Generica 313												
16x32	835	844	Peso Proprio	UnifG	0	0	0	41	371	0	0	41
16x32	835	844	QP Solai	PolG	0	0	0	53	371	0	0	53
16x32	835	844	QFissi Solai	PolG	0	0	0	88	371	0	0	88
Generica 314												
16x32	844	853	Peso Proprio	UnifG	0	0	0	41	371	0	0	41
16x32	844	853	QP Solai	PolG	0	0	0	53	371	0	0	53
16x32	844	853	QFissi Solai	PolG	0	0	0	88	371	0	0	88
Generica 315												
16x32	853	862	Peso Proprio	UnifG	0	0	0	41	371	0	0	41
16x32	853	862	QP Solai	PolG	0	0	0	53	371	0	0	53
16x32	853	862	QFissi Solai	PolG	0	0	0	88	371	0	0	88
Generica 316												
16x32	862	871	Peso Proprio	UnifG	0	0	0	41	371	0	0	41
16x32	862	871	QP Solai	PolG	0	0	0	53	371	0	0	53
16x32	862	871	QFissi Solai	PolG	0	0	0	88	371	0	0	88
Generica 317												
20x60	827	836	Peso Proprio	UnifG	0	0	0	96	371	0	0	96
20x60	827	836	QP Solai	PolG	0	0	0	53	371	0	0	53
20x60	827	836	QFissi Solai	PolG	0	0	0	88	371	0	0	88
Generica 318												
20x60	836	845	Peso Proprio	UnifG	0	0	0	96	371	0	0	96
20x60	836	845	QP Solai	PolG	0	0	0	53	371	0	0	53
20x60	836	845	QFissi Solai	PolG	0	0	0	88	371	0	0	88
Generica 319												
20x60	845	854	Peso Proprio	UnifG	0	0	0	96	371	0	0	96
20x60	845	854	QP Solai	PolG	0	0	0	53	371	0	0	53
20x60	845	854	QFissi Solai	PolG	0	0	0	88	371	0	0	88
Generica 320												
20x60	854	863	Peso Proprio	UnifG	0	0	0	96	371	0	0	96
20x60	854	863	QP Solai	PolG	0	0	0	53	371	0	0	53
20x60	854	863	QFissi Solai	PolG	0	0	0	88	371	0	0	88
Generica 321												
20x60	863	872	Peso Proprio	UnifG	0	0	0	96	371	0	0	96
20x60	863	872	QP Solai	PolG	0	0	0	53	371	0	0	53
20x60	863	872	QFissi Solai	PolG	0	0	0	88	371	0	0	88
Generica 322												
16x32	828	837	Peso Proprio	UnifG	0	0	0	41	371	0	0	41
16x32	828	837	QP Solai	PolG	0	0	0	52	371	0	0	52
16x32	828	837	QFissi Solai	PolG	0	0	0	87	371	0	0	87
Generica 323												
16x32	837	846	Peso Proprio	UnifG	0	0	0	41	371	0	0	41

Sezione	Ni	Nf	Cond.	Tipo c.	Xi	QXi	QYi	QZi	Xf	QXf	QYf	QZf
16x32	837	846	QP Solai	PolG	0	0	0	52	371	0	0	52
16x32	837	846	QFissi Solai	PolG	0	0	0	87	371	0	0	87
Generica 324												
16x32	846	855	Peso Proprio	UnifG	0	0	0	41	371	0	0	41
16x32	846	855	QP Solai	PolG	0	0	0	52	371	0	0	52
16x32	846	855	QFissi Solai	PolG	0	0	0	87	371	0	0	87
Generica 325												
16x32	855	864	Peso Proprio	UnifG	0	0	0	41	371	0	0	41
16x32	855	864	QP Solai	PolG	0	0	0	52	371	0	0	52
16x32	855	864	QFissi Solai	PolG	0	0	0	87	371	0	0	87
Generica 326												
16x32	864	873	Peso Proprio	UnifG	0	0	0	41	371	0	0	41
16x32	864	873	QP Solai	PolG	0	0	0	52	371	0	0	52
16x32	864	873	QFissi Solai	PolG	0	0	0	87	371	0	0	87
Generica 333												
16x32	229	230	Peso Proprio	UnifG	0	0	0	41	371	0	0	41
16x32	229	230	QP Solai	PolG	0	0	0	26	371	0	0	26
16x32	229	230	QFissi Solai	PolG	0	0	0	44	371	0	0	44
Generica 334												
16x32	230	231	Peso Proprio	UnifG	0	0	0	41	371	0	0	41
16x32	230	231	QP Solai	PolG	0	0	0	26	371	0	0	26
16x32	230	231	QFissi Solai	PolG	0	0	0	44	371	0	0	44
Generica 335												
16x32	231	232	Peso Proprio	UnifG	0	0	0	41	371	0	0	41
16x32	231	232	QP Solai	PolG	0	0	0	26	371	0	0	26
16x32	231	232	QFissi Solai	PolG	0	0	0	44	371	0	0	44
Generica 336												
16x32	232	233	Peso Proprio	UnifG	0	0	0	41	371	0	0	41
16x32	232	233	QP Solai	PolG	0	0	0	26	371	0	0	26
16x32	232	233	QFissi Solai	PolG	0	0	0	44	371	0	0	44
Generica 337												
16x32	233	234	Peso Proprio	UnifG	0	0	0	41	371	0	0	41
16x32	233	234	QP Solai	PolG	0	0	0	26	371	0	0	26
16x32	233	234	QFissi Solai	PolG	0	0	0	44	371	0	0	44
Generica 338												
20x100	211	820	Peso Proprio	UnifG	0	0	0	160	175	0	0	160
20x100	219	229	Peso Proprio	UnifG	0	0	0	160	175	0	0	160
20x100	221	211	Peso Proprio	UnifG	0	0	0	160	175	0	0	160
20x100	820	821	Peso Proprio	UnifG	0	0	0	160	175	0	0	160
20x100	821	822	Peso Proprio	UnifG	0	0	0	160	175	0	0	160
20x100	822	823	Peso Proprio	UnifG	0	0	0	160	175	0	0	160
20x100	823	824	Peso Proprio	UnifG	0	0	0	160	175	0	0	160
20x100	824	825	Peso Proprio	UnifG	0	0	0	160	175	0	0	160
20x100	825	826	Peso Proprio	UnifG	0	0	0	160	175	0	0	160
20x100	826	827	Peso Proprio	UnifG	0	0	0	160	175	0	0	160
20x100	827	828	Peso Proprio	UnifG	0	0	0	160	175	0	0	160
20x100	828	219	Peso Proprio	UnifG	0	0	0	160	175	0	0	160
Generica 339												
20x100	212	829	Peso Proprio	UnifG	0	0	0	160	175	0	0	160
20x100	220	230	Peso Proprio	UnifG	0	0	0	160	175	0	0	160
20x100	222	212	Peso Proprio	UnifG	0	0	0	160	175	0	0	160
20x100	829	830	Peso Proprio	UnifG	0	0	0	160	175	0	0	160
20x100	830	831	Peso Proprio	UnifG	0	0	0	160	175	0	0	160
20x100	831	832	Peso Proprio	UnifG	0	0	0	160	175	0	0	160
20x100	832	833	Peso Proprio	UnifG	0	0	0	160	175	0	0	160
20x100	833	834	Peso Proprio	UnifG	0	0	0	160	175	0	0	160
20x100	834	835	Peso Proprio	UnifG	0	0	0	160	175	0	0	160
20x100	835	836	Peso Proprio	UnifG	0	0	0	160	175	0	0	160
20x100	836	837	Peso Proprio	UnifG	0	0	0	160	175	0	0	160
20x100	837	220	Peso Proprio	UnifG	0	0	0	160	175	0	0	160
Generica 340												
20x100	213	838	Peso Proprio	UnifG	0	0	0	160	175	0	0	160
20x100	221	231	Peso Proprio	UnifG	0	0	0	160	175	0	0	160
20x100	223	213	Peso Proprio	UnifG	0	0	0	160	175	0	0	160
20x100	838	839	Peso Proprio	UnifG	0	0	0	160	175	0	0	160
20x100	839	840	Peso Proprio	UnifG	0	0	0	160	175	0	0	160

Sezione	Ni	Nf	Cond.	Tipo c.	Xi	QXi	QYi	QZi	Xf	QXf	QYf	QZf
20x100	840	841	Peso Proprio	UnifG	0	0	0	160	175	0	0	160
20x100	841	842	Peso Proprio	UnifG	0	0	0	160	175	0	0	160
20x100	842	843	Peso Proprio	UnifG	0	0	0	160	175	0	0	160
20x100	843	844	Peso Proprio	UnifG	0	0	0	160	175	0	0	160
20x100	844	845	Peso Proprio	UnifG	0	0	0	160	175	0	0	160
20x100	845	846	Peso Proprio	UnifG	0	0	0	160	175	0	0	160
20x100	846	221	Peso Proprio	UnifG	0	0	0	160	175	0	0	160
Generica 341												
20x100	214	847	Peso Proprio	UnifG	0	0	0	160	175	0	0	160
20x100	222	232	Peso Proprio	UnifG	0	0	0	160	175	0	0	160
20x100	224	214	Peso Proprio	UnifG	0	0	0	160	175	0	0	160
20x100	847	848	Peso Proprio	UnifG	0	0	0	160	175	0	0	160
20x100	848	849	Peso Proprio	UnifG	0	0	0	160	175	0	0	160
20x100	849	850	Peso Proprio	UnifG	0	0	0	160	175	0	0	160
20x100	850	851	Peso Proprio	UnifG	0	0	0	160	175	0	0	160
20x100	851	852	Peso Proprio	UnifG	0	0	0	160	175	0	0	160
20x100	852	853	Peso Proprio	UnifG	0	0	0	160	175	0	0	160
20x100	853	854	Peso Proprio	UnifG	0	0	0	160	175	0	0	160
20x100	854	855	Peso Proprio	UnifG	0	0	0	160	175	0	0	160
20x100	855	222	Peso Proprio	UnifG	0	0	0	160	175	0	0	160
Generica 342												
20x100	215	856	Peso Proprio	UnifG	0	0	0	160	175	0	0	160
20x100	223	233	Peso Proprio	UnifG	0	0	0	160	175	0	0	160
20x100	225	215	Peso Proprio	UnifG	0	0	0	160	175	0	0	160
20x100	856	857	Peso Proprio	UnifG	0	0	0	160	175	0	0	160
20x100	857	858	Peso Proprio	UnifG	0	0	0	160	175	0	0	160
20x100	858	859	Peso Proprio	UnifG	0	0	0	160	175	0	0	160
20x100	859	860	Peso Proprio	UnifG	0	0	0	160	175	0	0	160
20x100	860	861	Peso Proprio	UnifG	0	0	0	160	175	0	0	160
20x100	861	862	Peso Proprio	UnifG	0	0	0	160	175	0	0	160
20x100	862	863	Peso Proprio	UnifG	0	0	0	160	175	0	0	160
20x100	863	864	Peso Proprio	UnifG	0	0	0	160	175	0	0	160
20x100	864	223	Peso Proprio	UnifG	0	0	0	160	175	0	0	160
Generica 343												
20x100	216	865	Peso Proprio	UnifG	0	0	0	160	175	0	0	160
20x100	224	234	Peso Proprio	UnifG	0	0	0	160	175	0	0	160
20x100	226	216	Peso Proprio	UnifG	0	0	0	160	175	0	0	160
20x100	865	866	Peso Proprio	UnifG	0	0	0	160	175	0	0	160
20x100	866	867	Peso Proprio	UnifG	0	0	0	160	175	0	0	160
20x100	867	868	Peso Proprio	UnifG	0	0	0	160	175	0	0	160
20x100	868	869	Peso Proprio	UnifG	0	0	0	160	175	0	0	160
20x100	869	870	Peso Proprio	UnifG	0	0	0	160	175	0	0	160
20x100	870	871	Peso Proprio	UnifG	0	0	0	160	175	0	0	160
20x100	871	872	Peso Proprio	UnifG	0	0	0	160	175	0	0	160
20x100	872	873	Peso Proprio	UnifG	0	0	0	160	175	0	0	160
20x100	873	224	Peso Proprio	UnifG	0	0	0	160	175	0	0	160
Generica 344												
20x100	217	874	Peso Proprio	UnifG	0	0	0	160	175	0	0	160
20x100	225	235	Peso Proprio	UnifG	0	0	0	160	175	0	0	160
20x100	227	217	Peso Proprio	UnifG	0	0	0	160	175	0	0	160
20x100	874	875	Peso Proprio	UnifG	0	0	0	160	175	0	0	160
20x100	875	876	Peso Proprio	UnifG	0	0	0	160	175	0	0	160
20x100	876	877	Peso Proprio	UnifG	0	0	0	160	175	0	0	160
20x100	877	878	Peso Proprio	UnifG	0	0	0	160	175	0	0	160
20x100	878	879	Peso Proprio	UnifG	0	0	0	160	175	0	0	160
20x100	879	880	Peso Proprio	UnifG	0	0	0	160	175	0	0	160
20x100	880	881	Peso Proprio	UnifG	0	0	0	160	175	0	0	160
20x100	881	882	Peso Proprio	UnifG	0	0	0	160	175	0	0	160
20x100	882	225	Peso Proprio	UnifG	0	0	0	160	175	0	0	160
Generica 345												
20x100	218	883	Peso Proprio	UnifG	0	0	0	160	175	0	0	160
20x100	226	236	Peso Proprio	UnifG	0	0	0	160	175	0	0	160
20x100	228	218	Peso Proprio	UnifG	0	0	0	160	175	0	0	160
20x100	883	884	Peso Proprio	UnifG	0	0	0	160	175	0	0	160
20x100	884	885	Peso Proprio	UnifG	0	0	0	160	175	0	0	160
20x100	885	886	Peso Proprio	UnifG	0	0	0	160	175	0	0	160

Sezione	Ni	Nf	Cond.	Tipo c.	Xi	QXi	QYi	QZi	Xf	QXf	QYf	QZf
20x100	886	887	Peso Proprio	UnifG	0	0	0	160	175	0	0	160
20x100	887	888	Peso Proprio	UnifG	0	0	0	160	175	0	0	160
20x100	888	889	Peso Proprio	UnifG	0	0	0	160	175	0	0	160
20x100	889	890	Peso Proprio	UnifG	0	0	0	160	175	0	0	160
20x100	890	891	Peso Proprio	UnifG	0	0	0	160	175	0	0	160
20x100	891	226	Peso Proprio	UnifG	0	0	0	160	175	0	0	160
Generica 346												
16x32	221	222	Peso Proprio	UnifG	0	0	0	41	371	0	0	41
16x32	221	222	QP Solai	PolG	0	0	0	26	371	0	0	26
16x32	221	222	QFissi Solai	PolG	0	0	0	44	371	0	0	44
16x32	222	223	Peso Proprio	UnifG	0	0	0	41	371	0	0	41
16x32	222	223	QP Solai	PolG	0	0	0	26	371	0	0	26
16x32	222	223	QFissi Solai	PolG	0	0	0	44	371	0	0	44
16x32	223	224	Peso Proprio	UnifG	0	0	0	41	371	0	0	41
16x32	223	224	QP Solai	PolG	0	0	0	26	371	0	0	26
16x32	223	224	QFissi Solai	PolG	0	0	0	44	371	0	0	44
16x32	224	225	Peso Proprio	UnifG	0	0	0	41	371	0	0	41
16x32	224	225	QP Solai	PolG	0	0	0	26	371	0	0	26
16x32	224	225	QFissi Solai	PolG	0	0	0	44	371	0	0	44
16x32	225	226	Peso Proprio	UnifG	0	0	0	41	371	0	0	41
16x32	225	226	QP Solai	PolG	0	0	0	26	371	0	0	26
16x32	225	226	QFissi Solai	PolG	0	0	0	44	371	0	0	44
16x32	226	227	Peso Proprio	UnifG	0	0	0	41	371	0	0	41
16x32	226	227	QP Solai	PolG	0	0	0	26	371	0	0	26
16x32	226	227	QFissi Solai	PolG	0	0	0	44	371	0	0	44
16x32	227	228	Peso Proprio	UnifG	0	0	0	41	371	0	0	41
16x32	227	228	QP Solai	PolG	0	0	0	26	371	0	0	26
16x32	227	228	QFissi Solai	PolG	0	0	0	44	371	0	0	44
Generica 369												
20x60	216	217	Peso Proprio	UnifG	0	0	0	96	371	0	0	96
20x60	216	217	QP Solai	PolG	0	0	0	53	371	0	0	53
20x60	216	217	QFissi Solai	PolG	0	0	0	88	371	0	0	88
Generica 370												
20x60	217	218	Peso Proprio	UnifG	0	0	0	96	371	0	0	96
20x60	217	218	QP Solai	PolG	0	0	0	53	371	0	0	53
20x60	217	218	QFissi Solai	PolG	0	0	0	88	371	0	0	88
Generica 371												
16x32	874	883	Peso Proprio	UnifG	0	0	0	41	371	0	0	41
16x32	874	883	QP Solai	PolG	0	0	0	53	371	0	0	53
16x32	874	883	QFissi Solai	PolG	0	0	0	88	371	0	0	88
Generica 372												
16x32	865	874	Peso Proprio	UnifG	0	0	0	41	371	0	0	41
16x32	865	874	QP Solai	PolG	0	0	0	53	371	0	0	53
16x32	865	874	QFissi Solai	PolG	0	0	0	88	371	0	0	88
Generica 373												
20x60	875	884	Peso Proprio	UnifG	0	0	0	96	371	0	0	96
20x60	875	884	QP Solai	PolG	0	0	0	53	371	0	0	53
20x60	875	884	QFissi Solai	PolG	0	0	0	88	371	0	0	88
Generica 374												
20x60	866	875	Peso Proprio	UnifG	0	0	0	96	371	0	0	96
20x60	866	875	QP Solai	PolG	0	0	0	53	371	0	0	53
20x60	866	875	QFissi Solai	PolG	0	0	0	88	371	0	0	88
Generica 375												
16x32	876	885	Peso Proprio	UnifG	0	0	0	41	371	0	0	41
16x32	876	885	QP Solai	PolG	0	0	0	53	371	0	0	53
16x32	876	885	QFissi Solai	PolG	0	0	0	88	371	0	0	88
Generica 376												
16x32	867	876	Peso Proprio	UnifG	0	0	0	41	371	0	0	41
16x32	867	876	QP Solai	PolG	0	0	0	53	371	0	0	53
16x32	867	876	QFissi Solai	PolG	0	0	0	88	371	0	0	88
Generica 377												
20x60	877	886	Peso Proprio	UnifG	0	0	0	96	371	0	0	96
20x60	877	886	QP Solai	PolG	0	0	0	53	371	0	0	53
20x60	877	886	QFissi Solai	PolG	0	0	0	88	371	0	0	88
Generica 378												
20x60	868	877	Peso Proprio	UnifG	0	0	0	96	371	0	0	96

Sezione	Ni	Nf	Cond.	Tipo c.	Xi	QXi	QYi	QZi	Xf	QXf	QYf	QZf
20x60	868	877	QP Solai	PolG	0	0	0	53	371	0	0	53
20x60	868	877	QFissi Solai	PolG	0	0	0	88	371	0	0	88
Generica 379												
16x32	878	887	Peso Proprio	UnifG	0	0	0	41	371	0	0	41
16x32	878	887	QP Solai	PolG	0	0	0	52	371	0	0	52
16x32	878	887	QFissi Solai	PolG	0	0	0	87	371	0	0	87
Generica 380												
16x32	869	878	Peso Proprio	UnifG	0	0	0	41	371	0	0	41
16x32	869	878	QP Solai	PolG	0	0	0	52	371	0	0	52
16x32	869	878	QFissi Solai	PolG	0	0	0	87	371	0	0	87
Generica 381												
20x60	879	888	Peso Proprio	UnifG	0	0	0	96	371	0	0	96
20x60	879	888	QP Solai	PolG	0	0	0	53	371	0	0	53
20x60	879	888	QFissi Solai	PolG	0	0	0	88	371	0	0	88
Generica 382												
20x60	870	879	Peso Proprio	UnifG	0	0	0	96	371	0	0	96
20x60	870	879	QP Solai	PolG	0	0	0	53	371	0	0	53
20x60	870	879	QFissi Solai	PolG	0	0	0	88	371	0	0	88
Generica 383												
16x32	880	889	Peso Proprio	UnifG	0	0	0	41	371	0	0	41
16x32	880	889	QP Solai	PolG	0	0	0	53	371	0	0	53
16x32	880	889	QFissi Solai	PolG	0	0	0	88	371	0	0	88
Generica 384												
16x32	871	880	Peso Proprio	UnifG	0	0	0	41	371	0	0	41
16x32	871	880	QP Solai	PolG	0	0	0	53	371	0	0	53
16x32	871	880	QFissi Solai	PolG	0	0	0	88	371	0	0	88
Generica 385												
20x60	881	890	Peso Proprio	UnifG	0	0	0	96	371	0	0	96
20x60	881	890	QP Solai	PolG	0	0	0	53	371	0	0	53
20x60	881	890	QFissi Solai	PolG	0	0	0	88	371	0	0	88
Generica 386												
20x60	872	881	Peso Proprio	UnifG	0	0	0	96	371	0	0	96
20x60	872	881	QP Solai	PolG	0	0	0	53	371	0	0	53
20x60	872	881	QFissi Solai	PolG	0	0	0	88	371	0	0	88
Generica 387												
16x32	882	891	Peso Proprio	UnifG	0	0	0	41	371	0	0	41
16x32	882	891	QP Solai	PolG	0	0	0	52	371	0	0	52
16x32	882	891	QFissi Solai	PolG	0	0	0	87	371	0	0	87
Generica 388												
16x32	873	882	Peso Proprio	UnifG	0	0	0	41	371	0	0	41
16x32	873	882	QP Solai	PolG	0	0	0	52	371	0	0	52
16x32	873	882	QFissi Solai	PolG	0	0	0	87	371	0	0	87
Generica 389												
20x60	225	226	Peso Proprio	UnifG	0	0	0	96	371	0	0	96
20x60	225	226	QP Solai	PolG	0	0	0	52	371	0	0	52
20x60	225	226	QFissi Solai	PolG	0	0	0	87	371	0	0	87
Generica 390												
20x60	224	225	Peso Proprio	UnifG	0	0	0	96	371	0	0	96
20x60	224	225	QP Solai	PolG	0	0	0	52	371	0	0	52
20x60	224	225	QFissi Solai	PolG	0	0	0	87	371	0	0	87
Generica 391												
16x32	234	235	Peso Proprio	UnifG	0	0	0	41	371	0	0	41
16x32	234	235	QP Solai	PolG	0	0	0	26	371	0	0	26
16x32	234	235	QFissi Solai	PolG	0	0	0	44	371	0	0	44
Generica 392												
16x32	235	236	Peso Proprio	UnifG	0	0	0	41	371	0	0	41
16x32	235	236	QP Solai	PolG	0	0	0	26	371	0	0	26
16x32	235	236	QFissi Solai	PolG	0	0	0	44	371	0	0	44

Pareti - geometria e vincoli

Parete	Nodi	Tipo	Materiale	Criterio	N.P.	N.P.X	N.P.Y	Spess.
								cm
1	12-11-111-112	Discreto	C32/40	CLS_Muri	16	4	4	70
2	112-111-211-212	Discreto	C32/40	CLS_Muri	16	4	4	70
3	4-3-103-104	Discreto	C32/40	CLS_Muri	16	4	4	70
4	104-103-203-204	Discreto	C32/40	CLS_Muri	16	4	4	70
5	13-14-4-3	Platea	C25/30	CLS_Platee	16	4	4	150
6	11-12-22-21	Platea	C25/30	CLS_Platee	16	4	4	150
7	7-6-106-107	Discreto	C32/40	CLS_Muri	16	4	4	70
8	23-24-7-6	Platea	C25/30	CLS_Platee	16	4	4	150
9	15-14-114-115	Discreto	C32/40	CLS_Muri	16	4	4	70
10	14-15-32-31	Platea	C25/30	CLS_Platee	16	4	4	150
11	107-106-206-207	Discreto	C32/40	CLS_Muri	16	4	4	70
12	115-114-214-215	Discreto	C32/40	CLS_Muri	16	4	4	70
13	14-15-5-4	Platea	C25/30	CLS_Platee	16	4	4	150
14	15-23-6-5	Platea	C25/30	CLS_Platee	16	4	4	150
15	23-13-3-2	Platea	C25/30	CLS_Platee	16	4	4	150
15	12-13-23-22	Platea	C25/30	CLS_Platee	16	4	4	150
16	13-14-31-23	Platea	C25/30	CLS_Platee	16	4	4	150
16	10-11-21-31	Platea	C25/30	CLS_Platee	16	4	4	150
17	14-801-802-13	Platea	C25/30	CLS_Platee	16	4	4	150
18	4-3-13-14	Discreto	C25/30	CLS_Muri	16	4	4	80
18	24-34-8-7	Platea	C25/30	CLS_Platee	16	4	4	150
19	5-4-14-15	Discreto	C25/30	CLS_Muri	16	4	4	80
20	15-809-801-14	Platea	C25/30	CLS_Platee	16	4	4	150
20	15-16-42-32	Platea	C25/30	CLS_Platee	16	4	4	150
21	6-5-15-16	Discreto	C25/30	CLS_Muri	16	4	4	80
22	16-806-809-15	Platea	C25/30	CLS_Platee	16	4	4	150
23	7-6-16-17	Discreto	C25/30	CLS_Muri	16	4	4	80
24	17-805-806-16	Platea	C25/30	CLS_Platee	16	4	4	150
25	23-24-14-13	Platea	C25/30	CLS_Platee	16	4	4	80
26	24-25-15-14	Platea	C25/30	CLS_Platee	16	4	4	80
27	13-802-812-23	Platea	C25/30	CLS_Platee	16	4	4	150
27	25-33-23-15	Platea	C25/30	CLS_Platee	16	4	4	80
28	3-2-23-13	Discreto	C25/30	CLS_Muri	16	4	4	80
28	33-34-24-23	Platea	C25/30	CLS_Platee	16	4	4	80
29	21-22-32-31	Platea	C25/30	CLS_Platee	16	4	4	80
30	31-32-42-41	Platea	C25/30	CLS_Platee	16	4	4	80
31	22-23-33-32	Platea	C25/30	CLS_Platee	16	4	4	80
32	23-31-41-33	Platea	C25/30	CLS_Platee	16	4	4	80
33	8-7-17-27	Discreto	C25/30	CLS_Muri	16	4	4	80
33	114-113-804-803	Platea	C25/30	CLS_Platee	16	4	4	150
34	12-11-113-114	Discreto	C25/30	CLS_Muri	16	4	4	80
34	27-819-805-17	Platea	C25/30	CLS_Platee	16	4	4	150
35	13-12-114-115	Discreto	C25/30	CLS_Muri	16	4	4	80
35	33-23-13-23	Platea	C25/30	CLS_Platee	16	4	4	80
36	115-114-803-810	Platea	C25/30	CLS_Platee	16	4	4	150
37	14-13-115-116	Discreto	C25/30	CLS_Muri	16	4	4	80
38	116-115-810-808	Platea	C25/30	CLS_Platee	16	4	4	150
38	34-44-34-24	Platea	C25/30	CLS_Platee	16	4	4	80
39	15-14-116-117	Discreto	C25/30	CLS_Muri	16	4	4	80
39	31-21-31-41	Platea	C25/30	CLS_Platee	16	4	4	80
40	117-116-808-807	Platea	C25/30	CLS_Platee	16	4	4	150
40	32-42-52-42	Platea	C25/30	CLS_Platee	16	4	4	80
43	113-123-0-804	Platea	C25/30	CLS_Platee	16	4	4	150
44	11-10-123-113	Discreto	C25/30	CLS_Muri	16	4	4	80
49	16-15-117-127	Discreto	C25/30	CLS_Muri	16	4	4	80
50	127-117-807-0	Platea	C25/30	CLS_Platee	16	4	4	150

Muri - Carichi

Par	Pan	Condizione	Tipo	Carico	Vert.1	Vert.2	Vert.3	Vert.4	Altezza	Peso sp.	Coessione	Ang. at.	K0
-----	-----	------------	------	--------	--------	--------	--------	--------	---------	----------	-----------	----------	----

Par	Pan	Condizione	Tipo		Carico	Vert.1	Vert.2	Vert.3	Vert.4	Altezza	Peso sp.	Coesione	Ang. at.	K0
									kg/mq	cm	kg/mc	kg/cmq	°	
1		Peso Proprio	Peso Proprio	kg	40469									
2		Peso Proprio	Peso Proprio	kg	55523									
3		Peso Proprio	Peso Proprio	kg	40469									
4		Peso Proprio	Peso Proprio	kg	55523									
5		Peso Proprio	Peso Proprio	kg	20813									
6		Peso Proprio	Peso Proprio	kg	20813									
7		Peso Proprio	Peso Proprio	kg	40469									
8		Peso Proprio	Peso Proprio	kg	20813									
9		Peso Proprio	Peso Proprio	kg	40469									
10		Peso Proprio	Peso Proprio	kg	20813									
11		Peso Proprio	Peso Proprio	kg	59570									
12		Peso Proprio	Peso Proprio	kg	59570									
13		Peso Proprio	Peso Proprio	kg	20813									
14		Peso Proprio	Peso Proprio	kg	20813									
15		Peso Proprio	Peso Proprio	kg	20813									
15		Peso Proprio	Peso Proprio	kg	20813									
16		Peso Proprio	Peso Proprio	kg	20813									
16		Peso Proprio	Peso Proprio	kg	20813									
17		Peso Proprio	Peso Proprio	kg	27750									
18		Peso Proprio	Peso Proprio	kg	11840									
18		Peso Proprio	Peso Proprio	kg	20813									
19		Peso Proprio	Peso Proprio	kg	11840									
20		Peso Proprio	Peso Proprio	kg	27750									
20		Peso Proprio	Peso Proprio	kg	20813									
21		Peso Proprio	Peso Proprio	kg	11840									
22		Peso Proprio	Peso Proprio	kg	27750									
23		Peso Proprio	Peso Proprio	kg	11840									
24		Peso Proprio	Peso Proprio	kg	27750									
25		Peso Proprio	Peso Proprio	kg	14800									
26		Peso Proprio	Peso Proprio	kg	14800									
27		Peso Proprio	Peso Proprio	kg	27750									
27		Peso Proprio	Peso Proprio	kg	14800									
28		Peso Proprio	Peso Proprio	kg	11840									
28		Peso Proprio	Peso Proprio	kg	14800									
29		Peso Proprio	Peso Proprio	kg	14800									
30		Peso Proprio	Peso Proprio	kg	14800									
31		Peso Proprio	Peso Proprio	kg	14800									
32		Peso Proprio	Peso Proprio	kg	14800									
33		Peso Proprio	Peso Proprio	kg	11840									
33		Peso Proprio	Peso Proprio	kg	27750									
34		Peso Proprio	Peso Proprio	kg	11840									
34		Peso Proprio	Peso Proprio	kg	27750									
35		Peso Proprio	Peso Proprio	kg	11840									
35		Peso Proprio	Peso Proprio	kg	14800									
36		Peso Proprio	Peso Proprio	kg	27750									
37		Peso Proprio	Peso Proprio	kg	11840									
38		Peso Proprio	Peso Proprio	kg	27750									
38		Peso Proprio	Peso Proprio	kg	14800									
39		Peso Proprio	Peso Proprio	kg	11840									
39		Peso Proprio	Peso Proprio	kg	14800									
40		Peso Proprio	Peso Proprio	kg	27750									
40		Peso Proprio	Peso Proprio	kg	14800									
43		Peso Proprio	Peso Proprio	kg	27750									
44		Peso Proprio	Peso Proprio	kg	11840									
49		Peso Proprio	Peso Proprio	kg	11840									
50		Peso Proprio	Peso Proprio	kg	27750									

Tabella solai tipo

Sol.N°	Descrizione	Spessore	QP	QF	QVar.	ψ0	ψ1	ψ2	Luce netta	Def	%QX	%QY
		cm	kg/mq	kg/mq	kg/mq							
1	Coperture Legno	1	30	50	0	0.00	0.00	0.00	No	No	100	0
2	Solaio Palestra	30	300	100	500	0.70	0.70	0.60	No	No	100	0

Dati solai

Solaio n°	Nodi	Tipo
1	110-102-103-111	Solaio Palestra
1	111-103-104-112	Solaio Palestra
1	112-104-811-105-113-813	Solaio Palestra
1	113-105-812-106-114-814	Solaio Palestra
1	114-106-107-115	Solaio Palestra
1	115-107-108-116	Solaio Palestra
1	109-101-102-110	Solaio Palestra
2	820-211-212-829	Coperture Legno
2	211-221-222-212	Coperture Legno
2	229-219-220-230	Coperture Legno
2	821-820-829-830	Coperture Legno
2	822-821-830-831	Coperture Legno
2	823-822-831-832	Coperture Legno
2	824-823-832-833	Coperture Legno
2	825-824-833-834	Coperture Legno
2	826-825-834-835	Coperture Legno
2	827-826-835-836	Coperture Legno
2	828-827-836-837	Coperture Legno
2	219-828-837-220	Coperture Legno
3	830-829-838-839	Coperture Legno
3	831-830-839-840	Coperture Legno
3	832-831-840-841	Coperture Legno
3	833-832-841-842	Coperture Legno
3	834-833-842-843	Coperture Legno
3	835-834-843-844	Coperture Legno
3	836-835-844-845	Coperture Legno
3	837-836-845-846	Coperture Legno
3	230-220-221-231	Coperture Legno
3	829-212-213-838	Coperture Legno
3	212-222-223-213	Coperture Legno
3	220-837-846-221	Coperture Legno
4	842-841-850-851	Coperture Legno
4	843-842-851-852	Coperture Legno
4	844-843-852-853	Coperture Legno
4	845-844-853-854	Coperture Legno
4	846-845-854-855	Coperture Legno
4	221-846-855-222	Coperture Legno
4	841-840-849-850	Coperture Legno
4	231-221-222-232	Coperture Legno
4	839-838-847-848	Coperture Legno
4	840-839-848-849	Coperture Legno
4	213-223-224-214	Coperture Legno
4	838-213-214-847	Coperture Legno
5	852-851-860-861	Coperture Legno
5	853-852-861-862	Coperture Legno
5	854-853-862-863	Coperture Legno
5	855-854-863-864	Coperture Legno
5	222-855-864-223	Coperture Legno
5	850-849-858-859	Coperture Legno
5	849-848-857-858	Coperture Legno
5	848-847-856-857	Coperture Legno
5	232-222-223-233	Coperture Legno
5	214-224-225-215	Coperture Legno
5	851-850-859-860	Coperture Legno
5	847-214-215-856	Coperture Legno
6	864-863-872-873	Coperture Legno
6	223-864-873-224	Coperture Legno
6	863-862-871-872	Coperture Legno
6	862-861-870-871	Coperture Legno
6	861-860-869-870	Coperture Legno
6	860-859-868-869	Coperture Legno
6	233-223-224-234	Coperture Legno
6	859-858-867-868	Coperture Legno
6	858-857-866-867	Coperture Legno
6	857-856-865-866	Coperture Legno
6	856-215-216-865	Coperture Legno

Solaio n°	Nodi	Tipo
6	215-225-226-216	Coperture Legno
7	865-216-217-874	Coperture Legno
7	866-865-874-875	Coperture Legno
7	867-866-875-876	Coperture Legno
7	868-867-876-877	Coperture Legno
7	869-868-877-878	Coperture Legno
7	870-869-878-879	Coperture Legno
7	871-870-879-880	Coperture Legno
7	872-871-880-881	Coperture Legno
7	873-872-881-882	Coperture Legno
7	224-873-882-225	Coperture Legno
7	234-224-225-235	Coperture Legno
7	216-226-227-217	Coperture Legno
8	875-874-883-884	Coperture Legno
8	876-875-884-885	Coperture Legno
8	877-876-885-886	Coperture Legno
8	878-877-886-887	Coperture Legno
8	879-878-887-888	Coperture Legno
8	880-879-888-889	Coperture Legno
8	881-880-889-890	Coperture Legno
8	882-881-890-891	Coperture Legno
8	225-882-891-226	Coperture Legno
8	235-225-226-236	Coperture Legno
8	874-217-218-883	Coperture Legno
8	217-227-228-218	Coperture Legno

TABULATI DI VERIFICA

L'esito di ogni elaborazione viene sintetizzato nei disegni e schemi grafici allegati, che evidenziano i valori numerici nei punti e/o nelle sezioni significative, ai fini della valutazione del comportamento complessivo della struttura, e quelli necessari ai fini delle verifiche di misura della sicurezza.

Di seguito si riportano le tabelle relative a:

- Forze sismiche e masse
- Spostamenti Relativi dei nodi (SLD)
- Massime tensioni sul terreno aste
- Massime tensioni sul terreno platee
- Massimi spostamenti dei nodi
- Massime reazioni vincolari
- Massime sollecitazioni travi
- Massime sollecitazioni pilastri
- Massime sollecitazioni travi di fondazione
- Massime sollecitazioni aste generiche
- Massime sollecitazioni muri Discretizzati

Risultati Analisi Dinamica - Baricentri masse e masse

Scenario di calcolo : SetNT_SLU_SLE

Combinazione masse 1

Piano	Rigido	Massa	X	Y	Z
		kg	cm	cm	cm
0	No	1082193	1358	785	44
1	Si	1414919	1364	773	657
2	No	749303	1361	757	1414

Combinazione masse 2

Piano	Rigido	Massa	X	Y	Z
		kg	cm	cm	cm
0	No	1082193	1432	872	44
1	Si	1414919	1494	861	657
2	No	749303	1491	862	1414

Combinazione masse 3

Piano	Rigido	Massa	X	Y	Z
		kg	cm	cm	cm
0	No	1082193	1358	960	44
1	Si	1414919	1364	948	657
2	No	749303	1361	967	1414

Combinazione masse 4

Piano	Rigido	Massa	X	Y	Z
		kg	cm	cm	cm
0	No	1082193	1284	872	44
1	Si	1414919	1235	861	657
2	No	749303	1232	862	1414

Verifica Degli Spostamenti Relativi

Scenario di calcolo : SetNT_SLU_SLE

Interp.	Comb.	ηX_v	ηX_h	ηY_v	ηY_h	Nodo1	Nodo2	η	η_{Amm}	Cs
		mm	mm	mm	mm			mm	mm	
0-1	(39+40)-IV-3	0.03	0.19	0.16	5.71	1	101	5.87	62.50	10.6
0-1	(39+40)-IV-3	0.04	0.21	0.16	4.55	2	102	4.71	62.50	13.3
0-1	(39+40)-IV-4	0.01	0.32	0.06	3.50	3	103	3.56	62.50	17.5
0-1	(39+40)-IV-3	0.00	0.23	0.06	3.05	4	104	3.11	62.50	20.1
0-1	(39+40)-II-4	0.00	0.30	0.07	2.99	5	105	3.06	62.50	20.4
0-1	(39+40)-II-4	0.00	0.30	0.06	3.54	6	106	3.60	62.50	17.3
0-1	(39+40)-II-3	0.00	0.23	0.06	3.94	7	107	4.00	62.50	15.6
0-1	(39+40)-II-3	0.00	0.18	0.18	4.37	8	108	4.55	62.50	13.7
0-1	(39+40)-IV-3	0.04	0.31	0.18	5.69	9	109	5.87	62.50	10.6
0-1	(39+40)-IV-3	0.04	0.16	0.15	4.55	10	110	4.70	62.50	13.3
0-1	(39+40)-IV-4	0.01	0.17	0.05	3.50	11	111	3.55	62.50	17.6
0-1	(39+40)-IV-4	0.01	0.18	0.05	3.05	12	112	3.10	62.50	20.2
0-1	(39+40)-II-4	0.01	0.18	0.06	2.99	13	113	3.05	62.50	20.5
0-1	(39+40)-VI-3	0.01	0.28	0.06	3.53	14	114	3.59	62.50	17.4
0-1	(39+40)-II-4	0.00	0.19	0.06	3.93	15	115	3.99	62.50	15.7
0-1	(39+40)-II-3	0.00	0.31	0.18	4.36	16	116	4.54	62.50	13.8

Interp.	Comb.	η_{Xv}	η_{Xh}	η_{Yv}	η_{Yh}	Nodo1	Nodo2	η	η_{Amm}	Cs
1-2	(39+40)-VIII-4	0.00	0.39	0.07	8.81	101	201	8.87	78.00	8.79
1-2	(39+40)-IV-3	0.02	0.44	0.05	8.59	102	202	8.63	81.10	9.39
1-2	(39+40)-IV-4	0.02	0.52	0.01	6.76	103	203	6.76	84.20	12.4
1-2	(39+40)-VIII-4	0.01	0.44	0.00	6.29	104	204	6.29	87.30	13.9
1-2	(39+40)-II-4	0.00	0.49	0.02	6.55	105	205	6.57	90.40	13.8
1-2	(39+40)-VI-3	0.00	0.31	0.01	8.19	106	206	8.20	93.50	11.4
1-2	(39+40)-VI-4	0.01	0.42	0.02	8.44	107	207	8.46	90.50	10.7
1-2	(39+40)-VI-4	0.01	0.41	0.15	8.80	108	208	8.96	87.50	9.77
1-2	(39+40)-IV-3	0.01	0.37	0.23	8.86	109	209	9.09	78.00	8.58
1-2	(39+40)-VIII-3	0.02	0.58	0.13	8.59	110	210	8.72	81.10	9.30
1-2	(39+40)-IV-4	0.03	0.28	0.01	6.75	111	211	6.76	84.20	12.5
1-2	(39+40)-IV-4	0.02	0.29	0.01	6.28	112	212	6.29	87.30	13.9
1-2	(39+40)-II-4	0.01	0.29	0.03	6.55	113	213	6.59	90.40	13.7
1-2	(39+40)-II-4	0.00	0.32	0.03	8.19	114	214	8.22	93.50	11.4
1-2	(39+40)-II-3	0.00	0.39	0.01	8.46	115	215	8.47	90.50	10.7
1-2	(39+40)-II-3	0.01	0.38	0.17	8.81	116	216	8.98	87.50	9.74
2-2	(39+40)-VIII-4	0.03	0.01	0.01	0.55	201	211	0.57	5.00	8.83
2-2	(39+40)-VIII-4	0.04	0.03	0.03	0.60	202	212	0.63	5.00	7.97
2-2	(39+40)-IV-4	0.02	0.03	0.00	0.43	203	213	0.43	5.00	11.7
2-2	(39+40)-IV-3	0.01	0.01	0.00	0.38	204	214	0.39	5.00	13.0
2-2	(39+40)-II-4	0.00	0.02	0.00	0.40	205	215	0.40	5.00	12.6
2-2	(39+40)-VI-3	0.00	0.01	0.00	0.47	206	216	0.47	5.00	10.5
2-2	(39+40)-II-4	0.02	0.04	0.02	0.57	207	217	0.59	5.00	8.52
2-2	(39+40)-I-4	0.02	0.06	0.02	0.87	208	218	0.88	5.00	5.66
2-2	(39+40)-IV-3	0.03	0.01	0.04	0.56	209	219	0.60	5.00	8.34
2-2	(39+40)-VIII-4	0.04	0.02	0.02	0.67	210	220	0.69	5.00	7.30
2-2	(39+40)-IV-4	0.02	0.01	0.00	0.43	211	221	0.43	5.00	11.7
2-2	(39+40)-IV-4	0.01	0.01	0.00	0.38	212	222	0.39	5.00	13.0
2-2	(39+40)-II-4	0.00	0.02	0.00	0.40	213	223	0.40	5.00	12.5
2-2	(39+40)-II-4	0.00	0.01	0.00	0.47	214	224	0.48	5.00	10.5
2-2	(39+40)-II-3	0.02	0.02	0.01	0.53	215	225	0.54	5.00	9.21
2-2	(39+40)-II-3	0.02	0.01	0.02	0.49	216	226	0.51	5.00	9.74
Minimo										
2-2	(39+40)-I-4	0.02	0.06	0.02	0.87	208	218	0.88	5.00	5.66

Risultati Analisi Dinamica - Massime tensioni sul terreno aste

Scenario di calcolo : SetNT_SLU_SLE

Asta	N.in.	N.fin.	0/5	1/5	2/5	3/5	4/5	5/5
			kg/cmq	kg/cmq	kg/cmq	kg/cmq	kg/cmq	kg/cmq
9001	1	9	2.02(23-II-4)	1.07(2)	0.55(2)	0.55(2)	1.07(2)	2.02(23-I-4)
9002	1	2	2.17(23-II-4)	1.99(23-II-4)	1.83(23-II-4)	1.68(23-II-4)	1.55(23-II-4)	1.44(23-II-4)
9002	5	6	1.42(2)	1.43(2)	1.43(2)	1.44(2)	1.44(2)	1.45(2)
9002	7	8	1.47(23-I-2)	1.45(22-I-1)	1.48(22-I-1)	1.51(22-I-1)	1.54(22-I-1)	1.57(22-I-1)
9002	4	5	1.43(2)	1.43(2)	1.42(2)	1.42(2)	1.42(2)	1.42(2)
9002	6	7	1.45(2)	1.46(2)	1.46(2)	1.46(2)	1.45(2)	1.47(23-I-2)
9002	3	4	1.42(2)	1.43(2)	1.43(2)	1.44(2)	1.43(2)	1.43(2)
9002	2	3	1.44(23-II-4)	1.42(2)	1.41(2)	1.41(2)	1.42(2)	1.42(2)
9003	2	812	1.42(2)	1.37(2)	1.28(2)	1.16(22-II-1)	1.04(22-II-1)	0.91(22-II-1)
9003	812	0	0.91(22-II-1)	0.61(23-I-4)	0.39(2)	0.39(2)	0.61(23-II-4)	0.90(22-II-3)
9003	0	10	0.90(22-II-3)	1.03(2)	1.16(2)	1.28(2)	1.37(2)	1.42(2)
9004	802	804	0.90(2)	0.65(23-I-4)	0.40(2)	0.40(2)	0.65(23-II-4)	0.90(2)
9004	804	11	0.90(2)	1.02(2)	1.15(2)	1.25(2)	1.34(2)	1.37(2)
9004	3	802	1.37(2)	1.33(2)	1.25(2)	1.15(2)	1.02(2)	0.90(2)
9005	4	801	1.37(2)	1.33(2)	1.25(2)	1.15(2)	1.03(2)	0.91(23-I-1)
9005	801	803	0.91(23-I-1)	0.67(23-I-1)	0.40(2)	0.40(2)	0.67(23-II-3)	0.91(23-II-3)
9005	803	12	0.91(23-II-3)	1.03(2)	1.15(2)	1.25(2)	1.33(2)	1.37(2)
9006	810	13	0.93(23-II-3)	1.03(2)	1.14(2)	1.25(2)	1.32(2)	1.35(2)

Asta	N.in.	N.fin.	0/5	1/5	2/5	3/5	4/5	5/5
9006	809	810	0.93(23-I-1)	0.68(23-I-1)	0.41(2)	0.41(2)	0.68(23-II-3)	0.93(23-II-3)
9006	5	809	1.35(2)	1.32(2)	1.25(2)	1.15(2)	1.03(2)	0.93(23-I-1)
9007	808	14	0.93(23-II-2)	1.04(2)	1.16(2)	1.27(2)	1.35(2)	1.38(2)
9007	6	806	1.38(2)	1.35(2)	1.27(2)	1.16(2)	1.04(2)	0.93(23-I-2)
9007	806	808	0.93(23-I-2)	0.69(23-I-2)	0.41(2)	0.41(2)	0.69(23-II-2)	0.93(23-II-2)
9008	7	805	1.38(2)	1.35(2)	1.27(2)	1.17(2)	1.05(2)	0.94(23-I-2)
9008	807	15	0.93(23-II-2)	1.04(2)	1.16(2)	1.27(2)	1.34(2)	1.38(2)
9008	805	807	0.94(23-I-2)	0.70(23-I-2)	0.42(2)	0.42(2)	0.69(23-II-2)	0.93(23-II-2)
9009	0	16	0.99(22-I-3)	1.12(22-I-3)	1.24(22-I-3)	1.35(22-I-3)	1.44(22-I-3)	1.48(22-I-3)
9009	819	0	1.02(22-I-1)	0.71(23-I-2)	0.51(2)	0.50(2)	0.70(23-II-2)	0.99(22-I-3)
9009	8	819	1.51(22-I-1)	1.48(22-I-1)	1.39(22-I-1)	1.28(22-I-1)	1.15(22-I-1)	1.02(22-I-1)
9010	15	16	1.46(23-II-2)	1.43(2)	1.45(22-I-3)	1.47(22-I-3)	1.50(22-I-3)	1.53(22-I-3)
9010	11	12	1.42(2)	1.43(2)	1.43(2)	1.44(2)	1.43(2)	1.43(2)
9010	12	13	1.43(2)	1.42(2)	1.42(2)	1.42(2)	1.42(2)	1.42(2)
9010	9	10	2.16(23-I-4)	1.99(23-I-4)	1.83(23-I-4)	1.68(23-I-4)	1.55(23-I-4)	1.44(23-I-4)
9010	10	11	1.44(23-I-4)	1.42(2)	1.42(2)	1.41(2)	1.42(2)	1.42(2)
9010	14	15	1.44(2)	1.45(2)	1.45(2)	1.45(2)	1.45(2)	1.46(23-II-2)
9010	13	14	1.42(2)	1.42(2)	1.43(2)	1.43(2)	1.44(2)	1.44(2)

Risultati Analisi Dinamica - Sollecitazioni massime - Sigma terreno platea

Scenario di calcolo : **SetNT_SLU_SLE**

Muro	Cx	Cy	Cz	Sigma
	mm	mm	mm	kg/cmq
5	7400	-1500	0	1.50(23-II-4)
5	7400	-1125	0	1.43(23-II-4)
5	7400	-750	0	1.36(23-II-4)
5	7400	-375	0	1.35(2)
5	7400	0	0	1.37(2)
5	8325	-1500	0	1.49(23-II-4)
5	8325	-1125	0	1.42(23-II-4)
5	8325	-750	0	1.36(23-II-4)
5	8325	-375	0	1.35(2)
5	8325	0	0	1.37(2)
5	9250	-1500	0	1.48(23-II-4)
5	9250	-1125	0	1.41(23-II-4)
5	9250	-750	0	1.35(23-II-4)
5	9250	-375	0	1.35(2)
5	9250	0	0	1.37(2)
5	10175	-1500	0	1.46(23-II-4)
5	10175	-1125	0	1.40(23-II-4)
5	10175	-750	0	1.33(23-II-4)
5	10175	-375	0	1.34(2)
5	10175	0	0	1.36(2)
5	11100	-1500	0	1.43(23-II-1)
5	11100	-1125	0	1.37(23-II-4)
5	11100	-750	0	1.32(2)
5	11100	-375	0	1.34(2)
5	11100	0	0	1.36(2)
6	7400	17500	0	1.37(2)
6	7400	17875	0	1.35(2)
6	7400	18250	0	1.36(23-I-4)
6	7400	18625	0	1.43(23-I-4)
6	7400	19000	0	1.50(23-I-4)
6	8325	17500	0	1.37(2)
6	8325	17875	0	1.35(2)
6	8325	18250	0	1.36(23-I-4)

Muro	Cx	Cy	Cz	Sigma
6	8325	18625	0	1.42(23-I-4)
6	8325	19000	0	1.49(23-I-4)
6	9250	17500	0	1.37(2)
6	9250	17875	0	1.35(2)
6	9250	18250	0	1.35(23-I-4)
6	9250	18625	0	1.41(23-I-4)
6	9250	19000	0	1.48(23-I-4)
6	10175	17500	0	1.37(2)
6	10175	17875	0	1.35(2)
6	10175	18250	0	1.33(23-I-4)
6	10175	18625	0	1.40(23-I-4)
6	10175	19000	0	1.46(23-I-4)
6	11100	17500	0	1.36(2)
6	11100	17875	0	1.34(2)
6	11100	18250	0	1.32(2)
6	11100	18625	0	1.37(23-I-4)
6	11100	19000	0	1.43(23-I-3)
8	18500	-1500	0	1.49(23-II-2)
8	18500	-1125	0	1.42(23-II-2)
8	18500	-750	0	1.35(23-II-2)
8	18500	-375	0	1.35(2)
8	18500	0	0	1.38(2)
8	19425	-1500	0	1.51(23-II-2)
8	19425	-1125	0	1.44(23-II-2)
8	19425	-750	0	1.37(23-II-2)
8	19425	-375	0	1.36(2)
8	19425	0	0	1.38(2)
8	20350	-1500	0	1.53(23-II-2)
8	20350	-1125	0	1.46(23-II-2)
8	20350	-750	0	1.38(23-II-2)
8	20350	-375	0	1.36(2)
8	20350	0	0	1.38(2)
8	21275	-1500	0	1.53(23-II-2)
8	21275	-1125	0	1.46(23-II-2)
8	21275	-750	0	1.38(23-II-2)
8	21275	-375	0	1.36(2)
8	21275	0	0	1.38(2)
8	22200	-1500	0	1.52(23-II-2)
8	22200	-1125	0	1.44(23-II-2)
8	22200	-750	0	1.37(23-II-2)
8	22200	-375	0	1.35(2)
8	22200	0	0	1.38(2)
10	18500	17500	0	1.38(2)
10	18500	17875	0	1.35(2)
10	18500	18250	0	1.35(23-I-2)
10	18500	18625	0	1.42(23-I-2)
10	18500	19000	0	1.49(23-I-2)
10	19425	17500	0	1.38(2)
10	19425	17875	0	1.36(2)
10	19425	18250	0	1.37(23-I-2)
10	19425	18625	0	1.44(23-I-2)
10	19425	19000	0	1.51(23-I-2)
10	20350	17500	0	1.38(2)
10	20350	17875	0	1.36(2)
10	20350	18250	0	1.38(23-I-2)
10	20350	18625	0	1.45(23-I-2)
10	20350	19000	0	1.53(23-I-2)
10	21275	17500	0	1.37(2)
10	21275	17875	0	1.35(2)
10	21275	18250	0	1.38(23-I-2)
10	21275	18625	0	1.45(23-I-2)
10	21275	19000	0	1.53(23-I-2)
10	22200	17500	0	1.37(2)
10	22200	17875	0	1.35(2)
10	22200	18250	0	1.36(23-I-2)
10	22200	18625	0	1.44(23-I-2)

Muro	Cx	Cy	Cz	Sigma
10	22200	19000	0	1.51(23-I-2)
13	11100	-1500	0	1.43(23-II-1)
13	11100	-1125	0	1.37(23-II-4)
13	11100	-750	0	1.32(2)
13	11100	-375	0	1.34(2)
13	11100	0	0	1.36(2)
13	12025	-1500	0	1.41(23-II-1)
13	12025	-1125	0	1.35(23-II-1)
13	12025	-750	0	1.30(2)
13	12025	-375	0	1.32(2)
13	12025	0	0	1.34(2)
13	12950	-1500	0	1.39(23-II-1)
13	12950	-1125	0	1.33(23-II-1)
13	12950	-750	0	1.29(2)
13	12950	-375	0	1.31(2)
13	12950	0	0	1.33(2)
13	13875	-1500	0	1.39(23-II-1)
13	13875	-1125	0	1.32(23-II-1)
13	13875	-750	0	1.29(2)
13	13875	-375	0	1.31(2)
13	13875	0	0	1.33(2)
13	14800	-1500	0	1.39(23-II-1)
13	14800	-1125	0	1.33(23-II-1)
13	14800	-750	0	1.29(2)
13	14800	-375	0	1.32(2)
13	14800	0	0	1.35(2)
14	14800	-1500	0	1.39(23-II-1)
14	14800	-1125	0	1.33(23-II-1)
14	14800	-750	0	1.29(2)
14	14800	-375	0	1.32(2)
14	14800	0	0	1.35(2)
14	15725	-1500	0	1.39(23-II-1)
14	15725	-1125	0	1.33(23-II-1)
14	15725	-750	0	1.29(2)
14	15725	-375	0	1.32(2)
14	15725	0	0	1.34(2)
14	16650	-1500	0	1.41(23-II-2)
14	16650	-1125	0	1.35(23-II-2)
14	16650	-750	0	1.30(2)
14	16650	-375	0	1.32(2)
14	16650	0	0	1.34(2)
14	17575	-1500	0	1.45(23-II-2)
14	17575	-1125	0	1.38(23-II-2)
14	17575	-750	0	1.31(2)
14	17575	-375	0	1.33(2)
14	17575	0	0	1.35(2)
14	18500	-1500	0	1.49(23-II-2)
14	18500	-1125	0	1.42(23-II-2)
14	18500	-750	0	1.35(23-II-2)
14	18500	-375	0	1.35(2)
14	18500	0	0	1.38(2)
15	3700	-1500	0	1.59(23-II-4)
15	3700	-1125	0	1.53(23-II-4)
15	3700	-750	0	1.46(23-II-4)
15	3700	-375	0	1.40(23-II-4)
15	3700	0	0	1.40(2)
15	4625	-1500	0	1.55(23-II-4)
15	4625	-1125	0	1.48(23-II-4)
15	4625	-750	0	1.41(23-II-4)
15	4625	-375	0	1.35(2)
15	4625	0	0	1.36(2)
15	5550	-1500	0	1.52(23-II-4)
15	5550	-1125	0	1.45(23-II-4)
15	5550	-750	0	1.37(23-II-4)
15	5550	-375	0	1.33(2)
15	5550	0	0	1.35(2)

Muro	Cx	Cy	Cz	Sigma
15	6475	-1500	0	1.50(23-II-4)
15	6475	-1125	0	1.43(23-II-4)
15	6475	-750	0	1.36(23-II-4)
15	6475	-375	0	1.33(2)
15	6475	0	0	1.35(2)
15	7400	-1500	0	1.50(23-II-4)
15	7400	-1125	0	1.43(23-II-4)
15	7400	-750	0	1.36(23-II-4)
15	7400	-375	0	1.35(2)
15	7400	0	0	1.37(2)
15	11100	17500	0	1.36(2)
15	11100	17875	0	1.34(2)
15	11100	18250	0	1.32(2)
15	11100	18625	0	1.37(23-I-4)
15	11100	19000	0	1.43(23-I-3)
15	12025	17500	0	1.34(2)
15	12025	17875	0	1.32(2)
15	12025	18250	0	1.30(2)
15	12025	18625	0	1.35(23-I-3)
15	12025	19000	0	1.41(23-I-3)
15	12950	17500	0	1.33(2)
15	12950	17875	0	1.31(2)
15	12950	18250	0	1.29(2)
15	12950	18625	0	1.33(23-I-3)
15	12950	19000	0	1.40(23-I-3)
15	13875	17500	0	1.33(2)
15	13875	17875	0	1.31(2)
15	13875	18250	0	1.29(2)
15	13875	18625	0	1.33(23-I-3)
15	13875	19000	0	1.39(23-I-3)
15	14800	17500	0	1.35(2)
15	14800	17875	0	1.32(2)
15	14800	18250	0	1.29(2)
15	14800	18625	0	1.33(23-I-3)
15	14800	19000	0	1.39(23-I-3)
16	3700	17500	0	1.40(2)
16	3700	17875	0	1.40(23-I-4)
16	3700	18250	0	1.46(23-I-4)
16	3700	18625	0	1.53(23-I-4)
16	3700	19000	0	1.59(23-I-4)
16	4625	17500	0	1.36(2)
16	4625	17875	0	1.35(2)
16	4625	18250	0	1.41(23-I-4)
16	4625	18625	0	1.48(23-I-4)
16	4625	19000	0	1.55(23-I-4)
16	5550	17500	0	1.35(2)
16	5550	17875	0	1.34(2)
16	5550	18250	0	1.37(23-I-4)
16	5550	18625	0	1.45(23-I-4)
16	5550	19000	0	1.52(23-I-4)
16	6475	17500	0	1.35(2)
16	6475	17875	0	1.34(2)
16	6475	18250	0	1.36(23-I-4)
16	6475	18625	0	1.43(23-I-4)
16	6475	19000	0	1.50(23-I-4)
16	7400	17500	0	1.37(2)
16	7400	17875	0	1.35(2)
16	7400	18250	0	1.36(23-I-4)
16	7400	18625	0	1.43(23-I-4)
16	7400	19000	0	1.50(23-I-4)
16	14800	17500	0	1.35(2)
16	14800	17875	0	1.32(2)
16	14800	18250	0	1.29(2)
16	14800	18625	0	1.33(23-I-3)
16	14800	19000	0	1.39(23-I-3)
16	15725	17500	0	1.33(2)

Muro	Cx	Cy	Cz	Sigma
16	15725	17875	0	1.32(2)
16	15725	18250	0	1.29(2)
16	15725	18625	0	1.33(23-I-3)
16	15725	19000	0	1.39(23-I-3)
16	16650	17500	0	1.34(2)
16	16650	17875	0	1.32(2)
16	16650	18250	0	1.30(2)
16	16650	18625	0	1.35(23-I-2)
16	16650	19000	0	1.41(23-I-2)
16	17575	17500	0	1.35(2)
16	17575	17875	0	1.33(2)
16	17575	18250	0	1.31(2)
16	17575	18625	0	1.38(23-I-2)
16	17575	19000	0	1.45(23-I-2)
16	18500	17500	0	1.38(2)
16	18500	17875	0	1.35(2)
16	18500	18250	0	1.35(23-I-2)
16	18500	18625	0	1.42(23-I-2)
16	18500	19000	0	1.49(23-I-2)
17	11100	1600	0	1.23(2)
17	10175	1600	0	1.23(2)
17	9250	1600	0	1.23(2)
17	8325	1600	0	1.23(2)
17	7400	1600	0	1.23(2)
17	11100	2100	0	1.15(2)
17	10175	2100	0	1.15(2)
17	9250	2100	0	1.15(2)
17	8325	2100	0	1.15(2)
17	7400	2100	0	1.15(2)
17	11100	2600	0	1.07(2)
17	10175	2600	0	1.07(2)
17	9250	2600	0	1.07(2)
17	8325	2600	0	1.07(2)
17	7400	2600	0	1.06(2)
17	11100	3100	0	0.99(2)
17	10175	3100	0	0.99(2)
17	9250	3100	0	0.99(2)
17	8325	3100	0	0.98(2)
17	7400	3100	0	0.98(2)
17	11100	3600	0	0.91(23-I-1)
17	10175	3600	0	0.91(23-I-1)
17	9250	3600	0	0.90(2)
17	8325	3600	0	0.90(2)
17	7400	3600	0	0.90(2)
18	22200	-1500	0	1.52(23-II-2)
18	22200	-1125	0	1.44(23-II-2)
18	22200	-750	0	1.37(23-II-2)
18	22200	-375	0	1.35(2)
18	22200	0	0	1.38(2)
18	23125	-1500	0	1.50(23-II-2)
18	23125	-1125	0	1.42(23-II-2)
18	23125	-750	0	1.34(23-II-2)
18	23125	-375	0	1.34(22-I-1)
18	23125	0	0	1.36(22-I-1)
18	24050	-1500	0	1.48(23-II-2)
18	24050	-1125	0	1.40(23-II-2)
18	24050	-750	0	1.35(22-I-1)
18	24050	-375	0	1.37(22-I-1)
18	24050	0	0	1.39(22-I-1)
18	24975	-1500	0	1.47(23-II-2)
18	24975	-1125	0	1.40(23-II-2)
18	24975	-750	0	1.39(22-I-1)
18	24975	-375	0	1.41(22-I-1)
18	24975	0	0	1.43(22-I-1)
18	25900	-1500	0	1.47(23-II-2)
18	25900	-1125	0	1.41(22-I-1)

Muro	Cx	Cy	Cz	Sigma
18	25900	-750	0	1.43(22-I-1)
18	25900	-375	0	1.46(22-I-1)
18	25900	0	0	1.49(22-I-1)
20	14800	1600	0	1.23(2)
20	13875	1600	0	1.23(2)
20	12950	1600	0	1.23(2)
20	12025	1600	0	1.23(2)
20	11100	1600	0	1.23(2)
20	14800	2100	0	1.15(2)
20	13875	2100	0	1.15(2)
20	12950	2100	0	1.15(2)
20	12025	2100	0	1.15(2)
20	11100	2100	0	1.15(2)
20	14800	2600	0	1.07(2)
20	13875	2600	0	1.07(2)
20	12950	2600	0	1.07(2)
20	12025	2600	0	1.07(2)
20	11100	2600	0	1.07(2)
20	14800	3100	0	0.99(2)
20	13875	3100	0	0.99(2)
20	12950	3100	0	0.99(2)
20	12025	3100	0	0.99(2)
20	11100	3100	0	0.99(2)
20	14800	3600	0	0.92(23-I-1)
20	13875	3600	0	0.93(23-I-1)
20	12950	3600	0	0.92(23-I-1)
20	12025	3600	0	0.92(23-I-1)
20	11100	3600	0	0.91(23-I-1)
20	22200	17500	0	1.37(2)
20	22200	17875	0	1.35(2)
20	22200	18250	0	1.36(23-I-2)
20	22200	18625	0	1.44(23-I-2)
20	22200	19000	0	1.51(23-I-2)
20	23125	17500	0	1.34(2)
20	23125	17875	0	1.32(2)
20	23125	18250	0	1.34(23-I-2)
20	23125	18625	0	1.41(23-I-2)
20	23125	19000	0	1.49(23-I-2)
20	24050	17500	0	1.37(22-I-3)
20	24050	17875	0	1.35(22-I-3)
20	24050	18250	0	1.33(22-I-3)
20	24050	18625	0	1.39(23-I-2)
20	24050	19000	0	1.47(23-I-2)
20	24975	17500	0	1.40(22-I-3)
20	24975	17875	0	1.38(22-I-3)
20	24975	18250	0	1.36(22-I-3)
20	24975	18625	0	1.38(23-I-2)
20	24975	19000	0	1.46(23-I-2)
20	25900	17500	0	1.45(22-I-3)
20	25900	17875	0	1.43(22-I-3)
20	25900	18250	0	1.40(22-I-3)
20	25900	18625	0	1.38(23-I-2)
20	25900	19000	0	1.45(23-I-2)
22	18500	1600	0	1.24(2)
22	17575	1600	0	1.24(2)
22	16650	1600	0	1.23(2)
22	15725	1600	0	1.23(2)
22	14800	1600	0	1.23(2)
22	18500	2100	0	1.16(2)
22	17575	2100	0	1.16(2)
22	16650	2100	0	1.15(2)
22	15725	2100	0	1.15(2)
22	14800	2100	0	1.15(2)
22	18500	2600	0	1.08(2)
22	17575	2600	0	1.08(2)
22	16650	2600	0	1.07(2)

Muro	Cx	Cy	Cz	Sigma
22	15725	2600	0	1.07(2)
22	14800	2600	0	1.07(2)
22	18500	3100	0	1.00(2)
22	17575	3100	0	1.00(2)
22	16650	3100	0	1.00(2)
22	15725	3100	0	0.99(2)
22	14800	3100	0	0.99(2)
22	18500	3600	0	0.93(23-I-2)
22	17575	3600	0	0.93(23-I-1)
22	16650	3600	0	0.93(23-I-1)
22	15725	3600	0	0.93(23-I-1)
22	14800	3600	0	0.92(23-I-1)
24	22200	1600	0	1.25(2)
24	21275	1600	0	1.25(2)
24	20350	1600	0	1.25(2)
24	19425	1600	0	1.25(2)
24	18500	1600	0	1.24(2)
24	22200	2100	0	1.17(2)
24	21275	2100	0	1.17(2)
24	20350	2100	0	1.17(2)
24	19425	2100	0	1.17(2)
24	18500	2100	0	1.16(2)
24	22200	2600	0	1.09(2)
24	21275	2600	0	1.09(2)
24	20350	2600	0	1.09(2)
24	19425	2600	0	1.08(2)
24	18500	2600	0	1.08(2)
24	22200	3100	0	1.01(2)
24	21275	3100	0	1.01(2)
24	20350	3100	0	1.01(2)
24	19425	3100	0	1.00(2)
24	18500	3100	0	1.00(2)
24	22200	3600	0	0.94(23-I-2)
24	21275	3600	0	0.94(23-I-2)
24	20350	3600	0	0.94(23-I-2)
24	19425	3600	0	0.94(23-I-2)
24	18500	3600	0	0.93(23-I-2)
25	7400	-3500	0	1.82(23-II-4)
25	7400	-3000	0	1.74(23-II-4)
25	7400	-2500	0	1.66(23-II-4)
25	7400	-2000	0	1.58(23-II-4)
25	7400	-1500	0	1.50(23-II-4)
25	8325	-3500	0	1.80(23-II-4)
25	8325	-3000	0	1.72(23-II-4)
25	8325	-2500	0	1.65(23-II-4)
25	8325	-2000	0	1.57(23-II-4)
25	8325	-1500	0	1.49(23-II-4)
25	9250	-3500	0	1.78(23-II-4)
25	9250	-3000	0	1.70(23-II-4)
25	9250	-2500	0	1.63(23-II-4)
25	9250	-2000	0	1.56(23-II-4)
25	9250	-1500	0	1.48(23-II-4)
25	10175	-3500	0	1.75(23-II-4)
25	10175	-3000	0	1.68(23-II-4)
25	10175	-2500	0	1.60(23-II-4)
25	10175	-2000	0	1.53(23-II-4)
25	10175	-1500	0	1.46(23-II-4)
25	11100	-3500	0	1.73(23-II-1)
25	11100	-3000	0	1.65(23-II-1)
25	11100	-2500	0	1.58(23-II-1)
25	11100	-2000	0	1.51(23-II-1)
25	11100	-1500	0	1.43(23-II-1)
26	11100	-3500	0	1.73(23-II-1)
26	11100	-3000	0	1.65(23-II-1)
26	11100	-2500	0	1.58(23-II-1)
26	11100	-2000	0	1.51(23-II-1)

Muro	Cx	Cy	Cz	Sigma
26	11100	-1500	0	1.43(23-II-1)
26	12025	-3500	0	1.71(23-II-1)
26	12025	-3000	0	1.64(23-II-1)
26	12025	-2500	0	1.56(23-II-1)
26	12025	-2000	0	1.49(23-II-1)
26	12025	-1500	0	1.41(23-II-1)
26	12950	-3500	0	1.70(23-II-1)
26	12950	-3000	0	1.62(23-II-1)
26	12950	-2500	0	1.55(23-II-1)
26	12950	-2000	0	1.47(23-II-1)
26	12950	-1500	0	1.39(23-II-1)
26	13875	-3500	0	1.69(23-II-1)
26	13875	-3000	0	1.62(23-II-1)
26	13875	-2500	0	1.54(23-II-1)
26	13875	-2000	0	1.47(23-II-1)
26	13875	-1500	0	1.39(23-II-1)
26	14800	-3500	0	1.69(23-II-1)
26	14800	-3000	0	1.62(23-II-1)
26	14800	-2500	0	1.54(23-II-1)
26	14800	-2000	0	1.47(23-II-1)
26	14800	-1500	0	1.39(23-II-1)
27	14800	-3500	0	1.69(23-II-1)
27	14800	-3000	0	1.62(23-II-1)
27	14800	-2500	0	1.54(23-II-1)
27	14800	-2000	0	1.47(23-II-1)
27	14800	-1500	0	1.39(23-II-1)
27	15725	-3500	0	1.70(23-II-1)
27	15725	-3000	0	1.62(23-II-1)
27	15725	-2500	0	1.55(23-II-1)
27	15725	-2000	0	1.47(23-II-1)
27	15725	-1500	0	1.39(23-II-1)
27	16650	-3500	0	1.73(23-II-2)
27	16650	-3000	0	1.65(23-II-2)
27	16650	-2500	0	1.57(23-II-2)
27	16650	-2000	0	1.50(23-II-2)
27	16650	-1500	0	1.41(23-II-2)
27	17575	-3500	0	1.77(23-II-2)
27	17575	-3000	0	1.69(23-II-2)
27	17575	-2500	0	1.61(23-II-2)
27	17575	-2000	0	1.53(23-II-2)
27	17575	-1500	0	1.45(23-II-2)
27	18500	-3500	0	1.81(23-II-2)
27	18500	-3000	0	1.73(23-II-2)
27	18500	-2500	0	1.65(23-II-2)
27	18500	-2000	0	1.57(23-II-2)
27	18500	-1500	0	1.49(23-II-2)
27	7400	1600	0	1.23(2)
27	6475	1600	0	1.23(2)
27	5550	1600	0	1.23(2)
27	4625	1600	0	1.23(2)
27	3700	1600	0	1.24(22-II-1)
27	7400	2100	0	1.15(2)
27	6475	2100	0	1.15(2)
27	5550	2100	0	1.15(2)
27	4625	2100	0	1.15(2)
27	3700	2100	0	1.15(22-II-1)
27	7400	2600	0	1.06(2)
27	6475	2600	0	1.06(2)
27	5550	2600	0	1.06(2)
27	4625	2600	0	1.06(2)
27	3700	2600	0	1.07(22-II-1)
27	7400	3100	0	0.98(2)
27	6475	3100	0	0.98(2)
27	5550	3100	0	0.98(2)
27	4625	3100	0	0.98(2)
27	3700	3100	0	0.98(22-II-1)

Muro	Cx	Cy	Cz	Sigma
27	7400	3600	0	0.90(2)
27	6475	3600	0	0.90(2)
27	5550	3600	0	0.90(2)
27	4625	3600	0	0.90(2)
27	3700	3600	0	0.90(22-II-1)
28	18500	-3500	0	1.81(23-II-2)
28	18500	-3000	0	1.73(23-II-2)
28	18500	-2500	0	1.65(23-II-2)
28	18500	-2000	0	1.57(23-II-2)
28	18500	-1500	0	1.49(23-II-2)
28	19425	-3500	0	1.85(23-II-2)
28	19425	-3000	0	1.76(23-II-2)
28	19425	-2500	0	1.68(23-II-2)
28	19425	-2000	0	1.60(23-II-2)
28	19425	-1500	0	1.51(23-II-2)
28	20350	-3500	0	1.87(23-II-2)
28	20350	-3000	0	1.78(23-II-2)
28	20350	-2500	0	1.70(23-II-2)
28	20350	-2000	0	1.61(23-II-2)
28	20350	-1500	0	1.53(23-II-2)
28	21275	-3500	0	1.87(23-II-2)
28	21275	-3000	0	1.78(23-II-2)
28	21275	-2500	0	1.70(23-II-2)
28	21275	-2000	0	1.62(23-II-2)
28	21275	-1500	0	1.53(23-II-2)
28	22200	-3500	0	1.87(23-II-2)
28	22200	-3000	0	1.78(23-II-2)
28	22200	-2500	0	1.69(23-II-2)
28	22200	-2000	0	1.61(23-II-2)
28	22200	-1500	0	1.52(23-II-2)
29	7400	19000	0	1.50(23-I-4)
29	7400	19500	0	1.58(23-I-4)
29	7400	20000	0	1.66(23-I-4)
29	7400	20500	0	1.74(23-I-4)
29	7400	21000	0	1.82(23-I-4)
29	8325	19000	0	1.49(23-I-4)
29	8325	19500	0	1.57(23-I-4)
29	8325	20000	0	1.65(23-I-4)
29	8325	20500	0	1.73(23-I-4)
29	8325	21000	0	1.81(23-I-4)
29	9250	19000	0	1.48(23-I-4)
29	9250	19500	0	1.56(23-I-4)
29	9250	20000	0	1.63(23-I-4)
29	9250	20500	0	1.71(23-I-4)
29	9250	21000	0	1.78(23-I-4)
29	10175	19000	0	1.46(23-I-4)
29	10175	19500	0	1.53(23-I-4)
29	10175	20000	0	1.61(23-I-4)
29	10175	20500	0	1.68(23-I-4)
29	10175	21000	0	1.75(23-I-4)
29	11100	19000	0	1.43(23-I-3)
29	11100	19500	0	1.51(23-I-3)
29	11100	20000	0	1.58(23-I-3)
29	11100	20500	0	1.66(23-I-3)
29	11100	21000	0	1.73(23-I-3)
30	18500	19000	0	1.49(23-I-2)
30	18500	19500	0	1.57(23-I-2)
30	18500	20000	0	1.65(23-I-2)
30	18500	20500	0	1.73(23-I-2)
30	18500	21000	0	1.81(23-I-2)
30	19425	19000	0	1.51(23-I-2)
30	19425	19500	0	1.60(23-I-2)
30	19425	20000	0	1.68(23-I-2)
30	19425	20500	0	1.76(23-I-2)
30	19425	21000	0	1.85(23-I-2)
30	20350	19000	0	1.53(23-I-2)

Muro	Cx	Cy	Cz	Sigma
30	20350	19500	0	1.61(23-I-2)
30	20350	20000	0	1.70(23-I-2)
30	20350	20500	0	1.78(23-I-2)
30	20350	21000	0	1.87(23-I-2)
30	21275	19000	0	1.53(23-I-2)
30	21275	19500	0	1.61(23-I-2)
30	21275	20000	0	1.70(23-I-2)
30	21275	20500	0	1.78(23-I-2)
30	21275	21000	0	1.87(23-I-2)
30	22200	19000	0	1.51(23-I-2)
30	22200	19500	0	1.60(23-I-2)
30	22200	20000	0	1.69(23-I-2)
30	22200	20500	0	1.77(23-I-2)
30	22200	21000	0	1.86(23-I-2)
31	11100	19000	0	1.43(23-I-3)
31	11100	19500	0	1.51(23-I-3)
31	11100	20000	0	1.58(23-I-3)
31	11100	20500	0	1.66(23-I-3)
31	11100	21000	0	1.73(23-I-3)
31	12025	19000	0	1.41(23-I-3)
31	12025	19500	0	1.49(23-I-3)
31	12025	20000	0	1.56(23-I-3)
31	12025	20500	0	1.64(23-I-3)
31	12025	21000	0	1.72(23-I-3)
31	12950	19000	0	1.40(23-I-3)
31	12950	19500	0	1.47(23-I-3)
31	12950	20000	0	1.55(23-I-3)
31	12950	20500	0	1.63(23-I-3)
31	12950	21000	0	1.70(23-I-3)
31	13875	19000	0	1.39(23-I-3)
31	13875	19500	0	1.47(23-I-3)
31	13875	20000	0	1.54(23-I-3)
31	13875	20500	0	1.62(23-I-3)
31	13875	21000	0	1.69(23-I-3)
31	14800	19000	0	1.39(23-I-3)
31	14800	19500	0	1.47(23-I-3)
31	14800	20000	0	1.54(23-I-3)
31	14800	20500	0	1.62(23-I-3)
31	14800	21000	0	1.69(23-I-3)
32	14800	19000	0	1.39(23-I-3)
32	14800	19500	0	1.47(23-I-3)
32	14800	20000	0	1.54(23-I-3)
32	14800	20500	0	1.62(23-I-3)
32	14800	21000	0	1.69(23-I-3)
32	15725	19000	0	1.39(23-I-3)
32	15725	19500	0	1.47(23-I-3)
32	15725	20000	0	1.55(23-I-3)
32	15725	20500	0	1.62(23-I-3)
32	15725	21000	0	1.70(23-I-3)
32	16650	19000	0	1.41(23-I-2)
32	16650	19500	0	1.50(23-I-2)
32	16650	20000	0	1.57(23-I-2)
32	16650	20500	0	1.65(23-I-2)
32	16650	21000	0	1.73(23-I-2)
32	17575	19000	0	1.45(23-I-2)
32	17575	19500	0	1.53(23-I-2)
32	17575	20000	0	1.61(23-I-2)
32	17575	20500	0	1.69(23-I-2)
32	17575	21000	0	1.77(23-I-2)
32	18500	19000	0	1.49(23-I-2)
32	18500	19500	0	1.57(23-I-2)
32	18500	20000	0	1.65(23-I-2)
32	18500	20500	0	1.73(23-I-2)
32	18500	21000	0	1.81(23-I-2)
33	11100	15900	0	1.23(2)
33	11100	15400	0	1.15(2)

Muro	Cx	Cy	Cz	Sigma
33	11100	14900	0	1.07(2)
33	11100	14400	0	0.98(2)
33	11100	13900	0	0.91(23-II-3)
33	10175	15900	0	1.23(2)
33	10175	15400	0	1.15(2)
33	10175	14900	0	1.07(2)
33	10175	14400	0	0.99(2)
33	10175	13900	0	0.91(23-II-3)
33	9250	15900	0	1.23(2)
33	9250	15400	0	1.15(2)
33	9250	14900	0	1.07(2)
33	9250	14400	0	0.99(2)
33	9250	13900	0	0.90(2)
33	8325	15900	0	1.23(2)
33	8325	15400	0	1.15(2)
33	8325	14900	0	1.07(2)
33	8325	14400	0	0.98(2)
33	8325	13900	0	0.90(2)
33	7400	15900	0	1.23(2)
33	7400	15400	0	1.15(2)
33	7400	14900	0	1.07(2)
33	7400	14400	0	0.98(2)
33	7400	13900	0	0.90(2)
34	25900	1600	0	1.34(22-I-1)
34	24975	1600	0	1.30(22-I-1)
34	24050	1600	0	1.26(22-I-1)
34	23125	1600	0	1.24(2)
34	22200	1600	0	1.25(2)
34	25900	2100	0	1.25(22-I-1)
34	24975	2100	0	1.22(22-I-1)
34	24050	2100	0	1.18(22-I-1)
34	23125	2100	0	1.16(2)
34	22200	2100	0	1.17(2)
34	25900	2600	0	1.17(22-I-1)
34	24975	2600	0	1.13(22-I-1)
34	24050	2600	0	1.10(22-I-1)
34	23125	2600	0	1.09(2)
34	22200	2600	0	1.09(2)
34	25900	3100	0	1.09(22-I-1)
34	24975	3100	0	1.05(22-I-1)
34	24050	3100	0	1.01(22-I-1)
34	23125	3100	0	1.01(2)
34	22200	3100	0	1.01(2)
34	25900	3600	0	1.00(22-I-1)
34	24975	3600	0	0.97(22-I-1)
34	24050	3600	0	0.94(23-I-2)
34	23125	3600	0	0.94(23-I-2)
34	22200	3600	0	0.94(23-I-2)
35	3700	-3500	0	1.92(23-II-4)
35	3700	-3000	0	1.83(23-II-4)
35	3700	-2500	0	1.75(23-II-4)
35	3700	-2000	0	1.67(23-II-4)
35	3700	-1500	0	1.59(23-II-4)
35	4625	-3500	0	1.89(23-II-4)
35	4625	-3000	0	1.80(23-II-4)
35	4625	-2500	0	1.72(23-II-4)
35	4625	-2000	0	1.64(23-II-4)
35	4625	-1500	0	1.55(23-II-4)
35	5550	-3500	0	1.86(23-II-4)
35	5550	-3000	0	1.77(23-II-4)
35	5550	-2500	0	1.69(23-II-4)
35	5550	-2000	0	1.61(23-II-4)
35	5550	-1500	0	1.52(23-II-4)
35	6475	-3500	0	1.84(23-II-4)
35	6475	-3000	0	1.75(23-II-4)
35	6475	-2500	0	1.67(23-II-4)

Muro	Cx	Cy	Cz	Sigma
35	6475	-2000	0	1.59(23-II-4)
35	6475	-1500	0	1.50(23-II-4)
35	7400	-3500	0	1.82(23-II-4)
35	7400	-3000	0	1.74(23-II-4)
35	7400	-2500	0	1.66(23-II-4)
35	7400	-2000	0	1.58(23-II-4)
35	7400	-1500	0	1.50(23-II-4)
36	14800	15900	0	1.23(2)
36	14800	15400	0	1.15(2)
36	14800	14900	0	1.07(2)
36	14800	14400	0	0.99(2)
36	14800	13900	0	0.92(23-II-3)
36	13875	15900	0	1.23(2)
36	13875	15400	0	1.15(2)
36	13875	14900	0	1.07(2)
36	13875	14400	0	0.99(2)
36	13875	13900	0	0.93(23-II-3)
36	12950	15900	0	1.23(2)
36	12950	15400	0	1.15(2)
36	12950	14900	0	1.07(2)
36	12950	14400	0	0.99(2)
36	12950	13900	0	0.92(23-II-3)
36	12025	15900	0	1.23(2)
36	12025	15400	0	1.15(2)
36	12025	14900	0	1.07(2)
36	12025	14400	0	0.99(2)
36	12025	13900	0	0.92(23-II-3)
36	11100	15900	0	1.23(2)
36	11100	15400	0	1.15(2)
36	11100	14900	0	1.07(2)
36	11100	14400	0	0.98(2)
36	11100	13900	0	0.91(23-II-3)
38	18500	15900	0	1.24(2)
38	18500	15400	0	1.16(2)
38	18500	14900	0	1.08(2)
38	18500	14400	0	1.00(2)
38	18500	13900	0	0.93(23-II-2)
38	17575	15900	0	1.24(2)
38	17575	15400	0	1.16(2)
38	17575	14900	0	1.08(2)
38	17575	14400	0	1.00(2)
38	17575	13900	0	0.93(23-II-3)
38	16650	15900	0	1.23(2)
38	16650	15400	0	1.15(2)
38	16650	14900	0	1.07(2)
38	16650	14400	0	0.99(2)
38	16650	13900	0	0.93(23-II-3)
38	15725	15900	0	1.23(2)
38	15725	15400	0	1.15(2)
38	15725	14900	0	1.07(2)
38	15725	14400	0	0.99(2)
38	15725	13900	0	0.93(23-II-3)
38	14800	15900	0	1.23(2)
38	14800	15400	0	1.15(2)
38	14800	14900	0	1.07(2)
38	14800	14400	0	0.99(2)
38	14800	13900	0	0.92(23-II-3)
38	22200	-3500	0	1.87(23-II-2)
38	22200	-3000	0	1.78(23-II-2)
38	22200	-2500	0	1.69(23-II-2)
38	22200	-2000	0	1.61(23-II-2)
38	22200	-1500	0	1.52(23-II-2)
38	23125	-3500	0	1.85(23-II-2)
38	23125	-3000	0	1.76(23-II-2)
38	23125	-2500	0	1.67(23-II-2)
38	23125	-2000	0	1.59(23-II-2)

Muro	Cx	Cy	Cz	Sigma
38	23125	-1500	0	1.50(23-II-2)
38	24050	-3500	0	1.83(23-II-2)
38	24050	-3000	0	1.74(23-II-2)
38	24050	-2500	0	1.66(23-II-2)
38	24050	-2000	0	1.57(23-II-2)
38	24050	-1500	0	1.48(23-II-2)
38	24975	-3500	0	1.82(23-II-2)
38	24975	-3000	0	1.73(23-II-2)
38	24975	-2500	0	1.64(23-II-2)
38	24975	-2000	0	1.56(23-II-2)
38	24975	-1500	0	1.47(23-II-2)
38	25900	-3500	0	1.81(23-II-2)
38	25900	-3000	0	1.72(23-II-2)
38	25900	-2500	0	1.63(23-II-2)
38	25900	-2000	0	1.55(23-II-2)
38	25900	-1500	0	1.47(23-II-2)
39	3700	19000	0	1.59(23-I-4)
39	3700	19500	0	1.67(23-I-4)
39	3700	20000	0	1.75(23-I-4)
39	3700	20500	0	1.83(23-I-4)
39	3700	21000	0	1.92(23-I-4)
39	4625	19000	0	1.55(23-I-4)
39	4625	19500	0	1.64(23-I-4)
39	4625	20000	0	1.72(23-I-4)
39	4625	20500	0	1.80(23-I-4)
39	4625	21000	0	1.89(23-I-4)
39	5550	19000	0	1.52(23-I-4)
39	5550	19500	0	1.61(23-I-4)
39	5550	20000	0	1.69(23-I-4)
39	5550	20500	0	1.78(23-I-4)
39	5550	21000	0	1.86(23-I-4)
39	6475	19000	0	1.50(23-I-4)
39	6475	19500	0	1.59(23-I-4)
39	6475	20000	0	1.67(23-I-4)
39	6475	20500	0	1.76(23-I-4)
39	6475	21000	0	1.84(23-I-4)
39	7400	19000	0	1.50(23-I-4)
39	7400	19500	0	1.58(23-I-4)
39	7400	20000	0	1.66(23-I-4)
39	7400	20500	0	1.74(23-I-4)
39	7400	21000	0	1.82(23-I-4)
40	22200	19000	0	1.51(23-I-2)
40	22200	19500	0	1.60(23-I-2)
40	22200	20000	0	1.69(23-I-2)
40	22200	20500	0	1.77(23-I-2)
40	22200	21000	0	1.86(23-I-2)
40	23125	19000	0	1.49(23-I-2)
40	23125	19500	0	1.58(23-I-2)
40	23125	20000	0	1.67(23-I-2)
40	23125	20500	0	1.76(23-I-2)
40	23125	21000	0	1.85(23-I-2)
40	24050	19000	0	1.47(23-I-2)
40	24050	19500	0	1.56(23-I-2)
40	24050	20000	0	1.65(23-I-2)
40	24050	20500	0	1.74(23-I-2)
40	24050	21000	0	1.83(23-I-2)
40	24975	19000	0	1.46(23-I-2)
40	24975	19500	0	1.55(23-I-2)
40	24975	20000	0	1.63(23-I-2)
40	24975	20500	0	1.72(23-I-2)
40	24975	21000	0	1.81(23-I-2)
40	25900	19000	0	1.45(23-I-2)
40	25900	19500	0	1.54(23-I-2)
40	25900	20000	0	1.62(23-I-2)
40	25900	20500	0	1.71(23-I-2)
40	25900	21000	0	1.80(23-I-2)

Muro	Cx	Cy	Cz	Sigma
40	22200	15900	0	1.24(2)
40	22200	15400	0	1.16(2)
40	22200	14900	0	1.08(2)
40	22200	14400	0	1.00(2)
40	22200	13900	0	0.93(23-II-2)
40	21275	15900	0	1.24(2)
40	21275	15400	0	1.16(2)
40	21275	14900	0	1.08(2)
40	21275	14400	0	1.00(2)
40	21275	13900	0	0.94(23-II-2)
40	20350	15900	0	1.24(2)
40	20350	15400	0	1.16(2)
40	20350	14900	0	1.08(2)
40	20350	14400	0	1.00(2)
40	20350	13900	0	0.94(23-II-2)
40	19425	15900	0	1.24(2)
40	19425	15400	0	1.16(2)
40	19425	14900	0	1.08(2)
40	19425	14400	0	1.00(2)
40	19425	13900	0	0.94(23-II-2)
40	18500	15900	0	1.24(2)
40	18500	15400	0	1.16(2)
40	18500	14900	0	1.08(2)
40	18500	14400	0	1.00(2)
40	18500	13900	0	0.93(23-II-2)
43	7400	15900	0	1.23(2)
43	7400	15400	0	1.15(2)
43	7400	14900	0	1.07(2)
43	7400	14400	0	0.98(2)
43	7400	13900	0	0.90(2)
43	6475	15900	0	1.23(2)
43	6475	15400	0	1.15(2)
43	6475	14900	0	1.06(2)
43	6475	14400	0	0.98(2)
43	6475	13900	0	0.90(2)
43	5550	15900	0	1.23(2)
43	5550	15400	0	1.15(2)
43	5550	14900	0	1.06(2)
43	5550	14400	0	0.98(2)
43	5550	13900	0	0.90(2)
43	4625	15900	0	1.23(2)
43	4625	15400	0	1.15(2)
43	4625	14900	0	1.06(2)
43	4625	14400	0	0.98(2)
43	4625	13900	0	0.90(2)
43	3700	15900	0	1.23(2)
43	3700	15400	0	1.15(2)
43	3700	14900	0	1.06(2)
43	3700	14400	0	0.98(2)
43	3700	13900	0	0.90(2)
50	25900	15900	0	1.31(22-I-3)
50	25900	15400	0	1.22(22-I-3)
50	25900	14900	0	1.14(22-I-3)
50	25900	14400	0	1.06(22-I-3)
50	25900	13900	0	0.97(22-I-3)
50	24975	15900	0	1.27(22-I-3)
50	24975	15400	0	1.19(22-I-3)
50	24975	14900	0	1.11(22-I-3)
50	24975	14400	0	1.02(22-I-3)
50	24975	13900	0	0.94(22-I-3)
50	24050	15900	0	1.24(22-I-3)
50	24050	15400	0	1.16(22-I-3)
50	24050	14900	0	1.07(22-I-3)
50	24050	14400	0	1.00(2)
50	24050	13900	0	0.93(23-II-2)
50	23125	15900	0	1.23(2)

Muro	Cx	Cy	Cz	Sigma
50	23125	15400	0	1.15(2)
50	23125	14900	0	1.08(2)
50	23125	14400	0	1.00(2)
50	23125	13900	0	0.93(23-II-2)
50	22200	15900	0	1.24(2)
50	22200	15400	0	1.16(2)
50	22200	14900	0	1.08(2)
50	22200	14400	0	1.00(2)
50	22200	13900	0	0.93(23-II-2)
Massimo assoluto				
39	3700	21000	0	1.92(23-I-4)
Minimo assoluto				
43	3700	13900	0	0.90(2)

Risultati Analisi Dinamica - Spostamenti massimi - Nodi

Scenario di calcolo : SetNT_SLU_SLE

la tripletta (Cb [-SubC-Cbm]) indica la Combinazione - SottoCombinazione sismica - Posizione Masse, nel caso non sismico mancano SubC-Cbm

Nodo	Trasl. X	Trasl. Y	Trasl. Z	Rotaz. X	Rotaz. Y	Rotaz. Z
	mm	mm	mm	mrاد	mrاد	mrاد
0	0.00(1)	0.00(1)	-1.21(22-I-3)	-0.21(22-I-3)	-0.06(22-II-3)	0.00(1)
0	0.00(1)	0.00(1)	-1.12(2)	-0.23(23-I-4)	0.04(22-I-3)	0.00(1)
1	0.00(1)	0.00(1)	-2.44(23-II-4)	0.56(23-II-4)	-0.17(23-II-4)	0.00(1)
2	0.00(1)	0.00(1)	-1.75(2)	-0.34(23-I-4)	-0.09(23-II-4)	0.00(1)
3	0.00(1)	0.00(1)	-1.71(2)	-0.36(23-I-4)	0.07(22-I-1)	0.00(1)
4	0.00(1)	0.00(1)	-1.70(2)	-0.34(23-I-1)	-0.06(22-II-1)	0.00(1)
5	0.00(1)	0.00(1)	-1.68(2)	-0.34(23-I-1)	0.02(22-I-1)	0.00(1)
6	0.00(1)	0.00(1)	-1.72(2)	-0.37(23-I-2)	0.07(22-I-1)	0.00(1)
7	0.00(1)	0.00(1)	-1.72(2)	-0.39(23-I-2)	-0.09(22-II-1)	0.00(1)
8	0.00(1)	0.00(1)	-1.86(22-I-1)	-0.35(23-I-2)	0.06(22-I-1)	0.00(1)
9	0.00(1)	0.00(1)	-2.44(23-I-4)	-0.56(23-I-4)	-0.17(23-I-4)	0.00(1)
10	0.00(1)	0.00(1)	-1.76(2)	0.34(23-II-4)	-0.09(23-I-4)	0.00(1)
11	0.00(1)	0.00(1)	-1.71(2)	0.36(23-II-4)	0.06(22-I-3)	0.00(1)
12	0.00(1)	0.00(1)	-1.71(2)	0.34(23-II-3)	-0.06(22-II-3)	0.00(1)
13	0.00(1)	0.00(1)	-1.54(2)	0.25(23-II-4)	0.04(22-I-1)	0.00(1)
13	0.00(1)	0.00(1)	-1.87(23-II-4)	-0.34(23-I-4)	0.06(22-I-1)	0.00(1)
13	0.00(1)	0.00(1)	-1.68(2)	0.34(23-II-3)	0.02(22-I-3)	0.00(1)
14	0.00(1)	0.00(1)	-1.54(2)	0.24(23-II-1)	0.03(22-I-1)	0.00(1)
14	0.00(1)	0.00(1)	-1.79(23-II-1)	-0.33(23-I-1)	-0.05(22-II-1)	0.00(1)
14	0.00(1)	0.00(1)	-1.72(2)	0.37(23-II-2)	0.06(22-I-3)	0.00(1)
15	0.00(1)	0.00(1)	-1.53(2)	0.23(23-II-1)	0.02(22-I-1)	0.00(1)
15	0.00(1)	0.00(1)	-1.74(23-II-1)	-0.33(23-I-1)	0.02(23-II-2)	0.00(1)
15	0.00(1)	0.00(1)	-1.71(2)	0.39(23-II-2)	-0.08(22-II-3)	0.00(1)
16	0.00(1)	0.00(1)	-1.55(2)	0.24(23-II-2)	0.04(22-I-1)	0.00(1)
16	0.00(1)	0.00(1)	-1.82(22-I-3)	0.35(23-II-2)	-0.06(22-II-3)	0.00(1)
17	0.00(1)	0.00(1)	-1.56(2)	0.24(23-II-2)	-0.05(22-II-1)	0.00(1)
21	0.00(1)	0.00(1)	-1.87(23-I-4)	0.34(23-II-4)	0.06(22-I-3)	0.00(1)
22	0.00(1)	0.00(1)	-1.79(23-I-3)	0.33(23-II-3)	-0.05(22-II-3)	0.00(1)
23	0.00(1)	0.00(1)	-1.54(22-II-1)	0.25(23-II-4)	0.04(22-I-1)	0.00(1)
23	0.00(1)	0.00(1)	-1.99(23-II-4)	-0.33(23-I-4)	-0.05(23-II-4)	0.00(1)
23	0.00(1)	0.00(1)	-2.28(23-II-4)	-0.33(23-I-4)	-0.05(22-II-1)	0.00(1)
23	0.00(1)	0.00(1)	-1.74(23-I-3)	0.33(23-II-3)	0.02(23-I-2)	0.00(1)
23	0.00(1)	0.00(1)	-1.86(23-II-2)	-0.36(23-I-2)	0.06(22-I-1)	0.00(1)
24	0.00(1)	0.00(1)	-2.16(23-II-1)	-0.32(23-I-1)	-0.05(22-II-1)	0.00(1)
24	0.00(1)	0.00(1)	-1.90(23-II-2)	-0.37(23-I-2)	-0.08(22-II-1)	0.00(1)
25	0.00(1)	0.00(1)	-2.12(23-II-1)	-0.33(23-I-1)	0.04(23-II-2)	0.00(1)
27	0.00(1)	0.00(1)	-1.67(22-I-1)	0.23(23-II-2)	-0.05(22-II-1)	0.00(1)

Nodo	Trasl. X	Trasl. Y	Trasl. Z	Rotaz. X	Rotaz. Y	Rotaz. Z
31	0.00(1)	0.00(1)	-1.99(23-I-4)	0.33(23-II-4)	-0.05(23-I-4)	0.00(1)
31	0.00(1)	0.00(1)	-2.28(23-I-4)	0.33(23-II-4)	-0.05(22-II-3)	0.00(1)
31	0.00(1)	0.00(1)	-1.86(23-I-2)	0.35(23-II-2)	0.06(22-I-3)	0.00(1)
32	0.00(1)	0.00(1)	-2.17(23-I-3)	0.32(23-II-3)	-0.05(22-II-3)	0.00(1)
32	0.00(1)	0.00(1)	-1.89(23-I-2)	0.37(23-II-2)	-0.08(22-II-3)	0.00(1)
33	0.00(1)	0.00(1)	-2.39(23-II-4)	-0.33(23-I-4)	-0.04(23-II-4)	0.00(1)
33	0.00(1)	0.00(1)	-2.12(23-I-3)	0.33(23-II-3)	0.04(23-I-2)	0.00(1)
33	0.00(1)	0.00(1)	-2.27(23-II-2)	-0.35(23-I-2)	0.05(22-I-1)	0.00(1)
34	0.00(1)	0.00(1)	-1.83(23-II-2)	-0.35(23-I-2)	-0.07(22-II-1)	0.00(1)
34	0.00(1)	0.00(1)	-2.33(23-II-2)	-0.36(23-I-2)	-0.07(22-II-1)	0.00(1)
41	0.00(1)	0.00(1)	-2.39(23-I-4)	0.33(23-II-4)	-0.04(23-I-4)	0.00(1)
41	0.00(1)	0.00(1)	-2.27(23-I-2)	0.34(23-II-2)	0.05(22-I-3)	0.00(1)
42	0.00(1)	0.00(1)	-1.82(23-I-2)	0.35(23-II-2)	-0.06(22-II-3)	0.00(1)
42	0.00(1)	0.00(1)	-2.33(23-I-2)	0.36(23-II-2)	-0.07(22-II-3)	0.00(1)
44	0.00(1)	0.00(1)	-2.26(23-II-2)	-0.35(23-I-2)	-0.07(22-II-1)	0.00(1)
52	0.00(1)	0.00(1)	-2.25(23-I-2)	0.35(23-II-2)	-0.06(22-II-3)	0.00(1)
101	-1.02(22-II-1)	6.15(23-I-4)	-2.74(23-II-4)	-0.97(23-I-4)	-0.13(23-II-4)	0.21(23-II-4)
102	-0.96(22-II-1)	4.98(23-I-4)	-2.10(23-II-4)	-0.83(23-I-4)	-0.14(23-II-4)	0.32(23-II-4)
103	-0.98(22-II-1)	3.76(23-I-4)	-1.86(22-II-1)	-0.73(23-I-4)	-0.15(22-II-1)	-0.17(23-I-4)
104	-0.97(22-II-1)	3.30(23-I-1)	-1.83(2)	-0.65(23-I-4)	-0.13(22-II-1)	0.17(23-II-4)
105	-0.95(22-II-1)	3.36(23-I-1)	-1.84(2)	-0.65(23-I-1)	0.04(22-I-1)	0.18(23-I-2)
106	-0.96(22-II-1)	3.82(23-I-2)	-1.85(2)	-0.77(23-I-2)	0.13(22-I-1)	-0.15(23-II-2)
107	0.96(22-I-1)	4.24(23-I-2)	-1.91(22-I-1)	-0.83(23-I-2)	0.15(22-I-1)	0.13(23-I-2)
108	0.96(22-I-1)	4.77(23-I-2)	-2.06(22-I-1)	-0.81(23-I-2)	0.06(22-I-2)	0.16(23-I-2)
109	-0.98(22-II-3)	-6.16(23-II-4)	-2.73(23-I-4)	0.96(23-II-4)	-0.13(23-I-4)	0.20(23-II-4)
110	-0.92(22-II-3)	-4.97(23-II-4)	-2.10(23-I-4)	0.83(23-II-4)	-0.14(23-I-4)	0.32(23-II-4)
111	-0.94(22-II-3)	-3.75(23-II-4)	-1.84(2)	0.72(23-II-4)	-0.14(22-II-3)	0.17(23-II-4)
112	-0.93(22-II-3)	-3.29(23-II-3)	-1.83(2)	0.65(23-II-4)	-0.13(22-II-3)	-0.17(23-I-4)
113	0.00(1)	0.00(1)	-1.54(2)	-0.25(23-I-4)	0.04(22-I-3)	0.00(1)
113	-0.91(22-II-3)	-3.34(23-II-3)	-1.84(2)	0.65(23-II-3)	0.04(22-I-3)	-0.18(23-II-2)
114	0.00(1)	0.00(1)	-1.54(2)	-0.24(23-I-3)	0.03(22-I-3)	0.00(1)
114	-0.92(22-II-3)	-3.81(23-II-2)	-1.85(2)	0.76(23-II-2)	-0.12(22-II-3)	0.15(23-I-2)
115	0.00(1)	0.00(1)	-1.53(2)	-0.23(23-I-3)	0.02(22-I-3)	0.00(1)
115	-0.91(22-II-3)	-4.23(23-II-2)	-1.88(22-I-3)	0.83(23-II-2)	0.14(22-I-3)	-0.13(23-II-2)
116	0.00(1)	0.00(1)	-1.55(2)	-0.24(23-I-2)	0.04(22-I-3)	0.00(1)
116	-0.91(22-II-3)	-4.76(23-II-2)	-2.01(22-I-3)	0.80(23-II-2)	0.06(22-I-2)	-0.16(23-II-2)
117	0.00(1)	0.00(1)	-1.55(2)	-0.24(23-I-2)	-0.05(22-II-3)	0.00(1)
123	0.00(1)	0.00(1)	-1.54(2)	-0.25(23-I-4)	0.04(22-I-3)	0.00(1)
127	0.00(1)	0.00(1)	-1.63(22-I-3)	-0.23(23-I-2)	-0.05(22-II-3)	0.00(1)
201	-2.65(22-II-1)	15.38(23-I-4)	-3.29(23-II-4)	-1.18(23-I-4)	-0.13(23-II-4)	-0.35(23-I-4)
202	-2.62(22-II-1)	14.02(23-I-4)	-2.67(23-II-4)	-1.17(23-I-4)	-0.18(23-II-4)	-0.76(23-I-4)
203	-2.56(22-II-1)	10.91(23-I-4)	-1.95(22-II-1)	-0.87(23-I-4)	-0.15(22-II-1)	0.44(23-II-4)
204	-2.58(22-II-1)	9.92(23-I-4)	-1.92(2)	-0.79(23-I-4)	0.12(22-I-1)	-0.40(23-I-4)
205	-2.54(22-II-1)	10.48(23-I-1)	-2.01(23-II-1)	-0.83(23-I-1)	0.03(23-II-2)	-0.51(23-II-2)
206	-2.58(22-II-1)	12.50(23-I-2)	-2.00(23-II-2)	-0.98(23-I-2)	-0.12(22-II-1)	0.34(23-I-2)
207	2.56(22-I-1)	13.21(23-I-2)	-2.02(23-II-2)	-1.03(23-I-2)	0.16(22-I-1)	-0.29(23-II-2)
208	2.62(22-I-1)	13.91(23-I-2)	-2.40(23-II-2)	-1.03(23-I-2)	0.11(23-II-2)	-0.30(23-II-2)
209	-2.51(22-II-3)	15.34(23-I-4)	-3.34(23-I-4)	-1.23(23-I-4)	-0.13(23-I-4)	0.35(23-II-4)
210	-2.49(22-II-3)	-13.92(23-II-4)	-2.68(23-I-4)	1.16(23-II-4)	-0.18(23-I-4)	-0.76(23-I-4)
211	-2.72(22-II-1)	15.93(23-I-4)	-1.78(23-II-4)	-6.74(1)	0.11(23-I-4)	-0.41(23-I-4)
211	-2.44(22-II-3)	-10.87(23-II-4)	-1.94(23-I-4)	0.87(23-II-4)	-0.15(22-II-3)	-0.44(23-I-4)
212	-2.70(22-II-1)	14.66(23-I-4)	-0.93(23-II-4)	-8.11(1)	-0.26(23-II-4)	-0.73(23-I-4)
212	-2.47(22-II-3)	-9.89(23-II-4)	-1.92(2)	0.79(23-II-4)	0.12(22-I-3)	0.40(23-II-4)
213	-2.65(22-II-1)	11.36(23-I-4)	0.66(22-I-1)	-8.87(2)	-0.14(22-II-1)	-0.48(23-I-4)
213	-2.46(22-II-3)	-10.44(23-II-3)	-2.02(23-I-3)	0.83(23-II-3)	0.02(22-I-2)	0.51(23-I-2)
214	-2.65(22-II-1)	10.32(23-I-4)	0.51(23-I-4)	-9.00(2)	0.10(22-I-1)	-0.42(23-I-4)
214	-2.46(22-II-3)	-12.45(23-II-2)	-2.01(23-I-2)	0.97(23-II-2)	-0.11(22-II-3)	-0.34(23-II-2)
215	-2.58(22-II-1)	10.91(23-I-1)	0.49(23-I-3)	-8.74(1)	0.10(22-II-1)	-0.52(23-II-2)
215	2.43(22-I-3)	-13.17(23-II-2)	-2.01(23-I-2)	1.03(23-II-2)	0.15(22-I-3)	-0.28(23-II-2)
216	2.64(22-I-1)	13.01(23-I-2)	0.39(23-I-2)	-8.26(2)	0.10(22-I-1)	0.34(23-I-2)
216	2.47(22-I-3)	-13.87(23-II-2)	-2.38(23-I-2)	1.02(23-II-2)	0.11(23-I-2)	0.30(23-I-2)
217	2.68(22-I-1)	13.77(23-I-2)	-0.59(22-I-1)	-7.65(2)	0.21(22-I-1)	0.31(23-I-2)
218	2.70(22-I-1)	14.40(23-I-2)	-1.16(22-I-1)	-6.57(2)	-0.13(23-I-2)	0.32(23-I-2)
219	-2.59(22-II-3)	15.95(23-I-4)	-1.82(23-I-4)	6.74(1)	0.11(23-II-4)	0.40(23-II-4)
220	-2.57(22-II-3)	-14.56(23-II-4)	-0.94(23-I-4)	8.11(1)	-0.27(23-I-4)	0.72(23-II-4)
221	3.68(22-I-1)	15.93(23-I-4)	11.14(1)	-6.71(1)	0.11(23-I-4)	1.02(22-II-4)

Nodo	Trasl. X	Trasl. Y	Trasl. Z	Rotaz. X	Rotaz. Y	Rotaz. Z
221	-2.54(22-II-3)	-11.32(23-II-4)	0.64(22-I-3)	8.87(2)	-0.14(22-II-3)	0.47(23-II-4)
222	-3.60(22-II-1)	14.67(23-I-4)	14.11(1)	-8.05(1)	-0.26(23-II-4)	0.93(22-II-4)
222	-2.54(22-II-3)	-10.29(23-II-4)	0.51(23-II-4)	9.00(2)	0.10(22-I-3)	0.42(23-II-4)
223	-3.71(22-II-1)	11.36(23-I-4)	15.82(1)	-8.80(2)	-0.14(22-II-1)	-0.96(22-II-1)
223	-2.49(22-II-3)	-10.87(23-II-3)	0.50(23-II-1)	8.74(1)	0.10(22-II-3)	0.49(23-I-2)
224	-3.75(22-II-1)	10.32(23-I-4)	16.09(1)	-8.94(2)	0.10(22-I-1)	-0.99(22-II-1)
224	-2.52(22-II-3)	-12.95(23-II-2)	0.40(23-II-2)	8.26(2)	0.10(22-I-3)	-0.35(23-II-2)
225	2.55(22-I-3)	-13.73(23-II-2)	-0.56(22-I-3)	7.65(2)	0.21(22-I-3)	-0.32(23-II-2)
225	-3.64(22-II-1)	10.91(23-I-1)	15.52(1)	-8.67(1)	0.10(22-II-1)	-0.92(22-II-1)
226	2.56(22-I-3)	14.39(23-I-2)	-1.12(22-I-3)	6.57(2)	-0.13(23-II-2)	-0.32(23-II-2)
226	3.58(22-I-1)	13.01(23-I-2)	14.56(1)	-8.19(2)	0.10(22-I-1)	-0.88(22-II-1)
227	-3.56(22-II-1)	13.77(23-I-2)	13.35(1)	-7.59(2)	0.21(22-I-1)	-0.90(22-I-4)
228	-3.65(22-II-1)	14.40(23-I-2)	11.07(1)	-6.53(2)	-0.13(23-I-2)	-0.97(22-I-4)
229	3.54(22-I-3)	15.96(23-I-4)	11.09(1)	6.71(1)	0.11(23-II-4)	-1.16(22-II-4)
230	-3.45(22-II-3)	-14.56(23-II-4)	14.09(1)	8.05(1)	-0.27(23-I-4)	-1.07(22-II-4)
231	-3.56(22-II-3)	-11.32(23-II-4)	15.81(1)	8.80(2)	-0.14(22-II-3)	1.04(22-I-4)
232	-3.60(22-II-3)	-10.30(23-II-4)	16.09(1)	8.94(2)	0.10(22-I-3)	1.05(22-I-4)
233	-3.51(22-II-3)	-10.87(23-II-3)	15.53(1)	8.67(1)	0.10(22-II-3)	1.00(22-I-4)
234	3.43(22-I-3)	-12.95(23-II-2)	14.57(1)	8.19(2)	0.10(22-I-3)	0.98(22-I-4)
235	-3.42(22-II-3)	-13.73(23-II-2)	13.36(1)	7.59(2)	0.21(22-I-3)	1.04(22-I-4)
236	-3.51(22-II-3)	14.39(23-I-2)	11.09(1)	6.54(2)	-0.13(23-II-2)	1.11(22-II-4)
801	0.00(1)	0.00(1)	-1.14(23-I-1)	0.23(23-II-1)	0.03(22-I-1)	0.00(1)
802	0.00(1)	0.00(1)	-1.12(2)	0.23(23-II-4)	0.04(22-I-1)	0.00(1)
803	0.00(1)	0.00(1)	-1.14(23-II-3)	-0.23(23-I-3)	-0.03(22-II-3)	0.00(1)
804	0.00(1)	0.00(1)	-1.12(2)	-0.23(23-I-4)	0.04(22-I-3)	0.00(1)
805	0.00(1)	0.00(1)	-1.17(23-I-2)	0.23(23-II-2)	-0.06(22-II-1)	0.00(1)
806	0.00(1)	0.00(1)	-1.16(23-I-2)	0.23(23-II-2)	0.04(22-I-1)	0.00(1)
807	0.00(1)	0.00(1)	-1.17(23-II-2)	-0.23(23-I-2)	-0.05(22-II-3)	0.00(1)
808	0.00(1)	0.00(1)	-1.16(23-II-2)	-0.23(23-I-2)	0.04(22-I-3)	0.00(1)
809	0.00(1)	0.00(1)	-1.16(23-I-1)	0.22(23-II-1)	0.02(22-I-1)	0.00(1)
810	0.00(1)	0.00(1)	-1.15(23-II-3)	-0.22(23-I-3)	0.02(22-I-3)	0.00(1)
811	-0.94(22-II-1)	3.32(23-I-1)	-1.85(2)	-0.65(23-I-1)	0.02(23-II-2)	0.17(23-I-2)
812	0.00(1)	0.00(1)	-1.12(22-II-1)	0.23(23-II-4)	0.04(22-I-1)	0.00(1)
812	-0.93(22-II-1)	3.54(23-I-2)	-1.86(2)	-0.70(23-I-2)	0.01(23-I-4)	-0.18(23-II-2)
813	-0.89(22-II-3)	-3.31(23-II-3)	-1.85(2)	0.65(23-II-3)	0.02(23-I-2)	-0.17(23-II-2)
814	-0.89(22-II-3)	-3.52(23-II-2)	-1.86(2)	0.70(23-II-2)	0.01(23-II-4)	0.18(23-I-2)
815	-2.39(22-II-3)	-10.08(23-II-3)	-1.96(23-I-3)	0.83(23-II-3)	0.04(23-I-2)	0.79(23-I-2)
816	-2.38(22-II-3)	-11.33(23-II-2)	-2.04(23-I-2)	0.93(23-II-2)	-0.03(23-I-4)	0.77(23-I-2)
817	-2.49(22-II-1)	11.38(23-I-2)	-2.03(23-II-2)	-0.93(23-I-2)	-0.04(23-II-4)	0.77(23-I-2)
818	-2.49(22-II-1)	10.10(23-I-1)	-1.95(23-II-1)	-0.83(23-I-1)	0.05(23-II-2)	-0.79(23-II-2)
819	0.00(1)	0.00(1)	-1.25(22-I-1)	0.21(22-I-1)	-0.06(22-II-1)	0.00(1)
820	-4.60(22-II-1)	15.88(23-I-4)	-12.69(2)	-6.54(1)	0.99(22-I-4)	2.06(22-II-4)
821	-7.31(22-II-1)	15.83(23-I-4)	-23.51(2)	-5.59(1)	2.00(22-I-4)	-1.60(22-I-4)
822	-9.80(22-II-1)	15.82(23-I-4)	-32.09(2)	-4.06(1)	2.65(22-I-4)	1.27(22-II-3)
823	-10.65(22-II-2)	15.81(23-I-4)	-37.60(2)	-2.13(1)	3.31(22-I-4)	-0.68(22-I-3)
824	-11.68(22-II-4)	15.84(23-I-4)	-39.48(2)	-0.18(23-I-4)	3.31(22-I-4)	0.22(22-II-1)
825	-10.60(22-II-2)	15.86(23-I-4)	-37.60(2)	2.12(1)	3.31(22-I-4)	0.69(22-I-1)
826	-9.88(22-II-3)	15.89(23-I-4)	-32.11(2)	4.05(1)	2.65(22-I-4)	-1.25(22-II-1)
827	-7.28(22-II-3)	15.92(23-I-4)	-23.53(2)	5.59(1)	1.99(22-I-4)	1.62(22-I-4)
828	-4.47(22-II-3)	15.94(23-I-4)	-12.72(2)	6.54(1)	0.98(22-I-4)	-2.06(22-II-4)
829	-4.46(22-II-1)	14.76(23-I-4)	-14.56(2)	-7.94(1)	0.47(22-II-1)	-2.12(22-I-2)
830	7.20(22-I-1)	14.84(23-I-4)	-27.70(2)	-6.79(1)	1.09(22-II-1)	-1.37(22-I-4)
831	9.56(22-I-1)	14.86(23-I-4)	-38.12(2)	-4.92(1)	1.47(22-II-1)	1.34(22-II-3)
832	10.58(22-I-2)	14.87(23-I-4)	-44.79(2)	-2.58(1)	1.86(22-II-3)	-0.58(22-I-3)
833	11.39(22-I-2)	14.84(23-I-4)	-47.08(2)	-0.11(23-I-4)	1.86(22-II-3)	0.25(22-II-1)
834	10.52(22-I-2)	14.79(23-I-4)	-44.79(2)	2.57(1)	1.87(22-II-3)	0.60(22-I-1)
835	9.63(22-I-3)	-14.75(23-II-4)	-38.13(2)	4.92(1)	1.48(22-II-3)	-1.31(22-II-1)
836	7.16(22-I-3)	-14.73(23-II-4)	-27.71(2)	6.79(1)	1.09(22-II-3)	1.39(22-I-4)
837	-4.33(22-II-3)	-14.65(23-II-4)	-14.57(2)	7.94(1)	0.47(22-II-3)	2.12(22-I-2)
838	4.44(22-I-1)	11.38(23-I-4)	-15.42(2)	-8.67(2)	0.38(22-II-4)	-2.15(22-I-2)
839	7.35(22-I-1)	11.39(23-I-4)	-29.78(2)	-7.41(2)	0.79(22-II-4)	-1.39(22-I-4)
840	9.71(22-I-1)	11.40(23-I-4)	-41.17(2)	-5.38(2)	1.06(22-II-4)	-1.38(22-I-3)
841	10.85(22-I-2)	11.40(23-I-4)	-48.46(2)	-2.82(2)	1.33(22-II-4)	-0.56(22-I-3)
842	11.59(22-I-2)	11.39(23-I-4)	-50.96(2)	-0.06(23-I-4)	1.33(22-II-4)	0.28(22-II-1)
843	10.78(22-I-2)	11.37(23-I-4)	-48.46(2)	2.82(2)	1.33(22-II-4)	0.57(22-I-1)
844	9.78(22-I-3)	-11.36(23-II-4)	-41.17(2)	5.38(2)	1.06(22-II-4)	1.36(22-I-1)

Nodo	Trasl. X	Trasl. Y	Trasl. Z	Rotaz. X	Rotaz. Y	Rotaz. Z
845	7.30(22-I-3)	-11.36(23-II-4)	-29.78(2)	7.41(2)	0.79(22-II-4)	1.40(22-I-4)
846	-4.30(22-II-3)	-11.34(23-II-4)	-15.43(2)	8.67(2)	0.38(22-II-4)	2.16(22-I-2)
847	4.54(22-I-1)	10.33(23-I-4)	-15.60(2)	-8.79(2)	-0.30(22-II-4)	-2.18(22-I-4)
848	7.49(22-I-1)	10.34(23-I-4)	-30.15(2)	-7.52(2)	-0.60(22-II-4)	-1.43(22-I-4)
849	9.87(22-I-1)	10.34(23-I-4)	-41.70(2)	-5.45(2)	-0.79(22-II-4)	1.42(22-II-3)
850	11.03(22-I-2)	10.34(23-I-4)	-49.10(2)	-2.86(2)	-0.99(22-II-4)	-0.56(22-I-3)
851	11.76(22-I-2)	10.33(23-I-4)	-51.64(2)	-0.06(23-I-2)	-0.98(22-II-4)	0.29(22-II-1)
852	10.96(22-I-2)	10.32(23-I-4)	-49.10(2)	2.86(2)	-0.98(22-II-4)	0.57(22-I-1)
853	9.94(22-I-3)	-10.32(23-II-4)	-41.70(2)	5.45(2)	-0.79(22-II-4)	-1.40(22-II-1)
854	7.44(22-I-3)	-10.31(23-II-4)	-30.15(2)	7.52(2)	-0.60(22-II-4)	1.44(22-I-4)
855	4.39(22-I-3)	-10.31(23-II-4)	-15.60(2)	8.79(2)	-0.30(22-II-4)	2.19(22-I-4)
856	-4.56(22-II-1)	10.92(23-I-1)	-15.25(2)	-8.53(1)	-0.35(22-II-4)	2.22(22-II-2)
857	7.49(22-I-1)	10.93(23-I-1)	-29.38(2)	-7.29(1)	-0.74(22-II-4)	-1.42(22-I-2)
858	9.89(22-I-1)	10.93(23-I-1)	-40.58(2)	-5.29(2)	-1.00(22-II-4)	1.45(22-II-3)
859	11.06(22-I-2)	10.93(23-I-1)	-47.76(2)	-2.77(2)	-1.25(22-II-4)	-0.58(22-I-3)
860	11.83(22-I-2)	10.92(23-I-1)	-50.22(2)	-0.07(23-I-2)	-1.25(22-II-4)	0.28(22-II-1)
861	10.99(22-I-2)	10.91(23-I-1)	-47.76(2)	2.77(2)	-1.25(22-II-4)	0.59(22-I-1)
862	9.96(22-I-3)	10.89(23-I-3)	-40.58(2)	5.29(1)	-1.00(22-II-4)	-1.44(22-II-1)
863	7.45(22-I-3)	-10.89(23-II-3)	-29.38(2)	7.29(1)	-0.75(22-II-4)	1.44(22-I-2)
864	-4.43(22-II-3)	-10.88(23-II-3)	-15.25(2)	8.53(1)	-0.35(22-II-4)	-2.23(22-II-2)
865	-4.59(22-II-1)	13.03(23-I-2)	-14.52(2)	-8.07(2)	-0.31(22-II-4)	2.21(22-II-2)
866	-7.40(22-II-1)	13.04(23-I-2)	-27.89(2)	-6.90(2)	-0.63(22-II-4)	-1.25(22-I-2)
867	9.68(22-I-1)	13.04(23-I-2)	-38.48(2)	-5.00(2)	-0.84(22-II-4)	1.41(22-II-3)
868	-10.90(22-II-2)	13.04(23-I-2)	-45.26(2)	-2.62(2)	-1.05(22-II-4)	-0.51(22-I-3)
869	11.67(22-I-2)	13.03(23-I-2)	-47.58(2)	-0.07(23-II-2)	-1.05(22-II-4)	0.27(22-II-1)
870	-10.84(22-II-2)	13.02(23-I-2)	-45.26(2)	2.62(2)	-1.05(22-II-4)	0.51(22-I-1)
871	-9.75(22-II-3)	13.00(23-I-2)	-38.48(2)	5.00(2)	-0.84(22-II-4)	1.39(22-I-1)
872	-7.36(22-II-3)	-12.98(23-II-2)	-27.88(2)	6.90(2)	-0.63(22-II-4)	1.25(22-I-2)
873	-4.46(22-II-3)	-12.97(23-II-2)	-14.52(2)	8.07(2)	-0.31(22-II-4)	-2.22(22-II-2)
874	4.52(22-I-1)	13.84(23-I-2)	-13.62(2)	-7.50(2)	-0.50(22-I-4)	-2.17(22-I-2)
875	7.27(22-I-1)	13.89(23-I-2)	-26.04(2)	-6.41(2)	-1.09(22-I-4)	1.36(22-II-2)
876	9.76(22-I-2)	13.90(23-I-2)	-35.87(2)	-4.64(2)	-1.47(22-I-4)	-1.42(22-I-3)
877	10.79(22-I-2)	13.90(23-I-2)	-42.16(2)	-2.43(2)	-1.84(22-I-4)	0.57(22-II-3)
878	11.79(22-I-2)	13.87(23-I-2)	-44.32(2)	0.07(23-I-2)	-1.84(22-I-4)	0.25(22-II-1)
879	10.72(22-I-2)	-13.87(23-II-2)	-42.15(2)	2.43(2)	-1.84(22-I-4)	-0.57(22-II-1)
880	9.82(22-I-3)	-13.86(23-II-2)	-35.87(2)	4.64(2)	-1.47(22-I-4)	1.40(22-I-1)
881	7.22(22-I-3)	-13.86(23-II-2)	-26.03(2)	6.41(2)	-1.09(22-I-4)	-1.37(22-II-2)
882	4.37(22-I-3)	-13.80(23-II-2)	-13.62(2)	7.50(2)	-0.51(22-I-4)	2.19(22-I-2)
883	4.56(22-I-1)	-14.38(23-II-2)	-12.06(2)	-6.38(2)	-0.89(22-I-4)	-2.12(22-I-2)
884	7.39(22-I-1)	-14.39(23-II-2)	-22.61(2)	-5.45(2)	-1.75(22-I-4)	-1.58(22-I-2)
885	10.02(22-I-2)	-14.38(23-II-2)	-30.97(2)	-3.95(2)	-2.31(22-I-4)	-1.30(22-I-3)
886	11.03(22-I-2)	-14.36(23-II-2)	-36.33(2)	-2.07(2)	-2.88(22-I-4)	-0.67(22-I-3)
887	12.12(22-I-2)	14.37(23-I-2)	-38.17(2)	0.10(23-II-2)	-2.88(22-I-4)	0.22(22-II-1)
888	10.96(22-I-2)	14.39(23-I-2)	-36.33(2)	2.07(2)	-2.88(22-I-4)	0.68(22-I-1)
889	10.05(22-I-3)	14.40(23-I-2)	-30.96(2)	3.95(2)	-2.32(22-I-4)	1.28(22-I-1)
890	7.34(22-I-3)	14.41(23-I-2)	-22.60(2)	5.45(2)	-1.75(22-I-4)	1.60(22-I-2)
891	4.42(22-I-3)	14.40(23-I-2)	-12.05(2)	6.38(2)	-0.89(22-I-4)	2.12(22-I-2)

Risultati Analisi Dinamica - Reazioni massime - Nodi

Scenario di calcolo : **SetNT_SLU_SLE**

Nodo	Rx	Ry	Rz	Mx	My	Mz
	kg	kg	kg	kg*m	kg*m	kg*m
0	-2001(22-II-3)	-31713(23-II-4)	0	0	0	-6206(23-II-4)
0	1174(22-I-3)	38042(23-I-2)	0	0	0	-7762(23-I-2)
1	-2555(22-I-1)	45250(23-II-4)	0	0	0	2226(23-I-4)
2	36750(23-II-4)	124966(23-II-4)	0	0	0	16310(23-II-4)
3	-65808(22-I-1)	249381(23-II-4)	0	0	0	-21807(23-II-4)

Nodo	Rx	Ry	Rz	Mx	My	Mz
4	-78635(22-I-1)	204860(23-II-1)	0	0	0	20618(23-I-4)
5	-24903(22-I-1)	187087(23-II-1)	0	0	0	-21883(23-I-2)
6	77479(22-II-1)	229694(23-II-2)	0	0	0	-18459(23-I-2)
7	-61713(22-I-1)	282866(23-II-2)	0	0	0	18712(23-II-2)
8	-4076(23-II-4)	93666(23-II-2)	0	0	0	-7818(23-II-2)
9	-2458(22-I-3)	-45141(23-I-4)	0	0	0	-2261(23-II-4)
10	36694(23-I-4)	-124673(23-I-4)	0	0	0	-16304(23-I-4)
11	-62137(22-I-3)	-249851(23-I-4)	0	0	0	21906(23-I-4)
12	-74905(22-I-3)	-205425(23-I-3)	0	0	0	-20683(23-II-4)
13	-23276(22-I-3)	-187286(23-I-3)	0	0	0	21685(23-II-2)
13	-11902(22-I-1)	-19743(23-I-4)	0	0	0	3619(22-II-1)
13	-6606(23-II-4)	9905(23-II-4)	0	0	0	113(22-I-1)
14	11753(22-II-1)	-21076(23-I-4)	0	0	0	4400(22-II-1)
14	74036(22-II-3)	-229561(23-I-2)	0	0	0	18441(23-II-2)
14	4644(23-II-2)	8212(23-II-4)	0	0	0	-81(22-II-1)
15	-59560(22-I-3)	-282337(23-I-2)	0	0	0	-18794(23-I-2)
15	-7210(22-II-1)	-21311(23-I-1)	0	0	0	2188(23-II-4)
15	-3804(22-II-1)	5606(23-II-1)	0	0	0	139(22-II-1)
16	-3915(23-I-4)	-93677(23-I-2)	0	0	0	7753(23-I-2)
16	-10605(22-I-1)	-22783(23-I-2)	0	0	0	-4184(22-I-1)
17	15899(22-II-1)	-22122(23-I-2)	0	0	0	4995(22-II-1)
21	-6629(23-I-4)	-9926(23-I-4)	0	0	0	-109(22-I-3)
22	4650(23-I-2)	-8218(23-I-4)	0	0	0	78(22-II-3)
23	-2624(23-II-2)	-1233(23-II-4)	0	0	0	130(23-II-4)
23	1217(23-II-1)	3751(23-II-4)	0	0	0	375(23-II-4)
23	2623(23-II-4)	-13719(23-I-4)	0	0	0	-2106(23-I-4)
23	-5048(23-II-1)	9547(23-II-2)	0	0	0	83(23-II-2)
23	-3642(22-II-3)	-5598(23-I-3)	0	0	0	-132(22-II-3)
24	6155(23-II-2)	10586(23-II-2)	0	0	0	-89(22-II-1)
24	4145(23-II-4)	-1158(23-II-4)	0	0	0	-100(23-II-1)
25	3601(23-I-2)	-1003(23-II-1)	0	0	0	121(22-II-1)
27	-1549(23-I-1)	-12871(23-I-2)	0	0	0	2017(23-I-2)
31	1219(23-I-3)	-3733(23-I-4)	0	0	0	-376(23-I-4)
31	-2641(23-I-2)	1234(23-I-4)	0	0	0	-131(23-I-4)
31	-5049(23-I-3)	-9534(23-I-2)	0	0	0	-83(23-I-2)
32	4141(23-I-4)	1160(23-I-4)	0	0	0	100(23-I-3)
32	6178(23-I-2)	-10569(23-I-2)	0	0	0	86(22-II-3)
33	-4041(23-II-2)	-1260(23-II-2)	0	0	0	135(23-II-2)
33	3598(23-II-2)	1003(23-I-3)	0	0	0	-116(22-II-3)
33	204(22-I-1)	-685(23-II-4)	0	0	0	-120(23-II-4)
34	2398(23-II-4)	-1308(23-II-2)	0	0	0	-138(23-II-2)
34	-734(23-II-1)	2146(23-II-2)	0	0	0	-383(23-II-2)
41	-4069(23-I-2)	1260(23-I-2)	0	0	0	-136(23-I-2)
41	196(22-I-3)	685(23-I-4)	0	0	0	120(23-I-4)
42	2369(23-I-4)	1306(23-I-2)	0	0	0	139(23-I-2)
42	-708(23-I-3)	-2175(23-I-2)	0	0	0	383(23-I-2)
44	-89(22-II-1)	-583(23-II-2)	0	0	0	87(23-II-2)
52	-83(22-II-3)	580(23-I-2)	0	0	0	-87(23-I-2)
113	-11422(22-I-3)	19668(23-II-4)	0	0	0	-3495(22-II-3)
114	11391(22-II-3)	21121(23-II-4)	0	0	0	-4278(22-II-3)
115	-6830(22-II-3)	21301(23-II-3)	0	0	0	-2216(23-I-4)
116	-10415(22-I-3)	22842(23-II-2)	0	0	0	4029(22-I-3)
117	15301(22-II-3)	21958(23-II-2)	0	0	0	-4770(22-II-3)
123	2604(23-I-4)	13683(23-II-4)	0	0	0	2098(23-II-4)
127	-1500(23-II-3)	12736(23-II-2)	0	0	0	-1995(23-II-2)
801	-2253(22-II-1)	47671(23-I-1)	0	0	0	2234(22-II-1)
802	-2053(22-II-1)	48227(23-I-4)	0	0	0	-1900(22-I-1)
803	-2175(22-II-3)	-47624(23-II-3)	0	0	0	-2170(22-II-3)
804	-1976(22-II-3)	-48179(23-II-4)	0	0	0	-1828(22-II-3)
805	-2381(22-II-1)	53774(23-I-2)	0	0	0	2727(22-II-1)
806	-2643(22-II-1)	50546(23-I-2)	0	0	0	-2076(22-I-1)
807	-2260(22-II-3)	-53365(23-II-2)	0	0	0	-2613(22-II-3)
808	-2554(22-II-3)	-50254(23-II-2)	0	0	0	2015(22-I-3)
809	-2848(22-II-1)	48038(23-I-1)	0	0	0	-987(23-II-2)
810	-2756(22-II-3)	-47870(23-II-3)	0	0	0	-1000(23-II-2)
812	-2092(22-II-1)	31675(23-I-4)	0	0	0	6199(23-I-4)

Nodo	Rx	Ry	Rz	Mx	My	Mz
819	-1050(22-II-1)	-36660(23-II-2)	0	0	0	7449(23-II-2)

Risultati Analisi Dinamica - Sollecitazioni massime - Inviluppi - Travi

Scenario di calcolo : SetNT_SLU_SLE

Asta	N.in.	N	Ty	Tz	Mt	My	Mz
	N.fin.	kg	kg	kg	kg*m	kg*m	kg*m
101	101	6681(23-II-1)	-646(23-II-4)	-65559(23-II-4)	-1091(23-I-4)	289364(23-II-4)	-5179(23-II-4)
	109	6681(23-II-1)	-646(23-II-4)	65573(23-I-4)	-1091(23-I-4)	288828(23-I-4)	5155(23-II-4)
102	101	12072(22-II-4)	2840(23-II-4)	-8778(22-II-1)	2829(23-I-4)	-21348(22-I-1)	6595(23-II-4)
	102	12072(22-II-4)	2840(23-II-4)	14961(22-I-1)	2829(23-I-4)	14420(22-I-1)	-4428(23-II-4)
102	102	22725(22-II-4)	-4757(23-I-4)	-21127(22-II-1)	5845(23-II-2)	18943(22-II-1)	-6834(23-I-4)
	103	22725(22-II-4)	-4757(23-I-4)	25017(22-I-1)	5845(23-II-2)	63738(22-I-1)	10905(23-I-4)
103	102	2588(23-II-1)	-996(23-II-4)	-61650(23-II-4)	-1134(23-I-4)	269162(23-II-4)	-7979(23-II-4)
	110	2588(23-II-1)	-996(23-II-4)	61751(23-I-4)	-1134(23-I-4)	269742(23-I-4)	7961(23-II-4)
104	103	-10806(2)	526(23-I-4)	-64101(23-II-4)	-593(22-II-1)	303261(23-II-4)	4235(23-I-4)
	111	-10806(2)	526(23-I-4)	64162(23-I-4)	-593(22-II-1)	303709(23-I-4)	-4236(23-I-4)
105	104	-13061(22-II-2)	525(23-I-4)	-61927(2)	-529(22-II-1)	280504(23-II-4)	-4227(23-II-4)
	112	-13061(22-II-2)	525(23-I-4)	62011(2)	-529(22-II-1)	280968(23-I-4)	-4239(23-I-4)
106	105	-12854(2)	566(23-II-2)	-61918(2)	-157(22-II-1)	277718(23-II-1)	4554(23-II-2)
	113	-12854(2)	566(23-II-2)	62020(2)	-157(22-II-1)	277994(23-I-3)	-4555(23-II-2)
107	106	-15571(22-I-4)	472(23-II-2)	-65541(23-II-2)	-517(22-II-1)	314791(23-II-2)	3803(23-II-2)
	114	-15571(22-I-4)	472(23-II-2)	65623(23-I-2)	-517(22-II-1)	315360(23-I-2)	3792(23-I-2)
108	107	-14282(2)	400(23-II-2)	-67903(23-II-2)	-599(22-II-1)	333729(23-II-2)	-3215(23-I-2)
	115	-14282(2)	400(23-II-2)	67984(23-I-2)	-599(22-II-1)	334319(23-I-2)	-3230(23-II-2)
109	108	-5660(22-I-2)	506(23-II-2)	-62430(23-II-2)	-572(23-II-2)	264707(23-II-2)	-4050(23-I-2)
	116	-5660(22-I-2)	506(23-II-2)	62502(23-I-2)	-572(23-II-2)	265118(23-I-2)	-4042(23-II-2)
111	107	-10951(22-II-2)	3476(23-I-2)	-22078(22-II-1)	-6686(23-II-2)	46797(22-II-1)	-7939(23-II-2)
	108	-10951(22-II-2)	3476(23-I-2)	17259(22-I-1)	-6686(23-II-2)	-15257(22-II-1)	-5152(23-I-2)
112	109	11962(22-II-4)	2769(23-II-4)	-8449(22-II-4)	-2791(23-II-4)	-20478(22-I-4)	6471(23-II-4)
	110	11962(22-II-4)	2769(23-II-4)	14571(22-I-4)	-2791(23-II-4)	13923(22-I-4)	-4294(23-I-1)
112	110	22509(22-II-4)	-4727(23-I-4)	-20218(22-II-3)	-5830(23-I-2)	18224(22-II-3)	-6773(23-I-4)
	111	22509(22-II-4)	-4727(23-I-4)	24145(22-I-3)	-5830(23-I-2)	61074(22-I-3)	10853(23-I-4)
113	115	-11252(22-II-2)	3473(23-I-2)	-21201(22-II-3)	6723(23-I-2)	44418(22-II-3)	7949(23-I-2)
	116	-11252(22-II-2)	3473(23-I-2)	16742(22-I-3)	6723(23-I-2)	-15326(22-II-2)	5148(23-II-2)
114	103	19656(22-II-4)	7361(23-II-2)	-14488(23-I-2)	5032(23-II-2)	19683(23-II-4)	6321(23-II-4)
	104	13717(23-II-4)	-8011(23-II-4)	19192(23-I-4)	-6793(23-II-4)	17569(23-I-4)	11600(23-I-2)
114	104	12034(22-II-4)	6499(23-I-2)	-53935(22-II-1)	-6159(23-I-2)	110623(22-II-1)	-22607(23-II-2)
	811	12034(22-II-4)	6499(23-I-2)	-45148(22-II-1)	-6159(23-I-2)	-23496(22-I-1)	-14784(23-II-2)
114	105	-17333(22-I-4)	-9131(23-II-2)	-50421(22-II-1)	7090(23-II-2)	61526(22-II-1)	-15646(23-II-4)
	812	-17333(22-I-4)	-9131(23-II-2)	-41634(22-II-1)	7090(23-II-2)	-23626(22-II-1)	-18166(23-II-4)
114	106	17234(22-II-4)	9324(23-II-2)	-17563(23-I-2)	6488(23-II-2)	16543(22-I-1)	17426(23-II-2)
	107	11670(22-I-2)	-6425(23-II-4)	10915(23-I-4)	-4083(23-II-4)	11007(23-II-2)	5443(23-II-2)
114	811	13242(22-II-4)	6096(23-II-4)	-45281(22-II-1)	-6214(23-II-4)	-23882(22-I-1)	-14797(23-II-2)
	105	13242(22-II-4)	6096(23-II-4)	51044(22-I-1)	-6214(23-II-4)	62421(22-I-1)	-18225(23-II-4)
114	812	-18446(22-I-4)	-8087(23-II-2)	-41570(22-II-1)	6603(23-II-2)	-23243(22-II-1)	-18159(23-II-4)
	106	-18446(22-I-4)	-8087(23-II-2)	50221(22-I-1)	6603(23-II-2)	101920(22-I-1)	-25773(23-I-2)
115	111	19764(22-II-4)	-7333(23-I-2)	-14632(23-II-2)	-5042(23-I-2)	19858(23-I-4)	-6276(23-I-4)
	112	12721(23-I-4)	8140(23-I-4)	19233(23-II-4)	6803(23-I-4)	17841(23-II-4)	-11544(23-II-2)

Asta	N.in.	N	Ty	Tz	Mt	My	Mz
115	112	11740(22-II-4)	-6322(23-II-2)	-52020(22-II-3)	6107(23-II-2)	105809(22-II-3)	22401(23-I-2)
	813	11740(22-II-4)	-6322(23-II-2)	-43232(22-II-3)	6107(23-II-2)	-22260(22-I-3)	14722(23-I-2)
115	113	-17635(22-I-4)	-9134(23-II-2)	-48430(22-II-3)	-7089(23-I-2)	59065(22-II-3)	15270(23-I-4)
	814	-17635(22-I-4)	-9134(23-II-2)	39722(22-I-3)	-7089(23-I-2)	-22404(22-II-3)	18243(23-I-4)
115	114	16891(22-II-4)	-9322(23-I-2)	-17774(23-II-2)	-6497(23-I-2)	15693(22-I-3)	-17438(23-I-2)
	115	11877(22-I-2)	6394(23-I-4)	10925(23-II-4)	4097(23-I-4)	11006(23-I-2)	-5517(23-I-2)
115	813	13014(22-II-4)	-5928(23-I-4)	-43363(22-II-3)	6213(23-I-4)	-22643(22-I-3)	14735(23-I-2)
	113	13014(22-II-4)	-5928(23-I-4)	48857(22-I-3)	6213(23-I-4)	59615(22-I-3)	18114(23-I-4)
115	814	-18799(22-I-4)	-8054(23-II-2)	39663(22-I-3)	-6597(23-I-2)	-22025(22-II-3)	18235(23-I-4)
	114	-18799(22-I-4)	-8054(23-II-2)	48450(22-I-3)	-6597(23-I-2)	97470(22-I-3)	25605(23-II-2)
201	201	-18023(22-I-4)	550(23-I-4)	-16507(23-II-4)	-415(23-I-4)	79815(23-II-4)	4619(23-I-4)
	209	-18023(22-I-4)	550(23-I-4)	16788(23-I-4)	-415(23-I-4)	82505(23-I-4)	-4587(23-I-4)
202	201	14030(22-II-1)	3689(22-II-4)	-10241(22-II-1)	-3385(22-II-3)	18452(22-II-1)	6918(22-II-4)
	202	14611(22-II-1)	3689(22-II-4)	10679(22-I-1)	-3385(22-II-3)	9525(22-I-1)	-10288(23-I-4)
202	202	30921(22-II-1)	-16148(23-I-4)	17071(22-I-1)	7713(23-I-4)	15239(22-II-1)	-25720(23-I-4)
	203	31502(22-II-1)	-16148(23-I-4)	24009(22-I-1)	7713(23-I-4)	61712(22-I-1)	34297(23-I-4)
202	203	20617(23-II-2)	2318(23-I-4)	-14002(23-II-4)	2094(23-II-2)	23088(22-I-1)	1826(23-I-4)
	204	16960(23-II-4)	-2867(23-II-4)	12743(22-II-1)	-2871(23-II-4)	24938(22-II-1)	1441(22-I-1)
203	202	-22495(22-II-4)	1326(23-I-4)	-17059(23-II-4)	-676(23-I-4)	82585(23-II-4)	10621(23-I-4)
	210	-22495(22-II-4)	1326(23-I-4)	17149(23-I-4)	-676(23-I-4)	83290(23-I-4)	-10591(23-I-4)
204	203	-19010(22-I-2)	773(23-I-4)	-15602(23-II-4)	-256(22-II-1)	71503(23-II-4)	6208(23-I-4)
	211	-19010(22-I-2)	773(23-I-4)	15615(23-I-4)	-256(22-II-1)	71592(23-I-4)	-6245(23-I-4)
205	204	-18839(22-II-2)	-704(23-II-4)	-15094(23-II-4)	-219(22-II-1)	67414(23-II-4)	5695(23-I-4)
	212	-18839(22-II-2)	-704(23-II-4)	15096(23-I-4)	-219(22-II-1)	67416(23-I-4)	5682(23-II-4)
206	204	24500(22-I-2)	12001(23-I-2)	-30115(22-II-1)	5274(23-II-2)	63614(22-II-1)	24212(23-I-2)
	818	24791(22-I-2)	12001(23-I-2)	-26646(22-II-1)	5274(23-II-2)	-13149(22-I-1)	2680(23-II-2)
206	205	14568(22-I-2)	11793(23-I-2)	-25893(22-II-1)	-5221(23-I-2)	-31048(22-I-1)	19360(23-I-2)
	817	14858(22-I-2)	11793(23-I-2)	24493(22-I-1)	-5221(23-I-2)	-14656(22-II-1)	3481(23-II-2)
206	206	10069(23-I-2)	2173(23-II-2)	-10320(22-I-1)	2193(23-II-2)	20437(22-I-1)	1703(23-II-2)
	207	21723(23-I-2)	-1665(22-II-3)	9955(22-II-1)	-1639(23-II-4)	14702(22-II-1)	1314(23-I-2)
206	207	14546(22-I-1)	-3733(23-I-2)	-19594(22-II-1)	2553(23-I-2)	44176(22-II-1)	-8681(23-I-2)
	208	13984(22-I-1)	-3733(23-I-2)	14745(22-I-1)	2553(23-I-2)	17193(22-I-1)	6868(22-I-2)
206	817	13926(22-II-4)	10323(23-I-2)	24583(22-I-1)	-4031(23-I-2)	-13630(22-II-1)	3490(23-II-2)
	206	14216(22-II-4)	10323(23-I-2)	28052(22-I-1)	-4031(23-I-2)	59035(22-I-1)	-21658(23-I-2)
206	818	23590(22-I-2)	10827(23-I-2)	-26822(22-II-1)	4357(23-II-2)	-14171(22-I-1)	2682(23-II-2)
	205	23880(22-I-2)	10827(23-I-2)	26748(22-I-1)	4357(23-II-2)	-34626(22-II-1)	-18250(23-I-2)
207	205	-11388(2)	-870(23-I-2)	-15350(23-II-1)	-116(23-II-2)	69531(23-II-1)	7020(23-II-2)
	213	-11388(2)	-870(23-I-2)	15357(23-I-1)	-116(23-II-2)	69592(23-I-3)	7011(23-I-2)
208	206	-17072(22-I-4)	524(23-II-2)	-15966(23-II-2)	-210(22-II-1)	75205(23-II-2)	4380(23-II-2)
	214	-17072(22-I-4)	524(23-II-2)	16025(23-I-2)	-210(22-II-1)	75749(23-I-2)	-4431(23-II-2)
209	207	-24226(22-II-2)	508(23-II-2)	-16629(23-II-2)	-270(22-II-1)	79709(23-II-2)	4091(23-II-2)
	215	-24226(22-II-2)	508(23-II-2)	16655(23-I-2)	-270(22-II-1)	79913(23-I-2)	-4080(23-II-2)
210	208	-16642(22-II-2)	532(23-II-2)	-16510(23-II-2)	-400(23-II-2)	78751(23-II-2)	4272(23-II-2)
	216	-16642(22-II-2)	532(23-II-2)	16535(23-I-2)	-400(23-II-2)	78888(23-I-2)	4244(23-I-2)
211	209	13182(22-II-3)	-3632(22-II-4)	-9766(22-II-3)	4159(22-II-1)	17290(22-II-3)	-7093(22-II-4)
	210	13763(22-II-3)	-3632(22-II-4)	10397(22-I-3)	4159(22-II-1)	9184(22-I-3)	10289(23-II-4)
211	210	29250(22-II-3)	-16098(23-I-4)	16108(22-I-3)	-7452(23-II-4)	14815(22-II-3)	-25777(23-I-4)
	211	29831(22-II-3)	-16098(23-I-4)	23045(22-I-3)	-7452(23-II-4)	59092(22-I-3)	34053(23-I-4)
211	211	21026(23-I-2)	-2205(23-II-4)	-14236(23-I-4)	-1989(23-I-2)	22473(23-I-4)	-1759(23-II-4)
	212	18845(23-I-4)	2722(23-I-4)	11677(22-II-3)	2956(23-I-4)	23268(22-II-3)	-1278(23-II-2)
211	212	23719(22-I-2)	-12072(23-II-2)	-28960(22-II-3)	-5415(23-I-2)	61247(22-II-3)	-24290(23-II-2)
	815	24009(22-I-2)	-12072(23-II-2)	-25492(22-II-3)	-5415(23-I-2)	-12863(22-I-3)	-2618(23-I-2)
211	213	14442(22-I-2)	11772(23-I-2)	-24863(22-II-3)	-5150(23-I-2)	-29242(22-I-3)	-19273(23-II-2)
	816	14733(22-I-2)	11772(23-I-2)	23304(22-I-3)	-5150(23-I-2)	-14475(22-II-3)	-3475(23-I-2)
211	214	10805(23-II-2)	-1959(23-I-2)	-9823(22-I-3)	-1986(23-I-2)	19358(22-I-3)	-1576(23-I-2)
	215	22283(23-II-2)	1817(22-II-1)	8751(22-II-3)	1708(23-I-4)	13776(22-II-4)	-1357(22-II-1)
211	215	14084(22-I-2)	3760(23-II-2)	-18778(22-II-3)	-2459(23-II-2)	42026(22-II-3)	8725(23-II-2)
	216	13521(22-I-2)	3760(23-II-2)	14197(22-I-3)	-2459(23-II-2)	16687(22-I-3)	-6804(22-I-2)
211	815	22713(22-I-2)	-10899(23-II-2)	-25668(22-II-3)	-4469(23-I-2)	-13881(22-I-3)	-2610(23-I-2)
	213	23004(22-I-2)	-10899(23-II-2)	25616(22-I-3)	-4469(23-I-2)	-32709(22-II-3)	18471(23-II-2)
211	816	13330(22-I-2)	10297(23-I-2)	23394(22-I-3)	-3941(23-I-2)	-13461(22-II-3)	-3516(23-I-2)
	214	13620(22-I-2)	10297(23-I-2)	26863(22-I-3)	-3941(23-I-2)	56435(22-I-3)	-21870(23-I-2)
399	211	-14082(22-II-4)	0	-18(1)	0	0	0
	830	-14080(22-II-4)	0	18(1)	0	0	0
400	212	14030(22-II-4)	0	-18(1)	0	0	0

Asta	N.in.	N	Ty	Tz	Mt	My	Mz
	821	14029(22-II-4)	0	18(1)	0	0	0
401	821	-9652(22-II-4)	0	-18(1)	0	0	0
	832	-9650(22-II-4)	0	18(1)	0	0	0
402	830	9270(22-II-4)	0	-18(1)	0	0	0
	823	9268(22-II-4)	0	18(1)	0	0	0
403	823	-2855(23-I-4)	0	-18(1)	0	0	0
	834	-2853(23-I-4)	0	18(1)	0	0	0
404	832	-2739(23-II-4)	0	-18(1)	0	0	0
	825	-2740(23-II-4)	0	18(1)	0	0	0
405	825	9054(22-II-4)	0	-18(1)	0	0	0
	836	9056(22-II-4)	0	18(1)	0	0	0
406	834	-9431(22-II-4)	0	-18(1)	0	0	0
	827	-9433(22-II-4)	0	18(1)	0	0	0
407	827	14030(22-II-3)	0	-18(1)	0	0	0
	220	14032(22-II-3)	0	18(1)	0	0	0
408	836	-14073(22-II-3)	0	-18(1)	0	0	0
	219	-14074(22-II-3)	0	18(1)	0	0	0
409	217	14364(22-I-2)	0	-18(1)	0	0	0
	884	14362(22-I-2)	0	18(1)	0	0	0
410	218	-14352(22-I-2)	0	-18(1)	0	0	0
	875	-14350(22-I-2)	0	18(1)	0	0	0
411	875	9469(22-I-2)	0	-18(1)	0	0	0
	886	9468(22-I-2)	0	18(1)	0	0	0
412	884	-9808(22-I-2)	0	-18(1)	0	0	0
	877	-9806(22-I-2)	0	18(1)	0	0	0
413	877	-1990(23-II-2)	0	-18(1)	0	0	0
	888	-1992(23-II-2)	0	18(1)	0	0	0
414	886	-1975(23-I-2)	0	-18(1)	0	0	0
	879	-1973(23-I-2)	0	18(1)	0	0	0
415	879	-9949(22-I-2)	0	-18(1)	0	0	0
	890	-9951(22-I-2)	0	18(1)	0	0	0
416	888	9616(22-I-2)	0	-18(1)	0	0	0
	881	9617(22-I-2)	0	18(1)	0	0	0
417	881	-14345(22-I-2)	0	-18(1)	0	0	0
	226	-14347(22-I-2)	0	18(1)	0	0	0
418	890	14337(22-I-2)	0	-18(1)	0	0	0
	225	14339(22-I-2)	0	18(1)	0	0	0
8000	13	6278(23-I-4)	3747(22-I-1)	-10267(22-I-1)	776(22-I-1)	4551(22-I-1)	1733(22-I-1)
	14	12832(22-I-1)	-4218(22-II-1)	10181(22-II-1)	-874(22-II-1)	7730(22-II-1)	1951(22-II-1)
8000	14	-14027(22-II-1)	-3041(22-II-1)	3776(22-II-1)	-630(22-II-1)	-3283(22-I-1)	-1407(22-II-1)
	15	-5836(23-II-1)	-1697(23-II-4)	5812(22-I-1)	-352(23-II-4)	2334(22-I-1)	785(23-II-4)
8000	15	-5447(22-I-1)	1796(23-II-2)	-6314(22-II-1)	372(23-II-2)	2916(23-II-2)	830(23-II-2)
	16	18143(22-II-1)	2868(22-I-1)	-3755(23-II-2)	594(22-I-1)	-4903(22-II-1)	-1327(22-I-1)
8000	16	18111(22-II-1)	3903(22-I-1)	-9236(22-I-1)	808(22-I-1)	-8058(22-II-1)	1805(22-I-1)
	17	6566(22-II-1)	-4760(22-II-1)	12045(22-II-1)	-986(22-II-1)	3283(22-II-1)	2202(22-II-1)
8000	17	3613(20)	-4034(22-II-1)	7601(22-II-1)	-836(22-II-1)	-4340(22-II-1)	-1866(22-II-1)
	27	-926(2)	-1024(23-II-1)	2319(22-II-1)	-212(23-II-1)	943(22-II-1)	474(23-II-1)
8000	23	-1133(22-I-1)	-896(23-I-2)	1964(23-II-4)	-186(23-I-2)	-923(23-II-4)	-414(23-I-2)
	13	-5687(23-II-4)	2494(22-I-1)	4656(22-II-1)	517(22-I-1)	-2634(23-I-4)	-1154(22-I-1)
8001	113	6152(23-II-4)	-3579(22-I-3)	-9861(22-I-3)	-741(22-I-3)	4330(22-I-3)	-1655(22-I-3)
	114	12268(22-I-3)	4081(22-II-3)	9846(22-II-3)	845(22-II-3)	7398(22-II-3)	-1887(22-II-3)
8001	114	-13334(22-II-3)	2970(22-II-3)	3665(22-II-3)	615(22-II-3)	-3143(22-I-3)	1374(22-II-3)
	115	-5671(23-I-2)	1719(23-I-4)	5497(22-I-3)	356(23-I-4)	2170(22-I-3)	-795(23-I-4)
8001	115	-5233(22-I-2)	-1808(23-I-2)	-6067(22-II-3)	-375(23-I-2)	2890(23-I-2)	-836(23-I-2)
	116	17653(22-II-3)	-2795(22-I-3)	-3830(23-I-2)	-579(22-I-3)	-4827(22-II-3)	1293(22-I-3)
8001	116	17747(22-II-3)	-3774(22-I-3)	-9032(22-I-3)	-782(22-I-3)	-7764(22-II-3)	-1745(22-I-3)
	117	6951(22-II-3)	4554(22-II-3)	11578(22-II-3)	943(22-II-3)	2951(22-II-3)	-2106(22-II-3)
8001	117	3614(20)	3875(22-II-3)	7343(22-II-3)	803(22-II-3)	-4378(22-II-3)	1792(22-II-3)
	127	-851(2)	1057(23-I-3)	2351(22-II-3)	219(23-I-3)	945(22-II-3)	-489(23-I-3)
8001	123	-1108(22-I-3)	907(23-II-2)	1942(23-I-4)	188(23-II-2)	-913(23-I-4)	419(23-II-2)
	113	-5617(23-I-4)	-2397(22-I-3)	4481(22-II-3)	-496(22-I-3)	-2564(23-II-4)	1108(22-I-3)

Risultati Analisi Dinamica - Sollecitazioni massime - Involuppi - Pilastri

Scenario di calcolo : SetNT_SLU_SLE

Asta	N.in.	N	Ty	Tz	Mt	My	Mz
	N.fin.	kg	kg	kg	kg*m	kg*m	kg*m
1	1	-121398(2)	2555(22-I-1)	-45250(23-II-4)	2334(23-II-4)	-147042(23-I-4)	8536(22-I-1)
	101	-108860(23-II-4)	2555(22-I-1)	-45250(23-II-4)	2334(23-II-4)	-142503(23-II-4)	-7435(22-I-1)
1	101	-42786(2)	1980(22-I-1)	-29315(23-II-4)	-1819(23-I-4)	149985(23-II-4)	7635(22-I-1)
	201	-26156(22-II-1)	1980(22-I-1)	-29315(23-II-4)	-1819(23-I-4)	-79083(23-II-4)	-7810(22-I-1)
1	201	-6263(2)	-9318(22-II-2)	-17049(22-II-4)	-1569(23-I-4)	8525(22-II-4)	-4659(22-II-2)
	211	-5857(2)	-9318(22-II-2)	-17049(22-II-4)	-1569(23-I-4)	0	0
2	2	-137623(2)	2470(22-I-1)	-42523(23-II-4)	3644(23-II-4)	144514(23-II-4)	7436(22-I-1)
	102	-122388(2)	2470(22-I-1)	-42523(23-II-4)	3644(23-II-4)	-121643(23-II-4)	-8000(22-I-1)
2	102	-47179(1)	2189(22-I-1)	-26356(23-II-4)	-4166(23-I-4)	141795(23-II-4)	8847(22-I-1)
	202	-31887(22-II-1)	2189(22-I-1)	-26356(23-II-4)	-4166(23-I-4)	-72193(23-II-4)	-8909(22-I-1)
2	202	-9050(1)	-9729(22-II-1)	16294(23-I-4)	-2126(23-II-4)	-8147(23-I-4)	-4864(22-II-1)
	212	-8643(1)	-9729(22-II-1)	16294(23-I-4)	-2126(23-II-4)	0	0
3	3	-316274(22-II-1)	-23415(22-II-1)	-71371(23-II-4)	-16737(23-I-4)	335906(23-II-4)	-50216(22-II-1)
	103	-197268(22-II-1)	17411(22-I-1)	-73639(23-II-4)	21262(23-II-4)	-74704(2)	-24952(22-I-1)
3	103	-126475(23-I-4)	11107(22-I-1)	-51637(23-II-4)	21344(23-II-4)	224400(23-II-4)	23727(22-I-1)
	203	-52281(23-II-4)	13792(22-I-1)	-35790(23-II-4)	24202(23-II-4)	-69935(23-II-4)	-32895(22-I-1)
3	203	-9285(2)	-4527(22-I-1)	-5821(23-II-4)	-2000(22-II-3)	2910(23-II-4)	-2263(22-I-1)
	213	-8879(2)	-4527(22-I-1)	-5821(23-II-4)	-2000(22-II-3)	0	0
4	4	-285881(22-I-1)	25092(22-I-1)	-54930(23-II-3)	18327(23-II-4)	276153(23-II-1)	53964(22-I-1)
	104	-159309(22-I-1)	-21294(22-II-1)	-59317(23-II-3)	-17930(23-I-4)	-75172(2)	32819(22-II-1)
4	104	-116286(22-I-1)	-15857(22-II-1)	-42095(23-II-1)	-21023(23-I-4)	203648(23-II-4)	-33680(22-II-1)
	204	-57127(22-II-1)	-11812(22-II-1)	-26699(23-II-3)	-16992(23-II-2)	-54924(23-II-3)	32910(22-II-1)
4	204	-9252(2)	-2003(22-I-1)	-4732(23-II-3)	-2160(22-II-3)	2366(23-II-3)	-1002(22-I-1)
	214	-8845(2)	-2003(22-I-1)	-4732(23-II-3)	-2160(22-II-3)	0	0
5	5	-214959(2)	-21132(22-II-1)	-60101(23-II-3)	21287(23-I-2)	308368(23-II-1)	-68182(22-II-1)
	105	-172303(2)	-21132(22-II-1)	-60101(23-II-3)	21287(23-I-2)	-91044(2)	63891(22-II-1)
5	105	-89588(1)	-11982(22-II-1)	-31934(23-II-3)	-26210(23-II-2)	218740(23-II-3)	-52811(22-II-1)
	205	-27890(1)	-11982(22-II-1)	-31934(23-II-3)	-26210(23-II-2)	-70208(23-II-3)	55508(22-II-1)
5	205	-8994(1)	-5755(22-II-1)	-4762(23-II-3)	-2135(22-II-3)	2381(23-II-3)	-2877(22-II-1)
	215	-8588(1)	-5755(22-II-1)	-4762(23-II-3)	-2135(22-II-3)	0	0
6	6	-273124(22-II-1)	-26092(22-II-1)	-55849(23-II-2)	-17019(23-II-2)	325995(23-II-2)	-54960(22-II-1)
	106	-158823(2)	20995(22-I-1)	-61878(23-II-2)	16572(23-I-2)	-96890(23-I-2)	-32348(22-I-1)
6	106	-136053(23-I-2)	12890(22-I-1)	-48879(23-II-2)	14531(23-I-2)	250837(23-II-2)	28531(22-I-1)
	206	-53704(22-I-1)	7947(22-I-1)	-25059(23-II-3)	12907(23-I-2)	-56844(23-II-3)	-24486(22-I-1)
6	206	-8893(2)	2610(22-I-1)	-5259(23-II-2)	1349(22-II-3)	2630(23-II-2)	1305(22-I-1)
	216	-8487(2)	2610(22-I-1)	-5259(23-II-2)	1349(22-II-3)	0	0
7	7	-292519(22-I-1)	20320(22-I-1)	-78409(23-II-2)	12366(23-I-2)	390736(23-II-2)	43723(22-I-1)
	107	-191325(22-I-1)	-13932(22-II-1)	-80909(23-II-2)	-16074(23-II-2)	-83156(23-II-2)	19321(22-II-1)
7	107	-144615(23-I-2)	-7478(22-II-1)	-54735(23-II-2)	-13855(23-II-2)	258835(23-II-2)	-16495(22-II-1)

Asta	N.in.	N	Ty	Tz	Mt	My	Mz
))	
	207	-47479(23-II-2)	-7599(22-II-1)	-32806(23-II-2)	-10979(23-II-2)	-69779(23-II-2)	19150(22-II-1)
7	207	-9008(2)	10659(22-I-1)	16373(22-I-2)	1923(22-I-1)	-8187(22-I-2)	5330(22-I-1)
	217	-8601(2)	10659(22-I-1)	16373(22-I-2)	1923(22-I-1)	0	0
8	8	-123239(22-I-1)	-1309(22-II-1)	-42789(23-II-2)	1854(23-I-2)	142615(23-II-2)	-4000(22-II-1)
	108	-111520(22-I-1)	-1309(22-II-1)	-42789(23-II-2)	1854(23-I-2)	-125135(23-II-2)	4183(22-II-1)
8	108	-47817(22-I-1)	-1063(22-II-1)	-24422(23-II-2)	-2022(23-II-2)	138798(23-II-2)	-4590(22-II-1)
	208	-31410(22-I-1)	-1063(22-II-1)	-24422(23-II-2)	-2022(23-II-2)	-75051(23-II-2)	4716(22-II-1)
8	208	-6111(1)	9149(22-I-4)	-16958(22-I-2)	1087(23-II-4)	8479(22-I-2)	4574(22-I-4)
	218	-5705(1)	9149(22-I-4)	-16958(22-I-2)	1087(23-II-4)	0	0
9	9	-121690(2)	2458(22-I-3)	45141(23-I-4)	2298(23-II-4)	148014(23-II-4)	8221(22-I-3)
	109	-108532(23-I-4)	2458(22-I-3)	45141(23-I-4)	2298(23-II-4)	142464(23-I-4)	-7141(22-I-3)
9	109	-43015(2)	1895(22-I-3)	28458(23-I-4)	1744(23-II-4)	-151094(23-I-4)	7291(22-I-3)
	209	-25965(22-II-3)	1895(22-I-3)	28458(23-I-4)	1744(23-II-4)	71260(23-I-4)	-7497(22-I-3)
9	209	-6242(2)	-8948(22-II-4)	16240(22-II-4)	1520(23-II-4)	-8120(22-II-4)	-4474(22-II-4)
	219	-5835(2)	-8948(22-II-4)	16240(22-II-4)	1520(23-II-4)	0	0
10	10	-138006(2)	2366(22-I-3)	42534(23-I-4)	3619(23-II-4)	-144581(23-I-4)	7121(22-I-3)
	110	-122772(2)	2366(22-I-3)	42534(23-I-4)	3619(23-II-4)	121647(23-I-4)	-7668(22-I-3)
10	110	-47487(1)	2097(22-I-3)	26549(23-I-4)	-4101(23-I-4)	-143267(23-I-4)	8461(22-I-3)
	210	-31572(22-II-3)	2097(22-I-3)	26549(23-I-4)	-4101(23-I-4)	72276(23-I-4)	-8547(22-I-3)
10	210	-9063(1)	-9961(22-II-3)	-16050(23-II-4)	2131(23-I-4)	8025(23-II-4)	-4980(22-II-3)
	220	-8657(1)	-9961(22-II-3)	-16050(23-II-4)	2131(23-I-4)	0	0
11	11	-306345(22-II-3)	-22518(22-II-3)	71472(23-I-4)	16770(23-II-4)	-336742(23-I-4)	-48196(22-II-3)
	111	-193444(22-II-3)	16649(22-I-3)	73752(23-I-4)	-21338(23-I-4)	74659(2)	-23890(22-I-3)
11	111	-128527(23-II-4)	10545(22-I-3)	51923(23-I-4)	-21453(23-I-4)	-224855(23-I-4)	22477(22-I-3)
	211	-52417(23-I-4)	13344(22-I-3)	36190(23-I-4)	-24583(23-I-4)	70555(23-I-4)	-31737(22-I-3)
11	211	-9277(2)	-4352(22-I-3)	5991(23-I-4)	2078(22-II-1)	-2996(23-I-4)	-2176(22-I-3)
	221	-8870(2)	-4352(22-I-3)	5991(23-I-4)	2078(22-II-1)	0	0
12	12	-276222(22-I-3)	24084(22-I-3)	55032(23-I-1)	-18412(23-I-4)	-277295(23-I-3)	51640(22-I-3)
	112	-155416(22-I-3)	-20473(22-II-3)	59431(23-I-1)	17983(23-II-4)	75332(2)	31498(22-II-3)
12	112	-110672(22-I-3)	-15220(22-II-3)	42609(23-I-3)	20932(23-II-4)	-204374(23-I-4)	-32257(22-II-3)
	212	-57437(22-II-3)	-11449(22-II-3)	27252(23-I-1)	17104(23-I-2)	57866(23-I-1)	31453(22-II-3)
12	212	-9247(2)	-2640(23-I-2)	4842(23-I-1)	2259(22-II-1)	-2421(23-I-1)	-1320(23-I-2)
	222	-8841(2)	-2640(23-I-2)	4842(23-I-1)	2259(22-II-1)	0	0
13	13	-214862(2)	-20093(22-II-3)	60256(23-I-1)	-21219(23-II-2)	-308706(23-I-3)	-64922(22-II-3)
	113	-172206(2)	-20093(22-II-3)	60256(23-I-1)	-21219(23-II-2)	90834(2)	60658(22-II-3)
13	113	-89662(1)	-11663(22-II-3)	31870(23-I-1)	26018(23-I-2)	-219458(23-I-1)	-51253(22-II-3)
	213	-27964(1)	-11663(22-II-3)	31870(23-I-1)	26018(23-I-2)	68883(23-I-1)	54179(22-II-3)
13	213	-8985(1)	4230(22-I-3)	4728(23-I-1)	2042(22-II-4)	-2364(23-I-1)	2115(22-I-3)
	223	-8578(1)	4230(22-I-3)	4728(23-I-1)	2042(22-II-4)	0	0
14	14	-264503(22-II-3)	-25137(22-II-3)	55881(23-I-2)	17101(23-I-2)	-326103(23-I-2)	-52765(22-II-3)
	114	-157500(2)	20173(22-I-3)	61900(23-I-2)	-16697(23-II-2)	96400(23-II-2)	-31002(22-I-3)
14	114	-132159(23-II-2)	12341(22-I-3)	48523(23-I-2)	-14734(23-II-2)	-251797(23-I-2)	27259(22-I-3)
	214	-52333(22-I-3)	7552(22-I-3)	24541(23-I-1)	-13110(23-II-2)	51709(23-I-1)	-23217(22-I-3)
14	214	-8905(2)	2703(22-I-3)	5237(23-I-2)	-1511(22-I-4)	-2619(23-I-2)	1352(22-I-3)
	224	-8499(2)	2703(22-I-3)	5237(23-I-2)	-1511(22-I-4)	0	0
15	15	-284806(22-I-3)	19896(22-I-3)	78225(23-I-2)	-12475(23-II-2)	-390536(23-I-2)	42645(22-I-3)

Asta	N.in.	N	Ty	Tz	Mt	My	Mz
	115	-188272(22-I-3)	-13275(22-II-3)	80774(23-I-2)	16060(23-I-2)	82829(23-I-2)	18403(22-II-3)
15	115	-146006(23-II-2)	-7145(22-II-3)	54743(23-I-2)	-13931(23-II-2)	-259771(23-I-2)	-15679(22-II-3)
	215	-46647(23-I-2)	-7630(22-II-3)	33211(23-I-2)	10706(23-I-2)	70372(23-I-2)	18947(22-II-3)
15	215	-9000(2)	10686(22-I-3)	-16712(22-I-2)	-1844(22-I-3)	8356(22-I-2)	5343(22-I-3)
	225	-8594(2)	10686(22-I-3)	-16712(22-I-2)	-1844(22-I-3)	0	0
16	16	-122456(22-I-2)	-1233(22-II-3)	42864(23-I-2)	-1837(23-II-2)	-142653(23-I-2)	-3766(22-II-3)
	116	-110737(22-I-2)	-1233(22-II-3)	42864(23-I-2)	-1837(23-II-2)	125573(23-I-2)	3943(22-II-3)
16	116	-47144(22-I-3)	-1013(22-II-3)	24592(23-I-2)	1985(23-I-2)	-139499(23-I-2)	-4359(22-II-3)
	216	-30738(22-I-3)	-1013(22-II-3)	24592(23-I-2)	1985(23-I-2)	75822(23-I-2)	4508(22-II-3)
16	216	-6119(1)	9415(22-I-2)	17292(22-I-2)	-1138(22-I-4)	-8646(22-I-2)	4708(22-I-2)
	226	-5713(1)	9415(22-I-2)	17292(22-I-2)	-1138(22-I-4)	0	0

Risultati Analisi Dinamica - Sollecitazioni massime - Involuppi - Travi di fondazione

Scenario di calcolo : **SetNT_SLU_SLE**

Asta	N.in.	N	Ty	Tz	Mt	My	Mz
	N.fin.	kg	kg	kg	kg*m	kg*m	kg*m
9001	1	0	0	47311(22-II-1)	1188(23-II-4)	-125611(23-I-4)	0
	9	0	0	-46784(22-II-4)	-1185(23-I-4)	-126316(23-II-4)	0
9002	1	0	0	91747(23-II-4)	-113434(23-II-4)	-29789(23-II-4)	0
	2	0	0	-41714(22-II-1)	-98278(23-II-4)	139421(23-II-4)	0
9002	2	0	0	28722(23-II-2)	-77823(23-II-4)	117669(23-II-4)	0
	3	0	0	-126967(22-II-1)	61285(23-II-4)	-143664(22-II-1)	0
9002	3	0	0	104936(23-I-4)	-53981(23-II-4)	-104807(22-II-1)	0
	4	0	0	-80626(22-I-1)	40133(23-II-2)	-125852(22-I-1)	0
9002	4	0	0	107560(22-I-1)	-74706(23-II-4)	-160604(22-I-1)	0
	5	0	0	-82267(22-II-1)	61013(23-II-2)	-42149(22-II-1)	0
9002	5	0	0	80545(22-I-1)	-53628(23-II-4)	-38898(22-I-1)	0
	6	0	0	-109404(22-II-1)	82676(23-II-2)	-168476(22-II-1)	0
9002	6	0	0	69883(22-II-1)	-36164(23-II-4)	-129608(22-II-1)	0
	7	0	0	-105529(23-I-2)	53144(23-II-2)	-87302(22-I-1)	0
9002	7	0	0	108176(22-I-1)	-77894(23-II-2)	-115063(22-I-1)	0
	8	0	0	-45893(23-II-1)	37397(23-II-2)	-8050(23-II-4)	0
9003	0	0	0	-19301(23-II-4)	-1310(23-I-4)	14220(23-I-4)	0
	10	0	0	-44094(2)	-1426(23-I-4)	-120935(23-II-4)	0
9003	2	0	0	44030(2)	1429(23-II-4)	-120716(23-I-4)	0
	812	0	0	19282(23-I-4)	1312(23-II-4)	14245(23-II-4)	0

Asta	N.in.	N	Ty	Tz	Mt	My	Mz
9003	812	0	0	22598(23-I-4)	-205(22-I-1)	39434(23-II-4)	0
	0	0	0	-22643(23-II-4)	172(22-I-3)	39492(23-I-4)	0
9004	3	0	0	53112(23-I-4)	-440(22-I-1)	-138838(23-I-4)	0
	802	0	0	26701(23-I-4)	-307(22-I-1)	9803(22-II-1)	0
9004	802	0	0	24582(23-I-4)	-242(22-I-1)	-42677(23-I-4)	0
	804	0	0	-24568(23-II-4)	204(22-I-3)	-42587(23-II-4)	0
9004	804	0	0	-26693(23-II-4)	296(22-I-3)	9396(22-II-3)	0
	11	0	0	-53139(23-II-4)	423(22-I-3)	-138816(23-II-4)	0
9005	4	0	0	51321(23-I-1)	506(22-II-1)	-132688(23-I-1)	0
	801	0	0	23626(23-I-1)	391(22-II-1)	10247(22-I-1)	0
9005	801	0	0	25476(23-I-1)	-194(22-I-1)	-44021(23-I-1)	0
	803	0	0	-25467(23-II-3)	-164(22-II-3)	-43982(23-II-3)	0
9005	803	0	0	-23598(23-II-3)	-381(22-II-3)	9781(22-I-3)	0
	12	0	0	-51307(23-II-3)	-491(22-II-3)	-132612(23-II-3)	0
9006	5	0	0	51146(23-I-1)	-210(23-II-2)	-132194(23-I-1)	0
	809	0	0	22971(23-I-1)	195(23-I-2)	1355(23-I-2)	0
9006	809	0	0	26026(23-I-1)	-123(22-I-1)	-45096(23-I-1)	0
	810	0	0	-25979(23-II-3)	101(22-I-3)	-44966(23-II-3)	0
9006	810	0	0	-22877(23-II-3)	198(23-I-2)	1317(23-II-2)	0
	13	0	0	-51032(23-II-3)	213(23-I-2)	-131848(23-II-3)	0
9007	6	0	0	53618(23-I-2)	-473(22-I-1)	-140578(23-I-2)	0
	806	0	0	25477(23-I-2)	-346(22-I-1)	10135(22-II-1)	0
9007	806	0	0	26659(23-I-2)	-233(22-I-1)	-47063(23-I-2)	0
	808	0	0	-26579(23-II-2)	190(22-I-3)	-46853(23-II-2)	0
9007	808	0	0	-25375(23-II-2)	339(22-I-3)	9719(22-II-3)	0
	14	0	0	-53457(23-II-2)	459(22-I-3)	-140169(23-II-2)	0
9008	7	0	0	56222(23-I-2)	574(22-II-1)	-148053(23-I-2)	0
	805	0	0	28055(23-I-2)	406(22-II-1)	8449(22-I-1)	0
9008	805	0	0	27141(23-I-2)	-311(22-I-1)	-48633(23-I-2)	0
	807	0	0	-26948(23-II-2)	-280(22-II-3)	-48095(23-II-2)	0
9008	807	0	0	-28165(23-II-2)	-388(22-II-3)	8313(22-I-3)	0
	15	0	0	-56219(23-II-2)	-551(22-II-3)	-148007(23-II-2)	0
9009	0	0	0	-19759(23-II-2)	292(23-I-2)	8154(23-I-2)	0
	16	0	0	-47902(22-I-3)	284(23-I-2)	-126443(23-II-2)	0
9009	8	0	0	46752(22-I-1)	-283(23-II-2)	-124933(23-I-2)	0
	819	0	0	21439(23-I-2)	-283(23-II-2)	8773(23-II-2)	0
9009	819	0	0	21566(23-I-2)	-311(22-I-1)	44579(23-II-2)	0
	0	0	0	-21176(23-II-2)	-287(22-II-3)	45565(23-I-2)	0
9010	9	0	0	91525(23-I-4)	112782(23-I-4)	-29725(23-I-4)	0
	10	0	0	-40316(22-II-3)	97637(23-I-4)	139220(23-I-4)	0
9010	10	0	0	29015(23-I-2)	77571(23-I-4)	117483(23-I-4)	0
	11	0	0	-123735(22-II-3)	-61501(23-I-4)	-137513(22-II-3)	0
9010	11	0	0	105683(23-II-4)	54111(23-I-4)	-99786(22-II-3)	0
	12	0	0	-77959(23-II-2)	-40259(23-I-2)	-119929(22-I-3)	0
9010	12	0	0	104237(22-I-3)	74806(23-I-4)	-153532(22-I-3)	0
	13	0	0	-80432(22-II-3)	-61038(23-I-2)	-40999(22-II-3)	0
9010	13	0	0	78523(22-I-3)	53618(23-I-4)	-37874(22-I-3)	0
	14	0	0	-106279(22-II-3)	-82727(23-I-2)	-161814(22-II-3)	0
9010	14	0	0	66840(23-II-3)	36138(23-I-4)	-124153(22-II-3)	0

Asta	N.in.	N	Ty	Tz	Mt	My	Mz
						3)	
	15	0	0	-106329(23-II-2)	-53273(23-I-2)	-85306(22-I-3)	0
9010	15	0	0	106149(22-I-3)	77650(23-I-2)	-113047(22-I-3)	0
	16	0	0	-44487(23-I-3)	-37388(23-I-2)	-7576(23-I-4)	0

Risultati Analisi Dinamica - Sollecitazioni massime - Involuppi - Aste generiche

Scenario di calcolo : **SetNT_SLU_SLE**

Asta	N.in.	N	Ty	Tz	Mt	My	Mz
	N.fin.	kg	kg	kg	kg*m	kg*m	kg*m
272	211	4107(23-II-4)	-194(2)	-382(22-II-4)	-246(22-I-4)	-478(22-I-4)	-353(22-I-4)
	212	4180(23-II-4)	-194(2)	875(1)	-246(22-I-4)	774(22-I-4)	397(23-II-4)
273	212	5182(22-I-1)	-332(23-I-4)	-586(1)	-105(22-II-2)	493(22-I-4)	-584(23-I-4)
	213	5256(22-I-1)	-332(23-I-4)	629(2)	-105(22-II-2)	689(22-I-1)	647(23-I-4)
274	213	1776(22-II-1)	-241(2)	-619(22-I-1)	-106(22-II-4)	631(22-I-1)	-448(2)
	214	1849(22-II-1)	-241(2)	606(22-II-1)	-106(22-II-4)	649(22-II-1)	449(2)
275	214	2106(22-II-4)	-314(23-II-2)	-628(2)	79(22-I-4)	717(22-II-1)	-599(23-II-2)
	215	2179(22-II-4)	-314(23-II-2)	574(1)	79(22-I-4)	344(22-I-1)	568(23-II-2)
276	215	2770(22-I-2)	-311(23-II-2)	-635(1)	119(22-II-4)	430(22-II-4)	-560(23-II-2)
	216	2843(22-I-2)	-311(23-II-2)	567(2)	119(22-II-4)	518(22-I-1)	596(23-II-2)
277	219	4151(23-I-4)	191(22-I-4)	-380(22-II-4)	245(22-I-4)	-478(22-I-4)	348(22-I-4)
	220	4224(23-I-4)	191(22-I-4)	876(1)	245(22-I-4)	773(22-I-4)	-389(23-I-4)
278	220	4865(22-I-3)	327(23-II-4)	-587(1)	106(22-II-2)	492(22-I-4)	577(23-II-4)
	221	4938(22-I-3)	327(23-II-4)	628(2)	106(22-II-2)	673(22-I-3)	-638(23-II-4)
279	221	1531(22-II-3)	241(2)	-613(2)	106(22-II-4)	619(22-I-3)	448(2)
	222	1604(22-II-3)	241(2)	598(22-II-3)	106(22-II-4)	635(22-II-3)	-448(2)
280	222	2352(23-II-2)	318(23-I-2)	-629(2)	-80(22-I-4)	697(22-II-3)	602(23-I-2)
	223	2425(23-II-2)	318(23-I-2)	573(1)	-80(22-I-4)	338(22-I-3)	-578(23-I-2)
281	223	2524(22-I-2)	318(23-I-2)	-635(1)	-119(22-II-4)	427(22-II-4)	575(23-I-2)
	224	2597(22-I-2)	318(23-I-2)	567(2)	-119(22-II-4)	510(22-I-3)	-604(23-I-2)
282	820	-606(22-II-2)	0	-468(1)	-58(22-I-4)	0	0
	829	-550(22-II-2)	0	468(1)	-58(22-I-4)	0	0
283	829	-628(22-II-2)	0	-468(1)	-24(22-II-2)	0	0
	838	-571(22-II-2)	0	468(1)	-24(22-II-2)	0	0
284	838	-410(22-II-2)	0	-468(1)	-24(22-II-4)	0	0
	847	362(22-I-2)	0	468(1)	-24(22-II-4)	0	0
285	847	284(22-II-4)	0	-468(1)	18(22-II-1)	0	0
	856	340(22-II-4)	0	468(1)	18(22-II-1)	0	0
286	856	410(22-II-4)	0	-468(1)	27(22-II-4)	0	0
	865	466(22-II-4)	0	468(1)	27(22-II-4)	0	0
287	821	-2257(22-II-1)	-515(22-II-4)	-886(22-I-4)	-211(22-I-4)	167(22-I-4)	-996(22-II-4)
	830	-2183(22-II-1)	-515(22-II-4)	720(22-II-4)	-211(22-I-4)	-1504(22-I-4)	917(22-II-4)
288	830	-4516(22-II-2)	-537(22-II-4)	-614(22-II-4)	-86(22-II-2)	-1404(22-I-4)	-999(22-II-4)
	839	-4443(22-II-2)	-537(22-II-4)	670(22-I-4)	-86(22-II-2)	-836(22-II-4)	994(22-II-4)
289	839	-3307(22-II-2)	-497(22-II-3)	-862(22-II-4)	-86(22-II-4)	-855(22-II-4)	-921(22-II-3)
	848	-3234(22-II-2)	-497(22-II-3)	915(22-I-4)	-86(22-II-4)	1061(22-I-4)	924(22-II-3)
290	848	-2072(22-I-4)	-503(22-II-2)	-599(22-II-4)	65(22-I-4)	1027(22-I-4)	-933(22-II-2)
	857	-1999(22-I-4)	-503(22-II-2)	639(22-I-4)	65(22-I-4)	888(22-II-4)	934(22-II-2)
291	857	-3298(22-I-4)	-526(22-II-2)	-828(22-I-4)	100(22-II-4)	883(22-I-4)	-959(22-II-2)
	866	-3225(22-I-4)	-526(22-II-2)	945(22-II-4)	100(22-II-4)	1304(22-II-4)	994(22-II-2)
292	822	-801(22-II-2)	0	-468(1)	-36(22-I-4)	0	0
	831	-744(22-II-2)	0	468(1)	-36(22-I-4)	0	0
293	831	-1316(22-II-2)	0	-468(1)	-15(22-I-2)	0	0
	840	-1260(22-II-2)	0	468(1)	-15(22-I-2)	0	0
294	840	-1415(22-II-2)	0	-468(1)	-15(22-II-4)	0	0
	849	-1359(22-II-2)	0	468(1)	-15(22-II-4)	0	0

Asta	N.in.	N	Ty	Tz	Mt	My	Mz
295	849	-1244(22-II-2)	0	-468(1)	11(22-I-4)	0	0
	858	-1188(22-II-2)	0	468(1)	11(22-I-4)	0	0
296	858	-1511(22-I-4)	0	-468(1)	17(22-II-4)	0	0
	867	-1455(22-I-4)	0	468(1)	17(22-II-4)	0	0
297	823	-4275(22-II-2)	-183(22-II-3)	-1260(22-I-4)	-80(22-I-4)	312(22-I-4)	-357(22-II-3)
	832	-4202(22-II-2)	-183(22-II-3)	859(22-II-4)	-80(22-I-4)	-2749(22-I-4)	323(22-II-3)
298	832	-8624(22-II-2)	-326(23-I-4)	-729(22-II-4)	-35(22-II-2)	-2575(22-I-4)	-607(23-I-4)
	841	-8550(22-II-2)	-326(23-I-4)	813(22-I-4)	-35(22-II-2)	-1533(22-II-4)	604(23-I-4)
299	841	-6039(22-II-2)	-220(22-II-3)	-1110(22-II-4)	-33(22-II-4)	-1568(22-II-4)	-408(22-II-3)
	850	-5966(22-II-2)	-220(22-II-3)	1217(22-I-4)	-33(22-II-4)	-1748(22-II-4)	408(22-II-3)
300	850	-3471(22-I-4)	-232(23-II-2)	-713(22-II-4)	25(22-II-3)	-1711(22-II-4)	-440(23-II-2)
	859	-3398(22-I-4)	-232(23-II-2)	790(22-I-4)	25(22-II-3)	1321(22-II-4)	422(23-II-2)
301	859	-6040(22-I-4)	-241(23-II-2)	-1089(22-I-4)	39(22-II-4)	-1321(22-II-4)	-430(23-II-2)
	868	-5966(22-I-4)	-241(23-II-2)	1288(22-II-4)	39(22-II-4)	2008(22-II-4)	463(23-II-2)
302	824	-1028(22-II-2)	0	-468(1)	3(23-II-4)	0	0
	833	-972(22-II-2)	0	468(1)	3(23-II-4)	0	0
303	833	-1674(22-II-2)	0	-468(1)	2(23-II-2)	0	0
	842	-1618(22-II-2)	0	468(1)	2(23-II-2)	0	0
304	842	-1780(22-II-2)	0	-468(1)	2(22-I-2)	0	0
	851	-1724(22-II-2)	0	468(1)	2(22-I-2)	0	0
305	851	-1528(22-II-2)	0	-468(1)	-2(23-I-4)	0	0
	860	-1472(22-II-2)	0	468(1)	-2(23-I-4)	0	0
306	860	-1901(22-I-4)	0	-468(1)	2(23-II-2)	0	0
	869	-1845(22-I-4)	0	468(1)	2(23-II-2)	0	0
307	825	-4239(22-II-2)	173(22-II-1)	-1260(22-I-4)	80(22-I-4)	312(22-I-4)	338(22-II-1)
	834	-4166(22-II-2)	173(22-II-1)	859(22-II-4)	80(22-I-4)	-2747(22-I-4)	-306(22-II-1)
308	834	-8555(22-II-2)	320(23-II-4)	-730(22-II-4)	35(22-II-2)	-2574(22-I-4)	596(23-II-4)
	843	-8482(22-II-2)	320(23-II-4)	813(22-I-4)	35(22-II-2)	-1532(22-II-4)	-593(23-II-4)
309	843	-5995(22-II-2)	224(22-II-1)	-1110(22-II-4)	33(22-II-4)	-1567(22-II-4)	417(22-II-1)
	852	-5922(22-II-2)	224(22-II-1)	1217(22-I-4)	33(22-II-4)	-1750(22-II-4)	-415(22-II-1)
310	852	-3462(22-I-4)	232(23-I-2)	-713(22-II-4)	-25(22-II-1)	-1713(22-II-4)	440(23-I-2)
	861	-3389(22-I-4)	232(23-I-2)	790(22-I-4)	-25(22-II-1)	1319(22-II-4)	-423(23-I-2)
311	861	-6005(22-I-4)	242(23-I-2)	-1089(22-I-4)	-39(22-II-4)	-1319(22-II-4)	433(23-I-2)
	870	-5932(22-I-4)	242(23-I-2)	1287(22-II-4)	-39(22-II-4)	2008(22-II-4)	-466(23-I-2)
312	826	-788(22-II-2)	0	-468(1)	36(22-I-4)	0	0
	835	-731(22-II-2)	0	468(1)	36(22-I-4)	0	0
313	835	-1297(22-II-2)	0	-468(1)	15(22-II-2)	0	0
	844	-1240(22-II-2)	0	468(1)	15(22-II-2)	0	0
314	844	-1397(22-II-2)	0	-468(1)	15(22-II-4)	0	0
	853	-1341(22-II-2)	0	468(1)	15(22-II-4)	0	0
315	853	-1230(22-II-2)	0	-468(1)	-11(22-I-4)	0	0
	862	-1174(22-II-2)	0	468(1)	-11(22-I-4)	0	0
316	862	-1493(22-I-4)	0	-468(1)	-17(22-II-4)	0	0
	871	-1437(22-I-4)	0	468(1)	-17(22-II-4)	0	0
317	827	-2251(22-II-3)	504(22-II-4)	-885(22-I-4)	211(22-I-4)	166(22-I-4)	975(22-II-4)
	836	-2178(22-II-3)	504(22-II-4)	720(22-II-4)	211(22-I-4)	-1501(22-I-4)	-897(22-II-4)
318	836	-4414(22-II-3)	528(22-II-4)	-614(22-II-4)	86(22-II-2)	-1401(22-I-4)	984(22-II-4)
	845	-4340(22-II-3)	528(22-II-4)	668(22-I-4)	86(22-II-2)	-834(22-II-3)	-977(22-II-4)
319	845	-3230(22-II-2)	502(22-II-4)	-862(22-II-4)	86(22-II-4)	-849(22-II-4)	931(22-II-4)
	854	-3157(22-II-2)	502(22-II-4)	915(22-I-4)	86(22-II-4)	1066(22-I-4)	-932(22-II-4)
320	854	-2043(22-I-4)	507(22-II-2)	-602(22-II-4)	-65(22-I-4)	1033(22-I-4)	941(22-II-2)
	863	-1970(22-I-4)	507(22-II-2)	641(22-I-4)	-65(22-I-4)	885(22-II-4)	-941(22-II-2)
321	863	-3217(22-I-4)	537(22-II-2)	-828(22-I-4)	-100(22-II-4)	881(22-I-4)	980(22-II-2)
	872	-3143(22-I-4)	537(22-II-2)	944(22-II-4)	-100(22-II-4)	1306(22-II-4)	-1014(22-II-2)
322	828	-587(22-II-2)	0	-468(1)	58(22-I-4)	0	0
	837	-531(22-II-2)	0	468(1)	58(22-I-4)	0	0
323	837	-607(22-II-2)	0	-468(1)	24(22-II-2)	0	0
	846	-551(22-II-2)	0	468(1)	24(22-II-2)	0	0
324	846	-406(22-II-2)	0	-468(1)	24(22-II-4)	0	0
	855	360(22-I-2)	0	468(1)	24(22-II-4)	0	0
325	855	262(22-II-4)	0	-468(1)	-18(22-II-3)	0	0
	864	318(22-II-4)	0	468(1)	-18(22-II-3)	0	0
326	864	399(22-II-4)	0	-468(1)	-27(22-II-4)	0	0
	873	455(22-II-4)	0	468(1)	-27(22-II-4)	0	0
333	229	242(22-I-2)	0	-283(1)	59(22-I-4)	0	0
	230	277(22-I-2)	0	283(1)	59(22-I-4)	0	0

Asta	N.in.	N	Ty	Tz	Mt	My	Mz
334	230	363(23-II-4)	0	-283(1)	26(22-II-2)	0	0
	231	397(23-II-4)	0	283(1)	26(22-II-2)	0	0
335	231	433(23-II-4)	0	-283(1)	26(22-II-4)	0	0
	232	467(23-II-4)	0	283(1)	26(22-II-4)	0	0
336	232	472(23-II-4)	0	-283(1)	-19(22-I-4)	0	0
	233	507(23-II-4)	0	283(1)	-19(22-I-4)	0	0
337	233	509(23-II-4)	0	-283(1)	-29(22-II-4)	0	0
	234	543(23-II-4)	0	283(1)	-29(22-II-4)	0	0
338	211	-7265(22-II-4)	1071(22-II-1)	-4676(2)	478(22-I-4)	2084(2)	1747(22-II-1)
	820	-7265(22-II-4)	1071(22-II-1)	-4312(2)	478(22-I-4)	-5784(1)	-203(22-II-3)
338	219	383(23-I-4)	-484(22-II-4)	-636(2)	0	762(22-II-4)	-844(22-II-4)
	229	383(23-I-4)	-484(22-II-4)	-321(22-II-4)	0	-59(22-I-4)	5(22-I-4)
338	221	-383(23-I-4)	429(22-II-4)	350(22-II-4)	0	-59(22-I-4)	5(22-I-4)
	211	-383(23-I-4)	429(22-II-4)	636(2)	0	814(22-II-4)	-749(22-II-4)
338	820	-7321(23-I-4)	-288(22-II-3)	-3831(2)	478(22-I-4)	-5825(1)	-200(22-II-3)
	821	-7321(23-I-4)	-288(22-II-3)	-3467(2)	478(22-I-4)	-12207(1)	-423(22-II-2)
338	821	9550(22-II-4)	830(22-II-4)	-2728(1)	311(22-I-4)	-12334(1)	614(22-II-4)
	822	9550(22-II-4)	830(22-II-4)	-2364(1)	311(22-I-4)	-16790(1)	-844(22-II-1)
338	822	9566(22-II-4)	-644(22-II-4)	-1873(1)	311(22-I-4)	-16815(1)	-841(22-II-1)
	823	9566(22-II-4)	-644(22-II-4)	-1509(1)	311(22-I-4)	-19774(1)	292(22-II-4)
338	823	16313(22-II-4)	940(22-II-4)	-727(22-II-2)	-28(23-II-4)	-19821(1)	629(22-II-4)
	824	16313(22-II-4)	940(22-II-4)	-447(22-II-2)	-28(23-II-4)	-20573(1)	-1017(22-II-4)
338	824	16304(22-II-4)	-936(22-II-4)	446(22-I-2)	-28(23-II-4)	-20573(1)	-1017(22-II-4)
	825	16304(22-II-4)	-936(22-II-4)	726(22-I-2)	-28(23-II-4)	-19821(1)	621(22-II-4)
338	825	9794(22-II-3)	656(22-II-3)	1508(1)	-312(22-I-4)	-19773(1)	293(22-II-3)
	826	9794(22-II-3)	656(22-II-3)	1872(1)	-312(22-I-4)	-16815(1)	-856(22-II-3)
338	826	9806(22-II-3)	-834(22-II-3)	2363(1)	-312(22-I-4)	-16790(1)	-858(22-II-3)
	827	9806(22-II-3)	-834(22-II-3)	2727(1)	-312(22-I-4)	-12336(1)	601(22-II-3)
338	827	-7260(23-II-4)	285(22-II-2)	3465(2)	-478(22-I-4)	-12207(1)	-416(22-II-2)
	828	-7260(23-II-4)	285(22-II-2)	3829(2)	-478(22-I-4)	-5828(1)	-207(22-II-1)
338	828	-6679(22-II-4)	-1065(22-II-3)	4310(2)	-478(22-I-4)	-5787(1)	-210(22-II-1)
	219	-6679(22-II-4)	-1065(22-II-3)	4674(2)	-478(22-I-4)	2078(2)	1747(22-II-3)
339	212	11140(23-I-4)	961(22-II-1)	-6164(1)	290(22-II-3)	3622(1)	1656(22-II-1)
	829	11140(23-I-4)	961(22-II-1)	-5800(1)	290(22-II-3)	-6848(2)	-226(22-II-3)
339	220	515(23-I-4)	-441(22-II-4)	-927(2)	0	1321(1)	-773(22-II-4)
	230	515(23-I-4)	-441(22-II-4)	-573(22-II-4)	0	47(22-I-4)	-4(22-I-4)
339	222	-516(23-I-4)	382(22-II-4)	574(22-II-4)	0	47(22-I-4)	-4(22-I-4)
	212	-516(23-I-4)	382(22-II-4)	926(2)	0	1319(1)	-669(22-II-4)
339	829	10320(23-I-4)	574(22-II-3)	-4865(1)	290(22-II-3)	-6828(2)	-226(22-II-3)
	830	10320(23-I-4)	574(22-II-3)	-4501(1)	290(22-II-3)	-15023(1)	-894(22-II-2)
339	830	-10855(22-II-4)	1068(22-II-4)	-3423(2)	186(22-II-3)	-14916(1)	1030(22-II-4)
	831	-10855(22-II-4)	1068(22-II-4)	-3059(2)	186(22-II-3)	-20587(1)	-852(22-II-1)
339	831	-10886(22-II-4)	-574(22-II-1)	-2098(2)	186(22-II-3)	-20575(1)	-853(22-II-1)
	832	-10886(22-II-4)	-574(22-II-1)	-1734(2)	186(22-II-3)	-23927(1)	312(23-II-4)
339	832	-17391(22-II-4)	1007(22-II-4)	-927(22-I-4)	-23(22-II-2)	-23887(1)	756(22-II-4)
	833	-17391(22-II-4)	1007(22-II-4)	-647(22-I-4)	-23(22-II-2)	-25052(1)	-1007(22-II-4)
339	833	-17388(22-II-4)	-1002(22-II-4)	646(22-I-4)	-23(22-II-2)	-25052(1)	-1007(22-II-4)
	834	-17388(22-II-4)	-1002(22-II-4)	926(22-I-4)	-23(22-II-2)	-23888(1)	746(22-II-4)
339	834	-11123(22-II-4)	588(22-II-3)	1733(2)	-185(22-II-1)	-23927(1)	320(23-I-4)
	835	-11123(22-II-4)	588(22-II-3)	2097(2)	-185(22-II-1)	-20576(1)	-868(22-II-3)
339	835	-11086(22-II-4)	-1063(22-II-3)	3058(2)	-185(22-II-1)	-20587(1)	-867(22-II-3)
	836	-11086(22-II-4)	-1063(22-II-3)	3422(2)	-185(22-II-1)	-14917(1)	1009(22-II-4)
339	836	-10312(23-I-4)	-569(22-II-2)	4502(1)	-293(22-II-3)	-15023(1)	-873(22-II-2)
	837	-10312(23-I-4)	-569(22-II-2)	4866(1)	-293(22-II-3)	-6827(2)	-233(22-II-1)
339	837	-11136(23-I-4)	-947(22-II-3)	5801(1)	-293(22-II-3)	-6846(2)	-232(22-II-1)
	220	-11136(23-I-4)	-947(22-II-3)	6165(1)	-293(22-II-3)	3625(1)	1645(22-II-3)
340	213	-4474(23-II-4)	784(22-II-1)	-6562(2)	199(22-II-4)	3700(2)	1461(22-II-2)
	838	-4474(23-II-4)	784(22-II-1)	-6198(2)	199(22-II-4)	-7465(2)	-206(22-II-3)
340	221	357(23-I-4)	-441(22-II-4)	-932(1)	0	1331(2)	-772(22-II-4)
	231	357(23-I-4)	-441(22-II-4)	-568(1)	0	34(22-II-4)	-3(22-II-4)
340	223	-358(23-I-4)	419(22-I-1)	568(1)	0	33(22-II-4)	-3(22-II-4)
	213	-358(23-I-4)	419(22-I-1)	932(1)	0	1331(2)	-733(22-I-1)
340	838	-3858(23-II-4)	633(22-II-3)	-5266(2)	199(22-II-4)	-7448(2)	-207(22-II-3)
	839	-3858(23-II-4)	633(22-II-3)	-4902(2)	199(22-II-4)	-16344(2)	-978(22-II-2)
340	839	-2932(23-II-4)	926(22-II-4)	-3702(1)	128(22-II-4)	-16244(2)	939(22-II-4)
	840	-2932(23-II-4)	926(22-II-4)	-3338(1)	128(22-II-4)	-22402(2)	-699(22-II-1)

Asta	N.in.	N	Ty	Tz	Mt	My	Mz
340	840	-2363(23-II-3)	411(22-I-1)	-2385(1)	128(22-II-4)	-22391(2)	-700(22-II-1)
	841	-2363(23-II-3)	411(22-I-1)	-2021(1)	128(22-II-4)	-26245(2)	-353(23-I-4)
340	841	-2091(22-I-2)	779(22-II-4)	-842(1)	-13(23-I-4)	-26206(2)	599(22-II-3)
	842	-2091(22-I-2)	779(22-II-4)	-553(22-II-4)	-13(23-I-4)	-27361(2)	-801(22-II-4)
340	842	-2084(22-I-2)	-783(22-II-4)	549(22-II-4)	-13(23-I-4)	-27361(2)	-801(22-II-4)
	843	-2084(22-I-2)	-783(22-II-4)	842(1)	-13(23-I-4)	-26206(2)	583(22-II-1)
340	843	-2477(23-I-4)	411(22-II-3)	2021(1)	-128(22-II-4)	-26245(2)	-347(23-II-4)
	844	-2477(23-I-4)	411(22-II-3)	2385(1)	-128(22-II-4)	-22391(2)	-713(22-II-3)
340	844	-3095(23-I-4)	-917(22-II-4)	3337(1)	-128(22-II-4)	-22403(2)	-712(22-II-3)
	845	-3095(23-I-4)	-917(22-II-4)	3701(1)	-128(22-II-4)	-16245(2)	937(22-II-4)
340	845	-4026(23-I-4)	-628(22-II-2)	4901(2)	-199(22-II-4)	-16344(2)	-968(22-II-2)
	846	-4026(23-I-4)	-628(22-II-2)	5265(2)	-199(22-II-4)	-7449(2)	-212(22-II-1)
340	846	-4642(23-I-4)	-801(22-II-3)	6198(2)	-199(22-II-4)	-7467(2)	-212(22-II-1)
	221	-4642(23-I-4)	-801(22-II-3)	6562(2)	-199(22-II-4)	3698(2)	1450(22-II-3)
341	214	-3842(23-II-3)	825(22-II-1)	-6609(2)	-143(22-II-4)	3660(2)	1511(22-II-2)
	847	-3842(23-II-3)	825(22-II-1)	-6245(2)	-143(22-II-4)	-7587(1)	-208(22-II-3)
341	222	341(23-I-3)	433(22-I-4)	-933(1)	0	1325(1)	757(22-I-4)
	232	341(23-I-3)	433(22-I-4)	-569(1)	0	33(22-II-4)	-3(22-II-4)
341	224	-339(23-I-1)	-423(22-II-1)	569(1)	0	33(22-II-4)	-3(22-II-4)
	214	-339(23-I-1)	-423(22-II-1)	933(1)	0	1326(1)	739(22-II-1)
341	847	-3385(23-II-3)	651(22-II-3)	-5312(2)	-143(22-II-4)	-7576(1)	-209(22-II-3)
	848	-3385(23-II-3)	651(22-II-3)	-4948(2)	-143(22-II-4)	-16555(2)	-991(22-II-2)
341	848	-2779(23-II-3)	834(22-II-4)	-3738(2)	-92(22-II-4)	-16480(2)	857(22-II-4)
	849	-2779(23-II-3)	834(22-II-4)	-3374(2)	-92(22-II-4)	-22703(2)	-629(22-II-1)
341	849	-2293(23-II-3)	387(22-I-1)	-2428(2)	-92(22-II-4)	-22696(2)	-630(22-II-1)
	850	-2293(23-II-3)	387(22-I-1)	-2064(2)	-92(22-II-4)	-26626(2)	-305(23-II-2)
341	850	-1917(22-II-2)	661(22-II-3)	-860(22-II-4)	-14(22-I-2)	-26596(2)	509(22-II-3)
	851	-1917(22-II-2)	661(22-II-3)	-580(22-II-4)	-14(22-I-2)	-27745(2)	-694(22-II-4)
341	851	-1917(22-II-2)	-658(22-II-4)	579(22-II-4)	-14(22-I-2)	-27745(2)	-694(22-II-4)
	852	-1917(22-II-2)	-658(22-II-4)	859(22-II-4)	-14(22-I-2)	-26597(2)	510(22-II-1)
341	852	-2416(23-I-1)	-381(22-I-3)	2063(2)	92(22-II-4)	-26626(2)	-306(23-I-2)
	853	-2416(23-I-1)	-381(22-I-3)	2427(2)	92(22-II-4)	-22697(2)	-642(22-II-3)
341	853	-2898(23-I-1)	-834(22-II-4)	3374(2)	92(22-II-4)	-22704(2)	-641(22-II-3)
	854	-2898(23-I-1)	-834(22-II-4)	3738(2)	92(22-II-4)	-16481(2)	870(22-II-4)
341	854	-3502(23-I-1)	-648(22-II-2)	4948(2)	144(22-II-4)	-16556(2)	-999(22-II-2)
	855	-3502(23-I-1)	-648(22-II-2)	5312(2)	144(22-II-4)	-7578(2)	-216(22-II-1)
341	855	-3956(23-I-1)	-842(22-II-3)	6245(2)	144(22-II-4)	-7589(2)	-215(22-II-1)
	222	-3956(23-I-1)	-842(22-II-3)	6609(2)	144(22-II-4)	3658(2)	1512(22-II-3)
342	215	-3849(23-II-3)	966(22-II-1)	-6442(1)	-188(22-II-4)	3567(1)	1666(22-II-1)
	856	-3849(23-II-3)	966(22-II-1)	-6078(1)	-188(22-II-4)	-7388(1)	237(22-I-3)
342	223	377(23-I-3)	-387(22-II-4)	-932(2)	0	1319(1)	-677(22-II-4)
	233	377(23-I-3)	-387(22-II-4)	-568(2)	0	24(22-II-4)	-2(22-II-4)
342	225	-374(23-I-1)	-345(22-II-1)	568(2)	0	24(22-II-4)	-2(22-II-4)
	215	-374(23-I-1)	-345(22-II-1)	932(2)	0	1320(1)	604(22-II-1)
342	856	-3345(23-II-3)	679(22-II-3)	-5151(1)	-188(22-II-4)	-7382(1)	237(22-I-3)
	857	-3345(23-II-3)	679(22-II-3)	-4787(1)	-188(22-II-4)	-16078(1)	-1023(22-II-2)
342	857	-2717(23-II-3)	837(22-II-2)	-3633(2)	-121(22-II-4)	-16015(1)	864(22-II-2)
	858	-2717(23-II-3)	837(22-II-2)	-3269(2)	-121(22-II-4)	-22053(1)	639(22-I-1)
342	858	-2181(23-II-3)	402(22-I-1)	-2325(2)	-121(22-II-4)	-22049(1)	638(22-I-1)
	859	-2181(23-II-3)	402(22-I-1)	-1961(2)	-121(22-II-4)	-25800(2)	-428(23-II-2)
342	859	-1533(23-II-3)	638(22-II-3)	-836(1)	15(23-II-2)	-25776(2)	475(22-II-3)
	860	-1533(23-II-3)	638(22-II-3)	-518(22-II-4)	15(23-II-2)	-26921(2)	696(22-I-2)
342	860	-1514(23-I-1)	-648(22-II-2)	518(22-II-4)	15(23-II-2)	-26921(2)	696(22-I-2)
	861	-1514(23-I-1)	-648(22-II-2)	836(2)	15(23-II-2)	-25776(2)	479(22-II-1)
342	861	-2159(23-I-1)	-397(22-I-3)	1961(2)	120(22-II-4)	-25801(2)	-430(23-I-2)
	862	-2159(23-I-1)	-397(22-I-3)	2325(2)	120(22-II-4)	-22050(1)	650(22-I-3)
342	862	-2692(23-I-1)	-837(22-II-2)	3268(2)	120(22-II-4)	-22054(1)	651(22-I-3)
	863	-2692(23-I-1)	-837(22-II-2)	3632(2)	120(22-II-4)	-16016(1)	876(22-II-2)
342	863	-3318(23-I-1)	-675(22-II-2)	4787(1)	188(22-II-4)	-16080(1)	-1039(22-II-2)
	864	-3318(23-I-1)	-675(22-II-2)	5151(1)	188(22-II-4)	-7384(1)	233(22-I-1)
342	864	-3819(23-I-1)	-954(22-II-3)	6078(1)	188(22-II-4)	-7390(1)	233(22-I-1)
	223	-3819(23-I-1)	-954(22-II-3)	6442(1)	188(22-II-4)	3565(1)	1675(22-II-3)
343	216	-4315(23-II-2)	857(22-II-1)	-6233(2)	-157(22-II-4)	3579(2)	1553(22-II-2)
	865	-4315(23-II-2)	857(22-II-1)	-5869(2)	-157(22-II-4)	-7010(2)	-208(22-II-3)
343	224	417(23-I-2)	423(22-I-4)	-964(2)	0	1373(2)	742(22-I-4)
	234	417(23-I-2)	423(22-I-4)	-600(2)	0	27(22-I-4)	3(22-II-4)

Asta	N.in.	N	Ty	Tz	Mt	My	Mz
343	226	-417(23-I-2)	-388(22-II-1)	601(2)	0	27(22-I-4)	3(22-II-4)
	216	-417(23-I-2)	-388(22-II-1)	965(2)	0	1373(2)	681(22-II-1)
343	865	-3592(23-II-2)	570(22-II-3)	-4903(2)	-157(22-II-4)	-7006(2)	-206(22-II-3)
	866	-3592(23-II-2)	570(22-II-3)	-4539(2)	-157(22-II-4)	-15268(2)	-857(22-II-2)
343	866	-3120(23-II-3)	-863(22-I-2)	-3399(2)	-100(22-II-4)	-15208(2)	-787(22-I-2)
	867	-3120(23-II-3)	-863(22-I-2)	-3035(2)	-100(22-II-4)	-20837(2)	732(22-I-1)
343	867	-2573(23-II-3)	473(22-I-1)	-2226(1)	-100(22-II-4)	-20835(2)	733(22-I-1)
	868	-2573(23-II-3)	473(22-I-1)	-1862(1)	-100(22-II-4)	-24411(2)	-289(23-II-2)
343	868	-2032(23-II-3)	-776(22-I-2)	-757(22-I-4)	-12(23-I-2)	-24388(2)	-548(22-I-3)
	869	-2032(23-II-3)	-776(22-I-2)	-477(22-I-4)	-12(23-I-2)	-25388(2)	840(22-I-2)
343	869	-2039(23-I-1)	791(22-I-2)	473(22-I-4)	-12(23-I-2)	-25388(2)	840(22-I-2)
	870	-2039(23-I-1)	791(22-I-2)	753(2)	-12(23-I-2)	-24389(2)	-549(22-I-1)
343	870	-2575(23-I-1)	-468(22-I-3)	1862(1)	101(22-II-4)	-24412(2)	-288(23-I-2)
	871	-2575(23-I-1)	-468(22-I-3)	2226(1)	101(22-II-4)	-20837(2)	747(22-I-3)
343	871	-3121(23-I-1)	864(22-I-2)	3035(2)	101(22-II-4)	-20839(2)	745(22-I-3)
	872	-3121(23-I-1)	864(22-I-2)	3399(2)	101(22-II-4)	-15210(2)	-802(22-I-2)
343	872	-3577(23-I-2)	-573(22-II-4)	4540(2)	157(22-II-4)	-15270(2)	-876(22-II-2)
	873	-3577(23-I-2)	-573(22-II-4)	4904(2)	157(22-II-4)	-7006(2)	-209(22-II-1)
343	873	-4301(23-I-2)	-869(22-II-3)	5871(2)	157(22-II-4)	-7010(2)	-211(22-II-1)
	224	-4301(23-I-2)	-869(22-II-3)	6235(2)	157(22-II-4)	3583(2)	1553(22-II-3)
344	217	8432(23-I-2)	849(22-II-1)	-5914(2)	-284(22-I-4)	3582(2)	-1561(22-I-2)
	874	8432(23-I-2)	849(22-II-1)	-5550(2)	-284(22-I-4)	-6449(2)	-213(22-II-3)
344	225	461(23-I-2)	463(22-I-4)	-926(1)	0	1315(2)	812(22-I-4)
	235	461(23-I-2)	463(22-I-4)	-562(1)	0	32(22-I-4)	3(22-I-4)
344	227	-461(23-I-2)	-402(22-I-4)	562(1)	0	32(22-I-4)	3(22-I-4)
	217	-461(23-I-2)	-402(22-I-4)	926(1)	0	1315(2)	705(22-I-4)
344	874	7753(23-I-2)	-630(22-I-3)	-4624(2)	-284(22-I-4)	-6433(2)	-212(22-II-3)
	875	7753(23-I-2)	-630(22-I-3)	-4260(2)	-284(22-I-4)	-14207(2)	928(22-I-4)
344	875	-9893(22-I-2)	-1128(22-I-2)	-3256(2)	-180(22-I-4)	-14104(2)	-1067(22-I-2)
	876	-9893(22-I-2)	-1128(22-I-2)	-2892(2)	-180(22-I-4)	-19485(2)	909(22-I-1)
344	876	-9919(22-I-2)	635(22-I-1)	-1924(2)	-180(22-I-4)	-19475(2)	909(22-I-1)
	877	-9919(22-I-2)	635(22-I-1)	-1560(2)	-180(22-I-4)	-22523(2)	-205(22-I-1)
344	877	-16408(22-I-2)	-1070(22-I-2)	-852(1)	-14(23-I-4)	-22487(2)	-792(22-I-2)
	878	-16408(22-I-2)	-1070(22-I-2)	-522(22-II-4)	-14(23-I-4)	-23660(2)	1080(22-I-2)
344	878	-16402(22-I-2)	1081(22-I-2)	515(22-II-4)	-14(23-I-4)	-23660(2)	1080(22-I-2)
	879	-16402(22-I-2)	1081(22-I-2)	852(1)	-14(23-I-4)	-22487(2)	-811(22-I-2)
344	879	-9940(22-I-3)	-636(22-I-3)	1560(2)	179(22-I-4)	-22524(2)	-191(22-I-3)
	880	-9940(22-I-3)	-636(22-I-3)	1924(2)	179(22-I-4)	-19475(2)	924(22-I-3)
344	880	-9921(22-I-3)	1123(22-I-2)	2893(2)	179(22-I-4)	-19484(2)	924(22-I-3)
	881	-9921(22-I-3)	1123(22-I-2)	3257(2)	179(22-I-4)	-14104(2)	-1074(22-I-2)
344	881	7924(23-II-2)	635(22-I-4)	4260(2)	283(22-I-4)	-14207(2)	942(22-I-4)
	882	7924(23-II-2)	635(22-I-4)	4624(2)	283(22-I-4)	-6434(2)	-217(22-II-1)
344	882	8606(23-II-2)	-865(22-II-3)	5549(2)	283(22-I-4)	-6449(2)	-218(22-II-1)
	225	8606(23-II-2)	-865(22-II-3)	5913(2)	283(22-I-4)	3581(2)	-1561(22-I-2)
345	218	-7426(22-I-3)	-1028(22-I-1)	-4589(1)	-409(22-I-4)	2089(1)	-1714(22-I-1)
	883	-7426(22-I-3)	-1028(22-I-1)	-4225(1)	-409(22-I-4)	-5625(2)	-149(22-II-3)
345	226	346(23-I-2)	451(22-II-4)	-638(2)	0	768(1)	787(22-II-4)
	236	346(23-I-2)	451(22-II-4)	-300(22-I-2)	0	-51(22-I-4)	-4(22-I-4)
345	228	-347(23-I-2)	-393(22-I-4)	290(22-I-2)	0	-51(22-I-4)	-4(22-I-4)
	218	-347(23-I-2)	-393(22-I-4)	638(2)	0	768(1)	685(22-I-4)
345	883	-7385(22-I-3)	-299(22-II-3)	-3756(1)	-409(22-I-4)	-5657(2)	-151(22-II-3)
	884	-7385(22-I-3)	-299(22-II-3)	-3392(1)	-409(22-I-4)	-11910(1)	434(22-I-4)
345	884	10222(22-I-2)	-867(22-I-2)	-2684(1)	-268(22-I-4)	-12007(2)	-628(22-I-2)
	885	10222(22-I-2)	-867(22-I-2)	-2320(1)	-268(22-I-4)	-16385(2)	890(22-I-2)
345	885	10246(22-I-2)	697(22-I-2)	-1824(1)	-268(22-I-4)	-16405(2)	889(22-I-2)
	886	10246(22-I-2)	697(22-I-2)	-1460(1)	-268(22-I-4)	-19278(2)	-332(22-I-2)
345	886	17008(22-I-2)	-993(22-I-2)	-676(22-II-4)	-27(23-II-2)	-19314(2)	-666(22-I-2)
	887	17008(22-I-2)	-993(22-I-2)	-396(22-II-4)	-27(23-II-2)	-20072(2)	1072(22-I-2)
345	887	17006(22-I-2)	995(22-I-2)	396(22-II-4)	-27(23-II-2)	-20072(2)	1072(22-I-2)
	888	17006(22-I-2)	995(22-I-2)	676(22-II-4)	-27(23-II-2)	-19314(2)	-669(22-I-2)
345	888	10304(22-I-3)	-700(22-I-3)	1460(1)	267(22-I-4)	-19278(2)	-327(22-I-3)
	889	10304(22-I-3)	-700(22-I-3)	1824(1)	267(22-I-4)	-16404(2)	899(22-I-3)
345	889	10312(22-I-3)	866(22-I-3)	2320(1)	267(22-I-4)	-16384(1)	901(22-I-3)
	890	10312(22-I-3)	866(22-I-3)	2684(1)	267(22-I-4)	-12006(2)	-624(22-I-2)
345	890	-7454(22-I-1)	298(22-II-1)	3392(1)	409(22-I-4)	-11909(1)	440(22-I-4)
	891	-7454(22-I-1)	298(22-II-1)	3756(1)	409(22-I-4)	-5656(2)	-159(22-II-1)

Asta	N.in.	N	Ty	Tz	Mt	My	Mz
345	891	-7496(22-I-1)	1027(22-I-3)	4226(1)	409(22-I-4)	-5624(2)	-157(22-II-1)
	226	-7496(22-I-1)	1027(22-I-3)	4590(1)	409(22-I-4)	2092(1)	-1728(22-I-3)
346	221	267(22-I-2)	0	-283(1)	-59(22-I-4)	0	0
	222	301(22-I-2)	0	283(1)	-59(22-I-4)	0	0
346	222	374(22-I-2)	0	-283(1)	-26(22-II-2)	0	0
	223	408(22-I-2)	0	283(1)	-26(22-II-2)	0	0
346	223	427(23-I-4)	0	-283(1)	-26(22-II-4)	0	0
	224	462(23-I-4)	0	283(1)	-26(22-II-4)	0	0
346	224	459(23-I-4)	0	-283(1)	19(22-II-1)	0	0
	225	493(23-I-4)	0	283(1)	19(22-II-1)	0	0
346	225	493(23-I-4)	0	-283(1)	29(22-II-4)	0	0
	226	528(23-I-4)	0	283(1)	29(22-II-4)	0	0
346	226	460(23-I-4)	0	-283(1)	23(22-II-4)	0	0
	227	427(23-I-4)	0	283(1)	23(22-II-4)	0	0
346	227	308(23-I-4)	0	-283(1)	51(22-I-4)	0	0
	228	275(23-I-4)	0	283(1)	51(22-I-4)	0	0
369	216	3636(22-I-1)	214(2)	-564(1)	93(22-II-4)	602(22-I-1)	405(2)
	217	3565(22-I-1)	214(2)	638(2)	93(22-II-4)	609(22-II-1)	-388(2)
370	217	3570(23-II-2)	178(1)	-862(2)	215(22-I-4)	773(22-II-4)	336(1)
	218	3499(23-II-2)	178(1)	369(22-II-4)	215(22-I-4)	-409(22-I-4)	-325(1)
371	874	507(22-II-1)	0	-468(1)	51(22-I-4)	0	0
	883	-512(22-I-1)	0	468(1)	51(22-I-4)	0	0
372	865	560(22-II-4)	0	-468(1)	21(22-II-4)	0	0
	874	506(22-II-4)	0	468(1)	21(22-II-4)	0	0
373	875	-2239(22-I-1)	536(22-I-2)	-610(22-II-4)	185(22-I-4)	-940(22-I-4)	954(22-I-2)
	884	-2310(22-I-1)	536(22-I-2)	727(22-I-4)	185(22-I-4)	141(22-I-4)	-1037(22-I-2)
374	866	-4447(22-I-4)	571(22-I-2)	-746(1)	75(22-II-4)	1256(22-II-4)	1074(22-I-2)
	875	-4517(22-I-4)	571(22-I-2)	482(22-II-2)	75(22-II-4)	-842(22-I-4)	-1045(22-I-2)
375	876	-807(22-I-4)	0	-468(1)	32(22-I-4)	0	0
	885	-862(22-I-4)	0	468(1)	32(22-I-4)	0	0
376	867	-1394(22-I-4)	0	-468(1)	14(22-II-4)	0	0
	876	-1448(22-I-4)	0	468(1)	14(22-II-4)	0	0
377	877	-4297(22-I-4)	190(22-I-3)	-664(22-II-4)	70(22-I-4)	-1827(22-I-4)	334(22-I-3)
	886	-4368(22-I-4)	190(22-I-3)	999(22-I-4)	70(22-I-4)	267(22-I-4)	-370(22-I-3)
378	868	-8639(22-I-4)	235(22-I-3)	-871(1)	29(22-II-4)	1921(22-II-4)	441(22-I-3)
	877	-8710(22-I-4)	235(22-I-3)	453(22-II-4)	29(22-II-4)	-1660(22-I-4)	-432(22-I-3)
379	878	-1056(22-I-4)	0	-468(1)	3(23-II-2)	0	0
	887	-1110(22-I-4)	0	468(1)	3(23-II-2)	0	0
380	869	-1790(22-I-4)	0	-468(1)	3(23-II-2)	0	0
	878	-1844(22-I-4)	0	468(1)	3(23-II-2)	0	0
381	879	-4268(22-I-4)	-189(22-I-1)	-664(22-II-4)	-70(22-I-4)	-1826(22-I-4)	-332(22-I-1)
	888	-4338(22-I-4)	-189(22-I-1)	999(22-I-4)	-70(22-I-4)	268(22-I-4)	369(22-I-1)
382	870	-8581(22-I-4)	-242(22-I-1)	-871(1)	-29(22-II-4)	1921(22-II-4)	-454(22-I-1)
	879	-8651(22-I-4)	-242(22-I-1)	451(22-II-4)	-29(22-II-4)	-1659(22-I-4)	446(22-I-1)
383	880	-796(22-I-4)	0	-468(1)	-32(22-I-4)	0	0
	889	-850(22-I-4)	0	468(1)	-32(22-I-4)	0	0
384	871	-1376(22-I-4)	0	-468(1)	-14(22-II-4)	0	0
	880	-1430(22-I-4)	0	468(1)	-14(22-II-4)	0	0
385	881	-2225(22-I-3)	-537(22-I-2)	-609(22-II-4)	-185(22-I-4)	-936(22-I-4)	-955(22-I-2)
	890	-2296(22-I-3)	-537(22-I-2)	726(22-I-4)	-185(22-I-4)	142(22-I-4)	1040(22-I-2)
386	872	-4368(22-I-3)	-583(22-I-2)	-746(1)	-75(22-II-4)	1257(22-II-4)	-1096(22-I-2)
	881	-4439(22-I-3)	-583(22-I-2)	482(22-II-2)	-75(22-II-4)	-838(22-I-4)	1068(22-I-2)
387	882	502(22-II-3)	0	-468(1)	-51(22-I-4)	0	0
	891	-508(22-I-3)	0	468(1)	-51(22-I-4)	0	0
388	873	548(22-II-4)	0	-468(1)	-21(22-II-4)	0	0
	882	494(22-II-4)	0	468(1)	-21(22-II-4)	0	0
389	225	3565(23-I-2)	-178(1)	-861(2)	-215(22-I-4)	778(22-II-4)	-336(1)
	226	3494(23-I-2)	-178(1)	372(22-II-4)	-215(22-I-4)	-409(22-I-4)	325(1)
390	224	3466(22-I-3)	-215(2)	-565(1)	-93(22-II-4)	591(22-I-3)	-407(2)
	225	3395(22-I-3)	-215(2)	638(2)	-93(22-II-4)	601(22-II-3)	391(2)
391	234	473(23-II-4)	0	-283(1)	-23(22-II-4)	0	0
	235	440(23-II-4)	0	283(1)	-23(22-II-4)	0	0
392	235	314(23-II-4)	0	-283(1)	-51(22-I-4)	0	0
	236	280(23-II-4)	0	283(1)	-51(22-I-4)	0	0

Risultati Analisi Dinamica - Sollecitazioni Massime - Muri discretizzati

Scenario di calcolo : SetNT_SLU_SLE

Muro	Pann.	Sxx kg/cmq	Syy kg/cmq	Sxy kg/cmq	Mxx kg*m/m	Myy kg*m/m	Mxy kg*m/m
1	1	-3.50(22-I-3)	-20.69(23-I-4)	3.60(22-II-3)	622(23-II-2)	-10616(23-I-4)	-1825(23-I-4)
1	2	-0.99(22-I-3)	-16.29(23-I-4)	4.80(22-II-3)	711(23-I-4)	-5980(23-I-4)	-3054(23-I-4)
1	3	0.77(22-I-3)	-12.14(23-I-4)	4.72(22-II-3)	782(23-II-2)	4239(23-II-4)	-2934(23-I-4)
1	4	-2.21(22-II-3)	-7.65(23-I-4)	3.40(22-II-3)	869(23-II-2)	3049(23-II-4)	-3062(23-I-4)
1	5	-3.13(23-I-4)	-17.49(23-I-4)	2.86(22-II-3)	-2066(23-I-4)	-13077(23-I-4)	1506(23-I-2)
1	6	-0.72(23-I-4)	-15.83(23-I-4)	4.89(22-II-3)	-1130(23-I-1)	-6217(23-I-4)	-2549(23-I-4)
1	7	0.40(22-I-2)	-12.96(23-I-4)	4.91(22-II-3)	561(23-II-2)	4268(23-II-4)	-2629(23-I-4)
1	8	1.17(22-I-2)	-10.67(23-I-4)	3.17(22-II-3)	674(23-II-2)	3069(23-II-4)	2550(23-II-4)
1	9	-3.03(23-I-4)	-17.87(23-I-4)	-2.65(22-I-3)	-2308(23-I-4)	-13680(23-I-4)	-1903(23-I-4)
1	10	-0.79(23-I-4)	-16.02(23-I-4)	-4.69(22-I-3)	-1398(23-I-4)	-6471(23-I-4)	2159(23-II-4)
1	11	0.37(23-I-4)	-12.72(23-I-4)	-4.68(22-I-3)	578(23-II-4)	4371(23-II-4)	2544(23-II-4)
1	12	0.83(22-II-4)	-10.45(23-I-4)	3.12(22-II-3)	503(22-I-4)	3029(23-II-4)	2550(23-II-4)
1	13	-3.31(22-II-3)	-21.49(23-I-4)	-3.13(22-I-3)	1166(23-II-4)	-12064(23-I-4)	1420(23-II-4)
1	14	-0.88(22-II-3)	-16.54(23-I-4)	-4.40(22-I-3)	1085(23-II-4)	-6742(23-I-4)	2311(23-I-2)
1	15	0.47(22-II-4)	-11.82(23-I-4)	-4.27(22-I-3)	978(23-II-4)	4597(23-II-4)	2242(23-I-2)
1	16	-1.74(22-I-4)	-7.11(23-I-4)	3.03(22-II-3)	698(23-II-4)	2925(23-II-4)	2288(23-I-2)
2	1	-2.27(22-I-3)	-11.63(23-I-4)	-2.78(22-I-3)	-1197(22-II-3)	-5959(23-I-4)	-3221(23-I-4)
2	2	-0.22(23-I-1)	-7.08(23-I-4)	3.09(22-II-3)	-1176(22-II-3)	-3209(23-I-4)	-2699(23-I-4)
2	3	-0.75(22-II-3)	-3.16(23-I-4)	2.96(22-II-3)	-1201(23-I-4)	-883(23-I-4)	-2564(23-I-4)
2	4	1.58(22-I-2)	-0.72(23-II-4)	1.70(22-II-3)	-1700(23-I-4)	906(22-I-3)	-2285(23-I-4)
2	5	-1.55(22-I-3)	-9.60(23-I-4)	-2.23(22-I-3)	-586(23-I-2)	-5760(23-I-4)	-2599(23-I-4)
2	6	-0.31(23-I-4)	-6.95(23-I-4)	3.34(22-II-3)	-637(22-II-4)	-3145(23-I-4)	2653(23-II-4)
2	7	-0.20(22-II-1)	-3.43(23-I-4)	2.92(22-II-3)	-689(23-II-4)	-662(23-I-4)	2597(23-II-4)
2	8	1.22(22-I-2)	-0.93(22-I-3)	0.85(22-II-3)	-1081(23-I-4)	807(23-I-4)	2489(23-II-4)
2	9	-0.66(23-I-1)	-9.66(23-I-4)	2.24(22-II-3)	-575(23-I-2)	-5820(23-I-4)	2572(23-II-4)
2	10	-0.24(22-I-1)	-7.24(23-I-4)	-3.21(22-I-3)	-600(23-I-2)	-3167(23-I-4)	-2710(23-I-4)
2	11	-0.18(23-II-3)	-3.36(23-I-4)	-2.80(22-I-3)	-822(23-I-2)	-609(23-I-1)	-2732(23-I-4)
2	12	1.37(22-II-3)	-0.67(22-II-3)	0.76(22-II-3)	-1195(23-I-2)	797(23-I-4)	2503(23-II-4)
2	13	1.03(22-I-3)	-11.86(23-I-4)	2.36(22-II-3)	-875(23-I-2)	-6231(23-I-4)	2310(23-I-2)
2	14	-0.29(23-I-4)	-7.41(23-I-4)	-2.93(22-I-3)	-945(23-I-2)	-3302(23-I-4)	2536(23-II-4)
2	15	-0.61(22-I-3)	-3.43(23-I-4)	-2.81(22-I-3)	-1044(23-I-2)	-785(23-I-1)	2693(23-II-4)
2	16	2.07(22-II-3)	-0.83(23-II-4)	-1.67(23-I-4)	-1899(23-I-2)	965(23-I-4)	2078(23-II-4)
3	1	-3.62(22-I-1)	-20.63(23-II-4)	3.75(22-II-1)	-621(23-I-2)	10591(23-II-4)	1816(23-II-4)
3	2	-1.03(22-I-1)	-16.22(23-II-4)	4.97(22-II-1)	-701(23-II-4)	5967(23-II-4)	3042(23-II-4)
3	3	0.81(22-I-1)	-12.06(23-II-4)	4.89(22-II-1)	-784(23-I-2)	-4250(23-I-4)	2925(23-II-4)
3	4	-2.32(22-II-1)	-7.57(23-II-4)	3.55(22-II-1)	-875(23-I-2)	-3051(23-I-4)	3055(23-II-4)
3	5	-3.12(23-II-4)	-17.45(23-II-4)	2.98(22-II-1)	2062(23-II-4)	13045(23-II-4)	-1504(23-II-2)
3	6	-0.71(23-II-4)	-15.79(23-II-4)	5.11(22-II-1)	1128(23-II-3)	6205(23-II-4)	2541(23-II-4)
3	7	0.41(22-I-1)	-12.93(23-II-4)	5.13(22-II-1)	-564(23-I-2)	-4282(23-I-4)	2623(23-II-4)
3	8	1.20(22-I-1)	-10.64(23-II-4)	3.31(22-II-1)	-679(23-I-2)	-3075(23-I-4)	-2552(23-I-4)
3	9	-3.01(23-II-4)	-17.86(23-II-4)	-2.79(22-I-1)	2303(23-II-4)	13647(23-II-4)	1899(23-II-4)
3	10	-0.79(23-II-4)	-16.01(23-II-4)	-4.92(22-I-1)	1396(23-II-4)	6458(23-II-4)	-2153(23-I-4)
3	11	0.38(23-II-4)	-12.72(23-II-4)	-4.92(22-I-1)	-587(23-I-4)	-4388(23-I-4)	-2543(23-I-4)
3	12	0.86(22-II-4)	-10.47(23-II-4)	3.27(22-II-1)	-528(22-I-1)	-3040(23-I-4)	-2554(23-I-4)
3	13	-3.42(22-II-1)	-21.49(23-II-4)	-3.28(22-I-1)	-1171(23-I-4)	12033(23-II-4)	-1413(23-I-4)
3	14	-0.91(22-II-1)	-16.56(23-II-4)	-4.60(22-I-1)	-1094(23-I-4)	6727(23-II-4)	-2311(23-II-2)
3	15	0.48(22-II-1)	-11.87(23-II-4)	-4.47(22-I-1)	-989(23-I-4)	-4617(23-I-4)	-2243(23-II-2)
3	16	-1.80(22-I-1)	-7.18(23-II-4)	3.20(22-II-1)	-707(23-I-4)	-2940(23-I-4)	-2287(23-II-2)
4	1	-2.39(22-I-1)	-11.54(23-II-4)	-2.92(22-I-1)	1288(22-II-1)	5945(23-II-4)	3229(23-II-4)
4	2	-0.22(23-II-2)	-7.04(23-II-4)	3.21(22-II-1)	1302(22-II-1)	3218(23-II-4)	2726(23-II-4)
4	3	-0.79(22-II-1)	-3.17(23-II-4)	3.10(22-II-1)	1108(23-II-4)	906(23-II-4)	2604(23-II-4)
4	4	1.84(22-I-1)	-0.97(22-II-1)	1.88(22-II-1)	1692(22-II-1)	-1090(22-I-1)	2313(23-II-4)
4	5	-1.61(22-I-1)	-9.57(23-II-4)	-2.34(22-I-1)	596(22-II-1)	5751(23-II-4)	-2606(23-I-4)
4	6	-0.31(23-II-4)	-6.93(23-II-4)	3.51(22-II-1)	675(22-II-1)	3152(23-II-4)	-2679(23-I-4)

Muro	Pann.	Sxx	Syy	Sxy	Mxx	Myy	Mxy
4	7	-0.21(22-II-3)	-3.45(23-II-4)	3.09(22-II-1)	625(22-II-1)	686(23-II-4)	-2638(23-I-4)
4	8	1.42(22-I-2)	-0.92(22-I-1)	0.94(22-II-1)	927(23-II-4)	-828(23-II-4)	-2537(23-I-4)
4	9	-0.66(23-II-3)	-9.68(23-II-4)	2.35(22-II-1)	556(23-II-2)	5814(23-II-4)	-2586(23-I-4)
4	10	-0.24(23-II-2)	-7.26(23-II-4)	-3.40(22-I-1)	557(23-II-2)	3170(23-II-4)	2707(23-II-4)
4	11	-0.19(23-I-4)	-3.39(23-II-4)	-2.97(22-I-1)	757(23-II-2)	627(23-II-3)	-2762(23-I-4)
4	12	1.47(22-II-1)	-0.71(22-II-1)	0.83(22-II-1)	1106(23-II-2)	-819(23-II-4)	-2563(23-I-4)
4	13	1.10(22-I-1)	-11.91(23-II-4)	2.48(22-II-1)	851(23-II-3)	6224(23-II-4)	-2314(23-II-2)
4	14	-0.29(23-II-4)	-7.46(23-II-4)	-3.09(22-I-1)	886(23-II-2)	3301(23-II-4)	-2571(23-I-4)
4	15	-0.62(22-I-1)	-3.47(23-II-4)	-2.95(22-I-1)	-1028(23-I-2)	789(23-II-3)	-2739(23-I-4)
4	16	2.24(22-II-1)	-0.80(23-I-4)	-1.73(22-I-1)	1831(23-II-2)	-975(23-II-4)	-2135(23-I-4)
5	1	2.93(22-II-1)	3.16(23-II-4)	-0.93(23-II-4)	-10999(22-II-1)	-11854(23-II-4)	3597(23-II-4)
5	2	3.20(22-II-1)	4.76(23-II-4)	-1.63(23-II-4)	-12005(22-II-1)	-17846(23-II-4)	6101(23-II-4)
5	3	3.75(22-II-1)	6.89(23-II-4)	-2.49(23-II-4)	-14080(22-II-1)	-25841(23-II-4)	9086(23-II-4)
5	4	4.53(22-II-1)	9.47(23-II-4)	-3.74(23-II-4)	-17005(22-II-1)	-35529(23-II-4)	14027(23-II-4)
5	5	1.51(23-II-1)	2.85(23-II-4)	-1.09(23-II-4)	-5655(23-II-1)	-10676(23-II-4)	4191(23-II-4)
5	6	1.66(23-II-1)	3.74(23-II-4)	-1.75(23-II-4)	-6210(23-II-1)	-14036(23-II-4)	6547(23-II-4)
5	7	1.91(23-II-1)	4.62(23-II-4)	-2.20(23-II-4)	-7151(23-II-1)	-17311(23-II-4)	8228(23-II-4)
5	8	2.18(23-II-1)	5.54(23-II-4)	-2.59(23-II-4)	-8161(23-II-1)	-20767(23-II-4)	9697(23-II-4)
5	9	2.46(22-I-1)	2.78(23-II-4)	-1.02(23-I-2)	-9223(22-I-1)	-10407(23-II-4)	3983(23-I-2)
5	10	2.51(22-I-1)	3.64(23-II-4)	-1.49(23-I-2)	-9417(22-I-1)	-13636(23-II-4)	5689(23-I-2)
5	11	2.58(22-I-1)	4.48(23-II-4)	-1.83(23-I-2)	-9693(22-I-1)	-16810(23-II-4)	6923(23-I-2)
5	12	2.70(23-II-4)	5.38(23-II-4)	-2.11(23-I-2)	-10111(23-II-4)	-20162(23-II-4)	7990(23-I-2)
5	13	4.08(22-I-1)	2.94(23-II-4)	-1.04(23-I-2)	-15309(22-I-1)	-11043(23-II-4)	4043(23-I-2)
5	14	4.32(22-I-1)	4.37(23-II-4)	-1.50(23-I-2)	-16208(22-I-1)	-16371(23-II-4)	5723(23-I-2)
5	15	4.82(22-I-1)	6.23(23-II-4)	1.98(23-II-2)	-18071(22-I-1)	-23363(23-II-4)	-7241(23-II-2)
5	16	5.50(22-I-1)	8.51(23-II-4)	2.80(23-II-2)	-20621(22-I-1)	-31903(23-II-4)	-10499(23-II-2)
6	1	4.36(22-II-3)	9.49(23-I-4)	3.75(23-I-4)	-16344(22-II-3)	-35587(23-I-4)	-14065(23-I-4)
6	2	3.60(22-II-3)	6.90(23-I-4)	2.49(23-I-4)	-13503(22-II-3)	-25883(23-I-4)	-9112(23-I-4)
6	3	3.06(22-II-3)	4.77(23-I-4)	1.64(23-I-4)	-11488(22-II-3)	-17873(23-I-4)	-6117(23-I-4)
6	4	2.80(22-II-3)	3.17(23-I-4)	0.93(23-I-4)	-10504(22-II-3)	-11871(23-I-4)	-3603(23-I-4)
6	5	2.18(23-I-3)	5.54(23-I-4)	2.60(23-I-4)	-8185(23-I-3)	-20791(23-I-4)	-9753(23-I-4)
6	6	1.91(23-I-3)	4.62(23-I-4)	2.21(23-I-4)	-7171(23-I-3)	-17332(23-I-4)	-8270(23-I-4)
6	7	1.66(23-I-3)	3.75(23-I-4)	1.75(23-I-4)	-6226(23-I-3)	-14054(23-I-4)	-6576(23-I-4)
6	8	1.51(23-I-3)	2.85(23-I-4)	1.09(23-I-4)	-5666(23-I-3)	-10691(23-I-4)	-4205(23-I-4)
6	9	2.73(23-I-4)	5.38(23-I-4)	2.12(23-II-2)	-10220(23-I-4)	-20191(23-I-4)	-8000(23-II-2)
6	10	2.50(22-I-3)	4.49(23-I-4)	1.83(23-II-2)	-9393(22-I-3)	-16835(23-I-4)	-6928(23-II-2)
6	11	2.43(22-I-3)	3.64(23-I-4)	1.49(23-II-2)	-9119(22-I-3)	-13656(23-I-4)	-5689(23-II-2)
6	12	2.38(22-I-3)	2.78(23-I-4)	1.02(23-II-2)	-8924(22-I-3)	-10423(23-I-4)	-3979(23-II-2)
6	13	5.28(22-I-3)	8.52(23-I-4)	-2.82(23-I-2)	-19789(22-I-3)	-31961(23-I-4)	10567(23-I-2)
6	14	4.62(22-I-3)	6.24(23-I-4)	-1.99(23-I-2)	-17323(22-I-3)	-23405(23-I-4)	7297(23-I-2)
6	15	4.14(22-I-3)	4.37(23-I-4)	1.49(23-II-2)	-15521(22-I-3)	-16399(23-I-4)	-5716(23-II-2)
6	16	3.91(22-I-3)	2.95(23-I-4)	1.04(23-II-2)	-14645(22-I-3)	-11062(23-I-4)	-4037(23-II-2)
7	1	-3.19(23-II-2)	-24.30(23-II-2)	2.71(22-II-1)	-1163(23-I-2)	14111(23-II-2)	1067(23-I-2)
7	2	-1.04(23-II-2)	-18.84(23-II-2)	4.10(22-II-1)	-802(23-I-2)	8012(23-II-2)	1719(23-II-4)
7	3	0.44(23-II-2)	-13.59(23-II-2)	4.07(22-II-1)	-740(23-I-2)	-5476(23-I-2)	1625(23-I-2)
7	4	-1.26(22-II-1)	-8.43(23-II-2)	-2.72(22-I-1)	-430(22-II-1)	-3636(23-I-2)	1705(23-II-4)
7	5	-3.98(23-II-2)	-19.44(23-II-2)	2.56(22-II-1)	2602(23-II-2)	16026(23-II-2)	-1554(23-II-2)
7	6	-1.18(23-II-2)	-17.95(23-II-2)	4.48(22-II-1)	1406(23-II-2)	7746(23-II-2)	1702(23-I-2)
7	7	0.46(23-II-2)	-14.58(23-II-2)	4.50(22-II-1)	-433(23-I-4)	-5293(23-I-2)	2013(23-I-2)
7	8	1.30(23-II-2)	-12.32(23-II-2)	-2.92(22-I-1)	-752(23-II-2)	-3821(23-I-2)	1972(23-I-2)
7	9	-3.92(23-II-2)	-19.03(23-II-2)	-2.82(22-I-1)	2357(23-II-2)	15379(23-II-2)	1152(23-I-2)
7	10	-1.09(23-II-2)	-17.70(23-II-2)	-4.74(22-I-1)	1092(23-II-2)	7499(23-II-2)	-2248(23-II-2)
7	11	0.44(22-II-1)	-14.79(23-II-2)	-4.74(22-I-1)	-539(23-I-4)	-5229(23-I-2)	-2242(23-II-2)
7	12	1.50(22-II-1)	-12.55(23-II-2)	-3.05(22-I-1)	-941(23-II-2)	-3925(23-I-2)	2053(23-I-2)
7	13	-3.80(22-II-1)	-23.11(23-II-2)	-3.60(22-I-1)	-613(23-I-1)	12559(23-II-2)	-1589(23-II-2)
7	14	-1.17(22-II-1)	-18.36(23-II-2)	-4.71(22-I-1)	-876(23-II-2)	7259(23-II-2)	-2923(23-II-2)
7	15	0.84(22-II-1)	-13.91(23-II-2)	-4.61(22-I-1)	-661(23-I-4)	-5251(23-I-2)	-2714(23-II-2)
7	16	2.48(22-II-1)	-9.16(23-II-2)	-3.39(22-I-1)	-913(23-II-2)	-3919(23-I-2)	-2910(23-II-2)
8	1	4.74(22-II-1)	3.27(23-II-2)	-0.73(23-II-4)	-17773(22-II-1)	-12265(23-II-2)	2802(23-II-4)
8	2	4.97(22-II-1)	4.89(23-II-2)	-1.17(23-II-4)	-18619(22-II-1)	-18328(23-II-2)	4367(23-II-4)
8	3	5.42(22-II-1)	7.03(23-II-2)	-1.66(23-II-4)	-20322(22-II-1)	-26345(23-II-2)	6031(23-II-4)
8	4	6.03(22-II-1)	9.64(23-II-2)	-2.41(23-II-4)	-22604(22-II-1)	-36137(23-II-2)	9034(23-II-4)
8	5	3.49(23-II-2)	3.05(23-II-2)	-0.71(23-II-4)	-13091(23-II-2)	-11433(23-II-2)	2716(23-II-4)
8	6	3.65(23-II-2)	4.00(23-II-2)	-1.07(23-II-4)	-13669(23-II-2)	-14982(23-II-2)	3997(23-II-4)
8	7	3.90(23-II-2)	4.92(23-II-2)	-1.40(22-I-1)	-14627(23-II-2)	-18460(23-II-2)	5349(22-I-1)
8	8	4.14(23-II-2)	5.90(23-II-2)	-1.70(22-I-1)	-15522(23-II-2)	-22117(23-II-2)	6504(22-I-1)

Muro	Pann.	Sxx	Syy	Sxy	Mxx	Myy	Mxy
8	9	3.26(23-II-2)	3.13(23-II-2)	0.74(23-II-2)	-12241(23-II-2)	-11730(23-II-2)	-2789(23-II-2)
8	10	3.44(23-II-2)	4.12(23-II-2)	1.21(23-II-2)	-12887(23-II-2)	-15439(23-II-2)	-4464(23-II-2)
8	11	3.68(23-II-2)	5.08(23-II-2)	1.52(23-II-2)	-13782(23-II-2)	-19041(23-II-2)	-5614(23-II-2)
8	12	3.90(23-II-2)	6.09(23-II-2)	1.79(23-II-2)	-14613(23-II-2)	-22833(23-II-2)	-6671(23-II-2)
8	13	2.23(22-I-1)	3.50(23-II-2)	0.52(23-I-4)	-8363(22-I-1)	-13128(23-II-2)	-1995(23-I-4)
8	14	2.50(22-I-1)	5.33(23-II-2)	1.01(23-II-2)	-9384(22-I-1)	-19990(23-II-2)	-3678(23-II-2)
8	15	3.03(22-I-1)	7.79(23-II-2)	1.77(23-II-2)	-11356(22-I-1)	-29224(23-II-2)	-6287(23-II-2)
8	16	3.76(22-I-1)	10.79(23-II-2)	3.03(23-II-2)	-14088(22-I-1)	-40459(23-II-2)	-11380(23-II-2)
9	1	-3.22(23-I-2)	-24.27(23-I-2)	2.55(22-II-3)	1169(23-II-2)	-14108(23-I-2)	-1072(23-II-2)
9	2	-1.05(23-I-2)	-18.82(23-I-2)	3.89(22-II-3)	813(23-II-2)	-8010(23-I-2)	-1714(23-I-4)
9	3	0.45(23-I-2)	-13.58(23-I-2)	3.87(22-II-3)	747(23-II-2)	5461(23-II-2)	-1627(23-II-2)
9	4	-1.22(22-II-2)	-8.44(23-I-2)	-2.60(22-I-3)	438(22-II-3)	3619(23-II-2)	-1706(23-I-4)
9	5	-4.01(23-I-2)	-19.40(23-I-2)	2.43(22-II-3)	-2600(23-I-2)	-16024(23-I-2)	1557(23-I-2)
9	6	-1.19(23-I-2)	-17.94(23-I-2)	4.26(22-II-3)	-1401(23-I-2)	-7744(23-I-2)	-1706(23-II-2)
9	7	0.46(23-I-2)	-14.60(23-I-2)	4.27(22-II-3)	432(23-II-4)	5276(23-II-2)	-2019(23-II-2)
9	8	1.31(23-I-2)	-12.36(23-I-2)	-2.80(22-I-3)	750(23-I-2)	3796(23-II-2)	-1981(23-II-2)
9	9	-3.94(23-I-2)	-19.00(23-I-2)	-2.69(22-I-3)	-2357(23-I-2)	-15381(23-I-2)	-1155(23-II-2)
9	10	-1.11(23-I-2)	-17.70(23-I-2)	-4.55(22-I-3)	-1091(23-I-2)	-7498(23-I-2)	2249(23-I-2)
9	11	0.44(23-I-2)	-14.83(23-I-2)	-4.55(22-I-3)	531(23-II-4)	5211(23-II-2)	2242(23-I-2)
9	12	1.44(22-II-3)	-12.62(23-I-2)	-2.92(22-I-3)	938(23-I-2)	3897(23-II-2)	-2062(23-II-2)
9	13	-3.68(22-II-3)	-23.12(23-I-2)	-3.43(22-I-3)	610(23-II-3)	-12562(23-I-2)	1594(23-I-2)
9	14	-1.13(22-II-3)	-18.39(23-I-2)	-4.54(22-I-3)	880(23-I-2)	-7260(23-I-2)	2923(23-I-2)
9	15	0.81(22-II-3)	-13.96(23-I-2)	-4.45(22-I-3)	645(23-II-4)	5230(23-II-2)	2712(23-I-2)
9	16	-2.37(22-I-3)	-9.24(23-I-2)	-3.24(22-I-3)	912(23-I-2)	3892(23-II-2)	2911(23-I-2)
10	1	5.81(22-II-3)	9.63(23-I-2)	2.41(23-I-4)	-21800(22-II-3)	-36113(23-I-2)	-9041(23-I-4)
10	2	5.23(22-II-3)	7.02(23-I-2)	1.66(23-I-4)	-19595(22-II-3)	-26326(23-I-2)	-6031(23-I-4)
10	3	4.79(22-II-3)	4.88(23-I-2)	1.17(23-I-4)	-17950(22-II-3)	-18314(23-I-2)	-4358(23-I-4)
10	4	4.57(22-II-3)	3.27(23-I-2)	0.72(23-I-4)	-17127(22-II-3)	-12256(23-I-2)	-2788(23-I-4)
10	5	4.21(23-I-2)	5.89(23-I-2)	1.60(22-I-3)	-15773(23-I-2)	-22082(23-I-2)	-6114(22-I-3)
10	6	3.97(23-I-2)	4.92(23-I-2)	1.31(22-I-3)	-14884(23-I-2)	-18434(23-I-2)	-5018(22-I-3)
10	7	3.72(23-I-2)	3.99(23-I-2)	1.07(23-I-4)	-13932(23-I-2)	-14963(23-I-2)	-3996(23-I-4)
10	8	3.56(23-I-2)	3.05(23-I-2)	0.71(23-I-4)	-13358(23-I-2)	-11419(23-I-2)	-2706(23-I-4)
10	9	3.96(23-I-2)	6.08(23-I-2)	-1.81(23-I-2)	-14852(23-I-2)	-22788(23-I-2)	6743(23-I-2)
10	10	3.74(23-I-2)	5.07(23-I-2)	-1.53(23-I-2)	-14029(23-I-2)	-19006(23-I-2)	5678(23-I-2)
10	11	3.50(23-I-2)	4.11(23-I-2)	-1.22(23-I-2)	-13142(23-I-2)	-15413(23-I-2)	4517(23-I-2)
10	12	3.33(23-I-2)	3.12(23-I-2)	-0.75(23-I-2)	-12501(23-I-2)	-11712(23-I-2)	2827(23-I-2)
10	13	3.73(22-I-3)	10.77(23-I-2)	-3.05(23-I-2)	-13993(22-I-3)	-40393(23-I-2)	11432(23-I-2)
10	14	3.02(22-I-3)	7.78(23-I-2)	-1.79(23-I-2)	-11334(22-I-3)	-29177(23-I-2)	6343(23-I-2)
10	15	2.51(22-I-3)	5.32(23-I-2)	-1.02(23-I-2)	-9415(22-I-3)	-19958(23-I-2)	3731(23-I-2)
10	16	2.24(22-I-3)	3.50(23-I-2)	-0.52(23-II-4)	-8415(22-I-3)	-13108(23-I-2)	2016(23-II-4)
11	1	-0.67(22-I-1)	-13.53(23-II-2)	-2.04(22-I-1)	704(23-II-4)	7259(23-II-2)	1692(23-II-4)
11	2	-0.29(23-II-2)	-8.40(23-II-2)	2.54(22-II-1)	679(23-II-4)	3793(23-II-2)	1541(23-I-2)
11	3	-0.36(22-II-1)	-3.84(23-II-2)	2.48(23-II-2)	-1118(23-II-2)	-943(23-I-2)	1522(23-I-2)
11	4	1.52(22-I-1)	-0.70(23-I-1)	1.31(22-II-1)	1849(23-I-2)	-1391(23-II-2)	1237(23-II-4)
11	5	-0.81(23-II-2)	-11.19(23-II-2)	-1.93(22-I-1)	523(23-II-4)	6988(23-II-2)	1831(23-I-2)
11	6	-0.23(22-II-1)	-8.26(23-II-2)	2.75(22-II-1)	942(23-I-2)	3703(23-II-2)	-1790(23-II-2)
11	7	-0.21(23-I-2)	-3.92(23-II-2)	2.32(22-II-1)	-1495(23-II-2)	-801(23-I-2)	1754(23-I-2)
11	8	1.59(23-II-2)	-0.60(23-I-2)	-0.68(22-I-1)	1858(23-I-2)	-1320(23-II-2)	1637(23-I-2)
11	9	-1.62(22-II-1)	-11.23(23-II-2)	1.96(22-II-1)	549(23-II-4)	7000(23-II-2)	1908(23-I-2)
11	10	-0.31(23-II-2)	-8.09(23-II-2)	-2.83(22-I-1)	678(23-I-2)	3720(23-II-2)	1886(23-I-2)
11	11	-0.22(22-I-1)	-3.97(23-II-2)	-2.43(22-I-1)	1162(23-I-2)	-850(23-I-2)	1838(23-I-2)
11	12	1.65(23-II-2)	-0.97(22-II-1)	-0.72(22-I-1)	-1503(23-II-2)	-1260(23-II-2)	1756(23-I-2)
11	13	-2.19(22-II-1)	-13.57(23-II-2)	2.56(22-II-1)	1143(22-I-1)	7207(23-II-2)	-2753(23-II-2)
11	14	-0.21(23-II-3)	-8.26(23-II-2)	-2.64(22-I-1)	1173(22-I-1)	3819(23-II-2)	-2066(23-II-2)
11	15	0.65(22-II-1)	-3.69(23-II-2)	-2.49(22-I-1)	675(22-I-1)	-1058(23-I-2)	-1997(23-II-2)
11	16	1.40(22-II-4)	-0.94(22-I-1)	-1.44(22-I-1)	-1154(22-II-1)	-1175(23-II-2)	-1915(23-II-2)
12	1	-0.65(22-I-3)	-13.56(23-I-2)	-1.98(22-I-3)	-690(23-I-4)	-7292(23-I-2)	-1703(23-I-4)
12	2	-0.29(23-I-2)	-8.42(23-I-2)	2.44(23-I-2)	-659(23-I-2)	-3816(23-I-2)	-1552(23-II-2)
12	3	-0.37(22-II-2)	-3.84(23-I-2)	2.50(23-I-2)	1180(23-I-2)	-927(23-I-2)	-1543(23-II-2)
12	4	-1.40(22-II-3)	-0.73(23-II-2)	1.24(22-II-3)	-1866(23-II-2)	1370(23-I-2)	-1296(23-I-4)
12	5	-0.83(23-I-2)	-11.24(23-I-2)	-1.86(22-I-3)	-519(23-I-4)	-7023(23-I-2)	-1843(23-II-2)
12	6	-0.24(22-II-2)	-8.34(23-I-2)	2.60(22-II-3)	-950(23-II-2)	-3742(23-I-2)	-1780(23-II-2)
12	7	-0.19(23-II-2)	-3.97(23-I-2)	2.17(22-II-3)	1510(23-I-2)	-810(23-I-2)	-1779(23-II-2)
12	8	1.55(23-I-2)	-0.60(23-II-2)	-0.67(22-I-3)	-1891(23-II-2)	1246(23-I-2)	-1677(23-II-2)
12	9	-1.56(22-II-3)	-11.32(23-I-2)	1.87(22-II-3)	-558(23-I-4)	-7038(23-I-2)	-1922(23-II-2)
12	10	-0.31(23-I-2)	-8.22(23-I-2)	-2.71(22-I-3)	-702(23-II-2)	-3777(23-I-2)	-1903(23-II-2)

Muro	Pann.	Sxx	Syy	Sxy	Mxx	Myy	Mxy
12	11	-0.21(22-I-2)	-4.10(23-I-2)	-2.32(22-I-3)	-1201(23-II-2)	-893(23-I-2)	-1864(23-II-2)
12	12	1.60(23-I-2)	-1.07(22-II-3)	-0.70(22-I-3)	-1526(23-II-2)	1130(23-I-2)	-1815(23-II-2)
12	13	-2.09(22-II-3)	-13.71(23-I-2)	2.46(22-II-3)	-1100(22-I-3)	-7254(23-I-2)	2749(23-I-2)
12	14	-0.21(23-I-1)	-8.44(23-I-2)	-2.55(22-I-3)	-1139(22-I-3)	-3894(23-I-2)	-2055(23-II-2)
12	15	-0.61(22-I-3)	-3.92(23-I-2)	-2.40(22-I-3)	-729(22-I-2)	-1139(23-I-2)	-2002(23-II-2)
12	16	1.35(22-II-4)	-0.89(22-I-2)	-1.38(22-I-3)	-1133(22-I-3)	991(23-I-2)	-1813(23-II-2)
13	1	4.15(22-I-1)	2.53(23-II-4)	-1.44(23-II-4)	-15574(22-I-1)	-9500(23-II-4)	5387(23-II-4)
13	2	4.40(22-I-1)	3.67(23-II-4)	-2.11(23-II-4)	-16498(22-I-1)	-13748(23-II-4)	7658(23-II-4)
13	3	5.04(22-I-1)	5.11(23-II-4)	-2.80(23-II-4)	-18911(22-I-1)	-19162(23-II-4)	9913(23-II-4)
13	4	6.26(22-I-1)	6.75(23-II-4)	-4.14(23-II-4)	-23484(22-I-1)	-25299(23-II-4)	15514(23-II-4)
13	5	-3.59(22-II-1)	1.77(23-II-1)	-1.36(23-II-4)	13458(22-II-1)	-6648(23-II-1)	5157(23-II-4)
13	6	-3.65(22-II-1)	2.00(23-II-1)	-1.92(23-II-4)	13690(22-II-1)	-7503(23-II-1)	7165(23-II-4)
13	7	-3.83(22-II-1)	2.00(23-II-4)	-2.23(23-II-4)	14351(22-II-1)	-7501(23-II-4)	8352(23-II-4)
13	8	-4.12(22-II-1)	1.83(2)	-2.44(23-II-4)	15453(22-II-1)	-6876(2)	9221(23-II-4)
13	9	-2.43(22-II-1)	1.66(23-II-1)	-1.13(23-I-2)	9122(22-II-1)	-6235(23-II-1)	4385(23-I-2)
13	10	-2.38(22-II-1)	1.87(23-II-1)	-1.61(23-I-2)	8930(22-II-1)	-7000(23-II-1)	6133(23-I-2)
13	11	-2.34(22-II-1)	1.83(23-II-1)	-1.93(23-I-2)	8785(22-II-1)	-6848(23-II-1)	7325(23-I-2)
13	12	-2.38(22-II-1)	1.76(2)	-2.19(23-I-2)	8917(22-II-1)	-6602(2)	8311(23-I-2)
13	13	-1.43(23-II-1)	2.10(23-II-1)	1.19(23-II-2)	5374(23-II-1)	-7882(23-II-1)	4500(23-I-2)
13	14	-1.22(23-II-1)	3.05(23-II-1)	1.79(23-II-2)	4565(23-II-1)	-11450(23-II-1)	-6521(23-II-2)
13	15	-0.91(23-II-2)	4.32(23-II-1)	2.44(23-II-2)	3429(23-II-2)	-16185(23-II-1)	-8584(23-II-2)
13	16	0.44(23-I-2)	5.84(23-II-1)	3.59(23-II-2)	-1667(23-I-2)	-21904(23-II-1)	-13466(23-II-2)
14	1	-1.33(23-II-1)	2.11(23-II-1)	-1.06(23-II-4)	4989(23-II-1)	-7899(23-II-1)	4021(23-II-4)
14	2	-1.12(23-II-1)	3.06(23-II-1)	-1.60(23-II-4)	4202(23-II-1)	-11465(23-II-1)	5854(23-II-4)
14	3	-0.83(23-II-1)	4.32(23-II-1)	-2.17(23-II-4)	3110(23-II-1)	-16194(23-II-1)	7646(23-II-4)
14	4	0.40(23-I-4)	5.85(23-II-1)	-3.17(23-II-4)	-1500(23-I-4)	-21921(23-II-1)	11891(23-II-4)
14	5	-2.46(22-I-1)	1.70(23-II-2)	-0.99(23-I-2)	9214(22-I-1)	-6382(23-II-2)	3865(23-I-2)
14	6	-2.41(22-I-1)	1.90(23-II-2)	-1.37(23-I-2)	9051(22-I-1)	-7141(23-II-2)	5244(23-I-2)
14	7	-2.39(22-I-1)	1.86(23-II-2)	-1.63(23-I-2)	8963(22-I-1)	-6978(23-II-2)	6169(23-I-2)
14	8	-2.45(22-I-1)	1.78(2)	-1.79(23-I-2)	9183(22-I-1)	-6662(2)	-6818(23-II-2)
14	9	-3.53(22-I-1)	1.92(23-II-2)	1.38(23-II-2)	13225(22-I-1)	-7195(23-II-2)	-5242(23-II-2)
14	10	-3.59(22-I-1)	2.18(23-II-2)	1.95(23-II-2)	13463(22-I-1)	-8170(23-II-2)	-7252(23-II-2)
14	11	-3.77(22-I-1)	2.17(23-II-2)	2.25(23-II-2)	14143(22-I-1)	-8128(23-II-2)	-8391(23-II-2)
14	12	-4.08(22-I-1)	1.92(23-II-2)	2.43(23-II-2)	15299(22-I-1)	-7187(23-II-2)	-9200(23-II-2)
14	13	4.61(22-II-1)	2.82(23-II-2)	1.42(23-II-2)	-17278(22-II-1)	-10563(23-II-2)	-5255(23-II-2)
14	14	4.85(22-II-1)	4.11(23-II-2)	2.08(23-II-2)	-18188(22-II-1)	-15429(23-II-2)	-7486(23-II-2)
14	15	5.48(22-II-1)	5.78(23-II-2)	2.83(23-II-2)	-20538(22-II-1)	-21686(23-II-2)	-9925(23-II-2)
14	16	6.67(22-II-1)	7.68(23-II-2)	4.35(23-II-2)	-25017(22-II-1)	-28798(23-II-2)	-16305(23-II-2)
15	1	-0.61(22-I-1)	3.09(23-II-4)	-0.34(23-I-2)	2297(22-I-1)	-11588(23-II-4)	1211(23-I-2)
15	2	-0.92(23-II-4)	4.46(23-II-4)	0.45(23-II-2)	3463(23-II-4)	-16737(23-II-4)	-2089(23-II-2)
15	3	-2.10(23-II-4)	6.07(23-II-4)	1.05(22-I-1)	7892(23-II-4)	-22778(23-II-4)	-4538(22-I-1)
15	4	-4.48(23-II-4)	8.07(23-II-4)	-1.29(22-II-1)	16809(23-II-4)	-30260(23-II-4)	4851(22-II-1)
15	5	-2.26(22-I-1)	1.96(23-II-4)	-0.63(23-I-2)	8466(22-I-1)	-7336(23-II-4)	2391(23-I-2)
15	6	-2.81(23-II-4)	2.23(23-II-4)	0.94(23-II-2)	10524(23-II-4)	-8380(23-II-4)	-3639(23-II-2)
15	7	-3.94(23-II-4)	2.48(23-II-4)	1.14(23-II-2)	14761(23-II-4)	-9318(23-II-4)	-4372(23-II-2)
15	8	-5.32(23-II-4)	2.58(23-II-4)	-1.23(23-I-2)	19952(23-II-4)	-9662(23-II-4)	4680(23-I-2)
15	9	-3.49(22-I-1)	1.99(23-II-4)	-0.78(23-I-2)	13086(22-I-1)	-7481(23-II-4)	3063(23-I-2)
15	10	-3.69(22-I-1)	2.33(23-II-4)	-1.19(23-I-2)	13850(22-I-1)	-8743(23-II-4)	4584(23-I-2)
15	11	-4.04(22-I-1)	2.39(23-II-4)	-1.51(23-I-2)	15157(22-I-1)	-8949(23-II-4)	5776(23-I-2)
15	12	-4.48(22-I-1)	2.19(23-II-4)	-1.84(23-I-2)	16796(22-I-1)	-8210(23-II-4)	6989(23-I-2)
15	13	-3.57(22-I-1)	2.79(23-II-4)	-0.87(23-I-2)	13376(22-I-1)	-10446(23-II-4)	3388(23-I-2)
15	14	-3.67(22-I-1)	4.09(23-II-4)	-1.30(23-I-2)	13779(22-I-1)	-15352(23-II-4)	4990(23-I-2)
15	15	-4.12(22-I-1)	5.78(23-II-4)	-1.65(23-I-2)	15442(22-I-1)	-21683(23-II-4)	6339(23-I-2)
15	16	4.94(22-II-1)	7.71(23-II-4)	2.54(23-II-1)	-18509(22-II-1)	-28898(23-II-4)	-9541(23-II-1)
15	1	5.97(22-I-3)	6.76(23-I-4)	4.14(23-I-4)	-22389(22-I-3)	-25345(23-I-4)	-15527(23-I-4)
15	2	4.80(22-I-3)	5.12(23-I-4)	2.80(23-I-4)	-18011(22-I-3)	-19196(23-I-4)	-9914(23-I-4)
15	3	4.19(22-I-3)	3.67(23-I-4)	2.11(23-I-4)	-15700(22-I-3)	-13772(23-I-4)	-7658(23-I-4)
15	4	3.95(22-I-3)	2.54(23-I-4)	1.44(23-I-4)	-14808(22-I-3)	-9516(23-I-4)	-5386(23-I-4)
15	5	-3.95(22-II-3)	1.83(2)	2.43(23-I-4)	14820(22-II-3)	-6878(2)	-9194(23-I-4)
15	6	-3.66(22-II-3)	2.00(23-I-4)	2.23(23-I-4)	13731(22-II-3)	-7510(23-I-4)	-8332(23-I-4)
15	7	-3.49(22-II-3)	2.00(23-I-3)	1.92(23-I-4)	13080(22-II-3)	-7513(23-I-3)	-7152(23-I-4)
15	8	-3.43(22-II-3)	1.78(23-I-3)	1.35(23-I-4)	12851(22-II-3)	-6658(23-I-3)	-5149(23-I-4)
15	9	-2.30(22-II-3)	1.76(2)	2.18(23-II-2)	8617(22-II-3)	-6599(2)	-8250(23-II-2)
15	10	-2.26(22-II-3)	1.83(23-I-3)	1.92(23-II-2)	8457(22-II-3)	-6848(23-I-3)	-7278(23-II-2)
15	11	-2.29(22-II-3)	1.87(23-I-3)	1.60(23-II-2)	8580(22-II-3)	-7002(23-I-3)	-6099(23-II-2)
15	12	-2.33(22-II-3)	1.66(23-I-3)	1.13(23-II-2)	8756(22-II-3)	-6239(23-I-3)	-4366(23-II-2)

Muro	Pann.	Sxx	Syy	Sxy	Mxx	Myy	Mxy
15	13	0.44(23-II-2)	5.84(23-I-3)	-3.59(23-I-2)	-1660(23-II-2)	-21906(23-I-3)	13458(23-I-2)
15	14	-0.90(23-I-2)	4.32(23-I-3)	-2.44(23-I-2)	3364(23-I-2)	-16186(23-I-3)	8574(23-I-2)
15	15	-1.20(23-I-3)	3.05(23-I-3)	-1.79(23-I-2)	4489(23-I-3)	-11451(23-I-3)	6515(23-I-2)
15	16	-1.41(23-I-3)	2.10(23-I-3)	-1.19(23-I-2)	5300(23-I-3)	-7884(23-I-3)	4495(23-I-2)
16	1	0.40(23-II-4)	5.85(23-I-3)	3.16(23-I-4)	-1482(23-II-4)	-21921(23-I-3)	-11868(23-I-4)
16	2	-0.80(23-I-3)	4.32(23-I-3)	2.17(23-I-4)	3017(23-I-3)	-16193(23-I-3)	-7618(23-I-4)
16	3	-1.10(23-I-3)	3.06(23-I-3)	1.60(23-I-4)	4113(23-I-3)	-11463(23-I-3)	-5828(23-I-4)
16	4	-1.31(23-I-3)	2.11(23-I-3)	1.06(23-I-4)	4901(23-I-3)	-7898(23-I-3)	-4005(23-I-4)
16	5	-2.35(22-I-3)	1.77(2)	-1.78(23-I-2)	8805(22-I-3)	-6653(2)	6798(23-I-2)
16	6	-2.28(22-I-3)	1.86(23-I-2)	1.62(23-II-2)	8559(22-I-3)	-6973(23-I-2)	-6125(23-II-2)
16	7	-2.30(22-I-3)	1.90(23-I-2)	1.36(23-II-2)	8628(22-I-3)	-7139(23-I-2)	-5211(23-II-2)
16	8	-2.34(22-I-3)	1.70(23-I-2)	0.99(23-II-2)	8777(22-I-3)	-6382(23-I-2)	3871(23-I-2)
16	9	-3.88(22-I-3)	1.91(23-I-2)	-2.43(23-I-2)	14567(22-I-3)	-7176(23-I-2)	9191(23-I-2)
16	10	-3.58(22-I-3)	2.17(23-I-2)	-2.25(23-I-2)	13427(22-I-3)	-8122(23-I-2)	8392(23-I-2)
16	11	-3.40(22-I-3)	2.18(23-I-2)	-1.95(23-I-2)	12760(22-I-3)	-8166(23-I-2)	7260(23-I-2)
16	12	-3.34(22-I-3)	1.92(23-I-2)	-1.39(23-I-2)	12525(22-I-3)	-7193(23-I-2)	5253(23-I-2)
16	13	6.39(22-II-3)	7.68(23-I-2)	-4.35(23-I-2)	-23975(22-II-3)	-28783(23-I-2)	16330(23-I-2)
16	14	5.25(22-II-3)	5.78(23-I-2)	-2.84(23-I-2)	-19678(22-II-3)	-21676(23-I-2)	9948(23-I-2)
16	15	4.65(22-II-3)	4.11(23-I-2)	-2.09(23-I-2)	-17423(22-II-3)	-15422(23-I-2)	7508(23-I-2)
16	16	4.41(22-II-3)	2.82(23-I-2)	-1.42(23-I-2)	-16543(22-II-3)	-10559(23-I-2)	5273(23-I-2)
16	1	-4.48(23-I-4)	8.04(23-I-4)	1.24(22-II-3)	16788(23-I-4)	-30159(23-I-4)	-4648(22-II-3)
16	2	-2.10(23-I-4)	6.06(23-I-4)	-1.03(22-I-3)	7883(23-I-4)	-22712(23-I-4)	4435(22-I-3)
16	3	-0.92(23-I-4)	4.45(23-I-4)	-0.46(23-I-2)	3460(23-I-4)	-16699(23-I-4)	2114(23-I-2)
16	4	-0.60(22-I-3)	3.08(23-I-4)	0.33(23-II-2)	2233(22-I-3)	-11567(23-I-4)	-1200(23-II-2)
16	5	-5.32(23-I-4)	2.57(23-I-4)	1.22(23-II-2)	19936(23-I-4)	-9641(23-I-4)	-4642(23-II-2)
16	6	-3.93(23-I-4)	2.48(23-I-4)	-1.15(23-I-2)	14751(23-I-4)	-9301(23-I-4)	4411(23-I-2)
16	7	-2.80(23-I-4)	2.23(23-I-4)	-0.95(23-I-2)	10518(23-I-4)	-8367(23-I-4)	3672(23-I-2)
16	8	-2.18(22-I-3)	1.95(23-I-4)	0.62(23-II-2)	8182(22-I-3)	-7328(23-I-4)	-2372(23-II-2)
16	9	-4.37(23-I-4)	2.19(23-I-4)	1.82(23-II-2)	16388(23-I-4)	-8204(23-I-4)	-6939(23-II-2)
16	10	-3.89(22-I-3)	2.39(23-I-4)	1.50(23-II-2)	14580(22-I-3)	-8948(23-I-4)	-5733(23-II-2)
16	11	-3.55(22-I-3)	2.33(23-I-4)	1.18(23-II-2)	13302(22-I-3)	-8745(23-I-4)	-4549(23-II-2)
16	12	-3.35(22-I-3)	2.00(23-I-4)	-0.78(23-I-2)	12557(22-I-3)	-7483(23-I-4)	-3039(23-II-2)
16	13	4.69(22-II-3)	7.72(23-I-4)	-2.56(23-I-3)	-17578(22-II-3)	-28946(23-I-4)	9592(23-I-3)
16	14	-3.90(22-I-3)	5.79(23-I-4)	1.64(23-II-2)	14642(22-I-3)	-21717(23-I-4)	-6297(23-II-2)
16	15	-3.49(22-I-3)	4.10(23-I-4)	1.29(23-II-2)	13083(22-I-3)	-15374(23-I-4)	-4958(23-II-2)
16	16	-3.39(22-I-3)	2.79(23-I-4)	0.86(23-II-2)	12716(22-I-3)	-10459(23-I-4)	-3366(23-II-2)
17	1	1.58(23-I-4)	1.26(22-I-1)	0.95(22-II-1)	-5938(23-I-4)	-4712(22-I-1)	-3566(22-II-1)
17	2	1.45(23-I-4)	0.96(22-I-1)	1.12(22-II-1)	-5422(23-I-4)	-3589(22-I-1)	-4507(22-II-1)
17	3	1.42(23-I-4)	0.77(23-I-4)	1.09(22-II-1)	-5333(23-I-4)	-2869(23-I-4)	-4391(22-II-1)
17	4	1.53(23-I-4)	0.74(23-I-4)	-0.84(22-I-1)	-5751(23-I-4)	-2765(23-I-4)	3149(22-I-1)
17	5	1.43(23-I-1)	1.28(22-I-1)	0.93(22-II-1)	-5360(23-I-1)	-4782(22-I-1)	-3701(22-II-1)
17	6	0.95(23-I-4)	0.98(22-I-1)	1.22(22-II-1)	-3566(23-I-4)	-3678(22-I-1)	-4764(22-II-1)
17	7	0.93(23-I-4)	0.76(23-I-4)	1.21(22-II-1)	-3503(23-I-4)	-2853(23-I-4)	-4742(22-II-1)
17	8	1.39(23-I-4)	0.66(23-I-4)	0.85(22-II-1)	-5210(23-I-4)	-2470(23-I-4)	-3375(22-II-1)
17	9	1.49(23-I-1)	1.28(22-I-1)	0.77(22-II-1)	-5590(23-I-1)	-4789(22-I-1)	-3036(22-II-1)
17	10	0.47(23-I-4)	0.92(22-I-1)	1.04(22-II-1)	-1753(23-I-4)	-3457(22-I-1)	-4073(22-II-1)
17	11	0.44(23-I-1)	0.72(23-I-4)	1.05(22-II-1)	-1639(23-I-1)	-2705(23-I-4)	-4129(22-II-1)
17	12	1.46(23-I-4)	0.66(23-I-4)	0.76(22-II-1)	-5479(23-I-4)	-2458(23-I-4)	-3056(22-II-1)
17	13	1.70(23-I-1)	1.47(22-I-1)	-1.00(23-I-4)	-6361(23-I-1)	-5509(22-I-1)	3749(23-I-4)
17	14	0.04(23-I-4)	1.02(22-I-1)	0.55(22-II-1)	-141(23-I-4)	-3843(22-I-1)	-2379(22-II-1)
17	15	0.03(22-II-1)	0.40(23-I-4)	0.54(22-II-1)	-130(22-II-1)	-1502(23-I-4)	-2361(22-II-1)
17	16	1.71(23-I-4)	0.91(23-I-4)	0.92(23-I-1)	-6413(23-I-4)	-3429(23-I-4)	-3441(23-I-1)
18	1	0	0	0	6763(22-I-1)	38347(23-I-1)	-1338(23-II-2)
18	2	0	0	0	6159(22-I-1)	34587(23-I-1)	1886(22-II-1)
18	3	0	0	0	4383(22-I-1)	30776(23-I-1)	2488(22-II-1)
18	4	0	0	0	3621(23-I-1)	27045(23-I-4)	3412(22-II-1)
18	5	0	0	0	4186(23-I-1)	36259(23-I-1)	936(23-I-2)
18	6	0	0	0	3883(23-I-1)	33907(23-I-4)	2380(22-II-1)
18	7	0	0	0	3656(23-I-1)	30893(23-I-4)	3173(22-II-1)
18	8	0	0	0	3500(23-I-4)	27368(23-I-4)	4236(22-II-1)
18	9	0	0	0	4462(23-I-4)	37343(23-I-4)	927(23-II-4)
18	10	0	0	0	4134(23-I-4)	34578(23-I-4)	2459(22-II-1)
18	11	0	0	0	3867(23-I-4)	31128(23-I-4)	3158(22-II-1)
18	12	0	0	0	3593(23-I-4)	27167(23-I-4)	4072(22-II-1)
18	13	0	0	0	6892(22-II-1)	40985(23-I-4)	1943(23-II-4)
18	14	0	0	0	6191(22-II-1)	36079(23-I-4)	1715(22-II-1)

Muro	Pann.	Sxx	Syy	Sxy	Mxx	Myy	Mxy
18	15	0	0	0	4753(23-I-4)	31355(23-I-4)	-2245(22-I-1)
18	16	0	0	0	3852(23-I-4)	26687(23-I-4)	-3187(22-I-1)
18	1	2.09(22-I-1)	3.03(23-II-2)	-0.90(23-II-1)	-7845(22-I-1)	-11361(23-II-2)	3262(23-II-1)
18	2	2.33(22-I-1)	4.51(23-II-2)	-1.40(23-II-1)	-8734(22-I-1)	-16924(23-II-2)	4886(23-II-1)
18	3	2.89(22-I-1)	6.46(23-II-2)	-2.07(23-II-2)	-10844(22-I-1)	-24208(23-II-2)	6998(23-II-1)
18	4	3.97(22-I-1)	8.68(23-II-2)	-3.73(23-II-2)	-14893(22-I-1)	-32568(23-II-2)	13971(23-II-2)
18	5	-1.30(22-II-1)	1.98(23-II-2)	-0.89(23-II-1)	4871(22-II-1)	-7432(23-II-2)	3323(23-II-1)
18	6	-1.37(22-II-1)	2.26(23-II-2)	-1.32(23-II-1)	5149(22-II-1)	-8485(23-II-2)	4840(23-II-1)
18	7	-1.53(22-II-1)	2.22(23-II-2)	-1.53(23-II-1)	5734(22-II-1)	-8324(23-II-2)	5636(23-II-1)
18	8	-1.76(22-II-1)	1.96(22-I-1)	1.68(23-I-1)	6581(22-II-1)	-7351(22-I-1)	-6397(23-I-1)
18	9	-0.76(22-II-1)	1.67(23-II-2)	-0.52(23-II-1)	2836(22-II-1)	-6248(23-II-2)	2059(23-II-1)
18	10	-0.83(22-II-1)	1.83(23-II-2)	-0.76(23-II-1)	3121(22-II-1)	-6856(23-II-2)	2997(23-II-1)
18	11	-1.21(23-II-2)	1.85(22-I-1)	-0.95(23-II-1)	4542(23-II-2)	-6921(22-I-1)	3690(23-II-1)
18	12	-1.77(23-II-2)	2.06(22-I-1)	-1.07(23-II-1)	6643(23-II-2)	-7709(22-I-1)	4069(23-II-1)
18	13	-0.18(22-II-1)	2.07(23-II-2)	0.21(23-I-4)	680(22-II-1)	-7765(23-II-2)	-759(23-I-4)
18	14	-0.24(23-II-1)	2.84(23-II-2)	0.30(23-I-4)	904(23-II-1)	-10668(23-II-2)	1113(23-II-4)
18	15	-0.37(23-II-2)	3.78(23-II-2)	0.40(23-I-4)	1383(23-II-2)	-14162(23-II-2)	1609(23-II-4)
18	16	-0.43(23-II-2)	4.94(23-II-2)	0.98(23-II-2)	1618(23-II-2)	-18518(23-II-2)	-3671(23-II-2)
19	1	0	0	0	5001(23-I-1)	37906(23-I-1)	-1675(23-II-2)
19	2	0	0	0	4544(23-I-1)	34463(23-I-1)	-2069(23-II-2)
19	3	0	0	0	4088(23-I-1)	30876(23-I-1)	-1403(23-II-2)
19	4	0	0	0	3562(23-I-1)	27114(23-I-1)	-1212(22-II-1)
19	5	0	0	0	4472(23-I-1)	36320(23-I-1)	1162(23-II-4)
19	6	0	0	0	4180(23-I-1)	33716(23-I-1)	-1207(23-II-2)
19	7	0	0	0	3820(23-I-1)	30558(23-I-1)	-1025(23-II-2)
19	8	0	0	0	3474(23-I-1)	26906(23-I-1)	1096(23-II-4)
19	9	0	0	0	4585(23-I-1)	36511(23-I-1)	1038(23-II-4)
19	10	0	0	0	4281(23-I-1)	33769(23-I-1)	1996(23-II-4)
19	11	0	0	0	3900(23-I-1)	30496(23-I-1)	1883(23-II-4)
19	12	0	0	0	3504(23-I-1)	26730(23-I-1)	1869(23-II-4)
19	13	0	0	0	7146(22-I-1)	38467(23-I-1)	1850(23-II-4)
19	14	0	0	0	6013(22-I-1)	34562(23-I-1)	3058(23-II-4)
19	15	0	0	0	4343(23-I-1)	30696(23-I-1)	2469(23-II-4)
19	16	0	0	0	3646(23-I-1)	26714(23-I-3)	2236(23-II-4)
20	1	1.60(23-I-1)	-0.57(23-II-1)	-0.43(23-I-4)	-6007(23-I-1)	2140(23-II-1)	1600(23-I-4)
20	2	1.43(23-I-1)	-0.73(22-II-1)	0.48(23-II-4)	-5361(23-I-1)	2729(22-II-1)	-1891(23-II-4)
20	3	1.41(23-I-1)	-1.06(22-II-1)	0.46(23-II-4)	-5301(23-I-1)	3989(22-II-1)	-1876(23-II-4)
20	4	1.57(23-I-3)	1.29(22-I-1)	0.72(22-II-1)	-5875(23-I-3)	-4822(22-I-1)	-2707(22-II-1)
20	5	1.45(23-I-1)	-0.59(23-II-1)	-0.51(23-I-4)	-5453(23-I-1)	2201(23-II-1)	1946(23-I-4)
20	6	0.95(23-I-1)	-0.78(22-II-1)	0.59(23-II-4)	-3547(23-I-1)	2910(22-II-1)	-2246(23-II-4)
20	7	0.93(23-I-1)	-1.11(22-II-1)	0.54(23-I-2)	-3497(23-I-1)	4178(22-II-1)	-2078(23-I-2)
20	8	1.42(23-I-1)	1.29(22-I-1)	0.70(22-II-1)	-5333(23-I-1)	-4833(22-I-1)	-2809(22-II-1)
20	9	1.51(23-I-1)	-0.66(23-II-1)	-0.66(23-I-4)	-5672(23-I-1)	2467(23-II-1)	2535(23-I-4)
20	10	0.45(23-I-1)	-0.79(22-II-1)	0.55(23-II-4)	-1701(23-I-1)	2962(22-II-1)	-2125(23-II-4)
20	11	0.45(23-I-1)	-1.18(22-II-1)	0.51(23-I-2)	-1678(23-I-1)	4430(22-II-1)	-1998(23-I-2)
20	12	1.49(23-I-1)	-1.36(22-II-1)	0.64(23-I-2)	-5586(23-I-1)	5086(22-II-1)	-2468(23-I-2)
20	13	1.71(23-I-1)	-0.97(23-II-1)	-0.98(23-I-4)	-6409(23-I-1)	3638(23-II-1)	3670(23-I-4)
20	14	0.05(23-II-2)	-0.94(22-II-1)	0.25(23-II-4)	-201(23-II-2)	3524(22-II-1)	-1147(23-II-4)
20	15	0.11(22-II-1)	-1.22(22-II-1)	0.28(22-II-1)	-406(22-II-1)	4577(22-II-1)	-1218(22-II-1)
20	16	1.70(23-I-1)	1.43(22-I-1)	0.97(23-I-2)	-6362(23-I-1)	-5378(22-I-1)	-3622(23-I-2)
20	1	3.92(22-I-3)	8.67(23-I-2)	3.70(23-I-2)	-14682(22-I-3)	-32511(23-I-2)	-13889(23-I-2)
20	2	2.86(22-I-3)	6.44(23-I-2)	2.05(23-I-2)	-10740(22-I-3)	-24166(23-I-2)	-6934(23-I-3)
20	3	2.32(22-I-3)	4.51(23-I-2)	1.39(23-I-3)	-8686(22-I-3)	-16896(23-I-2)	-4840(23-I-3)
20	4	2.08(22-I-3)	3.02(23-I-2)	0.89(23-I-3)	-7816(22-I-3)	-11342(23-I-2)	-3232(23-I-3)
20	5	-1.64(22-II-3)	1.93(22-I-3)	-1.70(23-II-3)	6143(22-II-3)	-7243(22-I-3)	6488(23-II-3)
20	6	-1.42(22-II-3)	2.21(23-I-2)	1.50(23-I-3)	5309(22-II-3)	-8293(23-I-2)	-5546(23-I-3)
20	7	-1.26(22-II-3)	2.26(23-I-2)	1.30(23-I-3)	4739(22-II-3)	-8460(23-I-2)	-4770(23-I-3)
20	8	-1.19(22-II-3)	1.98(23-I-2)	0.88(23-I-3)	4472(22-II-3)	-7414(23-I-2)	-3280(23-I-3)
20	9	-1.72(23-I-2)	2.02(22-I-3)	1.04(23-I-3)	6458(23-I-2)	-7592(22-I-3)	-3959(23-I-3)
20	10	-1.17(23-I-2)	1.82(22-I-3)	0.92(23-I-3)	4372(23-I-2)	-6829(22-I-3)	-3596(23-I-3)
20	11	-0.78(22-II-3)	1.82(23-I-2)	0.74(23-I-3)	2931(22-II-3)	-6828(23-I-2)	-2926(23-I-3)
20	12	-0.71(22-II-3)	1.66(23-I-2)	0.50(23-I-3)	2650(22-II-3)	-6226(23-I-2)	-2017(23-I-3)
20	13	-0.42(23-I-2)	4.93(23-I-2)	-0.99(23-I-2)	1572(23-I-2)	-18472(23-I-2)	3730(23-I-2)
20	14	-0.35(23-I-2)	3.77(23-I-2)	-0.42(23-II-4)	1329(23-I-2)	-14123(23-I-2)	-1536(23-I-4)
20	15	-0.23(23-I-3)	2.83(23-I-2)	-0.31(23-II-4)	864(23-I-3)	-10630(23-I-2)	-1066(23-I-4)
20	16	-0.17(22-II-4)	2.06(23-I-2)	-0.21(23-II-4)	648(22-II-4)	-7733(23-I-2)	780(23-II-4)

Muro	Pann.	Sxx	Syy	Sxy	Mxx	Myy	Mxy
21	1	0	0	0	7245(22-II-1)	40210(23-I-2)	-1885(23-II-2)
21	2	0	0	0	6114(22-II-1)	36247(23-I-2)	-3282(23-II-2)
21	3	0	0	0	4408(23-I-2)	32385(23-I-2)	-2657(23-II-2)
21	4	0	0	0	3759(23-I-2)	28465(23-I-2)	-2430(23-II-2)
21	5	0	0	0	4609(23-I-2)	37339(23-I-2)	-987(23-II-2)
21	6	0	0	0	4350(23-I-2)	34625(23-I-2)	-2134(23-II-2)
21	7	0	0	0	3953(23-I-2)	31426(23-I-2)	-2045(23-II-2)
21	8	0	0	0	3561(23-I-2)	27729(23-I-2)	-2081(23-II-2)
21	9	0	0	0	4469(23-I-1)	36618(23-I-1)	-1153(23-II-2)
21	10	0	0	0	4176(23-I-1)	34003(23-I-1)	1011(23-I-2)
21	11	0	0	0	3815(23-I-1)	30856(23-I-2)	925(22-I-1)
21	12	0	0	0	3469(23-I-1)	27242(23-I-2)	-1286(23-II-2)
21	13	0	0	0	5000(23-I-1)	38000(23-I-1)	1538(23-II-4)
21	14	0	0	0	4542(23-I-1)	34559(23-I-1)	1817(23-II-4)
21	15	0	0	0	4086(23-I-1)	30966(23-I-1)	1204(23-II-4)
21	16	0	0	0	3560(23-I-1)	27192(23-I-1)	1157(22-I-1)
22	1	1.68(23-I-2)	1.70(22-II-1)	-0.69(22-I-1)	-6302(23-I-2)	-6358(22-II-1)	2569(22-I-1)
22	2	1.48(23-I-2)	1.39(22-II-1)	-0.45(23-II-2)	-5542(23-I-2)	-5195(22-II-1)	1828(23-II-2)
22	3	1.44(23-I-2)	-0.89(22-I-1)	-0.50(23-II-2)	-5407(23-I-2)	3333(22-I-1)	1938(23-II-2)
22	4	1.61(23-I-1)	-0.51(23-II-1)	0.44(23-I-2)	-6019(23-I-1)	1922(23-II-1)	-1653(23-I-2)
22	5	1.53(23-I-2)	1.70(22-II-1)	-0.67(22-I-1)	-5720(23-I-2)	-6387(22-II-1)	2673(22-I-1)
22	6	0.98(23-I-2)	1.40(22-II-1)	-0.53(23-I-4)	-3683(23-I-2)	-5258(22-II-1)	2028(23-I-4)
22	7	0.95(23-I-1)	-0.94(22-I-1)	-0.60(23-II-2)	-3572(23-I-1)	3513(22-I-1)	2310(23-II-2)
22	8	1.46(23-I-1)	-0.53(23-II-1)	0.53(23-I-2)	-5459(23-I-1)	1982(23-II-1)	-2028(23-I-2)
22	9	1.57(23-I-2)	1.76(22-II-1)	-0.62(23-I-4)	-5891(23-I-2)	-6600(22-II-1)	2376(23-I-4)
22	10	0.46(23-I-1)	1.44(22-II-1)	-0.50(23-I-4)	-1712(23-I-1)	-5383(22-II-1)	1945(23-I-4)
22	11	0.47(23-I-2)	-0.95(22-I-1)	-0.57(23-II-2)	-1776(23-I-2)	3571(22-I-1)	2188(23-II-2)
22	12	1.51(23-I-1)	-0.60(23-II-1)	0.70(23-I-2)	-5680(23-I-1)	2237(23-II-1)	-2688(23-I-2)
22	13	1.79(23-I-2)	1.87(22-II-1)	-0.97(23-I-1)	-6719(23-I-2)	-7031(22-II-1)	3623(23-I-1)
22	14	0.10(22-I-1)	1.41(22-II-1)	-0.27(22-I-1)	-383(22-I-1)	-5296(22-II-1)	1172(22-I-1)
22	15	0.05(23-II-4)	-1.10(22-I-1)	-0.25(23-II-2)	-192(23-II-4)	4112(22-I-1)	1169(23-II-2)
22	16	1.71(23-I-1)	-0.90(23-II-1)	1.06(23-I-2)	-6411(23-I-1)	3393(23-II-1)	-3980(23-I-2)
23	1	0	0	0	6456(22-I-1)	43172(23-I-2)	-1508(23-II-2)
23	2	0	0	0	5807(22-I-1)	38412(23-I-2)	1715(22-II-1)
23	3	0	0	0	4668(23-I-2)	33795(23-I-2)	2435(22-II-1)
23	4	0	0	0	3908(23-I-2)	29239(23-I-2)	3705(22-II-1)
23	5	0	0	0	4291(23-I-2)	39367(23-I-2)	596(23-II-4)
23	6	0	0	0	4028(23-I-2)	36854(23-I-2)	-2127(22-I-1)
23	7	0	0	0	3830(23-I-2)	33585(23-I-2)	2930(22-II-1)
23	8	0	0	0	3673(23-I-2)	29758(23-I-2)	4138(22-II-1)
23	9	0	0	0	4235(22-II-1)	38493(23-I-2)	-660(23-I-4)
23	10	0	0	0	3851(23-I-1)	36339(23-I-2)	2205(22-II-1)
23	11	0	0	0	3677(23-I-2)	33367(23-I-2)	2897(22-II-1)
23	12	0	0	0	3622(23-I-2)	29838(23-I-2)	-3809(22-I-1)
23	13	0	0	0	6948(22-II-1)	40475(23-I-2)	1276(23-II-4)
23	14	0	0	0	6324(22-II-1)	36851(23-I-2)	-1658(22-I-1)
23	15	0	0	0	4557(22-II-1)	33136(23-I-2)	-2249(22-I-1)
23	16	0	0	0	3766(23-I-2)	29308(23-I-2)	-3106(22-I-1)
24	1	1.71(23-I-2)	0.62(22-II-1)	1.07(22-II-1)	-6408(23-I-2)	-2331(22-II-1)	-4020(22-II-1)
24	2	1.58(23-I-2)	1.08(22-II-1)	1.17(22-II-1)	-5922(23-I-2)	-4058(22-II-1)	-4707(22-II-1)
24	3	1.59(23-I-2)	1.52(22-II-1)	1.09(22-II-1)	-5953(23-I-2)	-5718(22-II-1)	-4373(22-II-1)
24	4	1.72(23-I-2)	1.74(22-II-1)	-0.88(22-I-1)	-6458(23-I-2)	-6540(22-II-1)	3312(22-I-1)
24	5	1.56(23-I-2)	0.56(22-II-1)	1.05(22-II-1)	-5866(23-I-2)	-2093(22-II-1)	-4184(22-II-1)
24	6	1.05(23-I-2)	1.05(22-II-1)	1.28(22-II-1)	-3936(23-I-2)	-3926(22-II-1)	-5000(22-II-1)
24	7	1.05(23-I-2)	1.56(22-II-1)	1.22(22-II-1)	-3945(23-I-2)	-5868(22-II-1)	-4759(22-II-1)
24	8	1.55(23-I-2)	1.77(22-II-1)	-0.86(22-I-1)	-5824(23-I-2)	-6638(22-II-1)	3427(22-I-1)
24	9	1.65(23-I-2)	0.55(22-II-1)	0.87(22-II-1)	-6181(23-I-2)	-2078(22-II-1)	-3457(22-II-1)
24	10	0.50(23-I-2)	1.11(22-II-1)	1.09(22-II-1)	-1863(23-I-2)	-4180(22-II-1)	-4308(22-II-1)
24	11	0.52(23-I-2)	1.51(22-II-1)	1.05(22-II-1)	-1946(23-I-2)	-5662(22-II-1)	-4157(22-II-1)
24	12	1.62(23-I-2)	1.78(22-II-1)	0.74(22-II-1)	-6065(23-I-2)	-6686(22-II-1)	-2948(22-II-1)
24	13	1.91(23-I-2)	0.59(23-I-2)	-1.00(23-I-2)	-7167(23-I-2)	-2203(23-I-2)	3767(23-I-2)
24	14	-0.04(22-II-1)	0.98(22-II-1)	0.59(22-II-1)	148(22-II-1)	-3678(22-II-1)	-2554(22-II-1)
24	15	0.04(23-I-2)	1.65(22-II-1)	0.54(22-II-1)	-150(23-I-2)	-6184(22-II-1)	-2359(22-II-1)
24	16	1.82(23-I-2)	2.01(22-II-1)	1.11(23-I-2)	-6813(23-I-2)	-7536(22-II-1)	-4166(23-I-2)
25	1	1.06(22-II-1)	0.19(23-II-4)	-0.37(23-I-2)	-1135(22-II-1)	-202(23-II-4)	497(23-I-2)
25	2	1.18(22-II-1)	1.28(23-II-4)	-0.84(23-I-2)	-1255(22-II-1)	-1366(23-II-4)	917(23-I-2)

Muro	Pann.	Sxx	Syy	Sxy	Mxx	Myy	Mxy
25	3	1.46(22-II-1)	3.43(23-II-4)	-1.19(23-I-2)	-1553(22-II-1)	-3655(23-II-4)	1230(23-I-2)
25	4	1.83(22-II-1)	6.75(23-II-4)	-1.72(23-I-2)	-1950(22-II-1)	-7203(23-II-4)	1714(23-I-2)
25	5	0.99(23-II-4)	0.18(23-II-4)	-0.40(23-I-2)	-1053(23-II-4)	-195(23-II-4)	532(23-I-2)
25	6	1.11(23-II-4)	1.26(23-II-4)	-0.90(23-I-2)	-1183(23-II-4)	-1348(23-II-4)	978(23-I-2)
25	7	1.29(23-II-4)	3.39(23-II-4)	-1.27(23-I-2)	-1381(23-II-4)	-3611(23-II-4)	1311(23-I-2)
25	8	1.51(23-II-4)	6.55(23-II-4)	-1.87(23-I-2)	-1615(23-II-4)	-6984(23-II-4)	1844(23-I-2)
25	9	1.19(23-II-4)	0.18(23-II-4)	-0.42(23-I-2)	-1264(23-II-4)	-188(23-II-4)	558(23-I-2)
25	10	1.31(23-II-4)	1.23(23-II-4)	-0.95(23-I-2)	-1397(23-II-4)	-1311(23-II-4)	1029(23-I-2)
25	11	1.52(23-II-4)	3.30(23-II-4)	-1.35(23-I-2)	-1617(23-II-4)	-3523(23-II-4)	1393(23-I-2)
25	12	1.77(23-II-4)	6.39(23-II-4)	-2.00(23-I-2)	-1892(23-II-4)	-6818(23-II-4)	1990(23-I-2)
25	13	1.81(22-I-1)	0.17(23-II-4)	-0.43(23-I-2)	-1931(22-I-1)	-181(23-II-4)	573(23-I-2)
25	14	1.90(22-I-1)	1.18(23-II-4)	-0.97(23-I-2)	-2028(22-I-1)	-1261(23-II-4)	1055(23-I-2)
25	15	2.13(22-I-1)	3.20(23-II-4)	-1.38(23-I-2)	-2267(22-I-1)	-3412(23-II-4)	1426(23-I-2)
25	16	2.40(22-I-1)	6.33(23-II-4)	-2.08(23-II-4)	-2561(22-I-1)	-6751(23-II-4)	2040(23-I-2)
26	1	-1.84(22-II-1)	0.16(23-II-4)	-0.43(23-I-2)	1958(22-II-1)	-168(23-II-4)	579(23-I-2)
26	2	1.91(22-I-1)	1.08(23-II-4)	-0.98(23-I-2)	-2033(22-I-1)	-1148(23-II-4)	1063(23-I-2)
26	3	2.12(22-I-1)	2.87(23-II-4)	-1.45(23-II-4)	-2262(22-I-1)	-3066(23-II-4)	1425(23-I-2)
26	4	2.41(22-I-1)	5.58(23-II-4)	-2.49(23-II-4)	-2570(22-I-1)	-5949(23-II-4)	2303(23-II-4)
26	5	-1.88(22-II-1)	0.14(23-II-1)	-0.45(23-I-2)	2004(22-II-1)	-151(23-II-1)	592(23-I-2)
26	6	-1.86(22-II-1)	0.95(23-II-1)	-1.00(23-I-2)	1980(22-II-1)	-1015(23-II-1)	1087(23-I-2)
26	7	-1.83(22-II-1)	2.47(23-II-1)	-1.51(23-II-4)	1951(22-II-1)	-2635(23-II-1)	1493(23-II-4)
26	8	-1.73(22-II-1)	4.50(23-II-1)	-2.50(23-II-4)	1849(22-II-1)	-4801(23-II-1)	2372(23-II-4)
26	9	-1.48(22-II-1)	0.13(23-II-1)	-0.46(23-I-2)	1581(22-II-1)	-139(23-II-1)	612(23-I-2)
26	10	-1.44(22-II-1)	0.88(23-II-1)	-1.04(23-I-2)	1537(22-II-1)	-941(23-II-1)	1126(23-I-2)
26	11	-1.35(22-II-1)	2.31(23-II-1)	-1.49(23-I-2)	1441(22-II-1)	-2461(23-II-1)	1529(23-I-2)
26	12	-1.17(22-II-1)	4.22(23-II-1)	-2.24(23-I-2)	1248(22-II-1)	-4501(23-II-1)	2210(23-I-2)
26	13	-1.16(23-II-1)	0.12(23-II-1)	-0.47(23-I-2)	1238(23-II-1)	-133(23-II-1)	621(23-I-2)
26	14	-1.04(23-II-1)	0.87(23-II-1)	-1.05(23-I-2)	1111(23-II-1)	-933(23-II-1)	1144(23-I-2)
26	15	-0.78(23-II-1)	2.37(23-II-1)	-1.50(23-I-2)	831(23-II-1)	-2524(23-II-1)	1550(23-I-2)
26	16	-0.45(22-II-1)	4.61(23-II-1)	-2.25(23-I-2)	481(22-II-1)	-4922(23-II-1)	2225(23-I-2)
27	1	1.52(23-I-4)	0.69(23-I-4)	-0.58(22-I-1)	-5709(23-I-4)	-2592(23-I-4)	2182(22-I-1)
27	2	1.43(23-I-4)	0.62(23-I-4)	0.33(23-II-4)	-5359(23-I-4)	-2321(23-I-4)	-1269(23-II-4)
27	3	1.59(23-I-4)	-0.47(23-II-4)	0.32(23-I-2)	-5970(23-I-4)	1759(23-II-4)	-1292(23-II-4)
27	4	1.99(23-I-4)	0.18(23-I-4)	0.25(23-I-2)	-7468(23-I-4)	-680(23-I-4)	-1000(23-I-2)
27	5	1.38(23-I-4)	0.61(23-I-4)	-0.56(22-I-1)	-5186(23-I-4)	-2282(23-I-4)	2242(22-I-1)
27	6	0.94(23-I-4)	-0.61(23-II-4)	0.42(23-II-4)	-3521(23-I-4)	2285(23-II-4)	-1571(23-II-4)
27	7	1.08(23-I-4)	-0.44(23-II-4)	0.38(23-I-2)	-4058(23-I-4)	1634(23-II-4)	-1453(23-I-2)
27	8	1.94(23-I-4)	0.16(23-I-4)	0.39(23-I-2)	-7278(23-I-4)	-590(23-I-4)	-1413(23-I-2)
27	9	1.48(23-I-4)	0.58(23-I-4)	-0.60(23-I-4)	-5544(23-I-4)	-2179(23-I-4)	2228(23-I-4)
27	10	0.46(23-I-4)	-0.50(23-II-4)	0.41(23-II-4)	-1707(23-I-4)	1883(23-II-4)	-1527(23-II-4)
27	11	0.50(23-I-4)	-0.29(23-II-4)	0.34(23-I-2)	-1893(23-I-4)	1089(23-II-4)	-1345(22-II-4)
27	12	2.07(23-I-4)	-0.09(22-I-1)	0.54(23-I-1)	-7767(23-I-4)	344(22-I-1)	-1998(23-I-1)
27	13	1.72(23-I-4)	0.86(23-I-4)	-1.03(23-I-4)	-6461(23-I-4)	-3219(23-I-4)	3847(23-I-4)
27	14	0.09(22-I-1)	-0.49(22-I-1)	0.21(22-II-1)	-345(22-I-1)	1835(22-I-1)	-905(22-II-1)
27	15	0.03(23-II-2)	-0.40(22-I-1)	0.15(22-II-4)	-128(23-II-2)	1504(22-I-1)	-675(22-II-4)
27	16	2.27(23-I-4)	-0.21(22-I-1)	0.96(23-I-4)	-8515(23-I-4)	791(22-I-1)	-3614(23-I-4)
27	1	-1.09(23-II-1)	0.13(23-II-1)	-0.46(23-I-2)	1167(23-II-1)	-134(23-II-1)	614(23-I-2)
27	2	-0.98(23-II-4)	0.88(23-II-1)	-1.04(23-I-2)	1047(23-II-4)	-939(23-II-1)	1129(23-I-2)
27	3	-0.73(23-II-4)	2.38(23-II-1)	-1.46(23-I-2)	779(23-II-4)	-2536(23-II-1)	1516(23-I-2)
27	4	-0.49(22-I-1)	4.63(23-II-1)	-2.13(23-I-2)	520(22-I-1)	-4938(23-II-1)	2123(23-I-2)
27	5	-1.46(22-I-1)	0.14(23-II-2)	0.45(23-II-2)	1560(22-I-1)	-147(23-II-2)	-597(23-II-2)
27	6	-1.42(22-I-1)	0.92(23-II-2)	1.02(23-II-2)	1516(22-I-1)	-983(23-II-2)	-1107(23-II-2)
27	7	-1.34(22-I-1)	2.39(23-II-2)	1.48(23-II-2)	1425(22-I-1)	-2548(23-II-2)	-1540(23-II-2)
27	8	-1.16(22-I-1)	4.34(23-II-2)	2.22(23-II-2)	1241(22-I-1)	-4629(23-II-2)	-2247(23-II-2)
27	9	-1.82(22-I-1)	0.16(23-II-2)	-0.42(23-I-2)	1939(22-I-1)	-168(23-II-2)	553(23-I-2)
27	10	-1.79(22-I-1)	1.04(23-II-2)	-0.95(23-I-2)	1914(22-I-1)	-1107(23-II-2)	1021(23-I-2)
27	11	-1.77(22-I-1)	2.68(23-II-2)	1.45(23-II-2)	1887(22-I-1)	-2853(23-II-2)	-1424(23-II-2)
27	12	1.90(22-II-1)	4.86(23-II-2)	2.50(23-II-2)	-2026(22-II-1)	-5185(23-II-2)	-2345(23-II-2)
27	13	2.08(22-II-1)	0.18(23-II-2)	-0.37(23-I-2)	-2220(22-II-1)	-191(23-II-2)	491(23-I-2)
27	14	2.16(22-II-1)	1.20(23-II-2)	-0.84(23-I-2)	-2307(22-II-1)	-1284(23-II-2)	905(23-I-2)
27	15	2.37(22-II-1)	3.19(23-II-2)	1.29(23-II-2)	-2528(22-II-1)	-3403(23-II-2)	1257(23-I-2)
27	16	2.65(22-II-1)	6.18(23-II-2)	2.34(23-II-2)	-2823(22-II-1)	-6588(23-II-2)	-2129(23-II-2)
28	1	0	0	0	6988(22-II-1)	40899(23-I-4)	995(23-I-2)
28	2	0	0	0	5880(23-I-4)	35868(23-I-4)	-2008(23-II-2)
28	3	0	0	0	4976(23-I-4)	31169(23-I-4)	-1604(23-II-2)
28	4	0	0	0	3891(23-I-4)	26515(23-I-4)	-1672(22-I-1)

Muro	Pann.	Sxx	Syy	Sxy	Mxx	Myy	Mxy
28	5	0	0	0	5262(23-I-4)	36798(23-I-4)	1288(23-II-4)
28	6	0	0	0	4877(23-I-4)	33963(23-I-4)	-920(23-I-4)
28	7	0	0	0	4328(23-I-4)	30821(23-I-4)	-1154(23-I-4)
28	8	0	0	0	3714(23-I-4)	27179(23-I-4)	-1337(23-I-4)
28	9	0	0	0	4448(23-I-4)	33964(23-I-4)	1873(23-II-4)
28	10	0	0	0	4149(23-I-4)	32809(23-I-4)	3126(23-II-4)
28	11	0	0	0	3838(23-I-4)	31092(23-I-4)	3140(23-II-4)
28	12	0	0	0	3628(23-I-4)	28824(23-I-4)	2699(23-II-4)
28	13	0	0	0	3350(23-I-4)	32729(23-I-4)	3943(23-II-4)
28	14	0	0	0	-1938(23-II-4)	32472(23-I-4)	5424(23-II-4)
28	15	0	0	0	1653(23-I-4)	31649(23-I-4)	4484(23-II-4)
28	16	0	0	0	2722(23-I-4)	30529(23-I-4)	3483(23-II-4)
28	1	2.19(22-II-1)	0.19(23-II-2)	-0.31(23-I-2)	-2339(22-II-1)	-206(23-II-2)	413(23-I-2)
28	2	2.28(22-II-1)	1.32(23-II-2)	-0.70(23-I-2)	-2432(22-II-1)	-1411(23-II-2)	760(23-I-2)
28	3	2.49(22-II-1)	3.55(23-II-2)	1.04(23-II-2)	-2657(22-II-1)	-3790(23-II-2)	-1037(23-II-2)
28	4	2.75(22-II-1)	7.01(23-II-2)	1.68(23-II-2)	-2933(22-II-1)	-7475(23-II-2)	-1624(23-II-2)
28	5	2.23(23-II-2)	0.20(23-II-2)	0.27(23-I-4)	-2379(23-II-2)	-213(23-II-2)	-365(23-I-4)
28	6	2.35(23-II-2)	1.37(23-II-2)	0.62(23-I-4)	-2511(23-II-2)	-1462(23-II-2)	-672(23-I-4)
28	7	2.52(23-II-2)	3.65(23-II-2)	0.89(23-I-4)	-2692(23-II-2)	-3897(23-II-2)	-913(23-I-4)
28	8	2.71(23-II-2)	7.04(23-II-2)	1.33(23-I-4)	-2890(23-II-2)	-7505(23-II-2)	-1317(23-I-4)
28	9	2.21(23-II-2)	0.20(23-II-2)	0.26(23-I-4)	-2354(23-II-2)	-218(23-II-2)	-339(23-I-4)
28	10	2.33(23-II-2)	1.40(23-II-2)	0.57(23-I-4)	-2483(23-II-2)	-1492(23-II-2)	-627(22-II-1)
28	11	2.48(23-II-2)	3.73(23-II-2)	0.81(23-I-4)	-2648(23-II-2)	-3978(23-II-2)	-831(23-I-4)
28	12	2.63(23-II-2)	7.20(23-II-2)	1.19(23-I-4)	-2805(23-II-2)	-7675(23-II-2)	-1169(23-I-4)
28	13	1.67(23-II-2)	0.21(23-II-2)	0.24(23-I-4)	-1785(23-II-2)	-219(23-II-2)	-319(23-I-4)
28	14	1.79(23-II-2)	1.39(23-II-2)	0.54(23-I-4)	-1909(23-II-2)	-1487(23-II-2)	-587(23-I-4)
28	15	1.90(23-II-2)	3.74(23-II-2)	0.76(23-I-4)	-2030(23-II-2)	-3989(23-II-2)	-782(23-I-4)
28	16	1.86(23-II-2)	7.41(23-II-2)	-1.14(23-II-4)	-1986(23-II-2)	-7905(23-II-2)	1092(23-II-4)
29	1	1.76(22-II-3)	6.76(23-I-4)	1.72(23-II-2)	-1878(22-II-3)	-7213(23-I-4)	-1708(23-II-2)
29	2	1.40(22-II-3)	3.43(23-I-4)	1.18(23-II-2)	-1493(22-II-3)	-3660(23-I-4)	-1227(23-II-2)
29	3	1.13(22-II-3)	1.28(23-I-4)	0.84(23-II-2)	-1204(22-II-3)	-1368(23-I-4)	-915(23-II-2)
29	4	1.02(22-II-3)	0.19(23-I-4)	0.37(23-II-2)	-1086(22-II-3)	-202(23-I-4)	-496(23-II-2)
29	5	1.52(23-I-4)	6.56(23-I-4)	1.86(23-II-2)	-1623(23-I-4)	-6994(23-I-4)	-1841(23-II-2)
29	6	1.30(23-I-4)	3.39(23-I-4)	1.27(23-II-2)	-1390(23-I-4)	-3617(23-I-4)	-1310(23-II-2)
29	7	1.12(23-I-4)	1.27(23-I-4)	0.90(23-II-2)	-1193(23-I-4)	-1350(23-I-4)	-977(23-II-2)
29	8	1.00(23-I-4)	0.18(23-I-4)	0.40(23-II-2)	-1062(23-I-4)	-195(23-I-4)	-531(23-II-2)
29	9	1.79(23-I-4)	6.40(23-I-4)	2.00(23-II-2)	-1909(23-I-4)	-6829(23-I-4)	-1987(23-II-2)
29	10	1.53(23-I-4)	3.31(23-I-4)	1.35(23-II-2)	-1634(23-I-4)	-3528(23-I-4)	-1392(23-II-2)
29	11	1.33(23-I-4)	1.23(23-I-4)	0.95(23-II-2)	-1414(23-I-4)	-1313(23-I-4)	-1028(23-II-2)
29	12	1.20(23-I-4)	0.18(23-I-4)	0.42(23-II-2)	-1281(23-I-4)	-188(23-I-4)	-558(23-II-2)
29	13	2.31(22-I-3)	6.34(23-I-4)	2.08(23-I-4)	-2463(22-I-3)	-6763(23-I-4)	-2037(23-II-2)
29	14	2.04(22-I-3)	3.20(23-I-4)	1.38(23-II-2)	-2176(22-I-3)	-3417(23-I-4)	-1424(23-II-2)
29	15	1.82(22-I-3)	1.18(23-I-4)	0.97(23-II-2)	-1943(22-I-3)	-1262(23-I-4)	-1053(23-II-2)
29	16	1.73(22-I-3)	0.17(23-I-4)	0.43(23-II-2)	-1848(22-I-3)	-182(23-I-4)	-572(23-II-2)
30	1	2.66(22-II-3)	7.00(23-I-2)	-1.69(23-I-2)	-2835(22-II-3)	-7469(23-I-2)	1640(23-I-2)
30	2	2.41(22-II-3)	3.55(23-I-2)	-1.06(23-I-2)	-2566(22-II-3)	-3787(23-I-2)	1050(23-I-2)
30	3	2.20(22-II-3)	1.32(23-I-2)	0.70(23-II-2)	-2346(22-II-3)	-1410(23-I-2)	-760(23-II-2)
30	4	2.12(22-II-3)	0.19(23-I-2)	0.31(23-II-2)	-2256(22-II-3)	-206(23-I-2)	-413(23-II-2)
30	5	2.75(23-I-2)	7.03(23-I-2)	-1.34(23-II-4)	-2928(23-I-2)	-7497(23-I-2)	1326(23-II-4)
30	6	2.56(23-I-2)	3.65(23-I-2)	-0.89(23-II-4)	-2730(23-I-2)	-3893(23-I-2)	920(23-II-4)
30	7	2.39(23-I-2)	1.37(23-I-2)	-0.63(23-II-4)	-2549(23-I-2)	-1460(23-I-2)	678(23-II-4)
30	8	2.27(23-I-2)	0.20(23-I-2)	-0.28(23-II-4)	-2417(23-I-2)	-213(23-I-2)	368(23-II-4)
30	9	2.67(23-I-2)	7.19(23-I-2)	-1.20(23-II-4)	-2843(23-I-2)	-7665(23-I-2)	1179(23-II-4)
30	10	2.52(23-I-2)	3.72(23-I-2)	-0.82(23-II-4)	-2686(23-I-2)	-3973(23-I-2)	839(23-II-4)
30	11	2.36(23-I-2)	1.40(23-I-2)	-0.58(23-II-4)	-2521(23-I-2)	-1491(23-I-2)	628(23-II-4)
30	12	2.24(23-I-2)	0.20(23-I-2)	-0.26(23-II-4)	-2392(23-I-2)	-218(23-I-2)	343(23-II-4)
30	13	1.90(23-I-2)	7.40(23-I-2)	1.12(23-I-4)	-2024(23-I-2)	-7893(23-I-2)	1092(23-II-4)
30	14	1.94(23-I-2)	3.73(23-I-2)	-0.76(23-II-4)	-2068(23-I-2)	-3983(23-I-2)	791(23-II-4)
30	15	1.83(23-I-2)	1.39(23-I-2)	-0.55(23-II-4)	-1947(23-I-2)	-1484(23-I-2)	594(23-II-4)
30	16	1.71(23-I-2)	0.21(23-I-2)	-0.24(23-II-4)	-1823(23-I-2)	-219(23-I-2)	323(23-II-4)
31	1	2.30(22-I-3)	5.59(23-I-4)	2.49(23-I-4)	-2456(22-I-3)	-5959(23-I-4)	-2302(23-I-4)
31	2	2.02(22-I-3)	2.88(23-I-4)	1.45(23-I-4)	-2156(22-I-3)	-3071(23-I-4)	-1420(23-II-2)
31	3	1.81(22-I-3)	1.08(23-I-4)	0.98(23-II-2)	-1933(22-I-3)	-1150(23-I-4)	-1059(23-II-2)
31	4	-1.74(22-II-3)	0.16(23-I-4)	0.43(23-II-2)	1858(22-II-3)	-169(23-I-4)	-577(23-II-2)
31	5	-1.65(22-II-3)	4.51(23-I-3)	2.50(23-I-4)	1755(22-II-3)	-4808(23-I-3)	-2368(23-I-4)
31	6	-1.74(22-II-3)	2.47(23-I-3)	1.50(23-I-4)	1861(22-II-3)	-2639(23-I-3)	-1489(23-I-4)

Muro	Pann.	Sxx	Syy	Sxy	Mxx	Myy	Mxy
31	7	-1.77(22-II-3)	0.95(23-I-3)	1.00(23-II-2)	1893(22-II-3)	-1017(23-I-3)	-1082(23-II-2)
31	8	-1.80(22-II-3)	0.14(23-I-3)	0.44(23-II-2)	1918(22-II-3)	-152(23-I-3)	-589(23-II-2)
31	9	-1.12(22-II-3)	4.22(23-I-3)	2.23(23-II-2)	1191(22-II-3)	-4504(23-I-3)	-2202(23-II-2)
31	10	-1.30(22-II-3)	2.31(23-I-3)	1.48(23-II-2)	1384(22-II-3)	-2463(23-I-3)	-1522(23-II-2)
31	11	-1.39(22-II-3)	0.88(23-I-3)	1.03(23-II-2)	1480(22-II-3)	-942(23-I-3)	-1120(23-II-2)
31	12	-1.43(22-II-3)	0.13(23-I-3)	0.46(23-II-2)	1524(22-II-3)	-139(23-I-3)	-608(23-II-2)
31	13	-0.43(22-II-4)	4.62(23-I-3)	2.24(23-II-2)	464(22-II-4)	-4924(23-I-3)	-2216(23-II-2)
31	14	-0.77(23-I-3)	2.37(23-I-3)	1.50(23-II-2)	822(23-I-3)	-2525(23-I-3)	-1543(23-II-2)
31	15	-1.03(23-I-3)	0.87(23-I-3)	1.05(23-II-2)	1102(23-I-3)	-933(23-I-3)	-1138(23-II-2)
31	16	-1.15(23-I-3)	0.12(23-I-3)	0.46(23-II-2)	1230(23-I-3)	-133(23-I-3)	-618(23-II-2)
32	1	-0.46(22-I-2)	4.63(23-I-3)	2.12(23-II-2)	493(22-I-2)	-4937(23-I-3)	-2114(23-II-2)
32	2	-0.72(23-I-4)	2.38(23-I-3)	1.46(23-II-2)	766(23-I-4)	-2535(23-I-3)	1508(23-I-2)
32	3	-0.97(23-I-4)	0.88(23-I-3)	1.03(23-II-2)	1036(23-I-4)	-938(23-I-3)	-1123(23-II-2)
32	4	-1.09(23-I-3)	0.13(23-I-2)	0.46(23-II-2)	1158(23-I-3)	-134(23-I-2)	-610(23-II-2)
32	5	-1.10(22-I-3)	4.34(23-I-2)	-2.23(23-I-2)	1174(22-I-3)	-4629(23-I-2)	2254(23-I-2)
32	6	-1.27(22-I-3)	2.39(23-I-2)	-1.49(23-I-2)	1360(22-I-3)	-2548(23-I-2)	1544(23-I-2)
32	7	-1.36(22-I-3)	0.92(23-I-2)	-1.02(23-I-2)	1451(22-I-3)	-983(23-I-2)	1110(23-I-2)
32	8	-1.40(22-I-3)	0.14(23-I-2)	-0.45(23-I-2)	1495(22-I-3)	-147(23-I-2)	599(23-I-2)
32	9	1.82(22-II-3)	4.86(23-I-2)	-2.50(23-I-2)	-1938(22-II-3)	-5184(23-I-2)	2354(23-I-2)
32	10	-1.67(22-I-3)	2.67(23-I-2)	-1.46(23-I-2)	1785(22-I-3)	-2853(23-I-2)	1430(23-I-2)
32	11	-1.70(22-I-3)	1.04(23-I-2)	-0.95(23-I-2)	1816(22-I-3)	-1107(23-I-2)	-1015(23-II-2)
32	12	-1.73(22-I-3)	0.16(23-I-2)	0.42(23-II-2)	1842(22-I-3)	-168(23-I-2)	-550(23-II-2)
32	13	2.54(22-II-3)	6.17(23-I-2)	-2.36(23-I-2)	-2713(22-II-3)	-6585(23-I-2)	2141(23-I-2)
32	14	2.27(22-II-3)	3.19(23-I-2)	-1.30(23-I-2)	-2424(22-II-3)	-3401(23-I-2)	-1252(23-II-2)
32	15	2.07(22-II-3)	1.20(23-I-2)	0.84(23-II-2)	-2209(22-II-3)	-1283(23-I-2)	-902(23-II-2)
32	16	1.99(22-II-3)	0.18(23-I-2)	0.37(23-II-2)	-2124(22-II-3)	-191(23-I-2)	-489(23-II-2)
33	1	0	0	0	3171(23-I-2)	35044(23-I-2)	1451(23-I-2)
33	2	0	0	0	1738(23-I-2)	33847(23-I-2)	-1699(23-II-2)
33	3	0	0	0	1532(23-I-2)	32205(23-I-2)	-1246(22-I-1)
33	4	0	0	0	2616(23-I-2)	30161(23-I-2)	-1495(22-I-1)
33	5	0	0	0	4082(23-I-2)	36065(23-I-2)	576(23-II-4)
33	6	0	0	0	3790(23-I-2)	34528(23-I-2)	-474(23-II-2)
33	7	0	0	0	3622(23-I-2)	32313(23-I-2)	519(23-I-2)
33	8	0	0	0	3548(23-I-2)	29582(23-I-2)	1005(22-II-1)
33	9	0	0	0	4980(23-I-2)	38550(23-I-2)	-566(23-I-4)
33	10	0	0	0	4701(23-I-2)	35724(23-I-2)	1429(23-II-1)
33	11	0	0	0	4211(23-I-2)	32560(23-I-2)	1443(23-II-4)
33	12	0	0	0	3708(23-I-2)	28891(23-I-2)	1728(22-II-1)
33	13	0	0	0	6456(22-I-1)	42977(23-I-2)	1459(23-II-1)
33	14	0	0	0	5687(23-I-2)	37997(23-I-2)	2730(23-II-2)
33	15	0	0	0	4888(23-I-2)	33350(23-I-2)	2188(23-II-1)
33	16	0	0	0	3926(23-I-2)	28774(23-I-2)	2751(22-II-1)
33	1	1.20(22-I-3)	1.58(23-II-4)	0.92(22-II-3)	-4514(22-I-3)	-5940(23-II-4)	-3451(22-II-3)
33	2	1.22(22-I-3)	1.43(23-II-3)	0.90(22-II-3)	-4573(22-I-3)	-5357(23-II-3)	-3580(22-II-3)
33	3	1.22(22-I-3)	1.49(23-II-3)	0.75(22-II-3)	-4575(22-I-3)	-5586(23-II-3)	-2933(22-II-3)
33	4	1.40(22-I-3)	1.69(23-II-3)	-0.99(23-II-4)	-5258(22-I-3)	-6355(23-II-3)	3716(23-II-4)
33	5	0.92(22-I-3)	1.45(23-II-4)	1.07(22-II-3)	-3457(22-I-3)	-5420(23-II-4)	-4340(22-II-3)
33	6	0.94(22-I-3)	0.95(23-II-4)	1.17(22-II-3)	-3539(22-I-3)	-3564(23-II-4)	-4588(22-II-3)
33	7	0.89(22-I-3)	0.47(23-II-4)	1.00(22-II-3)	-3325(22-I-3)	-1750(23-II-4)	-3923(22-II-3)
33	8	0.98(22-I-3)	0.04(23-II-4)	0.53(22-II-3)	-3690(22-I-3)	-140(23-II-4)	-2293(22-II-3)
33	9	0.75(23-II-4)	1.42(23-II-4)	1.05(22-II-3)	-2810(23-II-4)	-5324(23-II-4)	-4219(22-II-3)
33	10	0.75(23-II-4)	0.93(23-II-4)	1.17(22-II-3)	-2795(23-II-4)	-3497(23-II-4)	-4560(22-II-3)
33	11	0.70(23-II-4)	0.44(23-II-3)	1.01(22-II-3)	-2643(23-II-4)	-1639(23-II-3)	-3973(22-II-3)
33	12	0.39(20)	0.03(22-II-3)	0.52(22-II-3)	-1471(20)	-128(22-II-3)	-2272(22-II-3)
33	13	0.73(23-II-4)	1.53(23-II-4)	-0.80(22-I-3)	-2724(23-II-4)	-5736(23-II-4)	3007(22-I-3)
33	14	0.65(23-II-4)	1.39(23-II-4)	0.82(22-II-3)	-2429(23-II-4)	-5197(23-II-4)	-3242(22-II-3)
33	15	0.64(23-II-4)	1.46(23-II-4)	0.73(22-II-3)	-2417(23-II-4)	-5472(23-II-4)	-2937(22-II-3)
33	16	0.91(23-II-4)	1.71(23-II-4)	0.92(23-II-3)	-3397(23-II-4)	-6408(23-II-4)	-3443(23-II-3)
34	1	0	0	0	-6566(22-I-3)	-38330(23-II-3)	1334(23-I-2)
34	2	0	0	0	-5982(22-I-3)	-34574(23-II-3)	-1817(22-II-3)
34	3	0	0	0	-4268(22-I-3)	-30766(23-II-3)	-2402(22-II-3)
34	4	0	0	0	-3623(23-II-3)	-27036(23-II-4)	-3296(22-II-3)
34	5	0	0	0	-4192(23-II-3)	-36269(23-II-3)	-932(23-II-2)
34	6	0	0	0	-3887(23-II-3)	-33830(23-II-4)	-2280(22-II-3)
34	7	0	0	0	-3659(23-II-3)	-30842(23-II-4)	-3038(22-II-3)
34	8	0	0	0	-3486(23-II-4)	-27342(23-II-4)	-4062(22-II-3)

Muro	Pann.	Sxx	Syy	Sxy	Mxx	Myy	Mxy
34	9	0	0	0	-4453(23-II-4)	-37296(23-II-4)	-926(23-I-4)
34	10	0	0	0	-4126(23-II-4)	-34530(23-II-4)	-2360(22-II-3)
34	11	0	0	0	-3858(23-II-4)	-31082(23-II-4)	-3023(22-II-3)
34	12	0	0	0	-3583(23-II-4)	-27122(23-II-4)	-3895(22-II-3)
34	13	0	0	0	-6693(22-II-3)	-40989(23-II-4)	-1944(23-I-4)
34	14	0	0	0	-6019(22-II-3)	-36056(23-II-4)	-1647(22-II-3)
34	15	0	0	0	-4756(23-II-4)	-31314(23-II-4)	2152(22-I-3)
34	16	0	0	0	-3845(23-II-4)	-26630(23-II-4)	3052(22-I-3)
34	1	1.94(23-I-2)	0.15(23-I-2)	0.23(23-II-1)	-7292(23-I-2)	-547(23-I-2)	-785(23-II-1)
34	2	1.61(23-I-2)	0.27(23-I-2)	0.49(22-II-1)	-6037(23-I-2)	-1021(23-I-2)	-1930(22-II-1)
34	3	1.53(23-I-2)	0.36(23-I-2)	0.75(22-II-1)	-5738(23-I-2)	-1351(23-I-2)	-2994(22-II-1)
34	4	1.68(23-I-2)	0.40(20)	0.93(22-II-1)	-6305(23-I-2)	-1519(20)	-3485(22-II-1)
34	5	1.92(23-I-2)	-0.14(23-II-2)	0.42(23-II-2)	-7211(23-I-2)	511(23-II-2)	-1434(23-II-2)
34	6	1.08(23-I-2)	0.25(23-I-2)	0.60(22-II-1)	-4049(23-I-2)	-953(23-I-2)	-2361(22-II-1)
34	7	1.01(23-I-2)	0.33(23-I-2)	0.83(22-II-1)	-3790(23-I-2)	-1232(23-I-2)	-3274(22-II-1)
34	8	1.55(23-I-2)	0.38(20)	0.91(22-II-1)	-5797(23-I-2)	-1429(20)	-3656(22-II-1)
34	9	2.11(23-I-2)	0.05(20)	0.60(23-II-2)	-7930(23-I-2)	-194(20)	-2113(23-II-2)
34	10	0.50(23-I-2)	0.17(20)	0.54(22-II-1)	-1859(23-I-2)	-619(20)	-2141(22-II-1)
34	11	0.49(23-I-2)	0.27(20)	0.73(22-II-1)	-1837(23-I-2)	-1006(20)	-2931(22-II-1)
34	12	1.65(23-I-2)	0.36(20)	0.78(22-II-1)	-6202(23-I-2)	-1352(20)	-3194(22-II-1)
34	13	-2.57(23-II-2)	-0.27(23-I-2)	1.13(23-II-2)	9654(23-II-2)	999(23-I-2)	-4229(23-II-2)
34	14	0.06(23-II-2)	-0.47(23-I-2)	0.24(22-II-1)	-209(23-II-2)	1751(23-I-2)	-1112(22-II-1)
34	15	0.10(22-II-1)	0.30(23-II-1)	0.42(22-II-1)	-368(22-II-1)	-1134(23-II-1)	-1834(22-II-1)
34	16	1.92(23-I-2)	0.53(23-I-2)	1.11(23-I-2)	-7193(23-I-2)	-1999(23-I-2)	-4159(23-I-2)
35	1	0	0	0	-4985(23-II-3)	-37791(23-II-3)	1669(23-I-2)
35	2	0	0	0	-4532(23-II-3)	-34377(23-II-3)	2079(23-I-2)
35	3	0	0	0	-4081(23-II-3)	-30817(23-II-3)	1419(23-I-2)
35	4	0	0	0	-3562(23-II-3)	-27080(23-II-3)	1219(23-I-2)
35	5	0	0	0	-4461(23-II-3)	-36233(23-II-3)	-1162(23-I-4)
35	6	0	0	0	-4171(23-II-3)	-33650(23-II-3)	1219(23-I-2)
35	7	0	0	0	-3815(23-II-3)	-30513(23-II-3)	1043(23-I-2)
35	8	0	0	0	-3473(23-II-3)	-26879(23-II-3)	-1109(23-I-4)
35	9	0	0	0	-4578(23-II-3)	-36450(23-II-3)	-1036(23-I-4)
35	10	0	0	0	-4275(23-II-3)	-33721(23-II-3)	-2004(23-I-4)
35	11	0	0	0	-3897(23-II-3)	-30462(23-II-3)	-1892(23-I-4)
35	12	0	0	0	-3503(23-II-3)	-26710(23-II-3)	-1877(23-I-4)
35	13	0	0	0	-6901(22-I-3)	-38428(23-II-3)	-1850(23-I-4)
35	14	0	0	0	-5816(22-I-3)	-34530(23-II-3)	-3064(23-I-4)
35	15	0	0	0	-4341(23-II-3)	-30673(23-II-3)	-2473(23-I-4)
35	16	0	0	0	-3647(23-II-3)	-26700(23-II-3)	-2234(23-I-4)
35	1	-0.24(23-II-1)	0.17(23-II-4)	0.09(23-II-2)	260(23-II-1)	-178(23-II-4)	-126(23-II-2)
35	2	-0.25(23-II-2)	1.19(23-II-4)	0.30(23-II-2)	263(23-II-2)	-1269(23-II-4)	-388(23-II-2)
35	3	-0.18(23-II-2)	3.26(23-II-4)	0.45(23-II-2)	195(23-II-2)	-3478(23-II-4)	-595(23-II-2)
35	4	0.35(23-II-4)	6.59(23-II-4)	-0.77(23-I-2)	-374(23-II-4)	-7024(23-II-4)	748(23-I-2)
35	5	-0.84(23-II-1)	0.17(23-II-4)	0.20(23-II-2)	896(23-II-1)	-177(23-II-4)	-253(23-II-2)
35	6	-0.83(23-II-1)	1.11(23-II-4)	0.47(23-II-2)	884(23-II-1)	-1184(23-II-4)	-518(23-II-2)
35	7	-0.85(22-I-1)	2.87(23-II-4)	-0.73(23-I-2)	907(22-I-1)	-3057(23-II-4)	-753(23-II-2)
35	8	-0.89(22-I-1)	5.10(23-II-4)	-1.17(23-I-2)	954(22-I-1)	-5445(23-II-4)	1101(23-I-2)
35	9	-1.34(22-I-1)	0.18(23-II-4)	-0.28(23-I-2)	1433(22-I-1)	-193(23-II-4)	363(23-I-2)
35	10	-1.37(22-I-1)	1.13(23-II-4)	-0.63(23-I-2)	1457(22-I-1)	-1210(23-II-4)	674(23-I-2)
35	11	-1.46(22-I-1)	2.84(23-II-4)	-0.93(23-I-2)	1560(22-I-1)	-3033(23-II-4)	950(23-I-2)
35	12	-1.60(22-I-1)	5.06(23-II-4)	-1.45(23-I-2)	1706(22-I-1)	-5398(23-II-4)	1439(23-I-2)
35	13	-1.36(22-I-1)	0.19(23-II-4)	-0.34(23-I-2)	1455(22-I-1)	-201(23-II-4)	445(23-I-2)
35	14	-1.38(22-I-1)	1.23(23-II-4)	-0.76(23-I-2)	1474(22-I-1)	-1307(23-II-4)	828(23-I-2)
35	15	-1.48(22-I-1)	3.20(23-II-4)	-1.09(23-I-2)	1584(22-I-1)	-3411(23-II-4)	1135(23-I-2)
35	16	1.78(22-II-1)	6.12(23-II-4)	-1.63(23-I-2)	-1898(22-II-1)	-6529(23-II-4)	1633(23-I-2)
36	1	-0.56(23-I-3)	1.60(23-II-3)	-0.43(23-II-4)	2083(23-I-3)	-6000(23-II-3)	1601(23-II-4)
36	2	-0.57(23-I-3)	1.45(23-II-3)	-0.51(23-II-4)	2144(23-I-3)	-5444(23-II-3)	1946(23-II-4)
36	3	-0.64(23-I-3)	1.51(23-II-3)	-0.66(23-II-4)	2410(23-I-3)	-5659(23-II-3)	2531(23-II-4)
36	4	-0.96(23-I-3)	1.70(23-II-3)	-0.98(23-II-4)	3583(23-I-3)	-6387(23-II-3)	3659(23-II-4)
36	5	-0.69(22-II-3)	1.43(23-II-3)	0.49(23-I-4)	2581(22-II-3)	-5358(23-II-3)	-1907(23-I-4)
36	6	-0.74(22-II-3)	0.95(23-II-3)	0.59(23-I-4)	2759(22-II-3)	-3545(23-II-3)	-2263(23-I-4)
36	7	-0.75(22-II-3)	0.45(23-II-3)	0.55(23-I-4)	2808(22-II-3)	-1700(23-II-3)	-2140(23-I-4)
36	8	-0.90(22-II-3)	0.05(23-I-2)	0.25(23-I-4)	3356(22-II-3)	-202(23-I-2)	-1156(23-I-4)
36	9	-1.01(22-II-3)	1.41(23-II-3)	0.46(23-I-4)	3781(22-II-3)	-5299(23-II-3)	-1883(23-I-4)
36	10	-1.06(22-II-3)	0.93(23-II-3)	0.55(23-II-2)	3965(22-II-3)	-3496(23-II-3)	-2099(23-II-2)

Muro	Pann.	Sxx	Syy	Sxy	Mxx	Myy	Mxy
36	11	-1.12(22-II-3)	0.45(23-II-3)	0.52(23-II-2)	4210(22-II-3)	-1678(23-II-3)	-2015(23-II-2)
36	12	-1.16(22-II-3)	0.11(22-II-3)	0.28(22-II-3)	4349(22-II-3)	-395(22-II-3)	-1197(22-II-3)
36	13	1.23(22-I-3)	1.57(23-II-3)	0.70(22-II-3)	-4608(22-I-3)	-5872(23-II-3)	-2642(22-II-3)
36	14	1.23(22-I-3)	1.42(23-II-3)	0.68(22-II-3)	-4612(22-I-3)	-5330(23-II-3)	-2742(22-II-3)
36	15	-1.29(22-II-3)	1.49(23-II-3)	0.65(23-II-2)	4835(22-II-3)	-5582(23-II-3)	-2474(23-II-2)
36	16	1.37(22-I-3)	1.69(23-II-3)	0.97(23-II-2)	-5127(22-I-3)	-6356(23-II-3)	-3624(23-II-2)
37	1	0	0	0	-7025(22-II-3)	-40035(23-II-2)	1881(23-I-2)
37	2	0	0	0	-5939(22-II-3)	-36140(23-II-2)	3285(23-I-2)
37	3	0	0	0	-4394(23-II-2)	-32337(23-II-2)	2662(23-I-2)
37	4	0	0	0	-3763(23-II-2)	-28472(23-II-2)	2439(23-I-2)
37	5	0	0	0	-4584(23-II-2)	-37185(23-II-2)	983(23-I-2)
37	6	0	0	0	-4333(23-II-2)	-34522(23-II-2)	2142(23-I-2)
37	7	0	0	0	-3945(23-II-2)	-31374(23-II-2)	2056(23-I-2)
37	8	0	0	0	-3565(23-II-2)	-27729(23-II-2)	2099(23-I-2)
37	9	0	0	0	-4456(23-II-3)	-36481(23-II-3)	1150(23-I-2)
37	10	0	0	0	-4167(23-II-3)	-33895(23-II-3)	-1022(23-II-2)
37	11	0	0	0	-3811(23-II-3)	-30804(23-II-2)	-919(23-II-2)
37	12	0	0	0	-3471(23-II-3)	-27229(23-II-2)	1310(23-I-2)
37	13	0	0	0	-4985(23-II-3)	-37869(23-II-3)	-1537(23-I-4)
37	14	0	0	0	-4531(23-II-3)	-34459(23-II-3)	-1828(23-I-4)
37	15	0	0	0	-4079(23-II-3)	-30896(23-II-3)	-1219(23-I-4)
37	16	0	0	0	-3560(23-II-3)	-27151(23-II-3)	-1133(23-II-2)
38	1	1.65(22-II-3)	1.68(23-II-2)	-0.67(22-I-3)	-6198(22-II-3)	-6305(23-II-2)	2497(22-I-3)
38	2	1.66(22-II-3)	1.52(23-II-2)	-0.65(22-I-3)	-6218(22-II-3)	-5714(23-II-2)	2597(22-I-3)
38	3	1.71(22-II-3)	1.57(23-II-2)	-0.62(23-II-4)	-6417(22-II-3)	-5871(23-II-2)	2380(23-II-4)
38	4	1.82(22-II-3)	1.78(23-II-2)	-0.96(23-II-3)	-6826(22-II-3)	-6683(23-II-2)	3614(23-II-3)
38	5	1.35(22-II-3)	1.48(23-II-2)	-0.45(23-I-2)	-5051(22-II-3)	-5547(23-II-2)	1825(23-I-2)
38	6	1.36(22-II-3)	0.98(23-II-2)	-0.53(23-II-4)	-5106(22-II-3)	-3687(23-II-2)	2041(23-II-4)
38	7	1.39(22-II-3)	0.46(23-II-2)	-0.50(23-II-4)	-5224(22-II-3)	-1713(23-II-2)	1955(23-II-4)
38	8	1.37(22-II-3)	0.10(22-I-3)	-0.27(22-I-3)	-5130(22-II-3)	-371(22-I-3)	1143(22-I-3)
38	9	0.86(22-II-3)	1.44(23-II-2)	-0.50(23-I-2)	-3227(22-II-3)	-5410(23-II-2)	1942(23-I-2)
38	10	-0.87(22-I-3)	0.95(23-II-3)	-0.61(23-I-2)	3255(22-I-3)	-3569(23-II-3)	2314(23-I-2)
38	11	-0.88(22-I-3)	0.47(23-II-2)	-0.57(23-I-2)	3310(22-I-3)	-1779(23-II-2)	2191(23-I-2)
38	12	-1.02(22-I-3)	0.05(23-I-4)	-0.26(23-I-2)	3834(22-I-3)	-193(23-I-4)	1171(23-I-2)
38	13	-0.49(23-I-3)	1.60(23-II-3)	0.45(23-II-2)	1843(23-I-3)	-6012(23-II-3)	-1672(23-II-2)
38	14	-0.51(23-I-3)	1.45(23-II-3)	0.54(23-II-2)	1902(23-I-3)	-5451(23-II-3)	-2046(23-II-2)
38	15	-0.58(23-I-3)	1.51(23-II-3)	0.71(23-II-2)	2159(23-I-3)	-5665(23-II-3)	-2698(23-II-2)
38	16	-0.88(23-I-3)	1.70(23-II-3)	1.06(23-II-2)	3312(23-I-3)	-6389(23-II-3)	-3978(23-II-2)
38	1	0.80(23-II-2)	0.19(23-II-2)	0.22(23-I-4)	-854(23-II-2)	-205(23-II-2)	-295(23-I-4)
38	2	0.89(23-II-2)	1.28(23-II-2)	0.50(23-I-4)	-950(23-II-2)	-1363(23-II-2)	-549(23-I-4)
38	3	1.06(22-I-1)	3.38(23-II-2)	0.72(23-I-4)	-1127(22-I-1)	-3603(23-II-2)	-753(23-I-4)
38	4	1.39(22-I-1)	6.56(23-II-2)	-1.33(23-II-4)	-1482(22-I-1)	-7000(23-II-2)	1178(23-II-4)
38	5	-0.45(22-II-1)	0.17(23-II-2)	0.19(23-I-4)	484(22-II-1)	-180(23-II-2)	-248(23-I-4)
38	6	-0.45(22-II-1)	1.09(23-II-2)	0.43(23-I-4)	483(22-II-1)	-1159(23-II-2)	-464(23-I-4)
38	7	0.54(22-I-1)	2.77(23-II-2)	-0.67(23-II-4)	-577(22-I-1)	-2957(23-II-2)	-654(23-I-4)
38	8	0.82(22-I-1)	5.01(23-II-2)	-1.35(23-II-1)	-871(22-I-1)	-5349(23-II-2)	1196(23-II-1)
38	9	-0.48(23-II-4)	0.13(23-II-2)	-0.17(23-II-4)	509(23-II-4)	-141(23-II-2)	212(23-II-4)
38	10	-0.47(23-II-4)	0.92(23-II-2)	-0.40(23-II-1)	499(23-II-4)	-980(23-II-2)	428(23-II-4)
38	11	-0.34(23-II-4)	2.42(23-II-2)	-0.63(23-II-1)	360(23-II-4)	-2577(23-II-2)	662(23-II-1)
38	12	0.38(22-I-1)	4.35(23-II-2)	-0.99(23-II-1)	-402(22-I-1)	-4638(23-II-2)	1028(23-II-1)
38	13	-0.18(23-II-1)	0.12(23-II-2)	-0.08(23-II-1)	187(23-II-1)	-133(23-II-2)	108(23-II-1)
38	14	-0.18(23-II-1)	0.89(23-II-2)	-0.27(23-II-1)	193(23-II-1)	-953(23-II-2)	339(23-II-1)
38	15	-0.12(23-II-4)	2.41(23-II-2)	-0.42(23-II-1)	128(23-II-4)	-2569(23-II-2)	533(23-II-1)
38	16	0.28(23-II-2)	4.66(23-II-2)	0.50(23-I-1)	-297(23-II-2)	-4975(23-II-2)	612(23-II-1)
39	1	0	0	0	-6350(22-I-3)	-43224(23-II-2)	1517(23-I-2)
39	2	0	0	0	-5719(22-I-3)	-38399(23-II-2)	-1628(22-II-3)
39	3	0	0	0	-4710(23-II-2)	-33732(23-II-2)	-2323(22-II-3)
39	4	0	0	0	-3932(23-II-2)	-29131(23-II-2)	-3544(22-II-3)
39	5	0	0	0	-4321(23-II-2)	-39348(23-II-2)	-584(23-I-4)
39	6	0	0	0	-4055(23-II-2)	-36814(23-II-2)	2058(22-I-3)
39	7	0	0	0	-3854(23-II-2)	-33529(23-II-2)	-2777(22-II-3)
39	8	0	0	0	-3692(23-II-2)	-29687(23-II-2)	-3932(22-II-3)
39	9	0	0	0	-4185(22-II-3)	-38404(23-II-2)	662(23-II-4)
39	10	0	0	0	-3866(23-II-3)	-36269(23-II-2)	-2097(22-II-3)
39	11	0	0	0	-3686(23-II-2)	-33315(23-II-2)	-2750(22-II-3)
39	12	0	0	0	-3636(23-II-2)	-29807(23-II-2)	3668(22-I-3)

Muro	Pann.	Sxx	Syy	Sxy	Mxx	Myy	Mxy
39	13	0	0	0	-6769(22-II-3)	-40321(23-II-2)	-1270(23-I-4)
39	14	0	0	0	-6167(22-II-3)	-36755(23-II-2)	1604(22-I-3)
39	15	0	0	0	-4461(22-II-3)	-33089(23-II-2)	2181(22-I-3)
39	16	0	0	0	-3773(23-II-2)	-29307(23-II-2)	3016(22-I-3)
39	1	0.35(23-I-4)	6.58(23-I-4)	0.76(23-II-2)	-372(23-I-4)	-7014(23-I-4)	-742(23-II-2)
39	2	-0.18(23-I-2)	3.26(23-I-4)	-0.45(23-I-2)	197(23-I-2)	-3474(23-I-4)	600(23-I-2)
39	3	-0.25(23-I-2)	1.19(23-I-4)	-0.30(23-I-2)	265(23-I-2)	-1268(23-I-4)	391(23-I-2)
39	4	-0.24(23-I-3)	0.17(23-I-4)	-0.09(23-I-2)	260(23-I-3)	-178(23-I-4)	127(23-I-2)
39	5	-0.86(22-I-3)	5.10(23-I-4)	1.16(23-II-2)	915(22-I-3)	-5440(23-I-4)	-1093(23-II-2)
39	6	-0.82(22-I-3)	2.86(23-I-4)	0.73(23-II-2)	877(22-I-3)	-3055(23-I-4)	759(23-I-2)
39	7	-0.83(23-I-3)	1.11(23-I-4)	-0.47(23-I-2)	885(23-I-3)	-1183(23-I-4)	522(23-I-2)
39	8	-0.84(23-I-3)	0.17(23-I-4)	-0.21(23-I-2)	896(23-I-3)	-177(23-I-4)	255(23-I-2)
39	9	-1.53(22-I-3)	5.06(23-I-4)	1.44(23-II-2)	1628(22-I-3)	-5399(23-I-4)	-1428(23-II-2)
39	10	-1.40(22-I-3)	2.84(23-I-4)	0.93(23-II-2)	1496(22-I-3)	-3034(23-I-4)	-945(23-II-2)
39	11	-1.31(22-I-3)	1.14(23-I-4)	0.63(23-II-2)	1400(22-I-3)	-1211(23-I-4)	-671(23-II-2)
39	12	-1.29(22-I-3)	0.18(23-I-4)	0.28(23-II-2)	1378(22-I-3)	-193(23-I-4)	-361(23-II-2)
39	13	1.69(22-II-3)	6.13(23-I-4)	1.62(23-II-2)	-1807(22-II-3)	-6536(23-I-4)	-1623(23-II-2)
39	14	-1.41(22-I-3)	3.20(23-I-4)	1.09(23-II-2)	1500(22-I-3)	-3415(23-I-4)	-1131(23-II-2)
39	15	-1.31(22-I-3)	1.23(23-I-4)	0.76(23-II-2)	1401(22-I-3)	-1308(23-I-4)	-825(23-II-2)
39	16	-1.30(22-I-3)	0.19(23-I-4)	0.34(23-II-2)	1385(22-I-3)	-201(23-I-4)	-444(23-II-2)
40	1	0.66(22-II-3)	1.70(23-II-2)	1.02(22-II-3)	-2473(22-II-3)	-6367(23-II-2)	-3843(22-II-3)
40	2	0.60(22-II-3)	1.55(23-II-2)	1.00(22-II-3)	-2247(22-II-3)	-5819(23-II-2)	-4000(22-II-3)
40	3	0.60(22-II-3)	1.64(23-II-2)	0.83(22-II-3)	-2233(22-II-3)	-6132(23-II-2)	-3307(22-II-3)
40	4	0.64(23-II-2)	1.90(23-II-2)	-1.00(23-II-2)	-2407(23-II-2)	-7116(23-II-2)	3764(23-II-2)
40	5	1.10(22-II-3)	1.57(23-II-2)	1.11(22-II-3)	-4114(22-II-3)	-5899(23-II-2)	-4492(22-II-3)
40	6	1.06(22-II-3)	1.04(23-II-2)	1.22(22-II-3)	-3986(22-II-3)	-3917(23-II-2)	-4774(22-II-3)
40	7	1.13(22-II-3)	0.49(23-II-2)	1.04(22-II-3)	-4226(22-II-3)	-1856(23-II-2)	-4115(22-II-3)
40	8	1.00(22-II-3)	-0.04(22-II-3)	0.56(22-II-3)	-3745(22-II-3)	141(22-II-3)	-2441(22-II-3)
40	9	1.51(22-II-3)	1.59(23-II-2)	1.04(22-II-3)	-5669(22-II-3)	-5948(23-II-2)	-4170(22-II-3)
40	10	1.55(22-II-3)	1.05(23-II-2)	1.16(22-II-3)	-5808(22-II-3)	-3941(23-II-2)	-4540(22-II-3)
40	11	1.50(22-II-3)	0.52(23-II-2)	1.01(22-II-3)	-5610(22-II-3)	-1942(23-II-2)	-3968(22-II-3)
40	12	1.63(22-II-3)	0.04(23-II-2)	0.51(22-II-3)	-6106(22-II-3)	-150(23-II-2)	-2251(22-II-3)
40	13	1.71(22-II-3)	1.72(23-II-2)	-0.85(22-I-3)	-6413(22-II-3)	-6459(23-II-2)	3200(22-I-3)
40	14	1.73(22-II-3)	1.55(23-II-2)	-0.83(22-I-3)	-6500(22-II-3)	-5816(23-II-2)	3310(22-I-3)
40	15	1.74(22-II-3)	1.61(23-II-2)	0.71(22-II-3)	-6540(22-II-3)	-6041(23-II-2)	-2816(22-II-3)
40	16	1.96(22-II-3)	1.81(23-II-2)	1.10(23-II-2)	-7351(22-II-3)	-6775(23-II-2)	-4126(23-II-2)
40	1	1.39(22-I-3)	6.55(23-I-2)	1.32(23-I-4)	-1479(22-I-3)	-6988(23-I-2)	-1162(23-I-4)
40	2	1.06(22-I-3)	3.37(23-I-2)	-0.73(23-II-4)	-1135(22-I-3)	-3598(23-I-2)	765(23-II-4)
40	3	0.92(23-I-2)	1.28(23-I-2)	-0.51(23-II-4)	-986(23-I-2)	-1361(23-I-2)	557(23-II-4)
40	4	0.83(23-I-2)	0.19(23-I-2)	-0.23(23-II-4)	-890(23-I-2)	-205(23-I-2)	299(23-II-4)
40	5	0.82(22-I-3)	5.00(23-I-2)	1.33(23-I-3)	-874(22-I-3)	-5338(23-I-2)	-1179(23-I-3)
40	6	0.55(22-I-3)	2.77(23-I-2)	0.66(23-I-4)	-587(22-I-3)	-2952(23-I-2)	668(23-II-4)
40	7	-0.41(22-II-3)	1.08(23-I-2)	-0.44(23-II-4)	438(22-II-3)	-1157(23-I-2)	474(23-II-4)
40	8	-0.41(22-II-3)	0.17(23-I-2)	-0.19(23-II-4)	441(22-II-3)	-180(23-I-2)	254(23-II-4)
40	9	0.38(22-I-3)	4.33(23-I-2)	0.97(23-I-3)	-408(22-I-3)	-4624(23-I-2)	-1010(23-I-3)
40	10	-0.32(23-I-4)	2.41(23-I-2)	0.62(23-I-3)	342(23-I-4)	-2571(23-I-2)	-648(23-I-3)
40	11	-0.45(23-I-4)	0.92(23-I-2)	0.39(23-I-3)	481(23-I-4)	-979(23-I-2)	-417(23-I-4)
40	12	-0.46(23-I-4)	0.13(23-I-2)	0.17(23-I-4)	491(23-I-4)	-142(23-I-2)	-206(23-I-4)
40	13	0.28(23-I-2)	4.65(23-I-2)	-0.51(23-II-3)	-300(23-I-2)	-4955(23-I-2)	-599(23-I-3)
40	14	-0.12(23-I-4)	2.40(23-I-2)	0.42(23-I-3)	123(23-I-4)	-2561(23-I-2)	-523(23-I-3)
40	15	-0.18(23-I-3)	0.89(23-I-2)	0.26(23-I-3)	189(23-I-3)	-951(23-I-2)	-332(23-I-3)
40	16	-0.17(23-I-3)	0.12(23-I-2)	0.08(23-I-3)	183(23-I-3)	-133(23-I-2)	-106(23-I-3)
43	1	0.68(23-II-4)	1.52(23-II-4)	-0.56(22-I-3)	-2569(23-II-4)	-5694(23-II-4)	2096(22-I-3)
43	2	0.60(23-II-4)	1.38(23-II-4)	-0.53(22-I-3)	-2258(23-II-4)	-5173(23-II-4)	2153(22-I-3)
43	3	0.58(23-II-4)	1.48(23-II-4)	-0.60(23-II-4)	-2158(23-II-4)	-5531(23-II-4)	2194(23-II-4)
43	4	0.85(23-II-4)	1.72(23-II-4)	-1.02(23-II-4)	-3198(23-II-4)	-6451(23-II-4)	3824(23-II-4)
43	5	0.62(23-II-4)	1.43(23-II-4)	0.32(23-I-4)	-2309(23-II-4)	-5347(23-II-4)	-1247(23-I-4)
43	6	-0.61(23-I-4)	0.94(23-II-4)	0.41(23-I-4)	2273(23-I-4)	-3510(23-II-4)	-1548(23-I-4)
43	7	-0.50(23-I-4)	0.45(23-II-4)	0.40(23-I-4)	1871(23-I-4)	-1699(23-II-4)	-1507(23-I-4)
43	8	-0.46(22-I-3)	0.09(22-I-3)	0.20(22-II-3)	1742(22-I-3)	-333(22-I-3)	-877(22-II-3)
43	9	-0.47(23-I-4)	1.59(23-II-4)	0.32(23-II-2)	1755(23-I-4)	-5959(23-II-4)	-1272(23-I-4)
43	10	-0.44(23-I-4)	1.08(23-II-4)	0.38(23-II-2)	1631(23-I-4)	-4049(23-II-4)	-1465(23-II-2)
43	11	-0.29(23-I-4)	0.50(23-II-4)	0.34(23-II-2)	1084(23-I-4)	-1889(23-II-4)	-1339(23-II-2)
43	12	-0.38(22-I-3)	0.03(23-I-2)	0.15(22-II-4)	1436(22-I-3)	-128(23-I-2)	-671(22-II-4)
43	13	0.18(23-II-4)	1.99(23-II-4)	0.25(23-II-2)	-680(23-II-4)	-7458(23-II-4)	-1006(23-II-2)
43	14	0.16(23-II-4)	1.94(23-II-4)	0.39(23-II-2)	-590(23-II-4)	-7274(23-II-4)	-1414(23-II-2)

Muro	Pann.	Sxx	Syy	Sxy	Mxx	Myy	Mxy
43	15	-0.09(23-I-4)	2.07(23-II-4)	0.54(23-II-3)	331(23-I-4)	-7770(23-II-4)	-1998(23-II-3)
43	16	-0.20(22-I-3)	2.27(23-II-4)	0.97(23-II-4)	751(22-I-3)	-8523(23-II-4)	-3621(23-II-4)
44	1	0	0	0	-6745(22-II-3)	-40932(23-II-4)	-987(23-II-2)
44	2	0	0	0	-5893(23-II-4)	-35867(23-II-4)	2010(23-I-2)
44	3	0	0	0	-4981(23-II-4)	-31140(23-II-4)	1600(23-I-2)
44	4	0	0	0	-3885(23-II-4)	-26460(23-II-4)	1628(22-I-3)
44	5	0	0	0	-5268(23-II-4)	-36846(23-II-4)	-1281(23-I-4)
44	6	0	0	0	-4878(23-II-4)	-33982(23-II-4)	922(23-I-4)
44	7	0	0	0	-4327(23-II-4)	-30808(23-II-4)	1150(23-II-4)
44	8	0	0	0	-3709(23-II-4)	-27137(23-II-4)	1318(23-II-4)
44	9	0	0	0	-4454(23-II-4)	-34025(23-II-4)	-1866(23-I-4)
44	10	0	0	0	-4151(23-II-4)	-32840(23-II-4)	-3117(23-I-4)
44	11	0	0	0	-3837(23-II-4)	-31089(23-II-4)	-3130(23-I-4)
44	12	0	0	0	-3624(23-II-4)	-28789(23-II-4)	-2685(23-I-4)
44	13	0	0	0	-3358(23-II-4)	-32809(23-II-4)	-3936(23-I-4)
44	14	0	0	0	1939(23-I-4)	-32515(23-II-4)	-5412(23-I-4)
44	15	0	0	0	-1654(23-II-4)	-31652(23-II-4)	-4472(23-I-4)
44	16	0	0	0	-2719(23-II-4)	-30493(23-II-4)	-3469(23-I-4)
49	1	0	0	0	-3182(23-II-2)	-35112(23-II-2)	-1430(23-II-2)
49	2	0	0	0	-1742(23-II-2)	-33854(23-II-2)	1681(23-I-2)
49	3	0	0	0	-1529(23-II-2)	-32138(23-II-2)	1230(22-I-2)
49	4	0	0	0	-2602(23-II-2)	-30008(23-II-2)	1447(22-I-2)
49	5	0	0	0	-4114(23-II-2)	-36146(23-II-2)	-557(23-I-4)
49	6	0	0	0	-3812(23-II-2)	-34537(23-II-2)	469(23-I-2)
49	7	0	0	0	-3631(23-II-2)	-32250(23-II-2)	-507(23-II-2)
49	8	0	0	0	-3545(23-II-2)	-29450(23-II-2)	-1007(22-II-2)
49	9	0	0	0	-5025(23-II-2)	-38636(23-II-2)	581(23-II-4)
49	10	0	0	0	-4737(23-II-2)	-35738(23-II-2)	-1421(23-I-3)
49	11	0	0	0	-4238(23-II-2)	-32501(23-II-2)	-1435(23-I-4)
49	12	0	0	0	-3720(23-II-2)	-28767(23-II-2)	-1700(22-II-3)
49	13	0	0	0	-6433(23-II-2)	-43064(23-II-2)	-1440(23-I-3)
49	14	0	0	0	-5747(23-II-2)	-38003(23-II-2)	-2720(23-I-2)
49	15	0	0	0	-4931(23-II-2)	-33287(23-II-2)	-2176(23-I-3)
49	16	0	0	0	-3948(23-II-2)	-28649(23-II-2)	-2668(22-II-3)
50	1	0.15(23-II-2)	1.93(23-II-2)	0.23(23-I-3)	-559(23-II-2)	-7225(23-II-2)	-777(23-I-3)
50	2	-0.13(23-I-2)	1.89(23-II-2)	0.42(23-I-2)	495(23-I-2)	-7092(23-II-2)	-1433(23-I-2)
50	3	0.05(20)	2.06(23-II-2)	0.60(23-I-2)	-194(20)	-7724(23-II-2)	-2107(23-I-2)
50	4	0.28(23-I-2)	-2.67(23-I-2)	1.16(23-I-2)	-1062(23-I-2)	10027(23-I-2)	-4345(23-I-2)
50	5	0.29(23-II-2)	1.60(23-II-2)	0.47(22-II-3)	-1097(23-II-2)	-6008(23-II-2)	-1842(22-II-3)
50	6	0.28(23-II-2)	1.07(23-II-2)	0.58(22-II-3)	-1051(23-II-2)	-4023(23-II-2)	-2246(22-II-3)
50	7	0.17(20)	0.49(23-II-2)	0.51(22-II-3)	-619(20)	-1848(23-II-2)	-2027(22-II-3)
50	8	0.49(23-I-2)	0.06(23-I-2)	0.22(22-II-3)	-1819(23-I-2)	-229(23-I-2)	-1045(22-II-3)
50	9	0.40(23-II-2)	1.52(23-II-2)	0.72(22-II-3)	-1497(23-II-2)	-5703(23-II-2)	-2867(22-II-3)
50	10	0.37(23-II-2)	1.00(23-II-2)	0.79(22-II-3)	-1399(23-II-2)	-3764(23-II-2)	-3128(22-II-3)
50	11	0.27(23-II-2)	0.49(23-II-2)	0.70(22-II-3)	-1018(23-II-2)	-1821(23-II-2)	-2795(22-II-3)
50	12	0.36(23-I-3)	0.09(22-II-3)	0.40(22-II-3)	-1368(23-I-3)	-352(22-II-3)	-1750(22-II-3)
50	13	0.41(23-II-2)	1.67(23-II-2)	0.89(22-II-3)	-1551(23-II-2)	-6260(23-II-2)	-3337(22-II-3)
50	14	0.38(20)	1.53(23-II-2)	0.87(22-II-3)	-1429(20)	-5747(23-II-2)	-3499(22-II-3)
50	15	0.36(20)	1.64(23-II-2)	0.74(22-II-3)	-1352(20)	-6144(23-II-2)	-3055(22-II-3)
50	16	0.59(23-II-2)	1.90(23-II-2)	1.09(23-II-2)	-2214(23-II-2)	-7138(23-II-2)	-4095(23-II-2)

FASCICOLO DEI CALCOLI

(VERIFICA DELLE TRAVI DI FONDAZIONE OLD)

Verifica delle travi

Scenario di calcolo : SetNT_SLU_SLE

Trave di Fond. : 9001 [1 , 9] Pilastrate [1 , 9]

Sez. T: Ba=70.0 cm Ha=30.0 cm Bs=50.0 cm Hs=120.0 cm L=1750.0 cm Ln=1750.0 cm Terreno: Terreno
 Criterio : CLS_TraviFondazione_Esist - Verifica a flessione rcm=320 [kg/cmq],fym=4656 [kg/cmq], FC=1.20 qd=3, qf=1.5

::Verificato

X	M-	M+	ΔM-	ΔM+	Afs	Afi	εc-	εf-	εc+	εf+	C-	C+
cm	kg*m	kg*m	kg*m	kg*m	cmq	cmq						
ILN	31632	135320	--	--	12.72	25.45	-0.13	0.83	-0.58	1.89	(22+23)-IV-2	(22+23)-IV-3
175.0	56893	69859	--	--	12.72	12.72	-0.26	1.51	-0.44	2.75	(22+23)-IV-2	(22+23)-IV-3
CAMP	58620	--	--	--	12.72	7.63	-0.27	1.56	--	--	(22+23)-IV-3	(22+23)-V-2
1575.0	56122	68894	--	--	12.72	12.72	-0.25	1.49	-0.37	1.84	(22+23)-VIII-1	(22+23)-VIII-4
FLN	30262	134096	--	--	12.72	25.45	-0.12	0.80	-0.57	1.83	(22+23)-VIII-1	(22+23)-VIII-4

X	x-	d-	x-/d-	x+	d+	x+/d+	Mr-	Mr+	C-	C+	Stato-	Stato+
cm	cm	cm		cm	cm		kg*m	kg*m				
ILN	19.7	147.5	0.133	34.5	147.5	0.234	71981	143067	(22+23)-IV-2	(22+23)-IV-3	Parz.	Parz.
175.0	21.3	147.5	0.145	20.3	147.5	0.138	71982	71864	(22+23)-IV-2	(22+23)-IV-3	Parz.	Parz.
CAMP	22.0	147.5	0.149	--	--	--	71978	43233	(22+23)-IV-3	(22+23)-V-2	Parz.	--
1575.0	21.3	147.5	0.145	24.7	147.5	0.167	71982	71864	(22+23)-VIII-1	(22+23)-VIII-4	Parz.	Parz.
FLN	19.7	147.5	0.133	34.8	147.5	0.236	71981	143067	(22+23)-VIII-1	(22+23)-VIII-4	Parz.	Parz.

Verifica a taglio:cot(θ) Sin=2.500,cot(θ) Cen=2.500,cot(θ) Des=2.500

Comb Sin=(22+23)-III-4 Cen=(22+23)-III-3 Des=(22+23)-VII-4

Sez	Td	VRdns	VRcd	VRsd	VRd	Tpl	Mr	Dx	Staffe
	kg	kg	kg	kg	kg	kg	kg*m	cm	cmq/m
Sin	98720	--	143533	98720	98720	0	143067	150.0	8.82
Cen	58291	--	143533	58291	58291	--	--	--	5.21
Des	96600	--	143533	96600	96600	0	71981	150.0	8.63

Trave di Fond. : 9002 [1 , 2] Pilastrate [1 , 2]

Sez. T: Ba=190.0 cm Ha=30.0 cm Bs=160.0 cm Hs=180.0 cm L=370.0 cm Ln=395.0 cm Terreno: Terreno
 Criterio : CLS_TraviFondazione_Esist - Verifica a flessione rcm=320 [kg/cmq],fym=4656 [kg/cmq], FC=1.20 qd=3, qf=1.5

::Verificato

X	M-	M+	ΔM-	ΔM+	Afs	Afi	εc-	εf-	εc+	εf+	C-	C+
cm	kg*m	kg*m	kg*m	kg*m	cmq	cmq						
ILN	56700	85391	--	--	10.18	12.72	-0.10	1.31	-0.15	1.58	(22+23)-III-3	(22+23)-III-2
39.5	84447	78702	--	--	12.72	10.18	-0.14	1.56	-0.15	1.82	(22+23)-I-3	(22+23)-I-2
CAMP	146263	75464	--	--	20.36	10.18	-0.19	1.70	-0.14	1.74	(22+23)-III-4	(22+23)-III-1
355.5	118336	75758	--	--	15.27	10.18	-0.18	1.83	-0.14	1.75	(22+23)-III-4	(22+23)-III-1
FLN	99848	80757	--	--	12.72	10.18	-0.17	1.96	-0.26	5.62	(22+23)-III-4	(22+23)-III-1

X	x-	d-	x-/d-	x+	d+	x+/d+	Mr-	Mr+	C-	C+	Stato-	Stato+
cm	cm	cm		cm	cm		kg*m	kg*m				
ILN	14.7	207.5	0.071	18.0	207.5	0.087	81941	102067	(22+23)-III-3	(22+23)-III-2	Parz.	Parz.
39.5	16.6	207.5	0.080	16.0	207.5	0.077	102199	81808	(22+23)-I-3	(22+23)-I-2	Parz.	Parz.
CAMP	20.9	207.5	0.101	15.5	207.5	0.075	162992	81821	(22+23)-III-4	(22+23)-III-1	Parz.	Parz.
355.5	18.2	207.5	0.088	15.8	207.5	0.076	122468	81814	(22+23)-III-4	(22+23)-III-1	Parz.	Parz.
FLN	16.1	207.5	0.078	9.2	207.5	0.044	102199	81808	(22+23)-III-4	(22+23)-III-1	Parz.	Parz.

Verifica a taglio: cot(θ) Sin=2.500, cot(θ) Des=2.500

Comb Sin=(22+23)-III-4 Des=(22+23)-IV-4

Sez	Td	VRdns	VRcd	VRsd	VRd	Tpl	Mr	Dx	Staffe
	kg	kg	kg	kg	kg	kg	kg*m	cm	cmq/m
Sin	135154	--	646141	135154	135154	0	102067	197.5	8.58
Des	78127	--	646141	78127	78127	0	102199	197.5	4.96

Trave di Fond. : 9002 [2 , 3] Pilastrate [2 , 3]

Sez. T: Ba=190.0 cm Ha=30.0 cm Bs=160.0 cm Hs=180.0 cm L=370.0 cm Ln=370.0 cm Terreno: Terreno

Criterio : CLS_TraviFondazione_Esist - Verifica a flessione rcm=320 [kg/cmq], fym=4656 [kg/cmq], FC=1.20 qd=3, qf=1.5

::Verificato

X	M-	M+	Δ M-	Δ M+	Afs	Afi	ϵ c-	ϵ f-	ϵ c+	ϵ f+	C-	C+
cm	kg*m	kg*m	kg*m	kg*m	cmq	cmq						
ILN	180212	164197	--	--	25.45	22.90	-0.21	1.68	-0.21	1.70	(22+23)-III-4	(22+23)-III-1
37.0	180308	143916	--	--	22.90	20.36	-0.32	4.23	-0.20	1.68	(22+23)-III-4	(22+23)-III-1
CAMP	176894	125278	--	--	25.45	17.81	-0.21	1.65	-0.18	1.66	(22+23)-III-4	(22+23)-III-1
333.0	64918	46177	--	--	10.18	7.63	-0.12	1.50	-0.10	1.42	(22+23)-III-4	(22+23)-III-1
FLN	39029	44453	--	--	5.09	7.63	-0.10	1.79	-0.10	1.37	(22+23)-III-4	(22+23)-III-1

X	x-	d-	x-/d-	x+	d+	x+/d+	Mr-	Mr+	C-	C+	Stato-	Stato+
cm	cm	cm		cm	cm		kg*m	kg*m				
ILN	22.7	207.5	0.109	23.1	207.5	0.111	203486	183076	(22+23)-III-4	(22+23)-III-1	Parz.	Parz.
37.0	14.5	207.5	0.070	21.9	207.5	0.106	183240	162830	(22+23)-III-4	(22+23)-III-1	Parz.	Parz.
CAMP	23.0	207.5	0.111	20.4	207.5	0.098	203489	142581	(22+23)-III-4	(22+23)-III-1	Parz.	Parz.
333.0	14.9	207.5	0.072	13.9	207.5	0.067	81911	61533	(22+23)-III-4	(22+23)-III-1	Parz.	Parz.
FLN	10.6	207.5	0.051	14.2	207.5	0.068	41351	61491	(22+23)-III-4	(22+23)-III-1	Parz.	Parz.

Verifica a taglio: cot(θ) Sin=2.500, cot(θ) Des=2.500

Comb Sin=(22+23)-III-2 Des=(22+23)-III-4

Sez	Td	VRdns	VRcd	VRsd	VRd	Tpl	Mr	Dx	Staffe
	kg	kg	kg	kg	kg	kg	kg*m	cm	cmq/m
Sin	100043	--	646141	100043	100043	0	203486	185.0	6.35
Des	122176	--	646141	122176	122176	0	61491	185.0	7.76

Trave di Fond. : 9002 [3 , 4] Pilastrate [3 , 4]

Sez. T: Ba=190.0 cm Ha=30.0 cm Bs=160.0 cm Hs=180.0 cm L=370.0 cm Ln=370.0 cm Terreno: Terreno

Criterio : CLS_TraviFondazione_Esist - Verifica a flessione rcm=320 [kg/cmq], fym=4656 [kg/cmq], FC=1.20 qd=3, qf=1.5

::Verificato

X	M-	M+	Δ M-	Δ M+	Afs	Afi	ϵ c-	ϵ f-	ϵ c+	ϵ f+	C-	C+
cm	kg*m	kg*m	kg*m	kg*m	cmq	cmq						
ILN	124225	130857	--	--	17.81	17.81	-0.17	1.65	-0.19	1.74	(22+23)-I-3	(22+23)-I-2
37.0	118986	106119	--	--	15.27	15.27	-0.17	1.84	-0.17	1.64	(22+23)-III-4	(22+23)-III-1
CAMP	112179	84585	--	--	15.27	12.72	-0.17	1.73	-0.15	1.57	(22+23)-III-4	(22+23)-III-1
333.0	10053	11055	--	--	5.09	5.09	-0.02	0.46	-0.03	0.51	(22+23)-I-1	(22+23)-I-4
FLN	10759	34558	--	--	5.09	5.09	-0.03	0.49	-0.09	1.59	(22+23)-III-1	(22+23)-III-4

X	x-	d-	x-/d-	x+	d+	x+/d+	Mr-	Mr+	C-	C+	Stato-	Stato+
cm	cm	cm		cm	cm		kg*m	kg*m				
ILN	19.2	207.5	0.093	20.8	207.5	0.100	142735	142583	(22+23)-I-3	(22+23)-I-2	Parz.	Parz.
37.0	17.9	207.5	0.086	19.4	207.5	0.093	122475	122330	(22+23)-III-4	(22+23)-III-1	Parz.	Parz.
CAMP	18.0	207.5	0.087	17.7	207.5	0.085	122472	102073	(22+23)-III-4	(22+23)-III-1	Parz.	Parz.
333.0	10.6	207.5	0.051	11.5	207.5	0.056	41244	41202	(22+23)-I-1	(22+23)-I-4	Parz.	Parz.
FLN	10.6	207.5	0.051	11.6	207.5	0.056	41244	41202	(22+23)-III-1	(22+23)-III-4	Parz.	Parz.

Verifica a taglio: cot(θ) Sin=2.500, cot(θ) Des=2.500

Comb Sin=(22+23)-III-2 Des=(22+23)-III-4

IperSpaceMax 9.0.1 Copyright© 2016 Soft.Lab:

Sez	Td	VRdns	VRcd	VRsd	VRd	Tpl	Mr	Dx	Staffe
	kg	kg	kg	kg	kg	kg	kg*m	cm	cmq/m
Sin	118074	--	646141	118074	118074	0	142735	185.0	7.50
Des	117802	--	646141	117802	117802	0	41202	185.0	7.48

Trave di Fond. : 9002 [4 , 5] Pilastrate [4 , 5]

Sez. T: Ba=190.0 cm Ha=30.0 cm Bs=160.0 cm Hs=180.0 cm L=370.0 cm Ln=370.0 cm Terreno: **Terreno**

Criterio : CLS_TraviFondazione_Esist - Verifica a flessione rcm=320 [kg/cmq],fym=4656 [kg/cmq], FC=1.20 qd=3, qf=1.5

::Verificato

X	M-	M+	ΔM-	ΔM+	Afs	Afi	εc-	εf-	εc+	εf+	C-	C+
cm	kg*m	kg*m	kg*m	kg*m	cmq	cmq						
ILN	61877	85884	--	--	10.18	12.72	-0.11	1.43	-0.15	1.59	(22+23)-I-3	(22+23)-I-2
37.0	57527	60715	--	--	7.63	7.63	-0.12	1.77	-0.25	6.66	(22+23)-I-4	(22+23)-I-1
CAMP	51525	12408	--	--	7.63	5.09	-0.11	1.58	-0.03	0.57	(22+23)-I-4	(22+23)-II-1
333.0	51612	55988	--	--	7.63	7.63	-0.11	1.58	-0.13	1.72	(22+23)-I-1	(22+23)-I-4
FLN	54935	80472	--	--	7.63	10.18	-0.11	1.69	-0.22	3.83	(22+23)-I-1	(22+23)-I-4

X	x-	d-	x-/d-	x+	d+	x+/d+	Mr-	Mr+	C-	C+	Stato-	Stato+
cm	cm	cm		cm	cm		kg*m	kg*m				
ILN	14.7	207.5	0.071	18.0	207.5	0.087	81941	102067	(22+23)-I-3	(22+23)-I-2	Parz.	Parz.
37.0	13.0	207.5	0.063	7.5	207.5	0.036	61631	61517	(22+23)-I-4	(22+23)-I-1	Parz.	Parz.
CAMP	13.1	207.5	0.063	11.4	207.5	0.055	61593	41241	(22+23)-I-4	(22+23)-II-1	Parz.	Parz.
333.0	13.0	207.5	0.062	14.1	207.5	0.068	61631	61517	(22+23)-I-1	(22+23)-I-4	Parz.	Parz.
FLN	12.9	207.5	0.062	11.4	207.5	0.055	61656	81791	(22+23)-I-1	(22+23)-I-4	Parz.	Parz.

Verifica a taglio:cot(θ) Sin=2.500,cot(θ) Des=2.500

Comb Sin=(22+23)-III-2 Des=(22+23)-III-4

Sez	Td	VRdns	VRcd	VRsd	VRd	Tpl	Mr	Dx	Staffe
	kg	kg	kg	kg	kg	kg	kg*m	cm	cmq/m
Sin	114738	--	646141	114738	114738	0	81941	185.0	7.28
Des	112303	--	646141	112303	112303	0	81791	185.0	7.13

Trave di Fond. : 9002 [5 , 6] Pilastrate [5 , 6]

Sez. T: Ba=190.0 cm Ha=30.0 cm Bs=160.0 cm Hs=180.0 cm L=370.0 cm Ln=370.0 cm Terreno: **Terreno**

Criterio : CLS_TraviFondazione_Esist - Verifica a flessione rcm=320 [kg/cmq],fym=4656 [kg/cmq], FC=1.20 qd=3, qf=1.5

::Verificato

X	M-	M+	ΔM-	ΔM+	Afs	Afi	εc-	εf-	εc+	εf+	C-	C+
cm	kg*m	kg*m	kg*m	kg*m	cmq	cmq						
ILN	15928	41087	--	--	5.09	5.09	-0.04	0.73	-1.99	257.17	(22+23)-I-4	(22+23)-I-1
37.0	12996	15330	--	--	5.09	5.09	-0.03	0.60	-0.04	0.70	(22+23)-I-4	(22+23)-I-1
CAMP	104508	79345	--	--	15.27	10.18	-0.15	1.62	-0.15	1.83	(22+23)-I-2	(22+23)-I-3
333.0	110791	100760	--	--	15.27	12.72	-0.16	1.71	-0.28	5.30	(22+23)-I-2	(22+23)-I-3
FLN	114758	124709	--	--	17.81	17.81	-0.16	1.52	-0.18	1.66	(22+23)-I-1	(22+23)-I-4

X	x-	d-	x-/d-	x+	d+	x+/d+	Mr-	Mr+	C-	C+	Stato-	Stato+
cm	cm	cm		cm	cm		kg*m	kg*m				
ILN	10.7	207.5	0.051	1.6	207.5	0.008	41244	41202	(22+23)-I-4	(22+23)-I-1	Parz.	Parz.
37.0	10.7	207.5	0.051	11.6	207.5	0.056	41244	41202	(22+23)-I-4	(22+23)-I-1	Parz.	Parz.
CAMP	18.2	207.5	0.087	15.8	207.5	0.076	122468	81814	(22+23)-I-2	(22+23)-I-3	Parz.	Parz.
333.0	18.0	207.5	0.087	10.5	207.5	0.051	122472	102073	(22+23)-I-2	(22+23)-I-3	Parz.	Parz.
FLN	19.2	207.5	0.093	20.8	207.5	0.100	142735	142583	(22+23)-I-1	(22+23)-I-4	Parz.	Parz.

Verifica a taglio:cot(θ) Sin=2.500,cot(θ) Des=2.500

Comb Sin=(22+23)-I-2 Des=(22+23)-I-4

Sez	Td	VRdns	VRcd	VRsd	VRd	Tpl	Mr	Dx	Staffe
	kg	kg	kg	kg	kg	kg	kg*m	cm	cmq/m
Sin	119428	--	646141	119428	119428	0	41202	185.0	7.58

IperSpaceMax 9.0.1 Copyright© 2016 Soft.Lab:

Sez	Td	VRdns	VRcd	VRsd	VRd	Tpl	Mr	Dx	Staffe
Des	114811	--	646141	114811	114811	0	142735	185.0	7.29

Trave di Fond. : 9002 [6 , 7] Pilastrate [6 , 7]

Sez. T: Ba=190.0 cm Ha=30.0 cm Bs=160.0 cm Hs=180.0 cm L=370.0 cm Ln=370.0 cm Terreno: **Terreno**
 Criterio : CLS_TraviFondazione_Esist - Verifica a flessione rcm=320 [kg/cmq],fym=4656 [kg/cmq], FC=1.20 qd=3, qf=1.5

::Verificato

X	M-	M+	ΔM-	ΔM+	Afs	Afi	εc-	εf-	εc+	εf+	C-	C+
cm	kg*m	kg*m	kg*m	kg*m	cmq	cmq						
ILN	28843	37496	--	--	5.09	5.09	-0.07	1.32	-0.10	1.72	(22+23)-I-2	(22+23)-I-3
37.0	55218	39090	--	--	7.63	5.09	-0.11	1.70	-0.11	1.80	(22+23)-I-2	(22+23)-I-3
CAMP	168241	117476	--	--	22.90	15.27	-0.21	1.75	-0.18	1.82	(22+23)-I-2	(22+23)-I-3
333.0	171602	136211	--	--	22.90	17.81	-0.21	1.78	-0.20	1.81	(22+23)-I-2	(22+23)-I-3
FLN	171454	156699	--	--	22.90	20.36	-0.21	1.78	-0.22	1.83	(22+23)-I-2	(22+23)-I-3

X	x-	d-	x-/d-	x+	d+	x+/d+	Mr-	Mr+	C-	C+	Stato-	Stato+
cm	cm	cm		cm	cm		kg*m	kg*m				
ILN	10.7	207.5	0.051	11.6	207.5	0.056	41244	41202	(22+23)-I-2	(22+23)-I-3	Parz.	Parz.
37.0	13.1	207.5	0.063	11.5	207.5	0.055	61593	41241	(22+23)-I-2	(22+23)-I-3	Parz.	Parz.
CAMP	21.9	207.5	0.106	19.0	207.5	0.091	183242	122330	(22+23)-I-2	(22+23)-I-3	Parz.	Parz.
333.0	21.8	207.5	0.105	20.5	207.5	0.099	183241	142581	(22+23)-I-2	(22+23)-I-3	Parz.	Parz.
FLN	21.7	207.5	0.105	22.0	207.5	0.106	183240	162830	(22+23)-I-2	(22+23)-I-3	Parz.	Parz.

Verifica a taglio:cot(θ) Sin=2.500,cot(θ) Des=2.500

Comb Sin=(22+23)-I-2 Des=(22+23)-I-4

Sez	Td	VRdns	VRcd	VRsd	VRd	Tpl	Mr	Dx	Staffe
	kg	kg	kg	kg	kg	kg	kg*m	cm	cmq/m
Sin	124127	--	646141	124127	124127	0	41202	185.0	7.88
Des	100272	--	646141	100272	100272	0	183240	185.0	6.37

Trave di Fond. : 9002 [7 , 8] Pilastrate [7 , 8]

Sez. T: Ba=190.0 cm Ha=30.0 cm Bs=160.0 cm Hs=180.0 cm L=370.0 cm Ln=395.0 cm Terreno: **Terreno**
 Criterio : CLS_TraviFondazione_Esist - Verifica a flessione rcm=320 [kg/cmq],fym=4656 [kg/cmq], FC=1.20 qd=3, qf=1.5

::Verificato

X	M-	M+	ΔM-	ΔM+	Afs	Afi	εc-	εf-	εc+	εf+	C-	C+
cm	kg*m	kg*m	kg*m	kg*m	cmq	cmq						
ILN	89494	71637	--	--	12.72	10.18	-0.14	1.66	-0.14	1.66	(22+23)-I-2	(22+23)-I-3
39.5	109134	67085	--	--	15.27	10.18	-0.16	1.69	-0.13	1.55	(22+23)-I-2	(22+23)-I-3
CAMP	140980	74390	--	--	17.81	10.18	-0.35	6.52	-0.14	1.72	(22+23)-I-2	(22+23)-I-3
355.5	85113	79232	--	--	12.72	10.18	-0.14	1.58	-0.15	1.83	(22+23)-I-2	(22+23)-I-3
FLN	58667	87811	--	--	10.18	12.72	-0.10	1.35	-0.15	1.63	(22+23)-I-1	(22+23)-I-4

X	x-	d-	x-/d-	x+	d+	x+/d+	Mr-	Mr+	C-	C+	Stato-	Stato+
cm	cm	cm		cm	cm		kg*m	kg*m				
ILN	16.6	207.5	0.080	15.9	207.5	0.077	102199	81808	(22+23)-I-2	(22+23)-I-3	Parz.	Parz.
39.5	18.2	207.5	0.088	15.8	207.5	0.076	122468	81814	(22+23)-I-2	(22+23)-I-3	Parz.	Parz.
CAMP	10.7	207.5	0.051	15.7	207.5	0.076	142733	81818	(22+23)-I-2	(22+23)-I-3	Parz.	Parz.
355.5	16.6	207.5	0.080	16.0	207.5	0.077	102199	81808	(22+23)-I-2	(22+23)-I-3	Parz.	Parz.
FLN	14.7	207.5	0.071	18.0	207.5	0.087	81941	102067	(22+23)-I-1	(22+23)-I-4	Parz.	Parz.

Verifica a taglio:cot(θ) Sin=2.500,cot(θ) Des=2.500

Comb Sin=(22+23)-II-2 Des=(22+23)-I-2

Sez	Td	VRdns	VRcd	VRsd	VRd	Tpl	Mr	Dx	Staffe
	kg	kg	kg	kg	kg	kg	kg*m	cm	cmq/m
Sin	82577	--	646141	82577	82577	0	102199	197.5	5.24
Des	125146	--	646141	125146	125146	0	102067	197.5	7.94

IperSpaceMax 9.0.1 Copyright© 2016 Soft.Lab:

Trave di Fond. : 9003 [2 , 812] Pilastrate [2 , -]

Sez. T: Ba=70.0 cm Ha=30.0 cm Bs=50.0 cm Hs=120.0 cm L=360.0 cm Ln=360.0 cm Terreno: **Terreno**
 Criterio : CLS_TraviFondazione_Esist - Verifica a flessione rcm=320 [kg/cmq],fym=4656 [kg/cmq], FC=1.20 qd=3, qf=1.5
 ::Verificato

X	M-	M+	ΔM-	ΔM+	Afs	Afi	εc-	εf-	εc+	εf+	C-	C+
cm	kg*m	kg*m	kg*m	kg*m	cmq	cmq						
ILN	23114	124869	--	--	12.72	22.90	-0.10	0.61	-0.74	3.90	(22+23)-IV-2	(22+23)-IV-3
36.0	32618	111218	--	--	10.18	20.36	-0.15	1.07	-0.72	4.11	(22+23)-IV-2	(22+23)-IV-3
CAMP	55526	98248	--	--	12.72	17.81	-0.24	1.47	-0.71	5.06	(22+23)-VIII-4	(22+23)-IV-3
324.0	55116	30891	--	--	10.18	7.63	-0.28	1.83	-0.20	1.36	(22+23)-VIII-4	(22+23)-VIII-1
FLN	54111	24649	--	--	10.18	5.09	-0.28	1.80	-0.19	1.62	(22+23)-VIII-4	(22+23)-VIII-1

X	x-	d-	x-/d-	x+	d+	x+/d+	Mr-	Mr+	C-	C+	Stato-	Stato+
cm	cm	cm		cm	cm		kg*m	kg*m				
ILN	19.9	147.5	0.135	23.4	147.5	0.159	71981	128975	(22+23)-IV-2	(22+23)-IV-3	Parz.	Parz.
36.0	18.1	147.5	0.123	22.0	147.5	0.149	57662	114660	(22+23)-IV-2	(22+23)-IV-3	Parz.	Parz.
CAMP	20.7	147.5	0.140	18.1	147.5	0.122	71982	100458	(22+23)-VIII-4	(22+23)-IV-3	Parz.	Parz.
324.0	19.8	147.5	0.134	19.3	147.5	0.131	57666	43234	(22+23)-VIII-4	(22+23)-VIII-1	Parz.	Parz.
FLN	20.1	147.5	0.136	15.7	147.5	0.107	57666	28911	(22+23)-VIII-4	(22+23)-VIII-1	Parz.	Parz.

Verifica a taglio:cot(θ) Sin=2.500,cot(θ) Cen=2.500,cot(θ) Des=2.500

Comb Sin=(22+23)-III-3 Cen=(22+23)-IV-3 Des=(22+23)-IV-3

Sez	Td	VRdns	VRcd	VRsd	VRd	Tpl	Mr	Dx	Staffe
	kg	kg	kg	kg	kg	kg	kg*m	cm	cmq/m
Sin	53763	--	143533	53763	53763	0	128975	150.0	4.80
Cen	39533	--	143533	39533	39533	--	--	--	3.53
Des	37482	--	143533	37482	37482	0	57666	150.0	3.35

Trave di Fond. : 9003 [812 , 0] Pilastrate [- , -]

Sez. T: Ba=70.0 cm Ha=30.0 cm Bs=50.0 cm Hs=120.0 cm L=1030.0 cm Ln=1030.0 cm Terreno: **Terreno**
 Criterio : CLS_TraviFondazione_Esist - Verifica a flessione rcm=320 [kg/cmq],fym=4656 [kg/cmq], FC=1.20 qd=3, qf=1.5
 ::Verificato

X	M-	M+	ΔM-	ΔM+	Afs	Afi	εc-	εf-	εc+	εf+	C-	C+
cm	kg*m	kg*m	kg*m	kg*m	cmq	cmq						
ILN	54111	24649	--	--	10.18	5.09	-0.28	1.80	-0.19	1.62	(22+23)-VIII-4	(22+23)-VIII-1
103.0	48922	10079	--	--	10.18	5.09	-0.26	1.62	-0.08	0.66	(22+23)-VIII-4	(22+23)-VIII-1
CAMP	42120	--	--	--	7.63	5.09	-0.26	2.10	--	--	(22+23)-IV-3	20
927.0	49064	9945	--	--	10.18	5.09	-0.26	1.63	-0.08	0.65	(22+23)-IV-3	(22+23)-IV-2
FLN	54421	24623	--	--	10.18	5.09	-0.28	1.81	-0.19	1.61	(22+23)-IV-3	(22+23)-IV-2

X	x-	d-	x-/d-	x+	d+	x+/d+	Mr-	Mr+	C-	C+	Stato-	Stato+
cm	cm	cm		cm	cm		kg*m	kg*m				
ILN	20.1	147.5	0.136	15.7	147.5	0.107	57666	28911	(22+23)-VIII-4	(22+23)-VIII-1	Parz.	Parz.
103.0	20.1	147.5	0.136	15.6	147.5	0.106	57666	28911	(22+23)-VIII-4	(22+23)-VIII-1	Parz.	Parz.
CAMP	16.4	147.5	0.111	--	--	--	43343	28912	(22+23)-IV-3	20	Parz.	--
927.0	20.1	147.5	0.136	15.6	147.5	0.106	57666	28911	(22+23)-IV-3	(22+23)-IV-2	Parz.	Parz.
FLN	20.1	147.5	0.136	15.7	147.5	0.107	57666	28911	(22+23)-IV-3	(22+23)-IV-2	Parz.	Parz.

Verifica a taglio:cot(θ) Sin=2.500,cot(θ) Cen=2.500,cot(θ) Des=2.500

Comb Sin=(22+23)-IV-3 Cen=(22+23)-IV-3 Des=(22+23)-VIII-4

Sez	Td	VRdns	VRcd	VRsd	VRd	Tpl	Mr	Dx	Staffe
	kg	kg	kg	kg	kg	kg	kg*m	cm	cmq/m
Sin	28352	--	143533	33592	33592	0	28911	150.0	3.00
Cen	16855	--	143533	33592	33592	--	--	--	3.00
Des	28170	--	143533	33592	33592	0	57666	150.0	3.00

Trave di Fond. : 9003 [0 , 10] Pilastrate [- , 10]

Sez. T: Ba=70.0 cm Ha=30.0 cm Bs=50.0 cm Hs=120.0 cm L=360.0 cm Ln=360.0 cm Terreno: **Terreno**

IperSpaceMax 9.0.1 Copyright© 2016 Soft.Lab:

Criteria : CLS_TraviFondazione_Esist - Verifica a flessione rcm=320 [kg/cmq],fym=4656 [kg/cmq], FC=1.20 qd=3, qf=1.5

::Verificato

X	M-	M+	ΔM-	ΔM+	Afs	Afi	εc-	εf-	εc+	εf+	C-	C+
cm	kg*m	kg*m	kg*m	kg*m	cmq	cmq						
ILN	54421	24623	--	--	10.18	5.09	-0.28	1.81	-0.19	1.61	(22+23)-IV-3	(22+23)-IV-2
36.0	55508	30927	--	--	10.18	7.63	-0.28	1.84	-0.21	1.36	(22+23)-IV-3	(22+23)-IV-2
CAMP	56009	97502	--	--	12.72	17.81	-0.24	1.48	-0.60	3.47	(22+23)-IV-3	(22+23)-VIII-4
324.0	32198	110471	--	--	10.18	20.36	-0.15	1.06	-0.63	3.11	(22+23)-VIII-1	(22+23)-VIII-4
FLN	22660	124130	--	--	12.72	22.90	-0.09	0.60	-0.67	3.09	(22+23)-VIII-1	(22+23)-VIII-4

X	x-	d-	x-/d-	x+	d+	x+/d+	Mr-	Mr+	C-	C+	Stato-	Stato+
cm	cm	cm		cm	cm		kg*m	kg*m				
ILN	20.1	147.5	0.136	15.7	147.5	0.107	57666	28911	(22+23)-IV-3	(22+23)-IV-2	Parz.	Parz.
36.0	19.8	147.5	0.134	19.3	147.5	0.131	57666	43234	(22+23)-IV-3	(22+23)-IV-2	Parz.	Parz.
CAMP	20.7	147.5	0.140	21.7	147.5	0.147	71982	100458	(22+23)-IV-3	(22+23)-VIII-4	Parz.	Parz.
324.0	18.1	147.5	0.123	25.0	147.5	0.170	57662	114660	(22+23)-VIII-1	(22+23)-VIII-4	Parz.	Parz.
FLN	19.9	147.5	0.135	26.1	147.5	0.177	71981	128975	(22+23)-VIII-1	(22+23)-VIII-4	Parz.	Parz.

Verifica a taglio:cot(θ) Sin=2.500,cot(θ) Cen=2.500,cot(θ) Des=2.500

Comb Sin=(22+23)-VIII-4 Cen=(22+23)-VIII-4 Des=(22+23)-VII-4

Sez	Td	VRdns	VRcd	VRsd	VRd	Tpl	Mr	Dx	Staffe
	kg	kg	kg	kg	kg	kg	kg*m	cm	cmq/m
Sin	37298	--	143533	37298	37298	0	57666	150.0	3.33
Cen	39357	--	143533	39357	39357	--	--	--	3.51
Des	53130	--	143533	53130	53130	0	128975	150.0	4.74

Trave di Fond. : 9004 [3 , 802] Pilastrate [3 , -]

Sez. T: Ba=70.0 cm Ha=30.0 cm Bs=50.0 cm Hs=120.0 cm L=360.0 cm Ln=360.0 cm Terreno: Terreno

Criteria : CLS_TraviFondazione_Esist - Verifica a flessione rcm=320 [kg/cmq],fym=4656 [kg/cmq], FC=1.20 qd=3, qf=1.5

::Verificato

X	M-	M+	ΔM-	ΔM+	Afs	Afi	εc-	εf-	εc+	εf+	C-	C+
cm	kg*m	kg*m	kg*m	kg*m	cmq	cmq						
ILN	21554	114834	--	--	12.72	22.90	-0.09	0.57	-0.50	1.74	(22+23)-VIII-4	(22+23)-VIII-1
36.0	30694	102440	--	--	10.18	20.36	-0.14	1.01	-0.47	1.74	(22+23)-VIII-4	(22+23)-VIII-1
CAMP	52374	90636	--	--	12.72	17.81	-0.23	1.39	-0.43	1.75	(22+23)-VIII-4	(22+23)-VIII-1
324.0	51503	28111	--	--	10.18	5.09	-0.27	1.71	-0.22	1.84	(22+23)-VIII-4	(22+23)-VIII-1
FLN	50240	22061	--	--	10.18	5.09	-0.26	1.67	-0.17	1.45	(22+23)-VIII-4	(22+23)-VIII-1

X	x-	d-	x-/d-	x+	d+	x+/d+	Mr-	Mr+	C-	C+	Stato-	Stato+
cm	cm	cm		cm	cm		kg*m	kg*m				
ILN	19.9	147.5	0.135	33.0	147.5	0.224	71981	128975	(22+23)-VIII-4	(22+23)-VIII-1	Parz.	Parz.
36.0	18.1	147.5	0.123	31.6	147.5	0.214	57662	114660	(22+23)-VIII-4	(22+23)-VIII-1	Parz.	Parz.
CAMP	20.7	147.5	0.140	29.2	147.5	0.198	71982	100458	(22+23)-VIII-4	(22+23)-VIII-1	Parz.	Parz.
324.0	20.1	147.5	0.136	15.8	147.5	0.107	57666	28911	(22+23)-VIII-4	(22+23)-VIII-1	Parz.	Parz.
FLN	20.1	147.5	0.136	15.7	147.5	0.106	57666	28911	(22+23)-VIII-4	(22+23)-VIII-1	Parz.	Parz.

Verifica a taglio:cot(θ) Sin=2.500,cot(θ) Cen=2.500,cot(θ) Des=2.500

Comb Sin=3 Cen=(22+23)-VIII-1 Des=(22+23)-VIII-1

Sez	Td	VRdns	VRcd	VRsd	VRd	Tpl	Mr	Dx	Staffe
	kg	kg	kg	kg	kg	kg	kg*m	cm	cmq/m
Sin	46112	--	143533	46112	46112	0	128975	150.0	4.12
Cen	35903	--	143533	35903	35903	--	--	--	3.21
Des	34149	--	143533	34149	34149	0	57666	150.0	3.05

Trave di Fond. : 9004 [802 , 804] Pilastrate [- , -]

Sez. T: Ba=70.0 cm Ha=30.0 cm Bs=50.0 cm Hs=120.0 cm L=1030.0 cm Ln=1030.0 cm Terreno: Terreno

Criteria : CLS_TraviFondazione_Esist - Verifica a flessione rcm=320 [kg/cmq],fym=4656 [kg/cmq], FC=1.20 qd=3, qf=1.5

::Verificato

IperSpaceMax 9.0.1 Copyright© 2016 Soft.Lab:

X	M-	M+	ΔM-	ΔM+	Afs	Afi	εc-	εf-	εc+	εf+	C-	C+
cm	kg*m	kg*m	kg*m	kg*m	cmq	cmq						
ILN	50240	22061	--	--	10.18	5.09	-0.26	1.67	-0.17	1.45	(22+23)-VIII-4	(22+23)-VIII-1
103.0	44719	8039	--	--	10.18	5.09	-0.23	1.48	-0.06	0.53	(22+23)-IV-4	(22+23)-IV-1
CAMP	38109	--	--	--	7.63	5.09	-0.22	1.68	--	--	(22+23)-IV-3	20
927.0	44915	7989	--	--	10.18	5.09	-0.23	1.49	-0.06	0.52	(22+23)-IV-3	(22+23)-IV-2
FLN	50517	22018	--	--	10.18	5.09	-0.26	1.68	-0.17	1.44	(22+23)-IV-3	(22+23)-IV-2

X	x-	d-	x-/d-	x+	d+	x+/d+	Mr-	Mr+	C-	C+	Stato-	Stato+
cm	cm	cm		cm	cm		kg*m	kg*m				
ILN	20.1	147.5	0.136	15.7	147.5	0.106	57666	28911	(22+23)-VIII-4	(22+23)-VIII-1	Parz.	Parz.
103.0	20.0	147.5	0.136	15.6	147.5	0.106	57666	28911	(22+23)-IV-4	(22+23)-IV-1	Parz.	Parz.
CAMP	17.4	147.5	0.118	--	--	--	43343	28912	(22+23)-IV-3	20	Parz.	--
927.0	20.0	147.5	0.136	15.6	147.5	0.106	57666	28911	(22+23)-IV-3	(22+23)-IV-2	Parz.	Parz.
FLN	20.1	147.5	0.136	15.7	147.5	0.106	57666	28911	(22+23)-IV-3	(22+23)-IV-2	Parz.	Parz.

Verifica a taglio: cot(θ) Sin=2.500, cot(θ) Cen=2.500, cot(θ) Des=2.500

Comb Sin=(22+23)-VIII-1 Cen=(22+23)-IV-2 Des=(22+23)-IV-2

Sez	Td	VRdns	VRcd	VRsd	VRd	Tpl	Mr	Dx	Staffe
	kg	kg	kg	kg	kg	kg	kg*m	cm	cmq/m
Sin	26079	--	143533	33592	33592	0	28911	150.0	3.00
Cen	15573	--	143533	33592	33592	--	--	--	3.00
Des	26125	--	143533	33592	33592	0	57666	150.0	3.00

Trave di Fond. : 9004 [804 , 11] Pilastrate [- , 11]

Sez. T: Ba=70.0 cm Ha=30.0 cm Bs=50.0 cm Hs=120.0 cm L=360.0 cm Ln=360.0 cm Terreno: **Terreno**

Criterio : CLS_TraviFondazione_Esist - Verifica a flessione rcm=320 [kg/cmq], fym=4656 [kg/cmq], FC=1.20 qd=3, qf=1.5

::Verificato

X	M-	M+	ΔM-	ΔM+	Afs	Afi	εc-	εf-	εc+	εf+	C-	C+
cm	kg*m	kg*m	kg*m	kg*m	cmq	cmq						
ILN	50517	22018	--	--	10.18	5.09	-0.26	1.68	-0.17	1.44	(22+23)-IV-3	(22+23)-IV-2
36.0	51808	28071	--	--	10.18	5.09	-0.27	1.72	-0.22	1.84	(22+23)-IV-3	(22+23)-IV-2
CAMP	52738	90661	--	--	12.72	17.81	-0.23	1.40	-0.43	1.75	(22+23)-IV-3	(22+23)-IV-2
324.0	31193	102482	--	--	10.18	20.36	-0.14	1.03	-0.47	1.74	(22+23)-IV-3	(22+23)-IV-2
FLN	22060	114895	--	--	12.72	22.90	-0.09	0.58	-0.50	1.74	(22+23)-IV-3	(22+23)-IV-2

X	x-	d-	x-/d-	x+	d+	x+/d+	Mr-	Mr+	C-	C+	Stato-	Stato+
cm	cm	cm		cm	cm		kg*m	kg*m				
ILN	20.1	147.5	0.136	15.7	147.5	0.106	57666	28911	(22+23)-IV-3	(22+23)-IV-2	Parz.	Parz.
36.0	20.1	147.5	0.136	15.8	147.5	0.107	57666	28911	(22+23)-IV-3	(22+23)-IV-2	Parz.	Parz.
CAMP	20.7	147.5	0.140	29.2	147.5	0.198	71982	100458	(22+23)-IV-3	(22+23)-IV-2	Parz.	Parz.
324.0	18.1	147.5	0.123	31.6	147.5	0.214	57662	114660	(22+23)-IV-3	(22+23)-IV-2	Parz.	Parz.
FLN	19.9	147.5	0.135	33.0	147.5	0.224	71981	128975	(22+23)-IV-3	(22+23)-IV-2	Parz.	Parz.

Verifica a taglio: cot(θ) Sin=2.500, cot(θ) Cen=2.500, cot(θ) Des=2.500

Comb Sin=(22+23)-IV-2 Cen=(22+23)-IV-2 Des=3

Sez	Td	VRdns	VRcd	VRsd	VRd	Tpl	Mr	Dx	Staffe
	kg	kg	kg	kg	kg	kg	kg*m	cm	cmq/m
Sin	34215	--	143533	34215	34215	0	57666	150.0	3.06
Cen	35972	--	143533	35972	35972	--	--	--	3.21
Des	46147	--	143533	46147	46147	0	128975	150.0	4.12

Trave di Fond. : 9005 [4 , 801] Pilastrate [4 , -]

Sez. T: Ba=70.0 cm Ha=30.0 cm Bs=50.0 cm Hs=120.0 cm L=360.0 cm Ln=360.0 cm Terreno: **Terreno**

Criterio : CLS_TraviFondazione_Esist - Verifica a flessione rcm=320 [kg/cmq], fym=4656 [kg/cmq], FC=1.20 qd=3, qf=1.5

::Verificato

X	M-	M+	ΔM-	ΔM+	Afs	Afi	εc-	εf-	εc+	εf+	C-	C+
cm	kg*m	kg*m	kg*m	kg*m	cmq	cmq						

IperSpaceMax 9.0.1 Copyright© 2016 Soft.Lab:

X	M-	M+	ΔM-	ΔM+	Afs	Afi	εc-	εf-	εc+	εf+	C-	C+
ILN	17975	109063	--	--	10.18	20.36	-0.08	0.59	-0.52	1.99	(22+23)-IV-4	(22+23)-IV-1
36.0	26786	96777	--	--	10.18	17.81	-0.13	0.88	-0.56	2.80	(22+23)-VIII-4	(22+23)-VIII-1
CAMP	48457	85170	--	--	10.18	15.27	-0.23	1.60	-0.92	10.40	(22+23)-VIII-4	(22+23)-VIII-1
324.0	47947	24840	--	--	10.18	5.09	-0.25	1.59	-0.19	1.63	(22+23)-IV-4	(22+23)-IV-1
FLN	46949	19170	--	--	10.18	5.09	-0.24	1.56	-0.15	1.26	(22+23)-IV-4	(22+23)-IV-1

X	x-	d-	x-/d-	x+	d+	x+/d+	Mr-	Mr+	C-	C+	Stato-	Stato+
cm	cm	cm		cm	cm		kg*m	kg*m				
ILN	18.0	147.5	0.122	30.6	147.5	0.208	57662	114660	(22+23)-IV-4	(22+23)-IV-1	Parz.	Parz.
36.0	18.3	147.5	0.124	24.5	147.5	0.166	57663	100421	(22+23)-VIII-4	(22+23)-VIII-1	Parz.	Parz.
CAMP	18.8	147.5	0.127	12.0	147.5	0.081	57663	86151	(22+23)-VIII-4	(22+23)-VIII-1	Parz.	Parz.
324.0	20.1	147.5	0.136	15.7	147.5	0.107	57666	28911	(22+23)-IV-4	(22+23)-IV-1	Parz.	Parz.
FLN	20.0	147.5	0.136	15.7	147.5	0.106	57666	28911	(22+23)-IV-4	(22+23)-IV-1	Parz.	Parz.

Verifica a taglio: cot(θ) Sin=2.500, cot(θ) Cen=2.500, cot(θ) Des=2.500

Comb Sin=3 Cen=(22+23)-IV-1 Des=(22+23)-IV-1

Sez	Td	VRdns	VRcd	VRsd	VRd	Tpl	Mr	Dx	Staffe
	kg	kg	kg	kg	kg	kg	kg*m	cm	cmq/m
Sin	45290	--	143533	45290	45290	0	114660	150.0	4.04
Cen	34599	--	143533	34599	34599	--	--	--	3.09
Des	32707	--	143533	33592	33592	0	57666	150.0	3.00

Trave di Fond. : 9005 [801 , 803] Pilastrate [- , -]

Sez. T: Ba=70.0 cm Ha=30.0 cm Bs=50.0 cm Hs=120.0 cm L=1030.0 cm Ln=1030.0 cm Terreno: **Terreno**

Criterio : CLS_TraviFondazione_Esist - Verifica a flessione rcm=320 [kg/cmq], fym=4656 [kg/cmq], FC=1.20 qd=3, qf=1.5

::Verificato

X	M-	M+	ΔM-	ΔM+	Afs	Afi	εc-	εf-	εc+	εf+	C-	C+
cm	kg*m	kg*m	kg*m	kg*m	cmq	cmq						
ILN	46949	19170	--	--	10.18	5.09	-0.24	1.56	-0.15	1.26	(22+23)-IV-4	(22+23)-IV-1
103.0	42192	6134	--	--	7.63	5.09	-0.28	2.32	-0.05	0.40	(22+23)-IV-4	(22+23)-IV-1
CAMP	36186	--	--	--	7.63	5.09	-0.21	1.59	--	--	(22+23)-VIII-1	20
927.0	42235	5969	--	--	7.63	5.09	-0.28	2.46	-0.05	0.39	(22+23)-VIII-1	(22+23)-VIII-4
FLN	47031	18981	--	--	10.18	5.09	-0.25	1.56	-0.15	1.24	(22+23)-IV-3	(22+23)-IV-2

X	x-	d-	x-/d-	x+	d+	x+/d+	Mr-	Mr+	C-	C+	Stato-	Stato+
cm	cm	cm		cm	cm		kg*m	kg*m				
ILN	20.0	147.5	0.136	15.7	147.5	0.106	57666	28911	(22+23)-IV-4	(22+23)-IV-1	Parz.	Parz.
103.0	15.7	147.5	0.106	16.0	147.5	0.108	43343	28912	(22+23)-IV-4	(22+23)-IV-1	Parz.	Parz.
CAMP	17.4	147.5	0.118	--	--	--	43343	28912	(22+23)-VIII-1	20	Parz.	--
927.0	15.2	147.5	0.103	16.0	147.5	0.108	43343	28912	(22+23)-VIII-1	(22+23)-VIII-4	Parz.	Parz.
FLN	20.0	147.5	0.136	15.7	147.5	0.106	57666	28911	(22+23)-IV-3	(22+23)-IV-2	Parz.	Parz.

Verifica a taglio: cot(θ) Sin=2.500, cot(θ) Cen=2.500, cot(θ) Des=2.500

Comb Sin=(22+23)-VIII-1 Cen=(22+23)-VIII-1 Des=(22+23)-VIII-2

Sez	Td	VRdns	VRcd	VRsd	VRd	Tpl	Mr	Dx	Staffe
	kg	kg	kg	kg	kg	kg	kg*m	cm	cmq/m
Sin	24478	--	143533	33592	33592	0	28911	150.0	3.00
Cen	14262	--	143533	33592	33592	--	--	--	3.00
Des	24457	--	143533	33592	33592	0	57666	150.0	3.00

Trave di Fond. : 9005 [803 , 12] Pilastrate [- , 12]

Sez. T: Ba=70.0 cm Ha=30.0 cm Bs=50.0 cm Hs=120.0 cm L=360.0 cm Ln=360.0 cm Terreno: **Terreno**

Criterio : CLS_TraviFondazione_Esist - Verifica a flessione rcm=320 [kg/cmq], fym=4656 [kg/cmq], FC=1.20 qd=3, qf=1.5

::Verificato

X	M-	M+	ΔM-	ΔM+	Afs	Afi	εc-	εf-	εc+	εf+	C-	C+
cm	kg*m	kg*m	kg*m	kg*m	cmq	cmq						
ILN	47031	18981	--	--	10.18	5.09	-0.25	1.56	-0.15	1.24	(22+23)-IV-3	(22+23)-IV-2

IperSpaceMax 9.0.1 Copyright© 2016 Soft.Lab:

X	M-	M+	ΔM-	ΔM+	Afs	Afi	εc-	εf-	εc+	εf+	C-	C+
36.0	48087	24686	--	--	10.18	5.09	-0.25	1.60	-0.19	1.62	(22+23)-IV-3	(22+23)-IV-2
CAMP	48654	85000	--	--	10.18	15.27	-0.23	1.60	-0.85	8.77	(22+23)-IV-1	(22+23)-IV-4
324.0	27038	96631	--	--	10.18	17.81	-0.13	0.89	-0.54	2.64	(22+23)-VIII-3	(22+23)-VIII-2
FLN	18240	108937	--	--	10.18	20.36	-0.08	0.60	-0.51	1.92	(22+23)-VIII-3	(22+23)-VIII-2

X	x-	d-	x-/d-	x+	d+	x+/d+	Mr-	Mr+	C-	C+	Stato-	Stato+
cm	cm	cm		cm	cm		kg*m	kg*m				
ILN	20.0	147.5	0.136	15.7	147.5	0.106	57666	28911	(22+23)-IV-3	(22+23)-IV-2	Parz.	Parz.
36.0	20.1	147.5	0.136	15.7	147.5	0.107	57666	28911	(22+23)-IV-3	(22+23)-IV-2	Parz.	Parz.
CAMP	18.8	147.5	0.127	13.0	147.5	0.088	57663	86151	(22+23)-IV-1	(22+23)-IV-4	Parz.	Parz.
324.0	18.3	147.5	0.124	25.2	147.5	0.171	57663	100421	(22+23)-VIII-3	(22+23)-VIII-2	Parz.	Parz.
FLN	18.0	147.5	0.122	31.1	147.5	0.211	57662	114660	(22+23)-VIII-3	(22+23)-VIII-2	Parz.	Parz.

Verifica a taglio:cot(θ) Sin=2.500,cot(θ) Cen=2.500,cot(θ) Des=2.500

Comb Sin=(22+23)-VIII-2 Cen=(22+23)-VIII-2 Des=3

Sez	Td	VRdns	VRcd	VRsd	VRd	Tpl	Mr	Dx	Staffe
	kg	kg	kg	kg	kg	kg	kg*m	cm	cmq/m
Sin	32712	--	143533	33592	33592	0	57666	150.0	3.00
Cen	34606	--	143533	34606	34606	--	--	--	3.09
Des	45319	--	143533	45319	45319	0	114660	150.0	4.05

Trave di Fond. : 9006 [5 , 809] Pilastrate [5 , -]

Sez. T: Ba=70.0 cm Ha=30.0 cm Bs=50.0 cm Hs=120.0 cm L=360.0 cm Ln=360.0 cm Terreno: **Terreno**

Criterio : CLS_TraviFondazione_Esist - Verifica a flessione rcm=320 [kg/cmq],fym=4656 [kg/cmq], FC=1.20 qd=3, qf=1.5

::Verificato

X	M-	M+	ΔM-	ΔM+	Afs	Afi	εc-	εf-	εc+	εf+	C-	C+
cm	kg*m	kg*m	kg*m	kg*m	cmq	cmq						
ILN	11607	103034	--	--	10.18	20.36	-0.05	0.38	-0.48	1.75	(22+23)-VI-2	(22+23)-VI-3
36.0	20766	90999	--	--	10.18	17.81	-0.10	0.68	-0.44	1.76	(22+23)-VI-2	(22+23)-VI-3
CAMP	45064	79658	--	--	10.18	15.27	-0.22	1.49	-0.41	1.79	(22+23)-II-2	(22+23)-VI-3
324.0	44852	21581	--	--	10.18	5.09	-0.23	1.49	-0.17	1.41	(22+23)-II-2	(22+23)-II-3
FLN	44132	16171	--	--	10.18	5.09	-0.23	1.46	-0.13	1.06	(22+23)-II-2	(22+23)-II-3

X	x-	d-	x-/d-	x+	d+	x+/d+	Mr-	Mr+	C-	C+	Stato-	Stato+
cm	cm	cm		cm	cm		kg*m	kg*m				
ILN	18.0	147.5	0.122	31.6	147.5	0.214	57662	114660	(22+23)-VI-2	(22+23)-VI-3	Parz.	Parz.
36.0	18.3	147.5	0.124	29.6	147.5	0.201	57663	100421	(22+23)-VI-2	(22+23)-VI-3	Parz.	Parz.
CAMP	18.7	147.5	0.127	27.5	147.5	0.186	57663	86151	(22+23)-II-2	(22+23)-VI-3	Parz.	Parz.
324.0	20.0	147.5	0.136	15.7	147.5	0.106	57666	28911	(22+23)-II-2	(22+23)-II-3	Parz.	Parz.
FLN	20.0	147.5	0.136	15.7	147.5	0.106	57666	28911	(22+23)-II-2	(22+23)-II-3	Parz.	Parz.

Verifica a taglio:cot(θ) Sin=2.500,cot(θ) Cen=2.500,cot(θ) Des=2.500

Comb Sin=3 Cen=(22+23)-VI-3 Des=(22+23)-VI-3

Sez	Td	VRdns	VRcd	VRsd	VRd	Tpl	Mr	Dx	Staffe
	kg	kg	kg	kg	kg	kg	kg*m	cm	cmq/m
Sin	45483	--	143533	45483	45483	0	114660	150.0	4.06
Cen	32552	--	143533	33592	33592	--	--	--	3.00
Des	30677	--	143533	33592	33592	0	57666	150.0	3.00

Trave di Fond. : 9006 [809 , 810] Pilastrate [- , -]

Sez. T: Ba=70.0 cm Ha=30.0 cm Bs=50.0 cm Hs=120.0 cm L=1030.0 cm Ln=1030.0 cm Terreno: **Terreno**

Criterio : CLS_TraviFondazione_Esist - Verifica a flessione rcm=320 [kg/cmq],fym=4656 [kg/cmq], FC=1.20 qd=3, qf=1.5

::Verificato

X	M-	M+	ΔM-	ΔM+	Afs	Afi	εc-	εf-	εc+	εf+	C-	C+
cm	kg*m	kg*m	kg*m	kg*m	cmq	cmq						
ILN	44132	16171	--	--	10.18	5.09	-0.23	1.46	-0.13	1.06	(22+23)-II-2	(22+23)-II-3
103.0	40108	3842	--	--	7.63	5.09	-0.24	1.76	-0.03	0.25	(22+23)-II-2	(22+23)-II-3

IperSpaceMax 9.0.1 Copyright© 2016 Soft.Lab:

X	M-	M+	ΔM-	ΔM+	Afs	Afi	εc-	εf-	εc+	εf+	C-	C+
CAMP	34750	--	--	--	7.63	5.09	-0.20	1.53	--	--	(22+23)-II-3	20
927.0	40191	3768	--	--	7.63	5.09	-0.24	1.77	-0.03	0.25	(22+23)-II-3	(22+23)-II-2
FLN	44260	16106	--	--	10.18	5.09	-0.23	1.47	-0.13	1.06	(22+23)-II-3	(22+23)-II-2

X	x-	d-	x-/d-	x+	d+	x+/d+	Mr-	Mr+	C-	C+	Stato-	Stato+
cm	cm	cm		cm	cm		kg*m	kg*m				
ILN	20.0	147.5	0.136	15.7	147.5	0.106	57666	28911	(22+23)-II-2	(22+23)-II-3	Parz.	Parz.
103.0	17.4	147.5	0.118	15.9	147.5	0.108	43343	28912	(22+23)-II-2	(22+23)-II-3	Parz.	Parz.
CAMP	17.4	147.5	0.118	--	--	--	43343	28912	(22+23)-II-3	20	Parz.	--
927.0	17.4	147.5	0.118	15.9	147.5	0.108	43343	28912	(22+23)-II-3	(22+23)-II-2	Parz.	Parz.
FLN	20.0	147.5	0.136	15.7	147.5	0.106	57666	28911	(22+23)-II-3	(22+23)-II-2	Parz.	Parz.

Verifica a taglio: cot(θ) Sin=2.500, cot(θ) Cen=2.500, cot(θ) Des=2.500

Comb Sin=(22+23)-VI-3 Cen=(22+23)-II-2 Des=(22+23)-II-2

Sez	Td	VRdns	VRcd	VRsd	VRd	Tpl	Mr	Dx	Staffe
	kg	kg	kg	kg	kg	kg	kg*m	cm	cmq/m
Sin	22696	--	143533	33592	33592	0	28911	150.0	3.00
Cen	13051	--	143533	33592	33592	--	--	--	3.00
Des	22733	--	143533	33592	33592	0	57666	150.0	3.00

Trave di Fond. : 9006 [810 , 13] Pilastrate [- , 13]

Sez. T: Ba=70.0 cm Ha=30.0 cm Bs=50.0 cm Hs=120.0 cm L=360.0 cm Ln=360.0 cm Terreno: **Terreno**

Criterio : CLS_TraviFondazione_Esist - Verifica a flessione rcm=320 [kg/cmq], fym=4656 [kg/cmq], FC=1.20 qd=3, qf=1.5

::Verificato

X	M-	M+	ΔM-	ΔM+	Afs	Afi	εc-	εf-	εc+	εf+	C-	C+
cm	kg*m	kg*m	kg*m	kg*m	cmq	cmq						
ILN	44260	16106	--	--	10.18	5.09	-0.23	1.47	-0.13	1.06	(22+23)-II-3	(22+23)-II-2
36.0	44997	21522	--	--	10.18	5.09	-0.23	1.49	-0.17	1.41	(22+23)-II-3	(22+23)-II-2
CAMP	45227	79700	--	--	10.18	15.27	-0.22	1.49	-0.41	1.79	(22+23)-II-3	(22+23)-II-2
324.0	21032	91066	--	--	10.18	17.81	-0.10	0.69	-0.44	1.76	(22+23)-II-3	(22+23)-II-2
FLN	11879	103129	--	--	10.18	20.36	-0.05	0.39	-0.48	1.75	(22+23)-II-3	(22+23)-II-2

X	x-	d-	x-/d-	x+	d+	x+/d+	Mr-	Mr+	C-	C+	Stato-	Stato+
cm	cm	cm		cm	cm		kg*m	kg*m				
ILN	20.0	147.5	0.136	15.7	147.5	0.106	57666	28911	(22+23)-II-3	(22+23)-II-2	Parz.	Parz.
36.0	20.0	147.5	0.136	15.7	147.5	0.106	57666	28911	(22+23)-II-3	(22+23)-II-2	Parz.	Parz.
CAMP	18.7	147.5	0.127	27.5	147.5	0.186	57663	86151	(22+23)-II-3	(22+23)-II-2	Parz.	Parz.
324.0	18.3	147.5	0.124	29.6	147.5	0.201	57663	100421	(22+23)-II-3	(22+23)-II-2	Parz.	Parz.
FLN	18.0	147.5	0.122	31.6	147.5	0.214	57662	114660	(22+23)-II-3	(22+23)-II-2	Parz.	Parz.

Verifica a taglio: cot(θ) Sin=2.500, cot(θ) Cen=2.500, cot(θ) Des=2.500

Comb Sin=(22+23)-II-4 Cen=(22+23)-II-4 Des=3

Sez	Td	VRdns	VRcd	VRsd	VRd	Tpl	Mr	Dx	Staffe
	kg	kg	kg	kg	kg	kg	kg*m	cm	cmq/m
Sin	30743	--	143533	33592	33592	0	57666	150.0	3.00
Cen	32629	--	143533	33592	33592	--	--	--	3.00
Des	45545	--	143533	45545	45545	0	114660	150.0	4.07

Trave di Fond. : 9007 [6 , 806] Pilastrate [6 , -]

Sez. T: Ba=70.0 cm Ha=30.0 cm Bs=50.0 cm Hs=120.0 cm L=360.0 cm Ln=360.0 cm Terreno: **Terreno**

Criterio : CLS_TraviFondazione_Esist - Verifica a flessione rcm=320 [kg/cmq], fym=4656 [kg/cmq], FC=1.20 qd=3, qf=1.5

::Verificato

X	M-	M+	ΔM-	ΔM+	Afs	Afi	εc-	εf-	εc+	εf+	C-	C+
cm	kg*m	kg*m	kg*m	kg*m	cmq	cmq						
ILN	18137	112310	--	--	10.18	20.36	-0.08	0.60	-0.90	6.73	(22+23)-II-2	(22+23)-II-3
36.0	27536	99914	--	--	10.18	17.81	-0.13	0.91	-1.50	23.89	(22+23)-II-2	(22+23)-II-3
CAMP	50837	88146	--	--	12.72	17.81	-0.22	1.35	-0.42	1.70	(22+23)-VI-2	(22+23)-II-3

IperSpaceMax 9.0.1 Copyright© 2016 Soft.Lab:

X	M-	M+	ΔM-	ΔM+	Afs	Afi	εc-	εf-	εc+	εf+	C-	C+
324.0	50287	26450	--	--	10.18	5.09	-0.26	1.67	-0.21	1.73	(22+23)-VI-2	(22+23)-VI-3
FLN	49213	20542	--	--	10.18	5.09	-0.26	1.63	-0.16	1.35	(22+23)-VI-2	(22+23)-VI-3

X	x-	d-	x-/d-	x+	d+	x+/d+	Mr-	Mr+	C-	C+	Stato-	Stato+
cm	cm	cm		cm	cm		kg*m	kg*m				
ILN	18.0	147.5	0.122	17.4	147.5	0.118	57662	114660	(22+23)-II-2	(22+23)-II-3	Parz.	Parz.
36.0	18.3	147.5	0.124	8.7	147.5	0.059	57663	100421	(22+23)-II-2	(22+23)-II-3	Parz.	Parz.
CAMP	20.7	147.5	0.140	29.1	147.5	0.198	71982	100458	(22+23)-VI-2	(22+23)-II-3	Parz.	Parz.
324.0	20.1	147.5	0.136	15.7	147.5	0.107	57666	28911	(22+23)-VI-2	(22+23)-VI-3	Parz.	Parz.
FLN	20.1	147.5	0.136	15.7	147.5	0.106	57666	28911	(22+23)-VI-2	(22+23)-VI-3	Parz.	Parz.

Verifica a taglio: cot(θ) Sin=2.500, cot(θ) Cen=2.500, cot(θ) Des=2.500

Comb Sin=3 Cen=(22+23)-II-1 Des=(22+23)-II-3

Sez	Td	VRdns	VRcd	VRsd	VRd	Tpl	Mr	Dx	Staffe
	kg	kg	kg	kg	kg	kg	kg*m	cm	cmq/m
Sin	46620	--	143533	46620	46620	0	114660	150.0	4.16
Cen	35102	--	143533	35102	35102	--	--	--	3.13
Des	33313	--	143533	33592	33592	0	57666	150.0	3.00

Trave di Fond. : 9007 [806 , 808] Pilastrate [- , -]

Sez. T: Ba=70.0 cm Ha=30.0 cm Bs=50.0 cm Hs=120.0 cm L=1030.0 cm Ln=1030.0 cm Terreno: **Terreno**

Criterio : CLS_TraviFondazione_Esist - Verifica a flessione rcm=320 [kg/cmq], fym=4656 [kg/cmq], FC=1.20 qd=3, qf=1.5

::Verificato

X	M-	M+	ΔM-	ΔM+	Afs	Afi	εc-	εf-	εc+	εf+	C-	C+
cm	kg*m	kg*m	kg*m	kg*m	cmq	cmq						
ILN	49213	20542	--	--	10.18	5.09	-0.26	1.63	-0.16	1.35	(22+23)-VI-2	(22+23)-VI-3
103.0	44139	6900	--	--	10.18	5.09	-0.23	1.46	-0.05	0.45	(22+23)-VI-2	(22+23)-VI-3
CAMP	37816	--	--	--	7.63	5.09	-0.22	1.66	--	--	(22+23)-II-1	20
927.0	44274	6937	--	--	10.18	5.09	-0.23	1.47	-0.05	0.45	(22+23)-II-1	(22+23)-II-4
FLN	49409	20633	--	--	10.18	5.09	-0.26	1.64	-0.16	1.35	(22+23)-II-1	(22+23)-II-4

X	x-	d-	x-/d-	x+	d+	x+/d+	Mr-	Mr+	C-	C+	Stato-	Stato+
cm	cm	cm		cm	cm		kg*m	kg*m				
ILN	20.1	147.5	0.136	15.7	147.5	0.106	57666	28911	(22+23)-VI-2	(22+23)-VI-3	Parz.	Parz.
103.0	20.0	147.5	0.136	15.6	147.5	0.106	57666	28911	(22+23)-VI-2	(22+23)-VI-3	Parz.	Parz.
CAMP	17.4	147.5	0.118	--	--	--	43343	28912	(22+23)-II-1	20	Parz.	--
927.0	20.0	147.5	0.136	15.6	147.5	0.106	57666	28911	(22+23)-II-1	(22+23)-II-4	Parz.	Parz.
FLN	20.1	147.5	0.136	15.7	147.5	0.106	57666	28911	(22+23)-II-1	(22+23)-II-4	Parz.	Parz.

Verifica a taglio: cot(θ) Sin=2.500, cot(θ) Cen=2.500, cot(θ) Des=2.500

Comb Sin=(22+23)-II-3 Cen=(22+23)-II-4 Des=(22+23)-II-4

Sez	Td	VRdns	VRcd	VRsd	VRd	Tpl	Mr	Dx	Staffe
	kg	kg	kg	kg	kg	kg	kg*m	cm	cmq/m
Sin	25263	--	143533	33592	33592	0	28911	150.0	3.00
Cen	15048	--	143533	33592	33592	--	--	--	3.00
Des	25361	--	143533	33592	33592	0	57666	150.0	3.00

Trave di Fond. : 9007 [808 , 14] Pilastrate [- , 14]

Sez. T: Ba=70.0 cm Ha=30.0 cm Bs=50.0 cm Hs=120.0 cm L=360.0 cm Ln=360.0 cm Terreno: **Terreno**

Criterio : CLS_TraviFondazione_Esist - Verifica a flessione rcm=320 [kg/cmq], fym=4656 [kg/cmq], FC=1.20 qd=3, qf=1.5

::Verificato

X	M-	M+	ΔM-	ΔM+	Afs	Afi	εc-	εf-	εc+	εf+	C-	C+
cm	kg*m	kg*m	kg*m	kg*m	cmq	cmq						
ILN	49409	20633	--	--	10.18	5.09	-0.26	1.64	-0.16	1.35	(22+23)-II-1	(22+23)-II-4
36.0	50507	26565	--	--	10.18	5.09	-0.26	1.68	-0.21	1.74	(22+23)-II-1	(22+23)-II-4
CAMP	51080	88435	--	--	12.72	17.81	-0.22	1.35	-0.42	1.70	(22+23)-II-1	(22+23)-II-4
324.0	27817	100217	--	--	10.18	20.36	-0.13	0.91	-0.46	1.70	(22+23)-II-1	(22+23)-II-4

IperSpaceMax 9.0.1 Copyright© 2016 Soft.Lab:

X	M-	M+	ΔM-	ΔM+	Afs	Afi	εc-	εf-	εc+	εf+	C-	C+
FLN	18391	112624	--	--	10.18	20.36	-0.08	0.60	-0.97	7.97	(22+23)-II-1	(22+23)-II-4

X	x-	d-	x-/d-	x+	d+	x+/d+	Mr-	Mr+	C-	C+	Stato-	Stato+
cm	cm	cm		cm	cm		kg*m	kg*m				
ILN	20.1	147.5	0.136	15.7	147.5	0.106	57666	28911	(22+23)-II-1	(22+23)-II-4	Parz.	Parz.
36.0	20.1	147.5	0.136	15.7	147.5	0.107	57666	28911	(22+23)-II-1	(22+23)-II-4	Parz.	Parz.
CAMP	20.7	147.5	0.140	29.1	147.5	0.198	71982	100458	(22+23)-II-1	(22+23)-II-4	Parz.	Parz.
324.0	18.1	147.5	0.122	31.6	147.5	0.214	57662	114660	(22+23)-II-1	(22+23)-II-4	Parz.	Parz.
FLN	18.0	147.5	0.122	16.0	147.5	0.109	57662	114660	(22+23)-II-1	(22+23)-II-4	Parz.	Parz.

Verifica a taglio:cot(θ) Sin=2.500,cot(θ) Cen=2.500,cot(θ) Des=2.500

Comb Sin=(22+23)-II-4 Cen=(22+23)-II-2 Des=3

Sez	Td	VRdns	VRcd	VRsd	VRd	Tpl	Mr	Dx	Staffe
	kg	kg	kg	kg	kg	kg	kg*m	cm	cmq/m
Sin	33402	--	143533	33592	33592	0	57666	150.0	3.00
Cen	35181	--	143533	35181	35181	--	--	--	3.14
Des	46718	--	143533	46718	46718	0	114660	150.0	4.17

Trave di Fond. : 9008 [7 , 805] Pilastrate [7 , -]

Sez. T: Ba=70.0 cm Ha=30.0 cm Bs=50.0 cm Hs=120.0 cm L=360.0 cm Ln=360.0 cm Terreno: **Terreno**

Criterio : CLS_TraviFondazione_Esist - Verifica a flessione rcm=320 [kg/cmq],fym=4656 [kg/cmq], FC=1.20 qd=3, qf=1.5

::Verificato

X	M-	M+	ΔM-	ΔM+	Afs	Afi	εc-	εf-	εc+	εf+	C-	C+
cm	kg*m	kg*m	kg*m	kg*m	cmq	cmq						
ILN	21439	124679	--	--	12.72	22.90	-0.09	0.57	-0.72	3.67	(22+23)-II-4	(22+23)-II-1
36.0	31380	111085	--	--	10.18	20.36	-0.14	1.03	-0.70	3.90	(22+23)-II-4	(22+23)-II-1
CAMP	55931	98169	--	--	12.72	17.81	-0.24	1.48	-0.69	4.84	(22+23)-VI-2	(22+23)-II-1
324.0	55598	30861	--	--	10.18	7.63	-0.29	1.84	-0.20	1.36	(22+23)-VI-2	(22+23)-VI-3
FLN	54649	24600	--	--	10.18	5.09	-0.29	1.81	-0.19	1.61	(22+23)-VI-2	(22+23)-VI-3

X	x-	d-	x-/d-	x+	d+	x+/d+	Mr-	Mr+	C-	C+	Stato-	Stato+
cm	cm	cm		cm	cm		kg*m	kg*m				
ILN	19.9	147.5	0.135	24.1	147.5	0.164	71981	128975	(22+23)-II-4	(22+23)-II-1	Parz.	Parz.
36.0	18.1	147.5	0.123	22.5	147.5	0.153	57662	114660	(22+23)-II-4	(22+23)-II-1	Parz.	Parz.
CAMP	20.7	147.5	0.140	18.5	147.5	0.125	71982	100458	(22+23)-VI-2	(22+23)-II-1	Parz.	Parz.
324.0	19.8	147.5	0.134	19.3	147.5	0.131	57666	43234	(22+23)-VI-2	(22+23)-VI-3	Parz.	Parz.
FLN	20.1	147.5	0.136	15.7	147.5	0.107	57666	28911	(22+23)-VI-2	(22+23)-VI-3	Parz.	Parz.

Verifica a taglio:cot(θ) Sin=2.500,cot(θ) Cen=2.500,cot(θ) Des=2.500

Comb Sin=(22+23)-I-1 Cen=(22+23)-II-1 Des=(22+23)-II-1

Sez	Td	VRdns	VRcd	VRsd	VRd	Tpl	Mr	Dx	Staffe
	kg	kg	kg	kg	kg	kg	kg*m	cm	cmq/m
Sin	53351	--	143533	53351	53351	0	128975	150.0	4.76
Cen	39147	--	143533	39147	39147	--	--	--	3.50
Des	37163	--	143533	37163	37163	0	57666	150.0	3.32

Trave di Fond. : 9008 [805 , 807] Pilastrate [- , -]

Sez. T: Ba=70.0 cm Ha=30.0 cm Bs=50.0 cm Hs=120.0 cm L=1030.0 cm Ln=1030.0 cm Terreno: **Terreno**

Criterio : CLS_TraviFondazione_Esist - Verifica a flessione rcm=320 [kg/cmq],fym=4656 [kg/cmq], FC=1.20 qd=3, qf=1.5

::Verificato

X	M-	M+	ΔM-	ΔM+	Afs	Afi	εc-	εf-	εc+	εf+	C-	C+
cm	kg*m	kg*m	kg*m	kg*m	cmq	cmq						
ILN	54649	24600	--	--	10.18	5.09	-0.29	1.81	-0.19	1.61	(22+23)-VI-2	(22+23)-VI-3
103.0	49537	9982	--	--	10.18	5.09	-0.26	1.64	-0.08	0.65	(22+23)-VI-2	(22+23)-VI-3
CAMP	42694	--	--	--	7.63	5.09	-0.42	5.63	--	--	(22+23)-II-1	20
927.0	49652	9939	--	--	10.18	5.09	-0.26	1.65	-0.08	0.65	(22+23)-II-1	(22+23)-II-4
FLN	54929	24693	--	--	10.18	5.09	-0.29	1.82	-0.19	1.62	(22+23)-II-1	(22+23)-II-4

X	x-	d-	x-/d-	x+	d+	x+/d+	Mr-	Mr+	C-	C+	Stato-	Stato+
cm	cm	cm		cm	cm		kg*m	kg*m				
ILN	20.1	147.5	0.136	15.7	147.5	0.107	57666	28911	(22+23)-VI-2	(22+23)-VI-3	Parz.	Parz.
103.0	20.1	147.5	0.136	15.6	147.5	0.106	57666	28911	(22+23)-VI-2	(22+23)-VI-3	Parz.	Parz.
CAMP	10.2	147.5	0.069	--	--	--	43343	28912	(22+23)-II-1	20	Parz.	--
927.0	20.1	147.5	0.136	15.6	147.5	0.106	57666	28911	(22+23)-II-1	(22+23)-II-4	Parz.	Parz.
FLN	20.1	147.5	0.136	15.7	147.5	0.107	57666	28911	(22+23)-II-1	(22+23)-II-4	Parz.	Parz.

Verifica a taglio: cot(θ) Sin=2.500, cot(θ) Cen=2.500, cot(θ) Des=2.500

Comb Sin=(22+23)-II-1 Cen=(22+23)-II-1 Des=(22+23)-VI-2

Sez	Td	VRdns	VRcd	VRsd	VRd	Tpl	Mr	Dx	Staffe
	kg	kg	kg	kg	kg	kg	kg*m	cm	cmq/m
Sin	28266	--	143533	33592	33592	0	28911	150.0	3.00
Cen	16987	--	143533	33592	33592	--	--	--	3.00
Des	28081	--	143533	33592	33592	0	57666	150.0	3.00

Trave di Fond. : 9008 [807 , 15] Pilastrate [- , 15]

Sez. T: Ba=70.0 cm Ha=30.0 cm Bs=50.0 cm Hs=120.0 cm L=360.0 cm Ln=360.0 cm Terreno: **Terreno**

Criterio : CLS_TraviFondazione_Esist - Verifica a flessione rcm=320 [kg/cmq], fym=4656 [kg/cmq], FC=1.20 qd=3, qf=1.5

::Verificato

X	M-	M+	Δ M-	Δ M+	Afs	Afi	ϵ c-	ϵ f-	ϵ c+	ϵ f+	C-	C+
cm	kg*m	kg*m	kg*m	kg*m	cmq	cmq						
ILN	54929	24693	--	--	10.18	5.09	-0.29	1.82	-0.19	1.62	(22+23)-II-1	(22+23)-II-4
36.0	55956	31024	--	--	10.18	7.63	-0.31	2.15	-0.21	1.37	(22+23)-II-1	(22+23)-II-4
CAMP	56378	97465	--	--	12.72	17.81	-0.24	1.49	-0.59	3.41	(22+23)-II-1	(22+23)-VI-2
324.0	30803	110378	--	--	10.18	20.36	-0.14	1.01	-0.63	3.01	(22+23)-VI-3	(22+23)-VI-2
FLN	20833	123975	--	--	12.72	22.90	-0.09	0.55	-0.65	2.95	(22+23)-VI-3	(22+23)-VI-2

X	x-	d-	x-/d-	x+	d+	x+/d+	Mr-	Mr+	C-	C+	Stato-	Stato+
cm	cm	cm		cm	cm		kg*m	kg*m				
ILN	20.1	147.5	0.136	15.7	147.5	0.107	57666	28911	(22+23)-II-1	(22+23)-II-4	Parz.	Parz.
36.0	18.4	147.5	0.125	19.3	147.5	0.131	57666	43234	(22+23)-II-1	(22+23)-II-4	Parz.	Parz.
CAMP	20.7	147.5	0.140	21.9	147.5	0.148	71982	100458	(22+23)-II-1	(22+23)-VI-2	Parz.	Parz.
324.0	18.1	147.5	0.123	25.4	147.5	0.172	57662	114660	(22+23)-VI-3	(22+23)-VI-2	Parz.	Parz.
FLN	19.9	147.5	0.135	26.7	147.5	0.181	71981	128975	(22+23)-VI-3	(22+23)-VI-2	Parz.	Parz.

Verifica a taglio: cot(θ) Sin=2.500, cot(θ) Cen=2.500, cot(θ) Des=2.500

Comb Sin=(22+23)-VI-2 Cen=(22+23)-VI-2 Des=(22+23)-V-2

Sez	Td	VRdns	VRcd	VRsd	VRd	Tpl	Mr	Dx	Staffe
	kg	kg	kg	kg	kg	kg	kg*m	cm	cmq/m
Sin	36970	--	143533	36970	36970	0	57666	150.0	3.30
Cen	38959	--	143533	38959	38959	--	--	--	3.48
Des	52725	--	143533	52725	52725	0	128975	150.0	4.71

Trave di Fond. : 9009 [8 , 819] Pilastrate [8 , -]

Sez. T: Ba=70.0 cm Ha=30.0 cm Bs=50.0 cm Hs=120.0 cm L=360.0 cm Ln=360.0 cm Terreno: **Terreno**

Criterio : CLS_TraviFondazione_Esist - Verifica a flessione rcm=320 [kg/cmq], fym=4656 [kg/cmq], FC=1.20 qd=3, qf=1.5

::Verificato

X	M-	M+	Δ M-	Δ M+	Afs	Afi	ϵ c-	ϵ f-	ϵ c+	ϵ f+	C-	C+
cm	kg*m	kg*m	kg*m	kg*m	cmq	cmq						
ILN	28569	134293	--	--	12.72	25.45	-0.12	0.75	-0.57	1.84	(22+23)-II-4	(22+23)-II-1
36.0	38101	119692	--	--	12.72	22.90	-0.16	1.01	-0.52	1.81	(22+23)-II-4	(22+23)-II-1
CAMP	59856	105820	--	--	12.72	20.36	-0.25	1.58	-0.48	1.79	(22+23)-VI-2	(22+23)-II-1
324.0	60140	34688	--	--	12.72	7.63	-0.28	1.60	-0.22	1.52	(22+23)-VI-2	(22+23)-VI-3
FLN	59691	28801	--	--	12.72	7.63	-0.28	1.59	-0.19	1.27	(22+23)-VI-2	(22+23)-VI-3

IperSpaceMax 9.0.1 Copyright© 2016 Soft.Lab:

X	x-	d-	x-/d-	x+	d+	x+/d+	Mr-	Mr+	C-	C+	Stato-	Stato+
cm	cm	cm		cm	cm		kg*m	kg*m				
ILN	19.7	147.5	0.133	34.8	147.5	0.236	71981	143067	(22+23)-II-4	(22+23)-II-1	Parz.	Parz.
36.0	20.0	147.5	0.136	33.0	147.5	0.224	71981	128975	(22+23)-II-4	(22+23)-II-1	Parz.	Parz.
CAMP	20.4	147.5	0.138	31.2	147.5	0.211	71982	114730	(22+23)-VI-2	(22+23)-II-1	Parz.	Parz.
324.0	22.0	147.5	0.149	18.9	147.5	0.128	71978	43233	(22+23)-VI-2	(22+23)-VI-3	Parz.	Parz.
FLN	22.0	147.5	0.149	18.9	147.5	0.128	71978	43233	(22+23)-VI-2	(22+23)-VI-3	Parz.	Parz.

Verifica a taglio:cot(θ) Sin=2.500,cot(θ) Cen=2.500,cot(θ) Des=2.500

Comb Sin=(22+23)-I-2 Cen=(22+23)-I-1 Des=(22+23)-I-1

Sez	Td	VRdns	VRcd	VRsd	VRd	Tpl	Mr	Dx	Staffe
	kg	kg	kg	kg	kg	kg	kg*m	cm	cmq/m
Sin	94457	--	143533	94457	94457	0	143067	150.0	8.44
Cen	54392	--	143533	54392	54392	--	--	--	4.86
Des	48021	--	143533	48021	48021	0	71978	150.0	4.29

Trave di Fond. : 9009 [819 , 0] Pilastrate [- , -]

Sez. T: Ba=70.0 cm Ha=30.0 cm Bs=50.0 cm Hs=120.0 cm L=1030.0 cm Ln=1030.0 cm Terreno: **Terreno**

Criterio : CLS_TraviFondazione_Esist - Verifica a flessione rcm=320 [kg/cmq],fym=4656 [kg/cmq], FC=1.20 qd=3, qf=1.5

::Verificato

X	M-	M+	ΔM-	ΔM+	Afs	Afi	εc-	εf-	εc+	εf+	C-	C+
cm	kg*m	kg*m	kg*m	kg*m	cmq	cmq						
ILN	59691	28801	--	--	12.72	7.63	-0.28	1.59	-0.19	1.27	(22+23)-VI-2	(22+23)-VI-3
103.0	55348	14733	--	--	10.18	5.09	-0.29	1.84	-0.11	0.97	(22+23)-VI-2	(22+23)-VI-3
CAMP	48546	--	--	--	10.18	5.09	-0.25	1.61	--	--	(22+23)-VI-1	(22+23)-VII-3
927.0	55349	14534	--	--	10.18	5.09	-0.29	1.84	-0.11	0.95	(22+23)-II-1	(22+23)-II-4
FLN	60012	28876	--	--	12.72	7.63	-0.28	1.60	-0.19	1.27	(22+23)-II-1	(22+23)-II-4

X	x-	d-	x-/d-	x+	d+	x+/d+	Mr-	Mr+	C-	C+	Stato-	Stato+
cm	cm	cm		cm	cm		kg*m	kg*m				
ILN	22.0	147.5	0.149	18.9	147.5	0.128	71978	43233	(22+23)-VI-2	(22+23)-VI-3	Parz.	Parz.
103.0	20.1	147.5	0.136	15.6	147.5	0.106	57666	28911	(22+23)-VI-2	(22+23)-VI-3	Parz.	Parz.
CAMP	20.1	147.5	0.136	--	--	--	57666	28911	(22+23)-VI-1	(22+23)-VII-3	Parz.	--
927.0	20.1	147.5	0.136	15.6	147.5	0.106	57666	28911	(22+23)-II-1	(22+23)-II-4	Parz.	Parz.
FLN	22.0	147.5	0.149	18.9	147.5	0.128	71978	43233	(22+23)-II-1	(22+23)-II-4	Parz.	Parz.

Verifica a taglio:cot(θ) Sin=2.500,cot(θ) Cen=2.500,cot(θ) Des=2.500

Comb Sin=(22+23)-II-1 Cen=(22+23)-II-1 Des=(22+23)-VI-2

Sez	Td	VRdns	VRcd	VRsd	VRd	Tpl	Mr	Dx	Staffe
	kg	kg	kg	kg	kg	kg	kg*m	cm	cmq/m
Sin	31128	--	143533	33592	33592	0	43233	150.0	3.00
Cen	18949	--	143533	33592	33592	--	--	--	3.00
Des	30777	--	143533	33592	33592	0	71978	150.0	3.00

Trave di Fond. : 9009 [0 , 16] Pilastrate [- , 16]

Sez. T: Ba=70.0 cm Ha=30.0 cm Bs=50.0 cm Hs=120.0 cm L=360.0 cm Ln=360.0 cm Terreno: **Terreno**

Criterio : CLS_TraviFondazione_Esist - Verifica a flessione rcm=320 [kg/cmq],fym=4656 [kg/cmq], FC=1.20 qd=3, qf=1.5

::Verificato

X	M-	M+	ΔM-	ΔM+	Afs	Afi	εc-	εf-	εc+	εf+	C-	C+
cm	kg*m	kg*m	kg*m	kg*m	cmq	cmq						
ILN	60012	28876	--	--	12.72	7.63	-0.28	1.60	-0.19	1.27	(22+23)-II-1	(22+23)-II-4
36.0	60639	34928	--	--	12.72	7.63	-0.28	1.61	-0.23	1.53	(22+23)-II-1	(22+23)-II-4
CAMP	60578	104500	--	--	12.72	20.36	-0.26	1.60	-0.47	1.77	(22+23)-II-1	(22+23)-VI-2
324.0	36928	118286	--	--	12.72	22.90	-0.15	0.97	-0.52	1.79	(22+23)-VI-3	(22+23)-VI-2
FLN	27281	132802	--	--	12.72	25.45	-0.11	0.72	-0.56	1.81	(22+23)-VI-3	(22+23)-VI-2

X	x-	d-	x-/d-	x+	d+	x+/d+	Mr-	Mr+	C-	C+	Stato-	Stato+
cm	cm	cm		cm	cm		kg*m	kg*m				

IperSpaceMax 9.0.1 Copyright© 2016 Soft.Lab:

X	x-	d-	x-/d-	x+	d+	x+/d+	Mr-	Mr+	C-	C+	Stato-	Stato+
ILN	22.0	147.5	0.149	18.9	147.5	0.128	71978	43233	(22+23)-II-1	(22+23)-II-4	Parz.	Parz.
36.0	22.0	147.5	0.149	18.9	147.5	0.128	71978	43233	(22+23)-II-1	(22+23)-II-4	Parz.	Parz.
CAMP	20.4	147.5	0.138	31.2	147.5	0.211	71982	114730	(22+23)-II-1	(22+23)-VI-2	Parz.	Parz.
324.0	20.0	147.5	0.136	33.0	147.5	0.224	71981	128975	(22+23)-VI-3	(22+23)-VI-2	Parz.	Parz.
FLN	19.7	147.5	0.133	34.8	147.5	0.236	71981	143067	(22+23)-VI-3	(22+23)-VI-2	Parz.	Parz.

Verifica a taglio: cot(θ) Sin=2.500, cot(θ) Cen=2.500, cot(θ) Des=2.500

Comb Sin=(22+23)-V-2 Cen=(22+23)-V-2 Des=(22+23)-V-1

Sez	Td	VRdns	VRcd	VRsd	VRd	Tpl	Mr	Dx	Staffe
	kg	kg	kg	kg	kg	kg	kg*m	cm	cmq/m
Sin	46393	--	143533	46393	46393	0	71978	150.0	4.14
Cen	52650	--	143533	52650	52650	--	--	--	4.70
Des	92432	--	143533	92432	92432	0	143067	150.0	8.25

Trave di Fond. : 9010 [9 , 10] Pilastrate [9 , 10]

Sez. T: Ba=190.0 cm Ha=30.0 cm Bs=160.0 cm Hs=180.0 cm L=370.0 cm Ln=395.0 cm Terreno: **Terreno**

Criterio : CLS_TraviFondazione_Esist - Verifica a flessione rcm=320 [kg/cmq], fym=4656 [kg/cmq], FC=1.20 qd=3, qf=1.5

::Verificato

X	M-	M+	Δ M-	Δ M+	Afs	Afi	ϵ c-	ϵ f-	ϵ c+	ϵ f+	C-	C+
cm	kg*m	kg*m	kg*m	kg*m	cmq	cmq						
ILN	53203	82142	--	--	10.18	12.72	-0.09	1.23	-0.14	1.52	(22+23)-VII-4	(22+23)-VII-1
39.5	81167	75465	--	--	10.18	10.18	-0.37	13.21	-0.15	1.75	(22+23)-V-3	(22+23)-V-2
CAMP	143131	71958	--	--	20.36	10.18	-0.19	1.67	-0.13	1.66	(22+23)-VII-3	(22+23)-VII-2
355.5	115467	72616	--	--	15.27	10.18	-0.17	1.79	-0.14	1.68	(22+23)-VII-3	(22+23)-VII-2
FLN	97046	77787	--	--	12.72	10.18	-0.16	1.80	-0.15	1.80	(22+23)-VII-3	(22+23)-VII-2

X	x-	d-	x-/d-	x+	d+	x+/d+	Mr-	Mr+	C-	C+	Stato-	Stato+
cm	cm	cm		cm	cm		kg*m	kg*m				
ILN	14.7	207.5	0.071	18.0	207.5	0.087	81941	102067	(22+23)-VII-4	(22+23)-VII-1	Parz.	Parz.
39.5	5.7	207.5	0.027	16.1	207.5	0.078	81928	81801	(22+23)-V-3	(22+23)-V-2	Parz.	Parz.
CAMP	20.9	207.5	0.101	15.5	207.5	0.075	162992	81821	(22+23)-VII-3	(22+23)-VII-2	Parz.	Parz.
355.5	18.2	207.5	0.088	15.8	207.5	0.076	122468	81814	(22+23)-VII-3	(22+23)-VII-2	Parz.	Parz.
FLN	16.6	207.5	0.080	16.0	207.5	0.077	102199	81808	(22+23)-VII-3	(22+23)-VII-2	Parz.	Parz.

Verifica a taglio: cot(θ) Sin=2.500, cot(θ) Des=2.500

Comb Sin=(22+23)-VII-3 Des=(22+23)-VIII-3

Sez	Td	VRdns	VRcd	VRsd	VRd	Tpl	Mr	Dx	Staffe
	kg	kg	kg	kg	kg	kg	kg*m	cm	cmq/m
Sin	134296	--	646141	134296	134296	0	102067	197.5	8.53
Des	77923	--	646141	77923	77923	0	102199	197.5	4.95

Trave di Fond. : 9010 [10 , 11] Pilastrate [10 , 11]

Sez. T: Ba=190.0 cm Ha=30.0 cm Bs=160.0 cm Hs=180.0 cm L=370.0 cm Ln=370.0 cm Terreno: **Terreno**

Criterio : CLS_TraviFondazione_Esist - Verifica a flessione rcm=320 [kg/cmq], fym=4656 [kg/cmq], FC=1.20 qd=3, qf=1.5

::Verificato

X	M-	M+	Δ M-	Δ M+	Afs	Afi	ϵ c-	ϵ f-	ϵ c+	ϵ f+	C-	C+
cm	kg*m	kg*m	kg*m	kg*m	cmq	cmq						
ILN	173822	157740	--	--	22.90	20.36	-0.21	1.80	-0.22	1.84	(22+23)-VII-3	(22+23)-VII-2
37.0	174567	137965	--	--	25.45	17.81	-0.20	1.63	-0.20	1.83	(22+23)-VII-3	(22+23)-VII-2
CAMP	171801	119855	--	--	22.90	15.27	-0.21	1.78	-0.21	2.38	(22+23)-VII-3	(22+23)-VII-2
333.0	63766	44436	--	--	10.18	7.63	-0.11	1.47	-0.10	1.37	(22+23)-VII-3	(22+23)-VII-2
FLN	38377	43248	--	--	5.09	7.63	-0.09	1.76	-0.10	1.33	(22+23)-V-4	(22+23)-V-1

X	x-	d-	x-/d-	x+	d+	x+/d+	Mr-	Mr+	C-	C+	Stato-	Stato+
cm	cm	cm		cm	cm		kg*m	kg*m				
ILN	21.7	207.5	0.105	22.0	207.5	0.106	183240	162830	(22+23)-VII-3	(22+23)-VII-2	Parz.	Parz.
37.0	23.0	207.5	0.111	20.4	207.5	0.098	203489	142581	(22+23)-VII-3	(22+23)-VII-2	Parz.	Parz.

IperSpaceMax 9.0.1 Copyright© 2016 Soft.Lab:

X	x-	d-	x-/d-	x+	d+	x+/d+	Mr-	Mr+	C-	C+	Stato-	Stato+
CAMP	21.9	207.5	0.106	16.7	207.5	0.081	183242	122330	(22+23)-VII-3	(22+23)-VII-2	Parz.	Parz.
333.0	14.9	207.5	0.072	13.9	207.5	0.067	81911	61533	(22+23)-VII-3	(22+23)-VII-2	Parz.	Parz.
FLN	10.6	207.5	0.051	14.2	207.5	0.068	41351	61491	(22+23)-V-4	(22+23)-V-1	Parz.	Parz.

Verifica a taglio: $\cot(\theta) \text{ Sin}=2.500, \cot(\theta) \text{ Des}=2.500$

Comb Sin=(22+23)-VII-1 Des=(22+23)-VII-3

Sez	Td	VRdns	VRcd	VRsd	VRd	Tpl	Mr	Dx	Staffe
	kg	kg	kg	kg	kg	kg	kg*m	cm	cmq/m
Sin	96786	--	646141	96786	96786	0	183240	185.0	6.14
Des	119468	--	646141	119468	119468	0	61491	185.0	7.58

Trave di Fond. : 9010 [11 , 12] Pilastrate [11 , 12]

Sez. T: $B_a=190.0 \text{ cm}$ $H_a=30.0 \text{ cm}$ $B_s=160.0 \text{ cm}$ $H_s=180.0 \text{ cm}$ $L=370.0 \text{ cm}$ $L_n=370.0 \text{ cm}$ Terreno: **Terreno**

Criterio : CLS_TraviFondazione_Esist - Verifica a flessione $r_{cm}=320 \text{ [kg/cmq]}$, $f_{ym}=4656 \text{ [kg/cmq]}$, $FC=1.20$ $q_d=3$, $q_f=1.5$

::Verificato

X	M-	M+	$\Delta M-$	$\Delta M+$	Afs	Afi	ϵ_c-	ϵ_c+	ϵ_f-	ϵ_f+	C-	C+
cm	kg*m	kg*m	kg*m	kg*m	cmq	cmq						
ILN	120044	126200	--	--	17.81	17.81	-0.16	1.59	-0.19	1.68	(22+23)-V-3	(22+23)-V-2
37.0	115203	101811	--	--	17.81	12.72	-0.16	1.53	-1.16	79.49	(22+23)-VII-3	(22+23)-VII-2
CAMP	109056	80906	--	--	15.27	10.18	-0.16	1.69	-0.29	7.37	(22+23)-VII-3	(22+23)-VII-2
333.0	9698	10327	--	--	5.09	5.09	-0.02	0.44	-0.03	0.47	(22+23)-V-2	(22+23)-V-3
FLN	9680	33187	--	--	5.09	5.09	-0.02	0.44	-0.09	1.52	(22+23)-V-2	(22+23)-V-3

X	x-	d-	x-/d-	x+	d+	x+/d+	Mr-	Mr+	C-	C+	Stato-	Stato+
cm	cm	cm		cm	cm		kg*m	kg*m				
ILN	19.2	207.5	0.093	20.8	207.5	0.100	142735	142583	(22+23)-V-3	(22+23)-V-2	Parz.	Parz.
37.0	19.4	207.5	0.094	3.0	207.5	0.014	142733	102075	(22+23)-VII-3	(22+23)-VII-2	Parz.	Parz.
CAMP	18.2	207.5	0.088	7.9	207.5	0.038	122468	81814	(22+23)-VII-3	(22+23)-VII-2	Parz.	Parz.
333.0	10.6	207.5	0.051	11.5	207.5	0.056	41244	41202	(22+23)-V-2	(22+23)-V-3	Parz.	Parz.
FLN	10.6	207.5	0.051	11.6	207.5	0.056	41244	41202	(22+23)-V-2	(22+23)-V-3	Parz.	Parz.

Verifica a taglio: $\cot(\theta) \text{ Sin}=2.500, \cot(\theta) \text{ Des}=2.500$

Comb Sin=(22+23)-VII-1 Des=(22+23)-VII-3

Sez	Td	VRdns	VRcd	VRsd	VRd	Tpl	Mr	Dx	Staffe
	kg	kg	kg	kg	kg	kg	kg*m	cm	cmq/m
Sin	114465	--	646141	114465	114465	0	142735	185.0	7.27
Des	115117	--	646141	115117	115117	0	41202	185.0	7.31

Trave di Fond. : 9010 [12 , 13] Pilastrate [12 , 13]

Sez. T: $B_a=190.0 \text{ cm}$ $H_a=30.0 \text{ cm}$ $B_s=160.0 \text{ cm}$ $H_s=180.0 \text{ cm}$ $L=370.0 \text{ cm}$ $L_n=370.0 \text{ cm}$ Terreno: **Terreno**

Criterio : CLS_TraviFondazione_Esist - Verifica a flessione $r_{cm}=320 \text{ [kg/cmq]}$, $f_{ym}=4656 \text{ [kg/cmq]}$, $FC=1.20$ $q_d=3$, $q_f=1.5$

::Verificato

X	M-	M+	$\Delta M-$	$\Delta M+$	Afs	Afi	ϵ_c-	ϵ_c+	ϵ_f-	ϵ_f+	C-	C+
cm	kg*m	kg*m	kg*m	kg*m	cmq	cmq						
ILN	59257	83022	--	--	10.18	12.72	-0.10	1.37	-0.15	1.54	(22+23)-V-4	(22+23)-V-1
37.0	55438	58370	--	--	7.63	7.63	-0.11	1.70	-0.13	1.79	(22+23)-V-3	(22+23)-V-2
CAMP	49930	11926	--	--	7.63	5.09	-0.10	1.53	-0.03	0.55	(22+23)-V-3	(22+23)-VI-2
333.0	49716	54197	--	--	7.63	7.63	-0.10	1.53	-0.12	1.67	(22+23)-V-2	(22+23)-V-3
FLN	52458	78205	--	--	7.63	10.18	-0.11	1.61	-0.15	1.81	(22+23)-V-2	(22+23)-V-3

X	x-	d-	x-/d-	x+	d+	x+/d+	Mr-	Mr+	C-	C+	Stato-	Stato+
cm	cm	cm		cm	cm		kg*m	kg*m				
ILN	14.7	207.5	0.071	18.0	207.5	0.087	81941	102067	(22+23)-V-4	(22+23)-V-1	Parz.	Parz.
37.0	13.0	207.5	0.063	14.1	207.5	0.068	61631	61517	(22+23)-V-3	(22+23)-V-2	Parz.	Parz.
CAMP	13.1	207.5	0.063	11.4	207.5	0.055	61593	41241	(22+23)-V-3	(22+23)-VI-2	Parz.	Parz.
333.0	13.0	207.5	0.062	14.1	207.5	0.068	61631	61517	(22+23)-V-2	(22+23)-V-3	Parz.	Parz.
FLN	12.9	207.5	0.062	16.2	207.5	0.078	61656	81791	(22+23)-V-2	(22+23)-V-3	Parz.	Parz.

Verifica a taglio:cot(θ) Sin=2.500,cot(θ) Des=2.500

Comb Sin=(22+23)-VII-1 Des=(22+23)-VII-3

Sez	Td	VRdns	VRcd	VRsd	VRd	Tpl	Mr	Dx	Staffe
	kg	kg	kg	kg	kg	kg	kg*m	cm	cmq/m
Sin	111622	--	646141	111622	111622	0	81941	185.0	7.09
Des	109576	--	646141	109576	109576	0	81791	185.0	6.96

Trave di Fond. : 9010 [13 , 14] Pilastrate [13 , 14]

Sez. T: Ba=190.0 cm Ha=30.0 cm Bs=160.0 cm Hs=180.0 cm L=370.0 cm Ln=370.0 cm Terreno: Terreno

Criterio : CLS_TraviFondazione_Esist - Verifica a flessione rcm=320 [kg/cmq],fym=4656 [kg/cmq], FC=1.20 qd=3, qf=1.5

::Verificato

X	M-	M+	ΔM-	ΔM+	Afs	Afi	εc-	εf-	εc+	εf+	C-	C+
cm	kg*m	kg*m	kg*m	kg*m	cmq	cmq						
ILN	14366	39779	--	--	5.09	5.09	-0.04	0.66	-0.11	1.83	(22+23)-V-3	(22+23)-V-2
37.0	12028	14501	--	--	5.09	5.09	-0.03	0.55	-0.04	0.67	(22+23)-V-3	(22+23)-V-2
CAMP	101782	76327	--	--	12.72	10.18	-0.84	49.70	-0.15	1.76	(22+23)-V-1	(22+23)-V-4
333.0	107499	97168	--	--	15.27	12.72	-0.16	1.66	-0.17	1.80	(22+23)-V-1	(22+23)-V-4
FLN	110865	120520	--	--	15.27	15.27	-0.16	1.71	-0.29	4.39	(22+23)-V-2	(22+23)-V-3

X	x-	d-	x-/d-	x+	d+	x+/d+	Mr-	Mr+	C-	C+	Stato-	Stato+
cm	cm	cm		cm	cm		kg*m	kg*m				
ILN	10.7	207.5	0.051	11.6	207.5	0.056	41244	41202	(22+23)-V-3	(22+23)-V-2	Parz.	Parz.
37.0	10.6	207.5	0.051	11.6	207.5	0.056	41244	41202	(22+23)-V-3	(22+23)-V-2	Parz.	Parz.
CAMP	3.4	207.5	0.017	15.9	207.5	0.077	102199	81808	(22+23)-V-1	(22+23)-V-4	Parz.	Parz.
333.0	18.0	207.5	0.087	17.7	207.5	0.085	122472	102073	(22+23)-V-1	(22+23)-V-4	Parz.	Parz.
FLN	17.9	207.5	0.086	12.7	207.5	0.061	122475	122330	(22+23)-V-2	(22+23)-V-3	Parz.	Parz.

Verifica a taglio:cot(θ) Sin=2.500,cot(θ) Des=2.500

Comb Sin=(22+23)-V-1 Des=(22+23)-V-3

Sez	Td	VRdns	VRcd	VRsd	VRd	Tpl	Mr	Dx	Staffe
	kg	kg	kg	kg	kg	kg	kg*m	cm	cmq/m
Sin	116766	--	646141	116766	116766	0	41202	185.0	7.41
Des	111230	--	646141	111230	111230	0	122475	185.0	7.06

Trave di Fond. : 9010 [14 , 15] Pilastrate [14 , 15]

Sez. T: Ba=190.0 cm Ha=30.0 cm Bs=160.0 cm Hs=180.0 cm L=370.0 cm Ln=370.0 cm Terreno: Terreno

Criterio : CLS_TraviFondazione_Esist - Verifica a flessione rcm=320 [kg/cmq],fym=4656 [kg/cmq], FC=1.20 qd=3, qf=1.5

::Verificato

X	M-	M+	ΔM-	ΔM+	Afs	Afi	εc-	εf-	εc+	εf+	C-	C+
cm	kg*m	kg*m	kg*m	kg*m	cmq	cmq						
ILN	28607	37006	--	--	5.09	5.09	-0.07	1.31	-0.10	1.70	(22+23)-V-1	(22+23)-V-4
37.0	54498	38102	--	--	7.63	5.09	-0.11	1.67	-0.10	1.75	(22+23)-V-1	(22+23)-V-4
CAMP	163463	112727	--	--	22.90	15.27	-0.20	1.70	-0.18	1.74	(22+23)-V-1	(22+23)-V-4
333.0	166197	130937	--	--	22.90	17.81	-0.20	1.72	-0.19	1.74	(22+23)-V-1	(22+23)-V-4
FLN	165429	150923	--	--	22.90	20.36	-0.20	1.71	-0.21	1.76	(22+23)-V-1	(22+23)-V-4

X	x-	d-	x-/d-	x+	d+	x+/d+	Mr-	Mr+	C-	C+	Stato-	Stato+
cm	cm	cm		cm	cm		kg*m	kg*m				
ILN	10.7	207.5	0.051	11.6	207.5	0.056	41244	41202	(22+23)-V-1	(22+23)-V-4	Parz.	Parz.
37.0	13.1	207.5	0.063	11.5	207.5	0.055	61593	41241	(22+23)-V-1	(22+23)-V-4	Parz.	Parz.
CAMP	21.9	207.5	0.106	19.0	207.5	0.091	183242	122330	(22+23)-V-1	(22+23)-V-4	Parz.	Parz.
333.0	21.8	207.5	0.105	20.5	207.5	0.099	183241	142581	(22+23)-V-1	(22+23)-V-4	Parz.	Parz.
FLN	21.7	207.5	0.104	21.9	207.5	0.106	183240	162830	(22+23)-V-1	(22+23)-V-4	Parz.	Parz.

Verifica a taglio:cot(θ) Sin=2.500,cot(θ) Des=2.500

Comb Sin=(22+23)-V-1 Des=(22+23)-V-3

IperSpaceMax 9.0.1 Copyright© 2016 Soft.Lab:

Sez	Td	VRdns	VRcd	VRsd	VRd	Tpl	Mr	Dx	Staffe
	kg	kg	kg	kg	kg	kg	kg*m	cm	cmq/m
Sin	121398	--	646141	121398	121398	0	41202	185.0	7.71
Des	96831	--	646141	96831	96831	0	183240	185.0	6.15

Trave di Fond. : 9010 [15 , 16] Pilastrate [15 , 16]

Sez. T: $B_a=190.0\text{ cm}$ $H_a=30.0\text{ cm}$ $B_s=160.0\text{ cm}$ $H_s=180.0\text{ cm}$ $L=370.0\text{ cm}$ $L_n=395.0\text{ cm}$ Terreno: **Terreno**

Criterio : CLS_TraviFondazione_Esist - Verifica a flessione $r_{cm}=320$ [kg/cmq], $f_{ym}=4656$ [kg/cmq], $FC=1.20$ $q_d=3$, $q_f=1.5$

::Verificato

X	M-	M+	$\Delta M-$	$\Delta M+$	Afs	Afi	ϵ_c-	ϵ_f-	ϵ_c+	ϵ_f+	C-	C+
cm	kg*m	kg*m	kg*m	kg*m	cmq	cmq						
ILN	86950	69381	--	--	12.72	10.18	-0.14	1.61	-0.13	1.60	(22+23)-V-1	(22+23)-V-4
39.5	106484	64610	--	--	15.27	10.18	-0.16	1.65	-0.12	1.49	(22+23)-V-1	(22+23)-V-4
CAMP	137939	71043	--	--	17.81	10.18	-0.19	1.83	-0.13	1.64	(22+23)-V-1	(22+23)-V-4
355.5	81856	75922	--	--	10.18	10.18	-2.41	246.4 5	-0.15	1.76	(22+23)-V-1	(22+23)-V-4
FLN	55191	84342	--	--	10.18	12.72	-0.10	1.27	-0.15	1.56	(22+23)-V-2	(22+23)-V-3

X	x-	d-	x-/d-	x+	d+	x+/d+	Mr-	Mr+	C-	C+	Stato-	Stato+
cm	cm	cm		cm	cm		kg*m	kg*m				
ILN	16.6	207.5	0.080	15.9	207.5	0.077	102199	81808	(22+23)-V-1	(22+23)-V-4	Parz.	Parz.
39.5	18.2	207.5	0.087	15.8	207.5	0.076	122468	81814	(22+23)-V-1	(22+23)-V-4	Parz.	Parz.
CAMP	19.6	207.5	0.095	15.7	207.5	0.075	142733	81818	(22+23)-V-1	(22+23)-V-4	Parz.	Parz.
355.5	2.0	207.5	0.010	16.1	207.5	0.078	81928	81801	(22+23)-V-1	(22+23)-V-4	Parz.	Parz.
FLN	14.7	207.5	0.071	18.0	207.5	0.087	81941	102067	(22+23)-V-2	(22+23)-V-3	Parz.	Parz.

Verifica a taglio: $\cot(\theta)$ Sin=2.500, $\cot(\theta)$ Des=2.500

Comb Sin=(22+23)-VI-1 Des=(22+23)-V-1

Sez	Td	VRdns	VRcd	VRsd	VRd	Tpl	Mr	Dx	Staffe
	kg	kg	kg	kg	kg	kg	kg*m	cm	cmq/m
Sin	82474	--	646141	82474	82474	0	102199	197.5	5.24
Des	124677	--	646141	124677	124677	0	102067	197.5	7.92

FASCICOLO DEI CALCOLI

(VERIFICA DEI PILASTRI OLD)

Verifica dei Pilastri Old (Meccanismo Duttile $q=3,0$ Fragile $q=1,5$)

Scenario di calcolo : SetNT_SLU_SLE

Pilastro : 1 [1 , 101]

Sez. R: $B_y=50.0\text{ cm}$ $B_z=150.0\text{ cm}$ $L=625.0\text{ cm}$ $L_n=625.0\text{ cm}$

Criterio : CLS_Pilastri-Esist - Verifica a presso-flessione deviata:rcm=355 [kg/cmq],fym=4967 [kg/cmq], FC=1.20 qd=3, qf=1.5

:Non verificato

Piede	AfSpigolo = 2.54	Afy = 5.09	Afz = 5.09	Sezione non verificata
Testa	AfSpigolo = 2.54	Afy = 5.09	Afz = 5.09	Sezione non verificata

$v_{max}=N/(fcd*A)=0.099 \leq 0.65$ [Comb. (22+23)-III-4(+)]

Zona	C.	N	My	Mz	Mry+	Mrz+	Mry-	Mrz-	CS
		kg	kg*m	kg*m	kg*m	kg*m	kg*m	kg*m	
Piede	(22+23)-III-2(-)	-25438	39124	80935	109098	34772	109098	34772	0.375

Sezione non verificata : Sezione non verificata

Testa	(22+23)-III-2(-)	-13719	-65631	-70009	101001	32194	101001	32194	0.374
--------------	------------------	--------	--------	--------	--------	-------	--------	-------	-------

Sezione non verificata : Sezione non verificata *Verifica a taglio*

Dir	C.	MrSup	MrInf	T	Vrdns	Vrcd	Vrsd	Vrd	Ast/m	cot(θ)	Cs
		kg*m	kg*m	kg	kg	kg	kg	kg	cmq/m		
Y	(22+23)-I-2	--	--	49947	--	155222	54663	54663	14.36	2.500	1.09
Z	(22+23)-IV-2	--	--	58123	--	172357	170969	170969	14.36	2.500	2.94

Pilastro : 1 [101 , 201]

Sez. R: $B_y=50.0\text{ cm}$ $B_z=150.0\text{ cm}$ $L=780.0\text{ cm}$ $L_n=780.0\text{ cm}$

Criterio : CLS_Pilastri-Esist - Verifica a presso-flessione deviata:rcm=355 [kg/cmq],fym=4967 [kg/cmq], FC=1.20 qd=3, qf=1.5

:Non verificato

Piede	AfSpigolo = 2.54	Afy = 5.09	Afz = 5.09	Sezione non verificata
Testa	AfSpigolo = 2.54	Afy = 5.09	Afz = 5.09	Sezione non verificata

$v_{max}=N/(fcd*A)=0.03 \leq 0.65$ [Comb. (22+23)-III-4(+)]

Zona	C.	N	My	Mz	Mry+	Mrz+	Mry-	Mrz-	CS
		kg	kg*m	kg*m	kg*m	kg*m	kg*m	kg*m	
Piede	(22+23)-III-2(-)	-11886	91022	60448	99711	31789	99711	31789	0.374

Sezione non verificata : Sezione non verificata

Testa	(22+23)-III-2(-)	2739	-47827	-58992	89354	28549	89354	28549	0.374
--------------	------------------	------	--------	--------	-------	-------	-------	-------	-------

Sezione non verificata : Sezione non verificata *Verifica a taglio*

Dir	C.	MrSup	MrInf	T	Vrdns	Vrcd	Vrsd	Vrd	Ast/m	cot(θ)	Cs
		kg*m	kg*m	kg	kg	kg	kg	kg	cmq/m		
Y	(22+23)-I-1	--	--	31438	--	153599	31887	31887	8.38	2.500	1.01
Z	(22+23)-IV-2	--	--	39944	--	163035	99732	99732	8.38	2.500	2.50

Pilastro : 2 [2 , 102]

Sez. R: $B_y=50.0\text{ cm}$ $B_z=150.0\text{ cm}$ $L=625.0\text{ cm}$ $L_n=625.0\text{ cm}$

Criterio : CLS_Pilastri-Esist - Verifica a presso-flessione deviata:rcm=355 [kg/cmq],fym=4967 [kg/cmq], FC=1.20 qd=3, qf=1.5

:Non verificato

Piede	AfSpigolo = 2.54	Afy = 5.09	Afz = 5.09	Sezione non verificata
Testa	AfSpigolo = 2.54	Afy = 5.09	Afz = 5.09	Sezione non verificata

$v_{max}=N/(fcd*A)=0.082 \leq 0.65$ [Comb. (22+23)-IV-2(-)]

Zona	C.	N	My	Mz	Mry+	Mrz+	Mry-	Mrz-	CS
------	----	---	----	----	------	------	------	------	----

Zona	C.	N	My	Mz	Mry+	Mrz+	Mry-	Mrz-	CS
		kg	kg*m	kg*m	kg*m	kg*m	kg*m	kg*m	
Piede	(22+23)-III-1(-)	-97006	-37230	84879	155490	50038	155490	50038	0.374

Sezione non verificata : Sezione non verificata

Testa	(22+23)-III-2(+)	-102741	-54910	-84190	158990	51215	158990	51215	0.375
--------------	------------------	---------	--------	--------	--------	-------	--------	-------	-------

Sezione non verificata : Sezione non verificata *Verifica a taglio*

Dir	C.	MrSup	MrInf	T	Vrdns	Vrcd	Vrsd	Vrd	Ast/m	cot(θ)	Cs
		kg*m	kg*m	kg	kg	kg	kg	kg	cmq/m		
Y	(22+23)-I-2	--	--	54629	--	168273	54663	54663	14.36	2.500	1.00
Z	(22+23)-IV-2	--	--	54181	--	178442	170969	170969	14.36	2.500	3.16

Pilastro : 2 [102 , 202]

Sez. R: $B_y = 50.0 \text{ cm}$ $B_z = 150.0 \text{ cm}$ $L = 811.0 \text{ cm}$ $L_n = 811.0 \text{ cm}$

Criterio : CLS_Pilastri-Esist - Verifica a presso-flessione deviata:rcm=355 [kg/cmq],fym=4967 [kg/cmq], FC=1.20 qd=3, qf=1.5

:Non verificato

Piede	AfSpigolo = 2.54	Afy = 5.09	Afz = 5.09	Sezione non verificata
Testa	AfSpigolo = 2.54	Afy = 5.09	Afz = 5.09	Sezione non verificata

$v_{max} = N / (fcd * A) = 0.027 \leq 0.65$ [Comb. (22+23)-IV-4(-)]

Zona	C.	N	My	Mz	Mry+	Mrz+	Mry-	Mrz-	CS
		kg	kg*m	kg*m	kg*m	kg*m	kg*m	kg*m	
Piede	(22+23)-III-1(-)	-29494	33642	64732	111863	35661	111863	35661	0.374

Sezione non verificata : Sezione non verificata

Testa	(22+23)-III-3(+)	-21747	-19787	64148	106569	33962	106569	33962	0.374
--------------	------------------	--------	--------	-------	--------	-------	--------	-------	-------

Sezione non verificata : Sezione non verificata *Verifica a taglio*

Dir	C.	MrSup	MrInf	T	Vrdns	Vrcd	Vrsd	Vrd	Ast/m	cot(θ)	Cs
		kg*m	kg*m	kg	kg	kg	kg	kg	cmq/m		
Y	(22+23)-I-1	--	--	32455	--	156677	34786	34786	9.14	2.500	1.07
Z	(22+23)-IV-2	--	--	37948	--	165008	108798	108798	9.14	2.500	2.87

Pilastro : 3 [3 , 103]

Sez. R: $B_y = 50.0 \text{ cm}$ $B_z = 150.0 \text{ cm}$ $L = 625.0 \text{ cm}$ $L_n = 625.0 \text{ cm}$

Criterio : CLS_Pilastri-Esist - Verifica a presso-flessione deviata:rcm=355 [kg/cmq],fym=4967 [kg/cmq], FC=1.20 qd=3, qf=1.5

:Non verificato

Piede	AfSpigolo = 2.54	Afy = 5.09	Afz = 5.09	Sezione non verificata
Testa	AfSpigolo = 2.54	Afy = 5.09	Afz = 5.09	Sezione non verificata

$v_{max} = N / (fcd * A) = 0.079 \leq 0.65$ [Comb. (22+23)-IV-2(-)]

Zona	C.	N	My	Mz	Mry+	Mrz+	Mry-	Mrz-	CS
		kg	kg*m	kg*m	kg*m	kg*m	kg*m	kg*m	
Piede	(22+23)-I-2(-)	-105491	-4738	90146	160656	51777	160656	51777	0.374

Sezione non verificata : Sezione non verificata

Testa	(22+23)-I-4(-)	-86865	-33288	78283	149224	47937	149224	47937	0.374
--------------	----------------	--------	--------	-------	--------	-------	--------	-------	-------

Sezione non verificata : Sezione non verificata *Verifica a taglio*

Dir	C.	MrSup	MrInf	T	Vrdns	Vrcd	Vrsd	Vrd	Ast/m	cot(θ)	Cs
		kg*m	kg*m	kg	kg	kg	kg	kg	cmq/m		
Y	(22+23)-I-2	--	--	56871	--	167602	63774	63774	16.76	2.500	1.12
Z	(22+23)-IV-2	--	--	50884	--	177697	199464	177697	16.76	2.500	3.49

Pilastro : 3 [103 , 203]

Sez. R: $B_y = 50.0 \text{ cm}$ $B_z = 150.0 \text{ cm}$ $L = 842.0 \text{ cm}$ $L_n = 842.0 \text{ cm}$

Criterio : CLS_Pilastri-Esist - Verifica a presso-flessione deviata:rcm=355 [kg/cmq],fym=4967 [kg/cmq], FC=1.20 qd=3, qf=1.5

:Non verificato

Piede	AfSpigolo = 2.54	Afy = 5.09	Afz = 5.09	Sezione non verificata
Testa	AfSpigolo = 2.54	Afy = 5.09	Afz = 5.09	Sezione non verificata

$v_{max} = N / (fcd * A) = 0.027 \leq 0.65$ [Comb. (22+23)-IV-2(-)]

Zona	C.	N	My	Mz	Mry+	Mrz+	Mry-	Mrz-	CS
		kg	kg*m	kg*m	kg*m	kg*m	kg*m	kg*m	
Piede	(22+23)-III-2(-)	-40229	66552	63842	119100	38001	119100	38001	0.500

Sezione non verificata : Sezione non verificata

Testa	(22+23)-I-2(+)	-23676	-42990	-63506	107893	34386	107893	34386	0.374
-------	----------------	--------	--------	--------	--------	-------	--------	-------	-------

Sezione non verificata : Sezione non verificata *Verifica a taglio*

Dir	C.	MrSup	MrInf	T	Vrdns	Vrcd	Vrsd	Vrd	Ast/m	cot(θ)	Cs
		kg*m	kg*m	kg	kg	kg	kg	kg	cmq/m		
Y	(22+23)-I-1	--	--	30636	--	157613	31887	31887	8.38	2.500	1.04
Z	(22+23)-IV-4	--	--	36349	--	165019	99732	99732	8.38	2.500	2.74

Pilastro : 4 [4 , 104]

Sez. R: By= 50.0 cm Bz=150.0 cm L=625.0 cm Ln=625.0 cm

Criterio : CLS_Pilastri-Esist - Verifica a presso-flessione deviata:rcm=355 [kg/cmq],fym=4967 [kg/cmq], FC=1.20 qd=3, qf=1.5

:Non verificato

Piede	AfSpigolo = 2.54	Afy = 5.09	Afz = 5.09	Sezione non verificata
Testa	AfSpigolo = 2.54	Afy = 5.09	Afz = 5.09	Sezione non verificata

$v_{max}=N/(fcd*A)=0.077 \leq 0.65$ [Comb. (22+23)-IV-2(-)]

Zona	C.	N	My	Mz	Mry+	Mrz+	Mry-	Mrz-	CS
		kg	kg*m	kg*m	kg*m	kg*m	kg*m	kg*m	
Piede	(22+23)-III-1(-)	-91401	-43714	90854	152039	48879	152039	48879	0.374

Sezione non verificata : Sezione non verificata

Testa	(22+23)-III-4(+)	-89592	-47149	88674	150919	48504	150919	48504	0.374
-------	------------------	--------	--------	-------	--------	-------	--------	-------	-------

Sezione non verificata : Sezione non verificata *Verifica a taglio*

Dir	C.	MrSup	MrInf	T	Vrdns	Vrcd	Vrsd	Vrd	Ast/m	cot(θ)	Cs
		kg*m	kg*m	kg	kg	kg	kg	kg	cmq/m		
Y	(22+23)-I-2	--	--	57946	--	167440	63774	63774	16.76	2.500	1.10
Z	(22+23)-IV-2	--	--	46678	--	177150	199464	177150	16.76	2.500	3.80

Pilastro : 4 [104 , 204]

Sez. R: By= 50.0 cm Bz=150.0 cm L=873.0 cm Ln=873.0 cm

Criterio : CLS_Pilastri-Esist - Verifica a presso-flessione deviata:rcm=355 [kg/cmq],fym=4967 [kg/cmq], FC=1.20 qd=3, qf=1.5

:Non verificato

Piede	AfSpigolo = 2.54	Afy = 5.09	Afz = 5.09	Sezione non verificata
Testa	AfSpigolo = 2.54	Afy = 5.09	Afz = 5.09	Sezione non verificata

$v_{max}=N/(fcd*A)=0.026 \leq 0.65$ [Comb. (22+23)-IV-2(-)]

Zona	C.	N	My	Mz	Mry+	Mrz+	Mry-	Mrz-	CS
		kg	kg*m	kg*m	kg*m	kg*m	kg*m	kg*m	
Piede	(22+23)-III-2(+)	-38332	60297	57672	117829	37589	117829	37589	0.500

Sezione non verificata : Sezione non verificata

Testa	(22+23)-III-2(+)	-21963	-47561	-61500	106718	34009	106718	34009	0.500
-------	------------------	--------	--------	--------	--------	-------	--------	-------	-------

Sezione non verificata : Sezione non verificata *Verifica a taglio*

Dir	C.	MrSup	MrInf	T	Vrdns	Vrcd	Vrsd	Vrd	Ast/m	cot(θ)	Cs
		kg*m	kg*m	kg	kg	kg	kg	kg	cmq/m		
Y	(22+23)-I-4	--	--	28149	--	157441	29434	29434	7.73	2.500	1.05
Z	(22+23)-IV-2	--	--	34012	--	165050	92060	92060	7.73	2.500	2.71

Pilastro : 5 [5 , 105]

Sez. R: By= 50.0 cm Bz=150.0 cm L=625.0 cm Ln=625.0 cm

Criterio : CLS_Pilastri-Esist - Verifica a presso-flessione deviata:rcm=355 [kg/cmq],fym=4967 [kg/cmq], FC=1.20 qd=3, qf=1.5

:Non verificato

Piede	AfSpigolo = 2.54	Afy = 5.09	Afz = 5.09	Sezione non verificata
Testa	AfSpigolo = 2.54	Afy = 5.09	Afz = 5.09	Sezione non verificata

$v_{max}=N/(fcd*A)=0.076 \leq 0.65$ [Comb. (22+23)-II-2(-)]

Zona	C.	N	My	Mz	Mry+	Mrz+	Mry-	Mrz-	CS
		kg	kg*m	kg*m	kg*m	kg*m	kg*m	kg*m	
Piede	(22+23)-III-1(+)	-92385	-37148	84608	152647	49083	152647	49083	0.374

Sezione non verificata : Sezione non verificata

Testa	(22+23)-III-3(-)	-76831	-11330	81558	142923	45835	142923	45835	0.374
-------	------------------	--------	--------	-------	--------	-------	--------	-------	-------

Sezione non verificata : Sezione non verificata *Verifica a taglio*

IperSpaceMax 9.0.1 Copyright© 2016 Soft.Lab:

Dir	C.	MrSup	MrInf	T	Vrdns	Vrcd	Vrsd	Vrd	Ast/m	cot(θ)	Cs
		kg*m	kg*m	kg	kg	kg	kg	kg	cmq/m		
Y	(22+23)-I-3	--	--	58028	--	165090	63774	63774	16.76	2.500	1.10
Z	(22+23)-II-2	--	--	42853	--	177011	199464	177011	16.76	2.500	4.13

Pilastro : 5 [105 , 205]

Sez. R: $B_y=50.0\text{ cm}$ $B_z=150.0\text{ cm}$ $L=904.0\text{ cm}$ $L_n=904.0\text{ cm}$

Criterio : CLS_Pilastri-Esist - Verifica a presso-flessione deviata:rcm=355 [kg/cmq],fym=4967 [kg/cmq], FC=1.20 qd=3, qf=1.5

:Non verificato

Piede	AfSpigolo = 2.54	Afy = 5.09	Afz = 5.09	Sezione non verificata
Testa	AfSpigolo = 2.54	Afy = 5.09	Afz = 5.09	Sezione non verificata

$v_{max}=N/(fcd*A)=0.026 \leq 0.65$ [Comb. (22+23)-II-2(-)]

Zona	C.	N	My	Mz	Mry+	Mrz+	Mry-	Mrz-	CS
		kg	kg*m	kg*m	kg*m	kg*m	kg*m	kg*m	
Piede	(22+23)-I-2(-)	-38400	68267	55435	117875	37603	117875	37603	0.500

Sezione non verificata : Sezione non verificata

Testa	(22+23)-I-2(-)	-21450	-38027	-53626	106365	33897	106365	33897	0.500
--------------	----------------	--------	--------	--------	--------	-------	--------	-------	-------

Sezione non verificata : Sezione non verificata *Verifica a taglio*

Dir	C.	MrSup	MrInf	T	Vrdns	Vrcd	Vrsd	Vrd	Ast/m	cot(θ)	Cs
		kg*m	kg*m	kg	kg	kg	kg	kg	cmq/m		
Y	(22+23)-I-4	--	--	25517	--	157674	27332	27332	7.18	2.500	1.07
Z	(22+23)-II-2	--	--	32200	--	165100	85484	85484	7.18	2.500	2.65

Pilastro : 6 [6 , 106]

Sez. R: $B_y=50.0\text{ cm}$ $B_z=150.0\text{ cm}$ $L=625.0\text{ cm}$ $L_n=625.0\text{ cm}$

Criterio : CLS_Pilastri-Esist - Verifica a presso-flessione deviata:rcm=355 [kg/cmq],fym=4967 [kg/cmq], FC=1.20 qd=3, qf=1.5

:Non verificato

Piede	AfSpigolo = 2.54	Afy = 5.09	Afz = 5.09	Sezione non verificata
Testa	AfSpigolo = 2.54	Afy = 5.09	Afz = 5.09	Sezione non verificata

$v_{max}=N/(fcd*A)=0.08 \leq 0.65$ [Comb. (22+23)-II-2(-)]

Zona	C.	N	My	Mz	Mry+	Mrz+	Mry-	Mrz-	CS
		kg	kg*m	kg*m	kg*m	kg*m	kg*m	kg*m	
Piede	(22+23)-I-2(+)	-108390	-6577	83225	162405	52367	162405	52367	0.374

Sezione non verificata : Sezione non verificata

Testa	(22+23)-I-3(+)	-78298	-9302	88587	143851	46144	143851	46144	0.374
--------------	----------------	--------	-------	-------	--------	-------	--------	-------	-------

Sezione non verificata : Sezione non verificata *Verifica a taglio*

Dir	C.	MrSup	MrInf	T	Vrdns	Vrcd	Vrsd	Vrd	Ast/m	cot(θ)	Cs
		kg*m	kg*m	kg	kg	kg	kg	kg	cmq/m		
Y	(22+23)-I-3	--	--	57077	--	165345	63774	63774	16.76	2.500	1.12
Z	(22+23)-II-4	--	--	50202	--	177798	199464	177798	16.76	2.500	3.54

Pilastro : 6 [106 , 206]

Sez. R: $B_y=50.0\text{ cm}$ $B_z=150.0\text{ cm}$ $L=935.0\text{ cm}$ $L_n=935.0\text{ cm}$

Criterio : CLS_Pilastri-Esist - Verifica a presso-flessione deviata:rcm=355 [kg/cmq],fym=4967 [kg/cmq], FC=1.20 qd=3, qf=1.5

:Non verificato

Piede	AfSpigolo = 2.54	Afy = 5.09	Afz = 5.09	Sezione non verificata
Testa	AfSpigolo = 2.54	Afy = 5.09	Afz = 5.09	Sezione non verificata

$v_{max}=N/(fcd*A)=0.028 \leq 0.65$ [Comb. (22+23)-II-4(+)]

Zona	C.	N	My	Mz	Mry+	Mrz+	Mry-	Mrz-	CS
		kg	kg*m	kg*m	kg*m	kg*m	kg*m	kg*m	
Piede	(22+23)-I-4(+)	-40759	58227	-50466	119454	38116	119454	38116	0.500

Sezione non verificata : Sezione non verificata

Testa	(22+23)-I-4(+)	-23228	-45995	53652	107586	34287	107586	34287	0.500
--------------	----------------	--------	--------	-------	--------	-------	--------	-------	-------

Sezione non verificata : Sezione non verificata *Verifica a taglio*

Dir	C.	MrSup	MrInf	T	Vrdns	Vrcd	Vrsd	Vrd	Ast/m	cot(θ)	Cs
		kg*m	kg*m	kg	kg	kg	kg	kg	cmq/m		
Y	(22+23)-I-4	--	--	22667	--	158160	23915	23915	6.28	2.500	1.06

IperSpaceMax 9.0.1 Copyright© 2016 Soft.Lab:

Dir	C.	MrSup	MrInf	T	Vrdns	Vrcd	Vrsd	Vrd	Ast/m	cot(θ)	Cs
Z	(22+23)-II-2	--	--	34793	--	165405	74799	74799	6.28	2.500	2.15

Pilastro : 7 [7 , 107]

Sez. R: $B_y=50.0\text{ cm}$ $B_z=150.0\text{ cm}$ $L=625.0\text{ cm}$ $L_n=625.0\text{ cm}$

Criteria : CLS_Pilastri-Esist - Verifica a presso-flessione deviata:rcm=355 [kg/cmq],fym=4967 [kg/cmq], FC=1.20 qd=3, qf=1.5

:Non verificato

Piede	AfSpigolo = 2.54	Afy = 5.09	Afz = 5.09	Sezione non verificata
Testa	AfSpigolo = 2.54	Afy = 5.09	Afz = 5.09	Sezione non verificata

$v_{max}=N/(fcd*A)=0.085 \leq 0.65$ [Comb. (22+23)-II-4(+)]

Zona	C.	N	My	Mz	Mry+	Mrz+	Mry-	Mrz-	CS
		kg	kg*m	kg*m	kg*m	kg*m	kg*m	kg*m	
Piede	(22+23)-III-1(-)	-89355	-49632	84095	150771	48455	150771	48455	0.374

Sezione non verificata : Sezione non verificata

Testa	(22+23)-III-2(+)	-88061	-31930	-80771	149968	48186	149968	48186	0.374
--------------	------------------	--------	--------	--------	--------	-------	--------	-------	-------

Sezione non verificata : Sezione non verificata *Verifica a taglio*

Dir	C.	MrSup	MrInf	T	Vrdns	Vrcd	Vrsd	Vrd	Ast/m	cot(θ)	Cs
		kg*m	kg*m	kg	kg	kg	kg	kg	cmq/m		
Y	(22+23)-I-4	--	--	54882	--	169135	63774	63774	16.76	2.500	1.16
Z	(22+23)-II-4	--	--	55950	--	178995	199464	178995	16.76	2.500	3.20

Pilastro : 7 [107 , 207]

Sez. R: $B_y=50.0\text{ cm}$ $B_z=150.0\text{ cm}$ $L=905.0\text{ cm}$ $L_n=905.0\text{ cm}$

Criteria : CLS_Pilastri-Esist - Verifica a presso-flessione deviata:rcm=355 [kg/cmq],fym=4967 [kg/cmq], FC=1.20 qd=3, qf=1.5

:Non verificato

Piede	AfSpigolo = 2.54	Afy = 5.09	Afz = 5.09	Sezione non verificata
Testa	AfSpigolo = 2.54	Afy = 5.09	Afz = 5.09	Sezione non verificata

$v_{max}=N/(fcd*A)=0.029 \leq 0.65$ [Comb. (22+23)-II-2(-)]

Zona	C.	N	My	Mz	Mry+	Mrz+	Mry-	Mrz-	CS
		kg	kg*m	kg*m	kg*m	kg*m	kg*m	kg*m	
Piede	(22+23)-I-2(-)	-43739	80563	50401	121442	38763	121442	38763	0.500

Sezione non verificata : Sezione non verificata

Testa	(22+23)-I-2(-)	-26770	-35254	-48604	110008	35064	110008	35064	0.500
--------------	----------------	--------	--------	--------	--------	-------	--------	-------	-------

Sezione non verificata : Sezione non verificata *Verifica a taglio*

Dir	C.	MrSup	MrInf	T	Vrdns	Vrcd	Vrsd	Vrd	Ast/m	cot(θ)	Cs
		kg*m	kg*m	kg	kg	kg	kg	kg	cmq/m		
Y	(22+23)-I-4	--	--	23694	--	157434	23915	23915	6.28	2.500	1.01
Z	(22+23)-II-2	--	--	38410	--	165794	74799	74799	6.28	2.500	1.95

Pilastro : 8 [8 , 108]

Sez. R: $B_y=50.0\text{ cm}$ $B_z=150.0\text{ cm}$ $L=625.0\text{ cm}$ $L_n=625.0\text{ cm}$

Criteria : CLS_Pilastri-Esist - Verifica a presso-flessione deviata:rcm=355 [kg/cmq],fym=4967 [kg/cmq], FC=1.20 qd=3, qf=1.5

:Non verificato

Piede	AfSpigolo = 2.54	Afy = 5.09	Afz = 5.09	Sezione non verificata
Testa	AfSpigolo = 2.54	Afy = 5.09	Afz = 5.09	Sezione non verificata

$v_{max}=N/(fcd*A)=0.096 \leq 0.65$ [Comb. (22+23)-I-2(-)]

Zona	C.	N	My	Mz	Mry+	Mrz+	Mry-	Mrz-	CS
		kg	kg*m	kg*m	kg*m	kg*m	kg*m	kg*m	
Piede	(22+23)-III-3(+)	-24111	-2813	-75098	108191	34481	108191	34481	0.374

Sezione non verificata : Sezione non verificata

Testa	(22+23)-III-3(-)	-12393	-39172	70088	100067	31901	100067	31901	0.374
--------------	------------------	--------	--------	-------	--------	-------	--------	-------	-------

Sezione non verificata : Sezione non verificata *Verifica a taglio*

Dir	C.	MrSup	MrInf	T	Vrdns	Vrcd	Vrsd	Vrd	Ast/m	cot(θ)	Cs
		kg*m	kg*m	kg	kg	kg	kg	kg	cmq/m		
Y	(22+23)-I-4	--	--	50476	--	157609	54663	54663	14.36	2.500	1.08
Z	(22+23)-II-4	--	--	61091	--	173632	170969	170969	14.36	2.500	2.80

Pilastro : 8 [108 , 208]

Sez. R: $B_y=50.0\text{ cm}$ $B_z=150.0\text{ cm}$ $L=875.0\text{ cm}$ $L_n=875.0\text{ cm}$

Criterio : CLS_Pilastri-Esist - Verifica a presso-flessione deviata:rcm=355 [kg/cmq],fym=4967 [kg/cmq], FC=1.20 qd=3, qf=1.5

:Non verificato

Piede	AfSpigolo = 2.54	Afy = 5.09	Afz = 5.09	Sezione non verificata
Testa	AfSpigolo = 2.54	Afy = 5.09	Afz = 5.09	Sezione non verificata

$v_{max}=N/(fcd*A)=0.029 \leq 0.65$ [Comb. (22+23)-I-2(+)]

Zona	C.	N	My	Mz	Mry+	Mrz+	Mry-	Mrz-	CS
		kg	kg*m	kg*m	kg*m	kg*m	kg*m	kg*m	
Piede	(22+23)-I-4(+)	-17301	84600	-46878	103505	32984	103505	32984	0.500

Sezione non verificata : Sezione non verificata

Testa	(22+23)-I-2(+)	-30033	-30770	-47678	112228	35778	112228	35778	0.500
--------------	----------------	--------	--------	--------	--------	-------	--------	-------	--------------

Sezione non verificata : Sezione non verificata **Verifica a taglio**

Dir	C.	MrSup	MrInf	T	Vrdns	Vrcd	Vrsd	Vrd	Ast/m	cot(θ)	Cs
		kg*m	kg*m	kg	kg	kg	kg	kg	cmq/m		
Y	(22+23)-I-4	--	--	22671	--	154738	23915	23915	6.28	2.500	1.05
Z	(22+23)-II-4	--	--	41069	--	163665	74799	74799	6.28	2.500	1.82

Pilastro : 9 [9 , 109]

Sez. R: $B_y=50.0\text{ cm}$ $B_z=150.0\text{ cm}$ $L=625.0\text{ cm}$ $L_n=625.0\text{ cm}$

Criterio : CLS_Pilastri-Esist - Verifica a presso-flessione deviata:rcm=355 [kg/cmq],fym=4967 [kg/cmq], FC=1.20 qd=3, qf=1.5

:Non verificato

Piede	AfSpigolo = 2.54	Afy = 5.09	Afz = 5.09	Sezione non verificata
Testa	AfSpigolo = 2.54	Afy = 5.09	Afz = 5.09	Sezione non verificata

$v_{max}=N/(fcd*A)=0.099 \leq 0.65$ [Comb. (22+23)-VII-3(+)]

Zona	C.	N	My	Mz	Mry+	Mrz+	Mry-	Mrz-	CS
		kg	kg*m	kg*m	kg*m	kg*m	kg*m	kg*m	
Piede	(22+23)-VII-2(+)	-11613	19522	71212	99518	31729	99518	31729	0.374

Sezione non verificata : Sezione non verificata

Testa	(22+23)-VII-2(+)	106	23305	-70810	91225	29134	91225	29134	0.374
--------------	------------------	-----	-------	--------	-------	-------	-------	-------	--------------

Sezione non verificata : Sezione non verificata **Verifica a taglio**

Dir	C.	MrSup	MrInf	T	Vrdns	Vrcd	Vrsd	Vrd	Ast/m	cot(θ)	Cs
		kg*m	kg*m	kg	kg	kg	kg	kg	cmq/m		
Y	(22+23)-V-1	--	--	47877	--	155523	54663	54663	14.36	2.500	1.14
Z	(22+23)-VIII-1	--	--	56781	--	172487	170969	170969	14.36	2.500	3.01

Pilastro : 9 [109 , 209]

Sez. R: $B_y=50.0\text{ cm}$ $B_z=150.0\text{ cm}$ $L=780.0\text{ cm}$ $L_n=780.0\text{ cm}$

Criterio : CLS_Pilastri-Esist - Verifica a presso-flessione deviata:rcm=355 [kg/cmq],fym=4967 [kg/cmq], FC=1.20 qd=3, qf=1.5

:Non verificato

Piede	AfSpigolo = 2.54	Afy = 5.09	Afz = 5.09	Sezione non verificata
Testa	AfSpigolo = 2.54	Afy = 5.09	Afz = 5.09	Sezione non verificata

$v_{max}=N/(fcd*A)=0.03 \leq 0.65$ [Comb. (22+23)-VII-3(+)]

Zona	C.	N	My	Mz	Mry+	Mrz+	Mry-	Mrz-	CS
		kg	kg*m	kg*m	kg*m	kg*m	kg*m	kg*m	
Piede	(22+23)-VII-3(+)	-47613	-50746	-51882	124012	39601	124012	39601	0.500

Sezione non verificata : Sezione non verificata

Testa	(22+23)-VII-1(+)	1862	50743	-59706	89977	28744	89977	28744	0.375
--------------	------------------	------	-------	--------	-------	-------	-------	-------	--------------

Sezione non verificata : Sezione non verificata **Verifica a taglio**

Dir	C.	MrSup	MrInf	T	Vrdns	Vrcd	Vrsd	Vrd	Ast/m	cot(θ)	Cs
		kg*m	kg*m	kg	kg	kg	kg	kg	cmq/m		
Y	(22+23)-V-2	--	--	30130	--	153730	31887	31887	8.38	2.500	1.06
Z	(22+23)-IV-1	--	--	38371	--	163361	99732	99732	8.38	2.500	2.60

Pilastro : 10 [10 , 110]

IperSpaceMax 9.0.1 Copyright© 2016 Soft.Lab:

Sez. R: $B_y=50.0\text{ cm}$ $B_z=150.0\text{ cm}$ $L=625.0\text{ cm}$ $L_n=625.0\text{ cm}$

Criteria: CLS_Pilastri-Esist - Verifica a presso-flessione deviata:rcm=355 [kg/cmq],fym=4967 [kg/cmq], FC=1.20 qd=3, qf=1.5

:Non verificato

Piede	AfSpigolo = 2.54	Afy = 5.09	Afz = 5.09	Sezione non verificata
Testa	AfSpigolo = 2.54	Afy = 5.09	Afz = 5.09	Sezione non verificata

$v_{max}=N/(fcd*A)=0.082 \leq 0.65$ [Comb. (22+23)-VIII-1(-)]

Zona	C.	N	My	Mz	Mry+	Mrz+	Mry-	Mrz-	CS
		kg	kg*m	kg*m	kg*m	kg*m	kg*m	kg*m	
Piede	(22+23)-VII-4(-)	-84477	59280	-79711	147733	47439	147733	47439	0.374

Sezione non verificata : Sezione non verificata

Testa	(22+23)-VII-4(+)	-72758	-4485	77865	140337	44976	140337	44976	0.374
--------------	------------------	--------	-------	-------	--------	-------	--------	-------	-------

Sezione non verificata : Sezione non verificata *Verifica a taglio*

Dir	C.	MrSup	MrInf	T	Vrdns	Vrcd	Vrsd	Vrd	Ast/m	cot(θ)	Cs
		kg*m	kg*m	kg	kg	kg	kg	kg	cmq/m		
Y	(22+23)-V-1	--	--	52365	--	168167	54663	54663	14.36	2.500	1.04
Z	(22+23)-VIII-1	--	--	53981	--	178419	170969	170969	14.36	2.500	3.17

Pilastro : 10 [110 , 210]

Sez. R: $B_y=50.0\text{ cm}$ $B_z=150.0\text{ cm}$ $L=811.0\text{ cm}$ $L_n=811.0\text{ cm}$

Criteria: CLS_Pilastri-Esist - Verifica a presso-flessione deviata:rcm=355 [kg/cmq],fym=4967 [kg/cmq], FC=1.20 qd=3, qf=1.5

:Non verificato

Piede	AfSpigolo = 2.54	Afy = 5.09	Afz = 5.09	Sezione non verificata
Testa	AfSpigolo = 2.54	Afy = 5.09	Afz = 5.09	Sezione non verificata

$v_{max}=N/(fcd*A)=0.028 \leq 0.65$ [Comb. (22+23)-VIII-3(+)]

Zona	C.	N	My	Mz	Mry+	Mrz+	Mry-	Mrz-	CS
		kg	kg*m	kg*m	kg*m	kg*m	kg*m	kg*m	
Piede	(22+23)-VII-3(-)	-41529	-75432	-59578	119968	38283	119968	38283	0.500

Sezione non verificata : Sezione non verificata

Testa	(22+23)-VII-1(+)	-18908	44174	-63444	104615	33337	104615	33337	0.375
--------------	------------------	--------	-------	--------	--------	-------	--------	-------	-------

Sezione non verificata : Sezione non verificata *Verifica a taglio*

Dir	C.	MrSup	MrInf	T	Vrdns	Vrcd	Vrsd	Vrd	Ast/m	cot(θ)	Cs
		kg*m	kg*m	kg	kg	kg	kg	kg	cmq/m		
Y	(22+23)-V-2	--	--	31123	--	156722	31887	31887	8.38	2.500	1.02
Z	(22+23)-IV-3	--	--	38404	--	165343	99732	99732	8.38	2.500	2.60

Pilastro : 11 [11 , 111]

Sez. R: $B_y=50.0\text{ cm}$ $B_z=150.0\text{ cm}$ $L=625.0\text{ cm}$ $L_n=625.0\text{ cm}$

Criteria: CLS_Pilastri-Esist - Verifica a presso-flessione deviata:rcm=355 [kg/cmq],fym=4967 [kg/cmq], FC=1.20 qd=3, qf=1.5

:Non verificato

Piede	AfSpigolo = 2.54	Afy = 5.09	Afz = 5.09	Sezione non verificata
Testa	AfSpigolo = 2.54	Afy = 5.09	Afz = 5.09	Sezione non verificata

$v_{max}=N/(fcd*A)=0.079 \leq 0.65$ [Comb. (22+23)-VIII-1(-)]

Zona	C.	N	My	Mz	Mry+	Mrz+	Mry-	Mrz-	CS
		kg	kg*m	kg*m	kg*m	kg*m	kg*m	kg*m	
Piede	(22+23)-V-2(-)	-95601	33019	82938	154628	49748	154628	49748	0.374

Sezione non verificata : Sezione non verificata

Testa	(22+23)-V-3(+)	-87441	36630	79931	149582	48057	149582	48057	0.374
--------------	----------------	--------	-------	-------	--------	-------	--------	-------	-------

Sezione non verificata : Sezione non verificata *Verifica a taglio*

Dir	C.	MrSup	MrInf	T	Vrdns	Vrcd	Vrsd	Vrd	Ast/m	cot(θ)	Cs
		kg*m	kg*m	kg	kg	kg	kg	kg	cmq/m		
Y	(22+23)-V-1	--	--	54524	--	167552	54663	54663	14.36	2.500	1.00
Z	(22+23)-VIII-1	--	--	50953	--	177654	170969	170969	14.36	2.500	3.36

Pilastro : 11 [111 , 211]

Sez. R: $B_y=50.0\text{ cm}$ $B_z=150.0\text{ cm}$ $L=842.0\text{ cm}$ $L_n=842.0\text{ cm}$

IperSpaceMax 9.0.1 Copyright© 2016 Soft.Lab:

Criteria : CLS_Pilastri-Exist - Verifica a presso-flessione deviata:rcm=355 [kg/cmq],fym=4967 [kg/cmq], FC=1.20 qd=3, qf=1.5

:Non verificato

Piede	AfSpigolo = 2.54	Afy = 5.09	Afz = 5.09	Sezione non verificata
Testa	AfSpigolo = 2.54	Afy = 5.09	Afz = 5.09	Sezione non verificata

$v_{max}=N/(fcd*A)=0.027 \leq 0.65$ [Comb. (22+23)-VIII-1(+)]

Zona	C.	N	My	Mz	Mry+	Mrz+	Mry-	Mrz-	CS
		kg	kg*m	kg*m	kg*m	kg*m	kg*m	kg*m	
Piede	(22+23)-VII-1(+)	-39964	-59165	58083	118922	37943	118922	37943	0.500

Sezione non verificata : Sezione non verificata

Testa	(22+23)-VII-1(+)	-24176	48046	-62072	108235	34495	108235	34495	0.500
--------------	------------------	--------	-------	--------	--------	-------	--------	-------	--------------

Sezione non verificata : Sezione non verificata *Verifica a taglio*

Dir	C.	MrSup	MrInf	T	Vrdns	Vrcd	Vrsd	Vrd	Ast/m	cot(θ)	Cs
		kg*m	kg*m	kg	kg	kg	kg	kg	cmq/m		
Y	(22+23)-V-2	--	--	29386	--	157585	29434	29434	7.73	2.500	1.00
Z	(22+23)-IV-3	--	--	36679	--	165048	92060	92060	7.73	2.500	2.51

Pilastro : 12 [12 , 112]

Sez. R: By= 50.0 cm Bz=150.0 cm L=625.0 cm Ln=625.0 cm

Criteria : CLS_Pilastri-Exist - Verifica a presso-flessione deviata:rcm=355 [kg/cmq],fym=4967 [kg/cmq], FC=1.20 qd=3, qf=1.5

:Non verificato

Piede	AfSpigolo = 2.54	Afy = 5.09	Afz = 5.09	Sezione non verificata
Testa	AfSpigolo = 2.54	Afy = 5.09	Afz = 5.09	Sezione non verificata

$v_{max}=N/(fcd*A)=0.077 \leq 0.65$ [Comb. (22+23)-VIII-1(-)]

Zona	C.	N	My	Mz	Mry+	Mrz+	Mry-	Mrz-	CS
		kg	kg*m	kg*m	kg*m	kg*m	kg*m	kg*m	
Piede	(22+23)-VII-1(-)	-105890	-1822	87003	160897	51858	160897	51858	0.375

Sezione non verificata : Sezione non verificata

Testa	(22+23)-V-2(+)	-81304	10259	-82504	145744	46775	145744	46775	0.374
--------------	----------------	--------	-------	--------	--------	-------	--------	-------	--------------

Sezione non verificata : Sezione non verificata *Verifica a taglio*

Dir	C.	MrSup	MrInf	T	Vrdns	Vrcd	Vrsd	Vrd	Ast/m	cot(θ)	Cs
		kg*m	kg*m	kg	kg	kg	kg	kg	cmq/m		
Y	(22+23)-V-1	--	--	55560	--	167434	63774	63774	16.76	2.500	1.15
Z	(22+23)-IV-1	--	--	46806	--	176962	199464	176962	16.76	2.500	3.78

Pilastro : 12 [112 , 212]

Sez. R: By= 50.0 cm Bz=150.0 cm L=873.0 cm Ln=873.0 cm

Criteria : CLS_Pilastri-Exist - Verifica a presso-flessione deviata:rcm=355 [kg/cmq],fym=4967 [kg/cmq], FC=1.20 qd=3, qf=1.5

:Non verificato

Piede	AfSpigolo = 2.54	Afy = 5.09	Afz = 5.09	Sezione non verificata
Testa	AfSpigolo = 2.54	Afy = 5.09	Afz = 5.09	Sezione non verificata

$v_{max}=N/(fcd*A)=0.026 \leq 0.65$ [Comb. (22+23)-VIII-1(+)]

Zona	C.	N	My	Mz	Mry+	Mrz+	Mry-	Mrz-	CS
		kg	kg*m	kg*m	kg*m	kg*m	kg*m	kg*m	
Piede	(22+23)-VII-1(+)	-38211	-60571	55261	117748	37562	117748	37562	0.500

Sezione non verificata : Sezione non verificata

Testa	(22+23)-VII-1(+)	-21842	45308	-58924	106635	33983	106635	33983	0.500
--------------	------------------	--------	-------	--------	--------	-------	--------	-------	--------------

Sezione non verificata : Sezione non verificata *Verifica a taglio*

Dir	C.	MrSup	MrInf	T	Vrdns	Vrcd	Vrsd	Vrd	Ast/m	cot(θ)	Cs
		kg*m	kg*m	kg	kg	kg	kg	kg	cmq/m		
Y	(22+23)-V-2	--	--	26996	--	157326	27332	27332	7.18	2.500	1.01
Z	(22+23)-IV-3	--	--	34230	--	165008	85484	85484	7.18	2.500	2.50

Pilastro : 13 [13 , 113]

Sez. R: By= 50.0 cm Bz=150.0 cm L=625.0 cm Ln=625.0 cm

Criteria : CLS_Pilastri-Exist - Verifica a presso-flessione deviata:rcm=355 [kg/cmq],fym=4967 [kg/cmq], FC=1.20 qd=3, qf=1.5

:Non verificato

Piede	AfSpigolo = 2.54	Afy = 5.09	Afz = 5.09	Sezione non verificata
--------------	------------------	------------	------------	------------------------

IperSpaceMax 9.0.1 Copyright© 2016 Soft.Lab:

Testa	AfSpigolo = 2.54	Afy = 5.09	Afz = 5.09	Sezione non verificata
-------	------------------	------------	------------	------------------------

$$v_{\max} = N / (fcd * A) = 0.077 \leq 0.65 \quad [\text{Comb. (22+23)-VI-1(-)}]$$

Zona	C.	N	My	Mz	Mry+	Mrz+	Mry-	Mrz-	CS
		kg	kg*m	kg*m	kg*m	kg*m	kg*m	kg*m	
Piede	(22+23)-V-1(-)	-106057	-590	87628	160998	51892	160998	51892	0.374

Sezione non verificata : Sezione non verificata

Testa	(22+23)-V-2(+)	-80673	9030	-85760	145347	46643	145347	46643	0.374
-------	----------------	--------	------	--------	--------	-------	--------	-------	-------

Sezione non verificata : Sezione non verificata *Verifica a taglio*

Dir	C.	MrSup	MrInf	T	Vrdns	Vrcd	Vrsd	Vrd	Ast/m	cot(θ)	Cs
		kg*m	kg*m	kg	kg	kg	kg	kg	cmq/m		
Y	(22+23)-V-4	--	--	55626	--	165158	63774	63774	16.76	2.500	1.15
Z	(22+23)-II-3	--	--	42891	--	177027	199464	177027	16.76	2.500	4.13

Pilastro : 13 [113 , 213]

Sez. R: By= 50.0 cm Bz=150.0 cm L=904.0 cm Ln=904.0 cm

Criterio : CLS_Pilastri-Esist - Verifica a presso-flessione deviata:rcm=355 [kg/cmq],fym=4967 [kg/cmq], FC=1.20 qd=3, qf=1.5

:Non verificato

Piede	AfSpigolo = 2.54	Afy = 5.09	Afz = 5.09	Sezione non verificata
Testa	AfSpigolo = 2.54	Afy = 5.09	Afz = 5.09	Sezione non verificata

$$v_{\max} = N / (fcd * A) = 0.027 \leq 0.65 \quad [\text{Comb. (22+23)-VI-1(-)}]$$

Zona	C.	N	My	Mz	Mry+	Mrz+	Mry-	Mrz-	CS
		kg	kg*m	kg*m	kg*m	kg*m	kg*m	kg*m	
Piede	(22+23)-V-1(-)	-38717	-69110	52844	118087	37672	118087	37672	0.500

Sezione non verificata : Sezione non verificata

Testa	(22+23)-V-1(-)	-21767	35944	-51097	106583	33966	106583	33966	0.500
-------	----------------	--------	-------	--------	--------	-------	--------	-------	-------

Sezione non verificata : Sezione non verificata *Verifica a taglio*

Dir	C.	MrSup	MrInf	T	Vrdns	Vrcd	Vrsd	Vrd	Ast/m	cot(θ)	Cs
		kg*m	kg*m	kg	kg	kg	kg	kg	cmq/m		
Y	(22+23)-V-3	--	--	24469	--	157739	25510	25510	6.70	2.500	1.04
Z	(22+23)-II-3	--	--	32351	--	165156	79785	79785	6.70	2.500	2.47

Pilastro : 14 [14 , 114]

Sez. R: By= 50.0 cm Bz=150.0 cm L=625.0 cm Ln=625.0 cm

Criterio : CLS_Pilastri-Esist - Verifica a presso-flessione deviata:rcm=355 [kg/cmq],fym=4967 [kg/cmq], FC=1.20 qd=3, qf=1.5

:Non verificato

Piede	AfSpigolo = 2.54	Afy = 5.09	Afz = 5.09	Sezione non verificata
Testa	AfSpigolo = 2.54	Afy = 5.09	Afz = 5.09	Sezione non verificata

$$v_{\max} = N / (fcd * A) = 0.08 \leq 0.65 \quad [\text{Comb. (22+23)-II-1(-)}]$$

Zona	C.	N	My	Mz	Mry+	Mrz+	Mry-	Mrz-	CS
		kg	kg*m	kg*m	kg*m	kg*m	kg*m	kg*m	
Piede	(22+23)-V-4(-)	-90606	43429	-83257	151547	48715	151547	48715	0.374

Sezione non verificata : Sezione non verificata

Testa	(22+23)-VII-4(-)	-81141	16128	78438	145642	46741	145642	46741	0.374
-------	------------------	--------	-------	-------	--------	-------	--------	-------	-------

Sezione non verificata : Sezione non verificata *Verifica a taglio*

Dir	C.	MrSup	MrInf	T	Vrdns	Vrcd	Vrsd	Vrd	Ast/m	cot(θ)	Cs
		kg*m	kg*m	kg	kg	kg	kg	kg	cmq/m		
Y	(22+23)-V-3	--	--	54701	--	167754	63774	63774	16.76	2.500	1.17
Z	(22+23)-VI-3	--	--	50180	--	177797	199464	177797	16.76	2.500	3.54

Pilastro : 14 [114 , 214]

Sez. R: By= 50.0 cm Bz=150.0 cm L=935.0 cm Ln=935.0 cm

Criterio : CLS_Pilastri-Esist - Verifica a presso-flessione deviata:rcm=355 [kg/cmq],fym=4967 [kg/cmq], FC=1.20 qd=3, qf=1.5

:Non verificato

Piede	AfSpigolo = 2.54	Afy = 5.09	Afz = 5.09	Sezione non verificata
Testa	AfSpigolo = 2.54	Afy = 5.09	Afz = 5.09	Sezione non verificata

$$v_{\max} = N / (fcd * A) = 0.028 \leq 0.65 \quad [\text{Comb. (22+23)-VI-3(+)}]$$

IperSpaceMax 9.0.1 Copyright© 2016 Soft.Lab:

Zona	C.	N	My	Mz	Mry+	Mrz+	Mry-	Mrz-	CS
		kg	kg*m	kg*m	kg*m	kg*m	kg*m	kg*m	
Piede	(22+23)-V-3(+)	-40442	-60414	-48365	119242	38047	119242	38047	0.500

Sezione non verificata : Sezione non verificata

Testa	(22+23)-V-3(+)	-22911	40778	51409	107368	34217	107368	34217	0.500
--------------	----------------	--------	-------	-------	--------	-------	--------	-------	-------

Sezione non verificata : Sezione non verificata *Verifica a taglio*

Dir	C.	MrSup	MrInf	T	Vrdns	Vrcd	Vrsd	Vrd	Ast/m	cot(θ)	Cs
		kg*m	kg*m	kg	kg	kg	kg	kg	cmq/m		
Y	(22+23)-V-3	--	--	21722	--	158114	22508	22508	5.91	2.500	1.04
Z	(22+23)-II-3	--	--	33701	--	165422	70399	70399	5.91	2.500	2.09

Pilastro : 15 [15 , 115]

Sez. R: $B_y=50.0\text{ cm}$ $B_z=150.0\text{ cm}$ $L=625.0\text{ cm}$ $L_n=625.0\text{ cm}$

Criterion : CLS_Pilastri-Esist - Verifica a presso-flessione deviata:rcm=355 [kg/cm²],fym=4967 [kg/cm²], FC=1.20 qd=3, qf=1.5

:Non verificato

Piede	AfSpigolo = 2.54	Afy = 5.09	Afz = 5.09	Sezione non verificata
Testa	AfSpigolo = 2.54	Afy = 5.09	Afz = 5.09	Sezione non verificata

$v_{max}=N/(fcd*A)=0.085 \leq 0.65$ [Comb. (22+23)-VI-3(-)]

Zona	C.	N	My	Mz	Mry+	Mrz+	Mry-	Mrz-	CS
		kg	kg*m	kg*m	kg*m	kg*m	kg*m	kg*m	
Piede	(22+23)-V-3(-)	-115033	-13718	-83717	166380	53712	166380	53712	0.375

Sezione non verificata : Sezione non verificata

Testa	(22+23)-VII-4(+)	-88861	18271	79561	150465	48352	150465	48352	0.374
--------------	------------------	--------	-------	-------	--------	-------	--------	-------	-------

Sezione non verificata : Sezione non verificata *Verifica a taglio*

Dir	C.	MrSup	MrInf	T	Vrdns	Vrcd	Vrsd	Vrd	Ast/m	cot(θ)	Cs
		kg*m	kg*m	kg	kg	kg	kg	kg	cmq/m		
Y	(22+23)-V-3	--	--	52586	--	168994	54663	54663	14.36	2.500	1.04
Z	(22+23)-VI-3	--	--	55665	--	178957	170969	170969	14.36	2.500	3.07

Pilastro : 15 [115 , 215]

Sez. R: $B_y=50.0\text{ cm}$ $B_z=150.0\text{ cm}$ $L=905.0\text{ cm}$ $L_n=905.0\text{ cm}$

Criterion : CLS_Pilastri-Esist - Verifica a presso-flessione deviata:rcm=355 [kg/cm²],fym=4967 [kg/cm²], FC=1.20 qd=3, qf=1.5

:Non verificato

Piede	AfSpigolo = 2.54	Afy = 5.09	Afz = 5.09	Sezione non verificata
Testa	AfSpigolo = 2.54	Afy = 5.09	Afz = 5.09	Sezione non verificata

$v_{max}=N/(fcd*A)=0.03 \leq 0.65$ [Comb. (22+23)-VI-1(-)]

Zona	C.	N	My	Mz	Mry+	Mrz+	Mry-	Mrz-	CS
		kg	kg*m	kg*m	kg*m	kg*m	kg*m	kg*m	
Piede	(22+23)-V-1(-)	-44199	-78760	47961	121748	38862	121748	38862	0.500

Sezione non verificata : Sezione non verificata

Testa	(22+23)-V-1(-)	-27230	36512	-46268	110322	35165	110322	35165	0.500
--------------	----------------	--------	-------	--------	--------	-------	--------	-------	-------

Sezione non verificata : Sezione non verificata *Verifica a taglio*

Dir	C.	MrSup	MrInf	T	Vrdns	Vrcd	Vrsd	Vrd	Ast/m	cot(θ)	Cs
		kg*m	kg*m	kg	kg	kg	kg	kg	cmq/m		
Y	(22+23)-V-3	--	--	22690	--	157481	23915	23915	6.28	2.500	1.05
Z	(22+23)-II-1	--	--	38733	--	165816	74799	74799	6.28	2.500	1.93

Pilastro : 16 [16 , 116]

Sez. R: $B_y=50.0\text{ cm}$ $B_z=150.0\text{ cm}$ $L=625.0\text{ cm}$ $L_n=625.0\text{ cm}$

Criterion : CLS_Pilastri-Esist - Verifica a presso-flessione deviata:rcm=355 [kg/cm²],fym=4967 [kg/cm²], FC=1.20 qd=3, qf=1.5

:Non verificato

Piede	AfSpigolo = 2.54	Afy = 5.09	Afz = 5.09	Sezione non verificata
Testa	AfSpigolo = 2.54	Afy = 5.09	Afz = 5.09	Sezione non verificata

$v_{max}=N/(fcd*A)=0.095 \leq 0.65$ [Comb. (22+23)-V-1(-)]

Zona	C.	N	My	Mz	Mry+	Mrz+	Mry-	Mrz-	CS
		kg	kg*m	kg*m	kg*m	kg*m	kg*m	kg*m	
Piede	(22+23)-V-4(-)	-19889	22025	-76259	105291	33553	105291	33553	0.374

Sezione non verificata : Sezione non verificata

Testa	(22+23)-VII-3(-)	-20998	51866	68418	106054	33797	106054	33797	0.374
-------	------------------	--------	-------	-------	--------	-------	--------	-------	-------

Sezione non verificata : Sezione non verificata *Verifica a taglio*

Dir	C.	MrSup	MrInf	T	Vrdns	Vrcd	Vrsd	Vrd	Ast/m	cot(θ)	Cs
		kg*m	kg*m	kg	kg	kg	kg	kg	cmq/m		
Y	(22+23)-V-3	--	--	48364	--	157805	54663	54663	14.36	2.500	1.13
Z	(22+23)-VI-3	--	--	59719	--	173697	170969	170969	14.36	2.500	2.86

Pilastro : 16 [116 , 216]

Sez. R: By= 50.0 cm Bz=150.0 cm L=875.0 cm Ln=875.0 cm

Criterio : CLS_Pilastri-Esist - Verifica a presso-flessione deviata:rcm=355 [kg/cmq],fym=4967 [kg/cmq], FC=1.20 qd=3, qf=1.5

:Non verificato

Piede	AfSpigolo = 2.54	Afy = 5.09	Afz = 5.09	Sezione non verificata
Testa	AfSpigolo = 2.54	Afy = 5.09	Afz = 5.09	Sezione non verificata

$v_{max} = N/(fcd \cdot A) = 0.029 \leq 0.65$ [Comb. (22+23)-V-1(-)]

Zona	C.	N	My	Mz	Mry+	Mrz+	Mry-	Mrz-	CS
		kg	kg*m	kg*m	kg*m	kg*m	kg*m	kg*m	
Piede	(22+23)-V-3(+)	-17728	-78986	-44859	103800	33078	103800	33078	0.500

Sezione non verificata : Sezione non verificata

Testa	(22+23)-V-1(+)	-29523	35707	-45387	111883	35667	111883	35667	0.500
-------	----------------	--------	-------	--------	--------	-------	--------	-------	-------

Sezione non verificata : Sezione non verificata *Verifica a taglio*

Dir	C.	MrSup	MrInf	T	Vrdns	Vrcd	Vrsd	Vrd	Ast/m	cot(θ)	Cs
		kg*m	kg*m	kg	kg	kg	kg	kg	cmq/m		
Y	(22+23)-V-3	--	--	21695	--	154800	22508	22508	5.91	2.500	1.04
Z	(22+23)-II-1	--	--	40953	--	164753	70399	70399	5.91	2.500	1.72

FASCICOLO DEI CALCOLI

(VERIFICA DELLE TRAVI OLD)

Verifica delle travi Old (Meccanismo Duttile $q=3,0$ Fragile $q=1,5$)

Scenario di calcolo : SetNT_SLU_SLE

Trave : 101 [101 , 109] Pilastrate [1 , 9]

Sez. R: $B_y=50.0\text{ cm}$ $B_z=180.0\text{ cm}$ $L=1750.0\text{ cm}$ $L_n=1600.0\text{ cm}$

Criteria : CLS_TraviAlte_Esist - Verifica a flessione $r_{cm}=395$ [kg/cmq], $f_{ym}=4986$ [kg/cmq], $FC=1.20$ $q_d=3$, $q_f=1.5$:: **Verificato**

X	M-	M+	$\Delta M-$	$\Delta M+$	Afs	Afi	ϵ_c-	ϵ_f-	ϵ_c+	ϵ_f+	C-	C+
cm	kg*m	kg*m	kg*m	kg*m	cmq	cmq						
ILN	238940	65739	--	--	33.08	17.81	-2.69	54.48	-0.18	1.04	(22+23)-IV-2	(22+23)-IV-3
160.0	150538	93263	--	--	22.90	15.27	-0.43	1.88	-0.30	1.72	(22+23)-IV-2	(22+23)-IV-3
CAMP	--	110819	--	--	15.27	15.27	--	--	-1.97	68.03	20	2
1440.0	151494	91733	--	--	22.90	15.27	-0.44	1.89	-0.29	1.69	(22+23)-IV-3	(22+23)-IV-2
FLN	240207	63898	--	--	35.63	17.81	-0.59	1.95	-0.18	1.00	(22+23)-IV-3	(22+23)-IV-2

X	x-	d-	x-/d-	x+	d+	x+/d+	Mr-	Mr+	C-	C+	Stato-	Stato+
cm	cm	cm		cm	cm		kg*m	kg*m				
ILN	8.3	177.0	0.047	26.6	177.0	0.150	239270	129290	(22+23)-IV-2	(22+23)-IV-3	Parz.	Parz.
160.0	33.2	177.0	0.188	26.0	177.0	0.147	165992	110892	(22+23)-IV-2	(22+23)-IV-3	Parz.	Parz.
CAMP	--	--	--	5.0	177.0	0.028	110888	110888	20	2	--	Parz.
1440.0	33.2	177.0	0.188	26.0	177.0	0.147	165992	110892	(22+23)-IV-3	(22+23)-IV-2	Parz.	Parz.
FLN	40.9	177.0	0.231	26.3	177.0	0.149	257359	129290	(22+23)-IV-3	(22+23)-IV-2	Parz.	Parz.

Verifica a taglio: $\cot(\theta)$ Sin=2.500, $\cot(\theta)$ Cen=2.500, $\cot(\theta)$ Des=2.500

Comb Sin=(22+23)-IV-2 Cen=(22+23)-IV-3 Des=(22+23)-IV-3

Sez	Td	VRdns	VRcd	VRsd	VRd	Tpl	Mr	Dx	Staffe
	kg	kg	kg	kg	kg	kg	kg*m	cm	cmq/m
Sin	78312	--	212608	78312	78312	0	129290	180.0	5.44
Cen	62362	--	212608	62362	62362	--	--	--	4.33
Des	78506	--	212608	78506	78506	0	257359	180.0	5.46

Trave : 102 [101 , 102] Pilastrate [1 , 2]

Sez. R: $B_y=50.0\text{ cm}$ $B_z=150.0\text{ cm}$ $L=370.0\text{ cm}$ $L_n=370.0\text{ cm}$

Criteria : CLS_TraviAlte_Esist - Verifica a flessione $r_{cm}=395$ [kg/cmq], $f_{ym}=4986$ [kg/cmq], $FC=1.20$ $q_d=3$, $q_f=1.5$:: **Verificato**

X	M-	M+	$\Delta M-$	$\Delta M+$	Afs	Afi	ϵ_c-	ϵ_f-	ϵ_c+	ϵ_f+	C-	C+
cm	kg*m	kg*m	kg*m	kg*m	cmq	cmq						
ILN	129837	134308	--	--	22.90	22.90	-0.47	1.95	-0.65	4.06	(22+23)-I-3	(22+23)-I-2
37.0	110097	116216	--	--	20.36	20.36	-0.43	1.85	-0.45	1.96	(22+23)-I-3	(22+23)-I-2
CAMP	90750	97731	--	--	15.27	17.81	-0.68	7.15	-0.41	1.88	(22+23)-I-3	(22+23)-I-2
333.0	42740	33710	--	--	12.72	12.72	-0.21	1.14	-0.16	0.90	(22+23)-I-2	(22+23)-I-3
FLN	64368	49902	--	--	12.72	12.72	-0.31	1.72	-0.24	1.33	(22+23)-I-2	(22+23)-I-3

X	x-	d-	x-/d-	x+	d+	x+/d+	Mr-	Mr+	C-	C+	Stato-	Stato+
cm	cm	cm		cm	cm		kg*m	kg*m				
ILN	28.8	147.0	0.196	20.3	147.0	0.138	137512	137512	(22+23)-I-3	(22+23)-I-2	Parz.	Parz.
37.0	27.5	147.0	0.187	27.5	147.0	0.187	122294	122294	(22+23)-I-3	(22+23)-I-2	Parz.	Parz.
CAMP	12.7	147.0	0.086	26.4	147.0	0.179	91859	107068	(22+23)-I-3	(22+23)-I-2	Parz.	Parz.

IperSpaceMax 9.0.1 Copyright© 2016 Soft.Lab:

X	x-	d-	x-/d-	x+	d+	x+/d+	Mr-	Mr+	C-	C+	Stato-	Stato+
333.0	22.4	147.0	0.152	22.3	147.0	0.152	76635	76635	(22+23)-I-2	(22+23)-I-3	Parz.	Parz.
FLN	22.6	147.0	0.153	22.4	147.0	0.153	76635	76635	(22+23)-I-2	(22+23)-I-3	Parz.	Parz.

Verifica a taglio:cot(θ) Sin=2.500,cot(θ) Cen=2.500,cot(θ) Des=2.500

Comb Sin=(22+23)-I-3 Cen=(22+23)-I-2 Des=(22+23)-I-2

Sez	Td	VRdns	VRcd	VRsd	VRd	Tpl	Mr	Dx	Staffe
	kg	kg	kg	kg	kg	kg	kg*m	cm	cmq/m
Sin	105020	--	176573	105020	105020	0	137512	150.0	8.79
Cen	104819	--	176573	104819	104819	--	--	--	8.77
Des	110138	--	176573	110138	110138	0	76635	150.0	9.22

Trave : 102 [102 , 103] Pilastrate [2 , 3]

Sez. R: By= 50.0 cm Bz=150.0 cm L=370.0 cm Ln=370.0 cm

Criterio : CLS_TraviAlte_Esist - Verifica a flessione rcm=395 [kg/cmq],fym=4986 [kg/cmq], FC=1.20 qd=3, qf=1.5 :: **Verificato**

X	M-	M+	ΔM-	ΔM+	Afs	Afi	εc-	εf-	εc+	εf+	C-	C+
cm	kg*m	kg*m	kg*m	kg*m	cmq	cmq						
ILN	94746	84822	--	--	17.81	15.27	-0.40	1.82	-0.37	1.89	(22+23)-I-4	(22+23)-I-1
37.0	77556	70970	--	--	15.27	12.72	-0.35	1.73	-0.34	1.89	(22+23)-I-4	(22+23)-I-1
CAMP	60763	56728	--	--	12.72	12.72	-0.29	1.62	-0.27	1.52	(22+23)-I-4	(22+23)-I-1
333.0	54123	45900	--	--	12.72	12.72	-0.26	1.45	-0.22	1.23	(22+23)-I-2	(22+23)-I-3
FLN	71518	59547	--	--	12.72	12.72	-0.35	1.91	-0.29	1.59	(22+23)-I-2	(22+23)-I-3

X	x-	d-	x-/d-	x+	d+	x+/d+	Mr-	Mr+	C-	C+	Stato-	Stato+
cm	cm	cm		cm	cm		kg*m	kg*m				
ILN	26.4	147.0	0.179	24.1	147.0	0.164	107068	91859	(22+23)-I-4	(22+23)-I-1	Parz.	Parz.
37.0	24.7	147.0	0.168	22.3	147.0	0.151	91852	76635	(22+23)-I-4	(22+23)-I-1	Parz.	Parz.
CAMP	22.5	147.0	0.153	22.5	147.0	0.153	76635	76635	(22+23)-I-4	(22+23)-I-1	Parz.	Parz.
333.0	22.5	147.0	0.153	22.4	147.0	0.152	76635	76635	(22+23)-I-2	(22+23)-I-3	Parz.	Parz.
FLN	22.6	147.0	0.154	22.5	147.0	0.153	76635	76635	(22+23)-I-2	(22+23)-I-3	Parz.	Parz.

Verifica a taglio:cot(θ) Sin=2.500,cot(θ) Cen=2.500,cot(θ) Des=2.500

Comb Sin=(22+23)-I-3 Cen=(22+23)-I-2 Des=(22+23)-I-2

Sez	Td	VRdns	VRcd	VRsd	VRd	Tpl	Mr	Dx	Staffe
	kg	kg	kg	kg	kg	kg	kg*m	cm	cmq/m
Sin	88972	--	176573	88972	88972	0	107068	150.0	7.45
Cen	84206	--	176573	84206	84206	--	--	--	7.05
Des	89525	--	176573	89525	89525	0	76635	150.0	7.49

Trave : 102 [103 , 104] Pilastrate [3 , 4]

Sez. R: By= 50.0 cm Bz=150.0 cm L=370.0 cm Ln=370.0 cm

Criterio : CLS_TraviAlte_Esist - Verifica a flessione rcm=395 [kg/cmq],fym=4986 [kg/cmq], FC=1.20 qd=3, qf=1.5 :: **Verificato**

X	M-	M+	ΔM-	ΔM+	Afs	Afi	εc-	εf-	εc+	εf+	C-	C+
cm	kg*m	kg*m	kg*m	kg*m	cmq	cmq						
ILN	88242	78087	--	--	15.27	15.27	-0.39	1.97	-0.35	1.74	(22+23)-I-4	(22+23)-I-1
37.0	71002	64538	--	--	12.72	12.72	-0.34	1.90	-0.31	1.72	(22+23)-I-4	(22+23)-I-1
CAMP	54162	50601	--	--	12.72	12.72	-0.26	1.45	-0.24	1.35	(22+23)-I-4	(22+23)-I-1
333.0	58153	52874	--	--	12.72	12.72	-0.28	1.55	-0.25	1.41	(22+23)-I-2	(22+23)-I-3
FLN	75247	66573	--	--	12.72	12.72	-0.52	4.62	-0.32	1.78	(22+23)-I-2	(22+23)-I-3

X	x-	d-	x-/d-	x+	d+	x+/d+	Mr-	Mr+	C-	C+	Stato-	Stato+
cm	cm	cm		cm	cm		kg*m	kg*m				
ILN	24.4	147.0	0.166	24.4	147.0	0.166	91857	91857	(22+23)-I-4	(22+23)-I-1	Parz.	Parz.
37.0	22.6	147.0	0.154	22.6	147.0	0.154	76635	76635	(22+23)-I-4	(22+23)-I-1	Parz.	Parz.
CAMP	22.5	147.0	0.153	22.5	147.0	0.153	76635	76635	(22+23)-I-4	(22+23)-I-1	Parz.	Parz.
333.0	22.5	147.0	0.153	22.5	147.0	0.153	76635	76635	(22+23)-I-2	(22+23)-I-3	Parz.	Parz.
FLN	15.0	147.0	0.102	22.6	147.0	0.154	76635	76635	(22+23)-I-2	(22+23)-I-3	Parz.	Parz.

Verifica a taglio:cot(θ) Sin=2.500,cot(θ) Cen=2.500,cot(θ) Des=2.500
 Comb Sin=(22+23)-I-4 Cen=(22+23)-I-4 Des=(22+23)-I-1

Sez	Td	VRdns	VRcd	VRsd	VRd	Tpl	Mr	Dx	Staffe
	kg	kg	kg	kg	kg	kg	kg*m	cm	cmq/m
Sin	88772	--	176573	88772	88772	0	91857	150.0	7.43
Cen	83453	--	176573	83453	83453	--	--	--	6.98
Des	88372	--	176573	88372	88372	0	76635	150.0	7.40

Trave : 102 [104 , 811] Pilastrate [4 , -]

Sez. R: By= 50.0 cm Bz=150.0 cm L=185.0 cm Ln=185.0 cm

Criteria : CLS_TraviAlte_Esist - Verifica a flessione rcm=395 [kg/cm²],fym=4986 [kg/cm²], FC=1.20 qd=3, qf=1.5 :: **Verificato**

X	M-	M+	ΔM-	ΔM+	Afs	Afi	εc-	εf-	εc+	εf+	C-	C+
cm	kg*m	kg*m	kg*m	kg*m	cmq	cmq						
ILN	79740	71198	--	--	15.27	12.72	-0.36	1.78	-0.34	1.90	(22+23)-I-4	(22+23)-I-1
18.5	71302	64652	--	--	12.72	12.72	-0.35	1.91	-0.31	1.73	(22+23)-I-4	(22+23)-I-1
CAMP	62964	58010	--	--	12.72	12.72	-0.30	1.68	-0.28	1.55	(22+23)-I-4	(22+23)-I-1
166.5	7551	8959	--	--	12.72	12.72	-0.04	0.20	-0.04	0.24	(22+23)-I-4	(22+23)-I-1
FLN	618	2147	--	--	12.72	12.72	-0.00	0.02	-0.01	0.06	(22+23)-II-3	(22+23)-II-2

X	x-	d-	x-/d-	x+	d+	x+/d+	Mr-	Mr+	C-	C+	Stato-	Stato+
cm	cm	cm		cm	cm		kg*m	kg*m				
ILN	24.7	147.0	0.168	22.3	147.0	0.151	91852	76635	(22+23)-I-4	(22+23)-I-1	Parz.	Parz.
18.5	22.6	147.0	0.154	22.6	147.0	0.154	76635	76635	(22+23)-I-4	(22+23)-I-1	Parz.	Parz.
CAMP	22.6	147.0	0.153	22.5	147.0	0.153	76635	76635	(22+23)-I-4	(22+23)-I-1	Parz.	Parz.
166.5	22.1	147.0	0.151	22.1	147.0	0.151	76635	76635	(22+23)-I-4	(22+23)-I-1	Parz.	Parz.
FLN	22.1	147.0	0.150	22.1	147.0	0.150	76635	76635	(22+23)-II-3	(22+23)-II-2	Parz.	Parz.

Verifica a taglio:cot(θ) Sin=2.500,cot(θ) Des=2.500
 Comb Sin=(22+23)-I-4 Des=(22+23)-I-4

Sez	Td	VRdns	VRcd	VRsd	VRd	Tpl	Mr	Dx	Staffe
	kg	kg	kg	kg	kg	kg	kg*m	cm	cmq/m
Sin	86447	--	176573	86447	86447	0	91852	92.5	7.23
Des	83255	--	176573	83255	83255	0	76635	92.5	6.97

Trave : 102 [811 , 105] Pilastrate [- , 5]

Sez. R: By= 50.0 cm Bz=150.0 cm L=185.0 cm Ln=185.0 cm

Criteria : CLS_TraviAlte_Esist - Verifica a flessione rcm=395 [kg/cm²],fym=4986 [kg/cm²], FC=1.20 qd=3, qf=1.5 :: **Verificato**

X	M-	M+	ΔM-	ΔM+	Afs	Afi	εc-	εf-	εc+	εf+	C-	C+
cm	kg*m	kg*m	kg*m	kg*m	cmq	cmq						
ILN	980	2510	--	--	12.72	12.72	-0.00	0.03	-0.01	0.07	(22+23)-I-4	(22+23)-I-1
18.5	5635	7090	--	--	12.72	12.72	-0.03	0.15	-0.03	0.19	(22+23)-I-2	(22+23)-I-3
CAMP	61011	56429	--	--	12.72	12.72	-0.30	1.63	-0.27	1.51	(22+23)-I-2	(22+23)-I-3
166.5	69332	63101	--	--	12.72	12.72	-0.34	1.85	-0.31	1.69	(22+23)-I-2	(22+23)-I-3
FLN	77753	69675	--	--	15.27	12.72	-0.35	1.74	-0.33	1.86	(22+23)-I-2	(22+23)-I-3

X	x-	d-	x-/d-	x+	d+	x+/d+	Mr-	Mr+	C-	C+	Stato-	Stato+
cm	cm	cm		cm	cm		kg*m	kg*m				
ILN	22.1	147.0	0.150	22.1	147.0	0.150	76635	76635	(22+23)-I-4	(22+23)-I-1	Parz.	Parz.
18.5	22.1	147.0	0.150	22.1	147.0	0.150	76635	76635	(22+23)-I-2	(22+23)-I-3	Parz.	Parz.
CAMP	22.5	147.0	0.153	22.5	147.0	0.153	76635	76635	(22+23)-I-2	(22+23)-I-3	Parz.	Parz.
166.5	22.6	147.0	0.154	22.6	147.0	0.153	76635	76635	(22+23)-I-2	(22+23)-I-3	Parz.	Parz.
FLN	24.7	147.0	0.168	22.3	147.0	0.151	91852	76635	(22+23)-I-2	(22+23)-I-3	Parz.	Parz.

Verifica a taglio:cot(θ) Sin=2.500,cot(θ) Des=2.500
 Comb Sin=(22+23)-I-1 Des=(22+23)-I-1

Sez	Td	VRdns	VRcd	VRsd	VRd	Tpl	Mr	Dx	Staffe
	kg	kg	kg	kg	kg	kg	kg*m	cm	cmq/m

IperSpaceMax 9.0.1 Copyright© 2016 Soft.Lab:

Sez	Td	VRdns	VRcd	VRsd	VRd	Tpl	Mr	Dx	Staffe
Sin	83706	--	176573	83706	83706	0	76635	92.5	7.00
Des	86366	--	176573	86366	86366	0	91852	92.5	7.23

Trave : 102 [105 , 812] Pilastrate [5 , -]

Sez. R: $B_y=50.0\text{ cm}$ $B_z=150.0\text{ cm}$ $L=185.0\text{ cm}$ $L_n=185.0\text{ cm}$

Criteria : CLS_TraviAlte_Esist - Verifica a flessione $r_{cm}=395$ [kg/cmq], $f_{ym}=4986$ [kg/cmq], $FC=1.20$ $q_d=3$, $q_f=1.5$:: **Verificato**

X	M-	M+	ΔM-	ΔM+	Afs	Afi	εc-	εf-	εc+	εf+	C-	C+
cm	kg*m	kg*m	kg*m	kg*m	cmq	cmq						
ILN	72161	63245	--	--	12.72	12.72	-0.35	1.93	-0.31	1.69	(22+23)-I-4	(22+23)-I-1
18.5	64018	56946	--	--	12.72	12.72	-0.31	1.71	-0.27	1.52	(22+23)-I-4	(22+23)-I-1
CAMP	55975	50550	--	--	12.72	12.72	-0.27	1.49	-0.24	1.35	(22+23)-I-4	(22+23)-I-1
166.5	2712	3311	--	--	12.72	12.72	-0.01	0.07	-0.02	0.09	(22+23)-I-4	(22+23)-I-1
FLN	4629	5302	--	--	12.72	12.72	-0.02	0.12	-0.03	0.14	(22+23)-I-2	(22+23)-I-3

X	x-	d-	x-/d-	x+	d+	x+/d+	Mr-	Mr+	C-	C+	Stato-	Stato+
cm	cm	cm		cm	cm		kg*m	kg*m				
ILN	22.6	147.0	0.154	22.6	147.0	0.153	76635	76635	(22+23)-I-4	(22+23)-I-1	Parz.	Parz.
18.5	22.6	147.0	0.153	22.5	147.0	0.153	76635	76635	(22+23)-I-4	(22+23)-I-1	Parz.	Parz.
CAMP	22.5	147.0	0.153	22.5	147.0	0.153	76635	76635	(22+23)-I-4	(22+23)-I-1	Parz.	Parz.
166.5	22.1	147.0	0.150	22.1	147.0	0.150	76635	76635	(22+23)-I-4	(22+23)-I-1	Parz.	Parz.
FLN	22.1	147.0	0.150	22.1	147.0	0.150	76635	76635	(22+23)-I-2	(22+23)-I-3	Parz.	Parz.

Verifica a taglio: $\cot(\theta)$ Sin=2.500, $\cot(\theta)$ Des=2.500

Comb Sin=(22+23)-I-3 Des=(22+23)-I-3

Sez	Td	VRdns	VRcd	VRsd	VRd	Tpl	Mr	Dx	Staffe
	kg	kg	kg	kg	kg	kg	kg*m	cm	cmq/m
Sin	83405	--	176573	83405	83405	0	76635	92.5	6.98
Des	80214	--	176573	80214	80214	0	76635	92.5	6.71

Trave : 102 [812 , 106] Pilastrate [- , 6]

Sez. R: $B_y=50.0\text{ cm}$ $B_z=150.0\text{ cm}$ $L=185.0\text{ cm}$ $L_n=185.0\text{ cm}$

Criteria : CLS_TraviAlte_Esist - Verifica a flessione $r_{cm}=395$ [kg/cmq], $f_{ym}=4986$ [kg/cmq], $FC=1.20$ $q_d=3$, $q_f=1.5$:: **Verificato**

X	M-	M+	ΔM-	ΔM+	Afs	Afi	εc-	εf-	εc+	εf+	C-	C+
cm	kg*m	kg*m	kg*m	kg*m	cmq	cmq						
ILN	3683	4355	--	--	12.72	12.72	-0.02	0.10	-0.02	0.12	(22+23)-I-2	(22+23)-I-3
18.5	10898	11447	--	--	12.72	12.72	-0.05	0.29	-0.05	0.31	(22+23)-I-2	(22+23)-I-3
CAMP	64576	58751	--	--	12.72	12.72	-0.31	1.73	-0.28	1.57	(22+23)-I-2	(22+23)-I-3
166.5	72654	65131	--	--	12.72	12.72	-0.35	1.94	-0.32	1.74	(22+23)-I-2	(22+23)-I-3
FLN	80831	71413	--	--	15.27	12.72	-0.37	1.81	-0.34	1.90	(22+23)-I-2	(22+23)-I-3

X	x-	d-	x-/d-	x+	d+	x+/d+	Mr-	Mr+	C-	C+	Stato-	Stato+
cm	cm	cm		cm	cm		kg*m	kg*m				
ILN	22.1	147.0	0.150	22.1	147.0	0.150	76635	76635	(22+23)-I-2	(22+23)-I-3	Parz.	Parz.
18.5	22.2	147.0	0.151	22.2	147.0	0.151	76635	76635	(22+23)-I-2	(22+23)-I-3	Parz.	Parz.
CAMP	22.6	147.0	0.154	22.5	147.0	0.153	76635	76635	(22+23)-I-2	(22+23)-I-3	Parz.	Parz.
166.5	22.6	147.0	0.154	22.6	147.0	0.154	76635	76635	(22+23)-I-2	(22+23)-I-3	Parz.	Parz.
FLN	24.7	147.0	0.168	22.3	147.0	0.151	91852	76635	(22+23)-I-2	(22+23)-I-3	Parz.	Parz.

Verifica a taglio: $\cot(\theta)$ Sin=2.500, $\cot(\theta)$ Des=2.500

Comb Sin=(22+23)-I-2 Des=(22+23)-I-2

Sez	Td	VRdns	VRcd	VRsd	VRd	Tpl	Mr	Dx	Staffe
	kg	kg	kg	kg	kg	kg	kg*m	cm	cmq/m
Sin	80942	--	176573	80942	80942	0	76635	92.5	6.77
Des	83601	--	176573	83601	83601	0	91852	92.5	7.00

Trave : 102 [106 , 107] Pilastrate [6 , 7]

IperSpaceMax 9.0.1 Copyright© 2016 Soft.Lab:

Sez. R: By= 50.0 cm Bz=150.0 cm L=370.0 cm Ln=370.0 cm

Criterio : CLS_TraviAlte_Esist - Verifica a flessione rcm=395 [kg/cmq],fym=4986 [kg/cmq], FC=1.20 qd=3, qf=1.5 :: **Verificato**

X	M-	M+	ΔM-	ΔM+	Afs	Afi	εc-	εf-	εc+	εf+	C-	C+
cm	kg*m	kg*m	kg*m	kg*m	cmq	cmq						
ILN	64587	52991	--	--	12.72	12.72	-0.31	1.73	-0.26	1.42	(22+23)-I-4	(22+23)-I-1
37.0	48720	40842	--	--	12.72	12.72	-0.23	1.30	-0.20	1.09	(22+23)-I-4	(22+23)-I-1
CAMP	55578	51687	--	--	12.72	12.72	-0.27	1.48	-0.25	1.38	(22+23)-I-2	(22+23)-I-3
333.0	70887	64417	--	--	12.72	12.72	-0.34	1.89	-0.31	1.72	(22+23)-I-2	(22+23)-I-3
FLN	86594	76757	--	--	15.27	15.27	-0.39	1.93	-0.34	1.71	(22+23)-I-2	(22+23)-I-3

X	x-	d-	x-/d-	x+	d+	x+/d+	Mr-	Mr+	C-	C+	Stato-	Stato+
cm	cm	cm		cm	cm		kg*m	kg*m				
ILN	22.6	147.0	0.154	22.5	147.0	0.153	76635	76635	(22+23)-I-4	(22+23)-I-1	Parz.	Parz.
37.0	22.4	147.0	0.153	22.4	147.0	0.152	76635	76635	(22+23)-I-4	(22+23)-I-1	Parz.	Parz.
CAMP	22.5	147.0	0.153	22.5	147.0	0.153	76635	76635	(22+23)-I-2	(22+23)-I-3	Parz.	Parz.
333.0	22.6	147.0	0.154	22.6	147.0	0.153	76635	76635	(22+23)-I-2	(22+23)-I-3	Parz.	Parz.
FLN	24.4	147.0	0.166	24.4	147.0	0.166	91857	91857	(22+23)-I-2	(22+23)-I-3	Parz.	Parz.

Verifica a taglio:cot(θ) Sin=2.500,cot(θ) Cen=2.500,cot(θ) Des=2.500

Comb Sin=(22+23)-I-4 Cen=(22+23)-I-4 Des=(22+23)-I-1

Sez	Td	VRdns	VRcd	VRsd	VRd	Tpl	Mr	Dx	Staffe
	kg	kg	kg	kg	kg	kg	kg*m	cm	cmq/m
Sin	81412	--	176573	81412	81412	0	76635	150.0	6.81
Cen	76093	--	176573	76093	76093	--	--	--	6.37
Des	80936	--	176573	80936	80936	0	91857	150.0	6.77

Trave : 102 [107 , 108] Pilastrate [7 , 8]

Sez. R: By= 50.0 cm Bz=150.0 cm L=370.0 cm Ln=370.0 cm

Criterio : CLS_TraviAlte_Esist - Verifica a flessione rcm=395 [kg/cmq],fym=4986 [kg/cmq], FC=1.20 qd=3, qf=1.5 :: **Verificato**

X	M-	M+	ΔM-	ΔM+	Afs	Afi	εc-	εf-	εc+	εf+	C-	C+
cm	kg*m	kg*m	kg*m	kg*m	cmq	cmq						
ILN	58343	43949	--	--	12.72	12.72	-0.28	1.56	-0.21	1.17	(22+23)-III-4	(22+23)-III-1
37.0	38671	29708	--	--	12.72	12.72	-0.19	1.03	-0.14	0.79	(22+23)-III-4	(22+23)-III-1
CAMP	81507	88517	--	--	15.27	15.27	-0.36	1.82	-0.39	1.98	(22+23)-I-1	(22+23)-I-4
333.0	98937	105080	--	--	17.81	17.81	-0.41	1.90	-0.63	4.90	(22+23)-I-1	(22+23)-I-4
FLN	116762	121251	--	--	20.36	20.36	-0.45	1.97	-0.96	11.35	(22+23)-I-1	(22+23)-I-4

X	x-	d-	x-/d-	x+	d+	x+/d+	Mr-	Mr+	C-	C+	Stato-	Stato+
cm	cm	cm		cm	cm		kg*m	kg*m				
ILN	22.5	147.0	0.153	22.4	147.0	0.152	76635	76635	(22+23)-III-4	(22+23)-III-1	Parz.	Parz.
37.0	22.4	147.0	0.152	22.3	147.0	0.152	76635	76635	(22+23)-III-4	(22+23)-III-1	Parz.	Parz.
CAMP	24.4	147.0	0.166	24.4	147.0	0.166	91857	91857	(22+23)-I-1	(22+23)-I-4	Parz.	Parz.
333.0	26.0	147.0	0.177	16.7	147.0	0.114	107076	107076	(22+23)-I-1	(22+23)-I-4	Parz.	Parz.
FLN	27.5	147.0	0.187	11.5	147.0	0.078	122294	122294	(22+23)-I-1	(22+23)-I-4	Parz.	Parz.

Verifica a taglio:cot(θ) Sin=2.500,cot(θ) Cen=2.500,cot(θ) Des=2.500

Comb Sin=(22+23)-I-4 Cen=(22+23)-I-4 Des=(22+23)-I-1

Sez	Td	VRdns	VRcd	VRsd	VRd	Tpl	Mr	Dx	Staffe
	kg	kg	kg	kg	kg	kg	kg*m	cm	cmq/m
Sin	99778	--	176573	99778	99778	0	76635	150.0	8.35
Cen	94459	--	176573	94459	94459	--	--	--	7.90
Des	94674	--	176573	94674	94674	0	122294	150.0	7.92

Trave : 103 [102 , 110] Pilastrate [2 , 10]

Sez. R: By= 50.0 cm Bz=180.0 cm L=1750.0 cm Ln=1600.0 cm

Criterio : CLS_TraviAlte_Esist - Verifica a flessione rcm=395 [kg/cmq],fym=4986 [kg/cmq], FC=1.20 qd=3, qf=1.5 :: **Verificato**

X	M-	M+	ΔM-	ΔM+	Afs	Afi	εc-	εf-	εc+	εf+	C-	C+
cm	kg*m	kg*m	kg*m	kg*m	cmq	cmq						

IperSpaceMax 9.0.1 Copyright© 2016 Soft.Lab:

X	M-	M+	ΔM-	ΔM+	Afs	Afi	εc-	εf-	εc+	εf+	C-	C+
ILN	232500	65634	--	--	33.08	17.81	-0.84	4.84	-0.18	1.03	(22+23)-IV-2	(22+23)-IV-3
160.0	147110	91461	--	--	20.36	15.27	-1.42	27.45	-0.29	1.68	(22+23)-IV-2	(22+23)-IV-3
CAMP	--	111815	--	--	15.27	17.81	--	--	-0.35	1.78	20	2
1440.0	147979	89960	--	--	22.90	15.27	-0.43	1.84	-0.28	1.65	(22+23)-IV-3	(22+23)-IV-2
FLN	233665	63837	--	--	33.08	17.81	-0.93	6.15	-0.18	1.01	(22+23)-IV-3	(22+23)-IV-2

X	x-	d-	x-/d-	x+	d+	x+/d+	Mr-	Mr+	C-	C+	Stato-	Stato+
cm	cm	cm		cm	cm		kg*m	kg*m				
ILN	26.2	177.0	0.148	26.6	177.0	0.150	239270	129290	(22+23)-IV-2	(22+23)-IV-3	Parz.	Parz.
160.0	8.7	177.0	0.049	26.3	177.0	0.149	147641	110892	(22+23)-IV-2	(22+23)-IV-3	Parz.	Parz.
CAMP	--	--	--	29.3	177.0	0.165	110891	129272	20	2	--	Parz.
1440.0	33.2	177.0	0.188	26.0	177.0	0.147	165992	110892	(22+23)-IV-3	(22+23)-IV-2	Parz.	Parz.
FLN	23.3	177.0	0.132	26.6	177.0	0.150	239270	129290	(22+23)-IV-3	(22+23)-IV-2	Parz.	Parz.

Verifica a taglio: cot(θ) Sin=2.500, cot(θ) Cen=2.500, cot(θ) Des=2.500

Comb Sin=(22+23)-IV-2 Cen=(22+23)-IV-3 Des=(22+23)-IV-3

Sez	Td	VRdns	VRcd	VRsd	VRd	Tpl	Mr	Dx	Staffe
	kg	kg	kg	kg	kg	kg	kg*m	cm	cmq/m
Sin	75854	--	212608	75854	75854	0	129290	180.0	5.27
Cen	60551	--	212608	60551	60551	--	--	--	4.21
Des	76039	--	212608	76039	76039	0	239270	180.0	5.28

Trave : 104 [103 , 111] Pilastrate [3 , 11]

Sez. R: By= 50.0 cm Bz=180.0 cm L=1750.0 cm Ln=1600.0 cm

Criterio : CLS_TraviAlte_Esist - Verifica a flessione rcm=395 [kg/cmq], fym=4986 [kg/cmq], FC=1.20 qd=3, qf=1.5 :: **Verificato**

X	M-	M+	ΔM-	ΔM+	Afs	Afi	εc-	εf-	εc+	εf+	C-	C+
cm	kg*m	kg*m	kg*m	kg*m	cmq	cmq						
ILN	225201	58269	--	--	33.08	17.81	-0.56	1.96	-0.16	0.92	(22+23)-IV-2	(22+23)-IV-3
160.0	141194	85608	--	--	20.36	15.27	-0.43	1.97	-0.28	1.58	(22+23)-IV-2	(22+23)-IV-3
CAMP	--	112283	--	--	15.27	17.81	--	--	-0.35	1.79	20	2
1440.0	141740	84814	--	--	20.36	15.27	-0.43	2.03	-0.27	1.56	(22+23)-IV-3	(22+23)-IV-2
FLN	225915	57308	--	--	33.08	17.81	-0.57	1.97	-0.16	0.90	(22+23)-IV-3	(22+23)-IV-2

X	x-	d-	x-/d-	x+	d+	x+/d+	Mr-	Mr+	C-	C+	Stato-	Stato+
cm	cm	cm		cm	cm		kg*m	kg*m				
ILN	39.5	177.0	0.223	26.6	177.0	0.150	239270	129290	(22+23)-IV-2	(22+23)-IV-3	Parz.	Parz.
160.0	31.4	177.0	0.177	26.3	177.0	0.149	147641	110892	(22+23)-IV-2	(22+23)-IV-3	Parz.	Parz.
CAMP	--	--	--	29.3	177.0	0.165	110891	129272	20	2	--	Parz.
1440.0	31.0	177.0	0.175	26.3	177.0	0.149	147641	110892	(22+23)-IV-3	(22+23)-IV-2	Parz.	Parz.
FLN	39.5	177.0	0.223	26.6	177.0	0.150	239270	129290	(22+23)-IV-3	(22+23)-IV-2	Parz.	Parz.

Verifica a taglio: cot(θ) Sin=2.500, cot(θ) Cen=2.500, cot(θ) Des=2.500

Comb Sin=(22+23)-IV-2 Cen=(22+23)-IV-3 Des=(22+23)-IV-3

Sez	Td	VRdns	VRcd	VRsd	VRd	Tpl	Mr	Dx	Staffe
	kg	kg	kg	kg	kg	kg	kg*m	cm	cmq/m
Sin	74086	--	212608	74086	74086	0	129290	180.0	5.15
Cen	58703	--	212608	58703	58703	--	--	--	4.08
Des	74191	--	212608	74191	74191	0	239270	180.0	5.16

Trave : 105 [104 , 112] Pilastrate [4 , 12]

Sez. R: By= 50.0 cm Bz=180.0 cm L=1750.0 cm Ln=1600.0 cm

Criterio : CLS_TraviAlte_Esist - Verifica a flessione rcm=395 [kg/cmq], fym=4986 [kg/cmq], FC=1.20 qd=3, qf=1.5 :: **Verificato**

X	M-	M+	ΔM-	ΔM+	Afs	Afi	εc-	εf-	εc+	εf+	C-	C+
cm	kg*m	kg*m	kg*m	kg*m	cmq	cmq						
ILN	214315	48014	--	--	30.54	15.27	-0.78	4.44	-0.14	0.88	(22+23)-IV-2	(22+23)-IV-3
160.0	132411	77469	--	--	20.36	15.27	-0.40	1.85	-0.25	1.43	(22+23)-IV-2	(22+23)-IV-3
CAMP	--	112831	--	--	15.27	17.81	--	--	-0.36	1.79	20	2

IperSpaceMax 9.0.1 Copyright© 2016 Soft.Lab:

X	M-	M+	ΔM-	ΔM+	Afs	Afi	εc-	εf-	εc+	εf+	C-	C+
1440.0	132941	76763	--	--	20.36	15.27	-0.40	1.86	-0.25	1.41	(22+23)-IV-3	(22+23)-IV-2
FLN	214999	47153	--	--	30.54	15.27	-0.84	5.14	-0.14	0.86	(22+23)-IV-3	(22+23)-IV-2

X	x-	d-	x-/d-	x+	d+	x+/d+	Mr-	Mr+	C-	C+	Stato-	Stato+
cm	cm	cm		cm	cm		kg*m	kg*m				
ILN	26.5	177.0	0.150	24.8	177.0	0.140	220874	110892	(22+23)-IV-2	(22+23)-IV-3	Parz.	Parz.
160.0	31.3	177.0	0.177	26.3	177.0	0.148	147641	110892	(22+23)-IV-2	(22+23)-IV-3	Parz.	Parz.
CAMP	--	--	--	29.3	177.0	0.165	110891	129272	20	2	--	Parz.
1440.0	31.3	177.0	0.177	26.3	177.0	0.148	147641	110892	(22+23)-IV-3	(22+23)-IV-2	Parz.	Parz.
FLN	24.7	177.0	0.140	24.8	177.0	0.140	220874	110892	(22+23)-IV-3	(22+23)-IV-2	Parz.	Parz.

Verifica a taglio: cot(θ) Sin=2.500, cot(θ) Cen=2.500, cot(θ) Des=2.500

Comb Sin=(22+23)-IV-2 Cen=(22+23)-IV-3 Des=(22+23)-IV-3

Sez	Td	VRdns	VRcd	VRsd	VRd	Tpl	Mr	Dx	Staffe
	kg	kg	kg	kg	kg	kg	kg*m	cm	cmq/m
Sin	71452	--	212608	71452	71452	0	110892	180.0	4.97
Cen	56060	--	212608	56060	56060	--	--	--	3.90
Des	71548	--	212608	71548	71548	0	220874	180.0	4.97

Trave : 106 [105 , 113] Pilastrate [5 , 13]

Sez. R: By= 50.0 cm Bz=180.0 cm L=1750.0 cm Ln=1600.0 cm

Criterio : CLS_TraviAlte_Esist - Verifica a flessione rcm=395 [kg/cmq], fym=4986 [kg/cmq], FC=1.20 qd=3, qf=1.5 :: **Verificato**

X	M-	M+	ΔM-	ΔM+	Afs	Afi	εc-	εf-	εc+	εf+	C-	C+
cm	kg*m	kg*m	kg*m	kg*m	cmq	cmq						
ILN	206531	41249	--	--	30.54	15.27	-0.54	1.95	-0.12	0.76	(22+23)-II-2	(22+23)-II-3
160.0	126113	72141	--	--	17.81	15.27	-0.51	3.65	-0.24	1.33	(22+23)-II-2	(22+23)-II-3
CAMP	--	113433	--	--	15.27	17.81	--	--	-0.36	1.80	20	2
1440.0	126782	71173	--	--	17.81	15.27	-0.59	4.96	-0.23	1.31	(22+23)-II-3	(22+23)-II-2
FLN	207404	40077	--	--	30.54	15.27	-0.54	1.96	-0.12	0.73	(22+23)-II-3	(22+23)-II-2

X	x-	d-	x-/d-	x+	d+	x+/d+	Mr-	Mr+	C-	C+	Stato-	Stato+
cm	cm	cm		cm	cm		kg*m	kg*m				
ILN	38.3	177.0	0.217	24.8	177.0	0.140	220874	110892	(22+23)-II-2	(22+23)-II-3	Parz.	Parz.
160.0	21.9	177.0	0.124	26.6	177.0	0.150	129272	110891	(22+23)-II-2	(22+23)-II-3	Parz.	Parz.
CAMP	--	--	--	29.3	177.0	0.165	110891	129272	20	2	--	Parz.
1440.0	18.8	177.0	0.106	26.6	177.0	0.150	129272	110891	(22+23)-II-3	(22+23)-II-2	Parz.	Parz.
FLN	38.3	177.0	0.217	24.8	177.0	0.140	220874	110892	(22+23)-II-3	(22+23)-II-2	Parz.	Parz.

Verifica a taglio: cot(θ) Sin=2.500, cot(θ) Cen=2.500, cot(θ) Des=2.500

Comb Sin=(22+23)-II-2 Cen=(22+23)-II-3 Des=(22+23)-II-3

Sez	Td	VRdns	VRcd	VRsd	VRd	Tpl	Mr	Dx	Staffe
	kg	kg	kg	kg	kg	kg	kg*m	cm	cmq/m
Sin	69610	--	212608	69610	69610	0	110892	180.0	4.84
Cen	54250	--	212608	54250	54250	--	--	--	3.77
Des	69738	--	212608	69738	69738	0	220874	180.0	4.85

Trave : 107 [106 , 114] Pilastrate [6 , 14]

Sez. R: By= 50.0 cm Bz=180.0 cm L=1750.0 cm Ln=1600.0 cm

Criterio : CLS_TraviAlte_Esist - Verifica a flessione rcm=395 [kg/cmq], fym=4986 [kg/cmq], FC=1.20 qd=3, qf=1.5 :: **Verificato**

X	M-	M+	ΔM-	ΔM+	Afs	Afi	εc-	εf-	εc+	εf+	C-	C+
cm	kg*m	kg*m	kg*m	kg*m	cmq	cmq						
ILN	226617	61508	--	--	33.08	17.81	-0.57	1.98	-0.17	0.97	(22+23)-II-2	(22+23)-II-3
160.0	142116	88480	--	--	20.36	15.27	-0.45	2.24	-0.28	1.63	(22+23)-II-2	(22+23)-II-3
CAMP	--	114230	--	--	15.27	17.81	--	--	-0.36	1.82	20	2
1440.0	141799	87839	--	--	20.36	15.27	-0.43	2.06	-0.28	1.62	(22+23)-II-3	(22+23)-II-2
FLN	226341	60826	--	--	33.08	17.81	-0.57	1.97	-0.17	0.96	(22+23)-II-3	(22+23)-II-2

X	x-	d-	x-/d-	x+	d+	x+/d+	Mr-	Mr+	C-	C+	Stato-	Stato+
cm	cm	cm		cm	cm		kg*m	kg*m				
ILN	39.5	177.0	0.223	26.6	177.0	0.150	239270	129290	(22+23)-II-2	(22+23)-II-3	Parz.	Parz.
160.0	29.6	177.0	0.167	26.3	177.0	0.149	147641	110892	(22+23)-II-2	(22+23)-II-3	Parz.	Parz.
CAMP	--	--	--	29.3	177.0	0.165	110891	129272	20	2	--	Parz.
1440.0	30.8	177.0	0.174	26.3	177.0	0.149	147641	110892	(22+23)-II-3	(22+23)-II-2	Parz.	Parz.
FLN	39.5	177.0	0.223	26.6	177.0	0.150	239270	129290	(22+23)-II-3	(22+23)-II-2	Parz.	Parz.

Verifica a taglio:cot(θ) Sin=2.500,cot(θ) Cen=2.500,cot(θ) Des=2.500

Comb Sin=(22+23)-II-2 Cen=(22+23)-II-3 Des=(22+23)-II-3

Sez	Td	VRdns	VRcd	VRsd	VRd	Tpl	Mr	Dx	Staffe
	kg	kg	kg	kg	kg	kg	kg*m	cm	cmq/m
Sin	74663	--	212608	74663	74663	0	129290	180.0	5.19
Cen	59200	--	212608	59200	59200	--	--	--	4.11
Des	74688	--	212608	74688	74688	0	239270	180.0	5.19

Trave : 108 [107 , 115] Pilastrate [7 , 15]

Sez. R: By= 50.0 cm Bz=180.0 cm L=1750.0 cm Ln=1600.0 cm

Criterio : CLS_TraviAlte_Esist - Verifica a flessione rcm=395 [kg/cmq],fym=4986 [kg/cmq], FC=1.20 qd=3, qf=1.5 :: **Verificato**

X	M-	M+	ΔM-	ΔM+	Afs	Afi	εc-	εf-	εc+	εf+	C-	C+
cm	kg*m	kg*m	kg*m	kg*m	cmq	cmq						
ILN	242228	77192	--	--	35.63	17.81	-0.59	1.97	-0.21	1.21	(22+23)-II-4	(22+23)-II-1
160.0	154664	100935	--	--	22.90	15.27	-0.45	1.93	-0.32	1.86	(22+23)-II-4	(22+23)-II-1
CAMP	--	113591	--	--	15.27	17.81	--	--	-0.36	1.81	20	2
1440.0	155176	99794	--	--	22.90	15.27	-0.45	1.93	-0.32	1.84	(22+23)-II-1	(22+23)-II-4
FLN	242945	75843	--	--	35.63	17.81	-0.59	1.97	-0.21	1.19	(22+23)-II-1	(22+23)-II-4

X	x-	d-	x-/d-	x+	d+	x+/d+	Mr-	Mr+	C-	C+	Stato-	Stato+
cm	cm	cm		cm	cm		kg*m	kg*m				
ILN	40.9	177.0	0.231	26.4	177.0	0.149	257359	129290	(22+23)-II-4	(22+23)-II-1	Parz.	Parz.
160.0	33.3	177.0	0.188	26.1	177.0	0.147	165992	110892	(22+23)-II-4	(22+23)-II-1	Parz.	Parz.
CAMP	--	--	--	29.3	177.0	0.165	110891	129272	20	2	--	Parz.
1440.0	33.3	177.0	0.188	26.0	177.0	0.147	165992	110892	(22+23)-II-1	(22+23)-II-4	Parz.	Parz.
FLN	40.9	177.0	0.231	26.3	177.0	0.149	257359	129290	(22+23)-II-1	(22+23)-II-4	Parz.	Parz.

Verifica a taglio:cot(θ) Sin=2.500,cot(θ) Cen=2.500,cot(θ) Des=2.500

Comb Sin=(22+23)-II-4 Cen=(22+23)-II-1 Des=(22+23)-II-1

Sez	Td	VRdns	VRcd	VRsd	VRd	Tpl	Mr	Dx	Staffe
	kg	kg	kg	kg	kg	kg	kg*m	cm	cmq/m
Sin	78543	--	212608	78543	78543	0	129290	180.0	5.46
Cen	63184	--	212608	63184	63184	--	--	--	4.39
Des	78672	--	212608	78672	78672	0	257359	180.0	5.47

Trave : 109 [108 , 116] Pilastrate [8 , 16]

Sez. R: By= 50.0 cm Bz=180.0 cm L=1750.0 cm Ln=1600.0 cm

Criterio : CLS_TraviAlte_Esist - Verifica a flessione rcm=395 [kg/cmq],fym=4986 [kg/cmq], FC=1.20 qd=3, qf=1.5 :: **Verificato**

X	M-	M+	ΔM-	ΔM+	Afs	Afi	εc-	εf-	εc+	εf+	C-	C+
cm	kg*m	kg*m	kg*m	kg*m	cmq	cmq						
ILN	252821	80928	--	--	35.63	17.81	-1.15	8.76	-0.22	1.27	(22+23)-II-4	(22+23)-II-1
160.0	161390	105599	--	--	22.90	15.27	-0.61	3.83	-0.34	1.94	(22+23)-II-4	(22+23)-II-1
CAMP	--	117355	--	--	15.27	17.81	--	--	-0.37	1.87	20	(22+23)-II-1
1440.0	161985	105109	--	--	22.90	15.27	-0.66	4.60	-0.33	1.93	(22+23)-II-1	(22+23)-II-4
FLN	253551	80303	--	--	35.63	17.81	-1.25	10.53	-0.22	1.26	(22+23)-II-1	(22+23)-II-4

X	x-	d-	x-/d-	x+	d+	x+/d+	Mr-	Mr+	C-	C+	Stato-	Stato+
cm	cm	cm		cm	cm		kg*m	kg*m				
ILN	20.6	177.0	0.116	26.4	177.0	0.149	257359	129290	(22+23)-II-4	(22+23)-II-1	Parz.	Parz.

IperSpaceMax 9.0.1 Copyright© 2016 Soft.Lab:

X	x-	d-	x-/d-	x+	d+	x+/d+	Mr-	Mr+	C-	C+	Stato-	Stato+
160.0	24.4	177.0	0.138	26.1	177.0	0.147	165992	110892	(22+23)-II-4	(22+23)-II-1	Parz.	Parz.
CAMP	--	--	--	29.3	177.0	0.166	110891	129272	20	(22+23)-II-1	--	Parz.
1440.0	22.3	177.0	0.126	26.1	177.0	0.147	165992	110892	(22+23)-II-1	(22+23)-II-4	Parz.	Parz.
FLN	18.8	177.0	0.106	26.4	177.0	0.149	257359	129290	(22+23)-II-1	(22+23)-II-4	Parz.	Parz.

Verifica a taglio:cot(θ) Sin=2.500,cot(θ) Cen=2.500,cot(θ) Des=2.500

Comb Sin=(22+23)-II-4 Cen=(22+23)-II-1 Des=(22+23)-II-1

Sez	Td	VRdns	VRcd	VRsd	VRd	Tpl	Mr	Dx	Staffe
	kg	kg	kg	kg	kg	kg	kg*m	cm	cmq/m
Sin	82043	--	212608	82043	82043	0	129290	180.0	5.70
Cen	65983	--	212608	65983	65983	--	--	--	4.59
Des	82127	--	212608	82127	82127	0	257359	180.0	5.71

Trave : 110 [109 , 110] Pilastrate [9 , 10]

Sez. R: By= 50.0 cm Bz=150.0 cm L=370.0 cm Ln=370.0 cm

Criterio : CLS_TraviAlte_Esist - Verifica a flessione rcm=395 [kg/cmq],fym=4986 [kg/cmq], FC=1.20 qd=3, qf=1.5 :: **Verificato**

X	M-	M+	ΔM-	ΔM+	Afs	Afi	εc-	εf-	εc+	εf+	C-	C+
cm	kg*m	kg*m	kg*m	kg*m	cmq	cmq						
ILN	124358	129049	--	--	22.90	22.90	-0.45	1.86	-0.47	1.93	(22+23)-V-3	(22+23)-V-2
37.0	105431	111744	--	--	17.81	20.36	-0.66	5.68	-0.44	1.88	(22+23)-V-3	(22+23)-V-2
CAMP	86899	94045	--	--	15.27	17.81	-0.38	1.94	-0.39	1.81	(22+23)-V-3	(22+23)-V-2
333.0	40915	31859	--	--	12.72	12.72	-0.20	1.09	-0.15	0.85	(22+23)-V-1	(22+23)-V-4
FLN	61758	47237	--	--	12.72	12.72	-0.30	1.65	-0.23	1.26	(22+23)-V-1	(22+23)-V-4

X	x-	d-	x-/d-	x+	d+	x+/d+	Mr-	Mr+	C-	C+	Stato-	Stato+
cm	cm	cm		cm	cm		kg*m	kg*m				
ILN	28.8	147.0	0.196	28.8	147.0	0.196	137512	137512	(22+23)-V-3	(22+23)-V-2	Parz.	Parz.
37.0	15.2	147.0	0.103	27.8	147.0	0.189	107081	122283	(22+23)-V-3	(22+23)-V-2	Parz.	Parz.
CAMP	24.1	147.0	0.164	26.3	147.0	0.179	91859	107068	(22+23)-V-3	(22+23)-V-2	Parz.	Parz.
333.0	22.4	147.0	0.152	22.3	147.0	0.152	76635	76635	(22+23)-V-1	(22+23)-V-4	Parz.	Parz.
FLN	22.5	147.0	0.153	22.4	147.0	0.153	76635	76635	(22+23)-V-1	(22+23)-V-4	Parz.	Parz.

Verifica a taglio:cot(θ) Sin=2.500,cot(θ) Cen=2.500,cot(θ) Des=2.500

Comb Sin=(22+23)-V-4 Cen=(22+23)-V-1 Des=(22+23)-V-1

Sez	Td	VRdns	VRcd	VRsd	VRd	Tpl	Mr	Dx	Staffe
	kg	kg	kg	kg	kg	kg	kg*m	cm	cmq/m
Sin	100656	--	176573	100656	100656	0	137512	150.0	8.42
Cen	100529	--	176573	100529	100529	--	--	--	8.41
Des	105848	--	176573	105848	105848	0	76635	150.0	8.86

Trave : 110 [110 , 111] Pilastrate [10 , 11]

Sez. R: By= 50.0 cm Bz=150.0 cm L=370.0 cm Ln=370.0 cm

Criterio : CLS_TraviAlte_Esist - Verifica a flessione rcm=395 [kg/cmq],fym=4986 [kg/cmq], FC=1.20 qd=3, qf=1.5 :: **Verificato**

X	M-	M+	ΔM-	ΔM+	Afs	Afi	εc-	εf-	εc+	εf+	C-	C+
cm	kg*m	kg*m	kg*m	kg*m	cmq	cmq						
ILN	91133	81376	--	--	15.27	15.27	-0.88	11.90	-0.36	1.82	(22+23)-V-3	(22+23)-V-2
37.0	74608	68144	--	--	12.72	12.72	-0.42	2.81	-0.33	1.82	(22+23)-V-3	(22+23)-V-2
CAMP	58479	54521	--	--	12.72	12.72	-0.28	1.56	-0.26	1.46	(22+23)-V-3	(22+23)-V-2
333.0	51972	43516	--	--	12.72	12.72	-0.25	1.39	-0.21	1.16	(22+23)-V-1	(22+23)-V-4
FLN	68745	56498	--	--	12.72	12.72	-0.33	1.84	-0.27	1.51	(22+23)-V-1	(22+23)-V-4

X	x-	d-	x-/d-	x+	d+	x+/d+	Mr-	Mr+	C-	C+	Stato-	Stato+
cm	cm	cm		cm	cm		kg*m	kg*m				
ILN	10.1	147.0	0.069	24.4	147.0	0.166	91857	91857	(22+23)-V-3	(22+23)-V-2	Parz.	Parz.
37.0	19.1	147.0	0.130	22.6	147.0	0.154	76635	76635	(22+23)-V-3	(22+23)-V-2	Parz.	Parz.
CAMP	22.5	147.0	0.153	22.5	147.0	0.153	76635	76635	(22+23)-V-3	(22+23)-V-2	Parz.	Parz.
333.0	22.5	147.0	0.153	22.4	147.0	0.152	76635	76635	(22+23)-V-1	(22+23)-V-4	Parz.	Parz.

IperSpaceMax 9.0.1 Copyright© 2016 Soft.Lab:

X	x-	d-	x-/d-	x+	d+	x+/d+	Mr-	Mr+	C-	C+	Stato-	Stato+
FLN	22.6	147.0	0.154	22.5	147.0	0.153	76635	76635	(22+23)-V-1	(22+23)-V-4	Parz.	Parz.

Verifica a taglio: cot(θ) Sin=2.500, cot(θ) Cen=2.500, cot(θ) Des=2.500

Comb Sin=(22+23)-V-3 Cen=(22+23)-V-2 Des=(22+23)-V-2

Sez	Td	VRdns	VRcd	VRsd	VRd	Tpl	Mr	Dx	Staffe
	kg	kg	kg	kg	kg	kg	kg*m	cm	cmq/m
Sin	85433	--	176573	85433	85433	0	91857	150.0	7.15
Cen	80788	--	176573	80788	80788	--	--	--	6.76
Des	86106	--	176573	86106	86106	0	76635	150.0	7.21

Trave : 110 [111 , 112] Pilastrate [11 , 12]

Sez. R: By= 50.0 cm Bz=150.0 cm L=370.0 cm Ln=370.0 cm

Criterio : CLS_TraviAlte_Esist - Verifica a flessione rcm=395 [kg/cmq], fym=4986 [kg/cmq], FC=1.20 qd=3, qf=1.5 :: **Verificato**

X	M-	M+	Δ M-	Δ M+	Afs	Afi	ϵ c-	ϵ f-	ϵ c+	ϵ f+	C-	C+
cm	kg*m	kg*m	kg*m	kg*m	cmq	cmq						
ILN	84975	74712	--	--	15.27	12.72	-0.39	1.90	-0.41	2.80	(22+23)-V-3	(22+23)-V-2
37.0	68372	61792	--	--	12.72	12.72	-0.33	1.83	-0.30	1.65	(22+23)-V-3	(22+23)-V-2
CAMP	52167	48482	--	--	12.72	12.72	-0.25	1.39	-0.23	1.29	(22+23)-V-3	(22+23)-V-2
333.0	55852	50397	--	--	12.72	12.72	-0.27	1.49	-0.24	1.35	(22+23)-V-1	(22+23)-V-4
FLN	72316	63459	--	--	12.72	12.72	-0.35	1.93	-0.31	1.70	(22+23)-V-1	(22+23)-V-4

X	x-	d-	x-/d-	x+	d+	x+/d+	Mr-	Mr+	C-	C+	Stato-	Stato+
cm	cm	cm		cm	cm		kg*m	kg*m				
ILN	24.8	147.0	0.169	18.8	147.0	0.128	91852	76635	(22+23)-V-3	(22+23)-V-2	Parz.	Parz.
37.0	22.6	147.0	0.154	22.5	147.0	0.153	76635	76635	(22+23)-V-3	(22+23)-V-2	Parz.	Parz.
CAMP	22.5	147.0	0.153	22.4	147.0	0.153	76635	76635	(22+23)-V-3	(22+23)-V-2	Parz.	Parz.
333.0	22.5	147.0	0.153	22.5	147.0	0.153	76635	76635	(22+23)-V-1	(22+23)-V-4	Parz.	Parz.
FLN	22.6	147.0	0.154	22.6	147.0	0.153	76635	76635	(22+23)-V-1	(22+23)-V-4	Parz.	Parz.

Verifica a taglio: cot(θ) Sin=2.500, cot(θ) Cen=2.500, cot(θ) Des=2.500

Comb Sin=(22+23)-V-3 Cen=(22+23)-V-3 Des=(22+23)-V-2

Sez	Td	VRdns	VRcd	VRsd	VRd	Tpl	Mr	Dx	Staffe
	kg	kg	kg	kg	kg	kg	kg*m	cm	cmq/m
Sin	85337	--	176573	85337	85337	0	91852	150.0	7.14
Cen	80018	--	176573	80018	80018	--	--	--	6.70
Des	84957	--	176573	84957	84957	0	76635	150.0	7.11

Trave : 110 [112 , 813] Pilastrate [12 , -]

Sez. R: By= 50.0 cm Bz=150.0 cm L=185.0 cm Ln=185.0 cm

Criterio : CLS_TraviAlte_Esist - Verifica a flessione rcm=395 [kg/cmq], fym=4986 [kg/cmq], FC=1.20 qd=3, qf=1.5 :: **Verificato**

X	M-	M+	Δ M-	Δ M+	Afs	Afi	ϵ c-	ϵ f-	ϵ c+	ϵ f+	C-	C+
cm	kg*m	kg*m	kg*m	kg*m	cmq	cmq						
ILN	76669	68031	--	--	15.27	12.72	-0.35	1.71	-0.32	1.81	(22+23)-V-3	(22+23)-V-2
18.5	68530	61801	--	--	12.72	12.72	-0.33	1.83	-0.30	1.65	(22+23)-V-3	(22+23)-V-2
CAMP	60491	55473	--	--	12.72	12.72	-0.29	1.62	-0.27	1.48	(22+23)-V-3	(22+23)-V-2
166.5	7168	8623	--	--	12.72	12.72	-0.03	0.19	-0.04	0.23	(22+23)-V-3	(22+23)-V-2
FLN	593	2185	--	--	12.72	12.72	-0.00	0.02	-0.01	0.06	(22+23)-VI-2	(22+23)-VI-3

X	x-	d-	x-/d-	x+	d+	x+/d+	Mr-	Mr+	C-	C+	Stato-	Stato+
cm	cm	cm		cm	cm		kg*m	kg*m				
ILN	24.7	147.0	0.168	22.2	147.0	0.151	91852	76635	(22+23)-V-3	(22+23)-V-2	Parz.	Parz.
18.5	22.6	147.0	0.154	22.5	147.0	0.153	76635	76635	(22+23)-V-3	(22+23)-V-2	Parz.	Parz.
CAMP	22.5	147.0	0.153	22.5	147.0	0.153	76635	76635	(22+23)-V-3	(22+23)-V-2	Parz.	Parz.
166.5	22.1	147.0	0.151	22.1	147.0	0.151	76635	76635	(22+23)-V-3	(22+23)-V-2	Parz.	Parz.
FLN	22.1	147.0	0.150	22.1	147.0	0.150	76635	76635	(22+23)-VI-2	(22+23)-VI-3	Parz.	Parz.

IperSpaceMax 9.0.1 Copyright© 2016 Soft.Lab:

Verifica a taglio:cot(θ) Sin=2.500,cot(θ) Des=2.500

Comb Sin=(22+23)-V-3 Des=(22+23)-V-3

Sez	Td	VRdns	VRcd	VRsd	VRd	Tpl	Mr	Dx	Staffe
	kg	kg	kg	kg	kg	kg	kg*m	cm	cmq/m
Sin	83162	--	176573	83162	83162	0	91852	92.5	6.96
Des	79971	--	176573	79971	79971	0	76635	92.5	6.69

Trave : 110 [813 , 113] Pilastrate [- , 13]

Sez. R: By= 50.0 cm Bz=150.0 cm L=185.0 cm Ln=185.0 cm

Criterio : CLS_TraviAlte_Esist - Verifica a flessione rcm=395 [kg/cmq],fym=4986 [kg/cmq], FC=1.20 qd=3, qf=1.5 :: **Verificato**

X	M-	M+	ΔM-	ΔM+	Afs	Afi	εc-	εf-	εc+	εf+	C-	C+
cm	kg*m	kg*m	kg*m	kg*m	cmq	cmq						
ILN	901	2493	--	--	12.72	12.72	-0.00	0.02	-0.01	0.07	(22+23)-V-3	(22+23)-V-2
18.5	5333	6866	--	--	12.72	12.72	-0.03	0.14	-0.03	0.18	(22+23)-V-1	(22+23)-V-4
CAMP	58488	54095	--	--	12.72	12.72	-0.28	1.56	-0.26	1.44	(22+23)-V-2	(22+23)-V-3
166.5	66493	60467	--	--	12.72	12.72	-0.32	1.78	-0.29	1.62	(22+23)-V-2	(22+23)-V-3
FLN	74599	66742	--	--	12.72	12.72	-0.42	2.79	-0.32	1.78	(22+23)-V-2	(22+23)-V-3

X	x-	d-	x-/d-	x+	d+	x+/d+	Mr-	Mr+	C-	C+	Stato-	Stato+
cm	cm	cm		cm	cm		kg*m	kg*m				
ILN	22.1	147.0	0.150	22.1	147.0	0.150	76635	76635	(22+23)-V-3	(22+23)-V-2	Parz.	Parz.
18.5	22.1	147.0	0.150	22.1	147.0	0.150	76635	76635	(22+23)-V-1	(22+23)-V-4	Parz.	Parz.
CAMP	22.5	147.0	0.153	22.5	147.0	0.153	76635	76635	(22+23)-V-2	(22+23)-V-3	Parz.	Parz.
166.5	22.6	147.0	0.154	22.5	147.0	0.153	76635	76635	(22+23)-V-2	(22+23)-V-3	Parz.	Parz.
FLN	19.2	147.0	0.131	22.6	147.0	0.154	76635	76635	(22+23)-V-2	(22+23)-V-3	Parz.	Parz.

Verifica a taglio:cot(θ) Sin=2.500,cot(θ) Des=2.500

Comb Sin=(22+23)-V-2 Des=(22+23)-V-2

Sez	Td	VRdns	VRcd	VRsd	VRd	Tpl	Mr	Dx	Staffe
	kg	kg	kg	kg	kg	kg	kg*m	cm	cmq/m
Sin	80334	--	176573	80334	80334	0	76635	92.5	6.72
Des	82994	--	176573	82994	82994	0	76635	92.5	6.94

Trave : 110 [113 , 814] Pilastrate [13 , -]

Sez. R: By= 50.0 cm Bz=150.0 cm L=185.0 cm Ln=185.0 cm

Criterio : CLS_TraviAlte_Esist - Verifica a flessione rcm=395 [kg/cmq],fym=4986 [kg/cmq], FC=1.20 qd=3, qf=1.5 :: **Verificato**

X	M-	M+	ΔM-	ΔM+	Afs	Afi	εc-	εf-	εc+	εf+	C-	C+
cm	kg*m	kg*m	kg*m	kg*m	cmq	cmq						
ILN	69083	60483	--	--	12.72	12.72	-0.34	1.85	-0.29	1.62	(22+23)-V-3	(22+23)-V-2
18.5	61254	54461	--	--	12.72	12.72	-0.30	1.64	-0.26	1.45	(22+23)-V-3	(22+23)-V-2
CAMP	53524	48342	--	--	12.72	12.72	-0.26	1.43	-0.23	1.29	(22+23)-V-3	(22+23)-V-2
166.5	2477	3059	--	--	12.72	12.72	-0.01	0.07	-0.01	0.08	(22+23)-V-3	(22+23)-V-2
FLN	4597	5215	--	--	12.72	12.72	-0.02	0.12	-0.02	0.14	(22+23)-V-1	(22+23)-V-4

X	x-	d-	x-/d-	x+	d+	x+/d+	Mr-	Mr+	C-	C+	Stato-	Stato+
cm	cm	cm		cm	cm		kg*m	kg*m				
ILN	22.6	147.0	0.154	22.5	147.0	0.153	76635	76635	(22+23)-V-3	(22+23)-V-2	Parz.	Parz.
18.5	22.5	147.0	0.153	22.5	147.0	0.153	76635	76635	(22+23)-V-3	(22+23)-V-2	Parz.	Parz.
CAMP	22.5	147.0	0.153	22.4	147.0	0.153	76635	76635	(22+23)-V-3	(22+23)-V-2	Parz.	Parz.
166.5	22.1	147.0	0.150	22.1	147.0	0.150	76635	76635	(22+23)-V-3	(22+23)-V-2	Parz.	Parz.
FLN	22.1	147.0	0.150	22.1	147.0	0.150	76635	76635	(22+23)-V-1	(22+23)-V-4	Parz.	Parz.

Verifica a taglio:cot(θ) Sin=2.500,cot(θ) Des=2.500

Comb Sin=(22+23)-V-3 Des=(22+23)-V-3

Sez	Td	VRdns	VRcd	VRsd	VRd	Tpl	Mr	Dx	Staffe
	kg	kg	kg	kg	kg	kg	kg*m	cm	cmq/m
Sin	80103	--	176573	80103	80103	0	76635	92.5	6.70
Des	76912	--	176573	76912	76912	0	76635	92.5	6.44

Trave : 110 [814 , 114] Pilastrate [- , 14]

Sez. R: By= 50.0 cm Bz=150.0 cm L=185.0 cm Ln=185.0 cm

Criteria : CLS_TraviAlte_Esist - Verifica a flessione rcm=395 [kg/cmq],fym=4986 [kg/cmq], FC=1.20 qd=3, qf=1.5 :: **Verificato**

X	M-	M+	ΔM-	ΔM+	Afs	Afi	εc-	εf-	εc+	εf+	C-	C+
cm	kg*m	kg*m	kg*m	kg*m	cmq	cmq						
ILN	3660	4278	--	--	12.72	12.72	-0.02	0.10	-0.02	0.11	(22+23)-V-1	(22+23)-V-4
18.5	10593	11051	--	--	12.72	12.72	-0.05	0.28	-0.05	0.29	(22+23)-V-1	(22+23)-V-4
CAMP	62330	56154	--	--	12.72	12.72	-0.30	1.66	-0.27	1.50	(22+23)-V-1	(22+23)-V-4
166.5	70130	62219	--	--	12.72	12.72	-0.34	1.87	-0.30	1.66	(22+23)-V-1	(22+23)-V-4
FLN	78030	68188	--	--	15.27	12.72	-0.35	1.75	-0.32	1.82	(22+23)-V-1	(22+23)-V-4

X	x-	d-	x-/d-	x+	d+	x+/d+	Mr-	Mr+	C-	C+	Stato-	Stato+
cm	cm	cm		cm	cm		kg*m	kg*m				
ILN	22.1	147.0	0.150	22.1	147.0	0.150	76635	76635	(22+23)-V-1	(22+23)-V-4	Parz.	Parz.
18.5	22.1	147.0	0.151	22.2	147.0	0.151	76635	76635	(22+23)-V-1	(22+23)-V-4	Parz.	Parz.
CAMP	22.5	147.0	0.153	22.5	147.0	0.153	76635	76635	(22+23)-V-1	(22+23)-V-4	Parz.	Parz.
166.5	22.6	147.0	0.154	22.5	147.0	0.153	76635	76635	(22+23)-V-1	(22+23)-V-4	Parz.	Parz.
FLN	24.7	147.0	0.168	22.2	147.0	0.151	91852	76635	(22+23)-V-1	(22+23)-V-4	Parz.	Parz.

Verifica a taglio:cot(θ) Sin=2.500,cot(θ) Des=2.500

Comb Sin=(22+23)-V-2 Des=(22+23)-V-2

Sez	Td	VRdns	VRcd	VRsd	VRd	Tpl	Mr	Dx	Staffe
	kg	kg	kg	kg	kg	kg	kg*m	cm	cmq/m
Sin	77840	--	176573	77840	77840	0	76635	92.5	6.51
Des	80499	--	176573	80499	80499	0	91852	92.5	6.74

Trave : 110 [114 , 115] Pilastrate [14 , 15]

Sez. R: By= 50.0 cm Bz=150.0 cm L=370.0 cm Ln=370.0 cm

Criteria : CLS_TraviAlte_Esist - Verifica a flessione rcm=395 [kg/cmq],fym=4986 [kg/cmq], FC=1.20 qd=3, qf=1.5 :: **Verificato**

X	M-	M+	ΔM-	ΔM+	Afs	Afi	εc-	εf-	εc+	εf+	C-	C+
cm	kg*m	kg*m	kg*m	kg*m	cmq	cmq						
ILN	62061	50125	--	--	12.72	12.72	-0.30	1.66	-0.24	1.34	(22+23)-V-3	(22+23)-V-2
37.0	46754	38595	--	--	12.72	12.72	-0.22	1.25	-0.18	1.03	(22+23)-V-3	(22+23)-V-2
CAMP	53454	49692	--	--	12.72	12.72	-0.26	1.43	-0.24	1.33	(22+23)-V-1	(22+23)-V-4
333.0	68142	61860	--	--	12.72	12.72	-0.33	1.82	-0.30	1.65	(22+23)-V-1	(22+23)-V-4
FLN	83229	73639	--	--	15.27	12.72	-0.38	1.86	-0.35	1.96	(22+23)-V-1	(22+23)-V-4

X	x-	d-	x-/d-	x+	d+	x+/d+	Mr-	Mr+	C-	C+	Stato-	Stato+
cm	cm	cm		cm	cm		kg*m	kg*m				
ILN	22.5	147.0	0.153	22.4	147.0	0.153	76635	76635	(22+23)-V-3	(22+23)-V-2	Parz.	Parz.
37.0	22.4	147.0	0.153	22.4	147.0	0.152	76635	76635	(22+23)-V-3	(22+23)-V-2	Parz.	Parz.
CAMP	22.5	147.0	0.153	22.4	147.0	0.153	76635	76635	(22+23)-V-1	(22+23)-V-4	Parz.	Parz.
333.0	22.6	147.0	0.154	22.5	147.0	0.153	76635	76635	(22+23)-V-1	(22+23)-V-4	Parz.	Parz.
FLN	24.8	147.0	0.168	22.3	147.0	0.152	91852	76635	(22+23)-V-1	(22+23)-V-4	Parz.	Parz.

Verifica a taglio:cot(θ) Sin=2.500,cot(θ) Cen=2.500,cot(θ) Des=2.500

Comb Sin=(22+23)-V-3 Cen=(22+23)-V-3 Des=(22+23)-V-2

Sez	Td	VRdns	VRcd	VRsd	VRd	Tpl	Mr	Dx	Staffe
	kg	kg	kg	kg	kg	kg	kg*m	cm	cmq/m
Sin	78289	--	176573	78289	78289	0	76635	150.0	6.55
Cen	72971	--	176573	72971	72971	--	--	--	6.11
Des	77655	--	176573	77655	77655	0	91852	150.0	6.50

Trave : 110 [115 , 116] Pilastrate [15 , 16]

Sez. R: By= 50.0 cm Bz=150.0 cm L=370.0 cm Ln=370.0 cm

Criteria : CLS_TraviAlte_Esist - Verifica a flessione rcm=395 [kg/cmq],fym=4986 [kg/cmq], FC=1.20 qd=3, qf=1.5 :: **Verificato**

IperSpaceMax 9.0.1 Copyright© 2016 Soft.Lab:

X	M-	M+	ΔM-	ΔM+	Afs	Afi	εc-	εf-	εc+	εf+	C-	C+
cm	kg*m	kg*m	kg*m	kg*m	cmq	cmq						
ILN	55734	41674	--	--	12.72	12.72	-0.27	1.49	-0.20	1.11	(22+23)-V-3	(22+23)-V-2
37.0	36803	28128	--	--	12.72	12.72	-0.18	0.98	-0.13	0.75	(22+23)-VII-3	(22+23)-VII-2
CAMP	78114	85090	--	--	15.27	15.27	-0.35	1.74	-0.38	1.90	(22+23)-V-2	(22+23)-V-3
333.0	94843	100907	--	--	17.81	17.81	-0.39	1.82	-0.42	1.94	(22+23)-V-2	(22+23)-V-3
FLN	111968	116331	--	--	20.36	20.36	-0.43	1.88	-0.45	1.96	(22+23)-V-2	(22+23)-V-3

X	x-	d-	x-/d-	x+	d+	x+/d+	Mr-	Mr+	C-	C+	Stato-	Stato+
cm	cm	cm		cm	cm		kg*m	kg*m				
ILN	22.5	147.0	0.153	22.4	147.0	0.152	76635	76635	(22+23)-V-3	(22+23)-V-2	Parz.	Parz.
37.0	22.3	147.0	0.152	22.3	147.0	0.152	76635	76635	(22+23)-VII-3	(22+23)-VII-2	Parz.	Parz.
CAMP	24.4	147.0	0.166	24.4	147.0	0.166	91857	91857	(22+23)-V-2	(22+23)-V-3	Parz.	Parz.
333.0	26.0	147.0	0.177	26.0	147.0	0.177	107076	107076	(22+23)-V-2	(22+23)-V-3	Parz.	Parz.
FLN	27.5	147.0	0.187	27.5	147.0	0.187	122294	122294	(22+23)-V-2	(22+23)-V-3	Parz.	Parz.

Verifica a taglio: cot(θ) Sin=2.500, cot(θ) Cen=2.500, cot(θ) Des=2.500

Comb Sin=(22+23)-V-3 Cen=(22+23)-V-3 Des=(22+23)-V-2

Sez	Td	VRdns	VRcd	VRsd	VRd	Tpl	Mr	Dx	Staffe
	kg	kg	kg	kg	kg	kg	kg*m	cm	cmq/m
Sin	95798	--	176573	95798	95798	0	76635	150.0	8.02
Cen	90480	--	176573	90480	90480	--	--	--	7.57
Des	90819	--	176573	90819	90819	0	122294	150.0	7.60

Trave : 201 [201 , 209] Pilastrate [1 , 9]

Sez. R: By= 50.0 cm Bz=100.0 cm L=1750.0 cm Ln=1675.0 cm

Criterio : CLS_TraviAlte_Esist - Verifica a flessione rcm=395 [kg/cmq], fym=4986 [kg/cmq], FC=1.20 qd=3, qf=1.5 :: **Verificato**

X	M-	M+	ΔM-	ΔM+	Afs	Afi	εc-	εf-	εc+	εf+	C-	C+
cm	kg*m	kg*m	kg*m	kg*m	cmq	cmq						
ILN	68532	7980	--	--	17.81	10.18	-0.88	5.35	-0.07	0.40	(22+23)-IV-2	(22+23)-IV-3
167.5	43525	17615	--	--	12.72	7.63	-0.42	1.79	-0.19	1.18	(22+23)-IV-2	(22+23)-IV-3
CAMP	--	27859	--	--	7.63	7.63	--	--	-0.33	1.88	20	4
1507.5	46558	15279	--	--	12.72	7.63	-0.45	1.91	-0.17	1.03	(22+23)-IV-3	(22+23)-IV-2
FLN	72237	4972	--	--	20.36	10.18	-0.58	1.88	-0.05	0.25	(22+23)-IV-3	(22+23)-IV-2

X	x-	d-	x-/d-	x+	d+	x+/d+	Mr-	Mr+	C-	C+	Stato-	Stato+
cm	cm	cm		cm	cm		kg*m	kg*m				
ILN	13.7	97.0	0.141	15.1	97.0	0.155	70020	40260	(22+23)-IV-2	(22+23)-IV-3	Parz.	Parz.
167.5	18.5	97.0	0.191	13.7	97.0	0.141	50194	30314	(22+23)-IV-2	(22+23)-IV-3	Parz.	Parz.
CAMP	--	--	--	14.4	97.0	0.149	30316	30316	20	4	--	Parz.
1507.5	18.5	97.0	0.191	13.7	97.0	0.141	50194	30314	(22+23)-IV-3	(22+23)-IV-2	Parz.	Parz.
FLN	22.9	97.0	0.236	14.8	97.0	0.152	79888	40259	(22+23)-IV-3	(22+23)-IV-2	Parz.	Parz.

Verifica a taglio: cot(θ) Sin=2.500, cot(θ) Cen=2.500, cot(θ) Des=2.500

Comb Sin=(22+23)-IV-2 Cen=(22+23)-IV-3 Des=(22+23)-IV-3

Sez	Td	VRdns	VRcd	VRsd	VRd	Tpl	Mr	Dx	Staffe
	kg	kg	kg	kg	kg	kg	kg*m	cm	cmq/m
Sin	20690	--	117645	23656	23656	0	40260	100.0	3.00
Cen	18748	--	117645	23656	23656	--	--	--	3.00
Des	21090	--	117645	23656	23656	0	79888	100.0	3.00

Trave : 202 [201 , 202] Pilastrate [1 , 2]

Sez. R: By= 50.0 cm Bz=150.0 cm L=371.3 cm Ln=371.3 cm

Criterio : CLS_TraviAlte_Esist - Verifica a flessione rcm=395 [kg/cmq], fym=4986 [kg/cmq], FC=1.20 qd=3, qf=1.5 :: **Verificato**

X	M-	M+	ΔM-	ΔM+	Afs	Afi	εc-	εf-	εc+	εf+	C-	C+
cm	kg*m	kg*m	kg*m	kg*m	cmq	cmq						
ILN	56721	58465	--	--	12.72	12.72	-0.27	1.51	-0.28	1.56	(22+23)-I-4	(22+23)-I-1
37.1	49361	52382	--	--	12.72	12.72	-0.24	1.32	-0.25	1.40	(22+23)-I-4	(22+23)-I-1

X	M-	M+	ΔM-	ΔM+	Afs	Afi	εc-	εf-	εc+	εf+	C-	C+
CAMP	42265	46049	--	--	12.72	12.72	-0.20	1.13	-0.22	1.23	(22+23)-I-4	(22+23)-I-1
334.2	8176	2872	--	--	12.72	12.72	-0.04	0.22	-0.01	0.08	(22+23)-III-4	(22+23)-III-1
FLN	15297	6633	--	--	12.72	12.72	-0.07	0.41	-0.03	0.18	(22+23)-III-2	(22+23)-III-3

X	x-	d-	x-/d-	x+	d+	x+/d+	Mr-	Mr+	C-	C+	Stato-	Stato+
cm	cm	cm		cm	cm		kg*m	kg*m				
ILN	22.5	147.0	0.153	22.5	147.0	0.153	76635	76635	(22+23)-I-4	(22+23)-I-1	Parz.	Parz.
37.1	22.4	147.0	0.153	22.5	147.0	0.153	76635	76635	(22+23)-I-4	(22+23)-I-1	Parz.	Parz.
CAMP	22.4	147.0	0.152	22.4	147.0	0.152	76635	76635	(22+23)-I-4	(22+23)-I-1	Parz.	Parz.
334.2	22.1	147.0	0.151	22.1	147.0	0.150	76635	76635	(22+23)-III-4	(22+23)-III-1	Parz.	Parz.
FLN	22.2	147.0	0.151	22.1	147.0	0.150	76635	76635	(22+23)-III-2	(22+23)-III-3	Parz.	Parz.

Verifica a taglio: cot(θ) Sin=2.500, cot(θ) Cen=2.500, cot(θ) Des=2.500

Comb Sin=(22+23)-I-3 Cen=(22+23)-I-2 Des=(22+23)-I-2

Sez	Td	VRdns	VRcd	VRsd	VRd	Tpl	Mr	Dx	Staffe
	kg	kg	kg	kg	kg	kg	kg*m	cm	cmq/m
Sin	38400	--	176573	38400	38400	0	76635	150.0	3.21
Cen	37735	--	176573	37735	37735	--	--	--	3.16
Des	41203	--	176573	41203	41203	0	76635	150.0	3.45

Trave : 202 [202 , 203] Pilastrate [2 , 3]

Sez. R: By= 50.0 cm Bz=150.0 cm L=371.3 cm Ln=371.3 cm

Criterio : CLS_TraviAlte_Esist - Verifica a flessione rcm=395 [kg/cmq], fym=4986 [kg/cmq], FC=1.20 qd=3, qf=1.5 :: **Verificato**

X	M-	M+	ΔM-	ΔM+	Afs	Afi	εc-	εf-	εc+	εf+	C-	C+
cm	kg*m	kg*m	kg*m	kg*m	cmq	cmq						
ILN	57633	51597	--	--	12.72	12.72	-0.28	1.54	-0.25	1.38	(22+23)-I-4	(22+23)-I-1
37.1	48871	44801	--	--	12.72	12.72	-0.24	1.31	-0.22	1.20	(22+23)-III-4	(22+23)-III-1
CAMP	40382	37763	--	--	12.72	12.72	-0.19	1.08	-0.18	1.01	(22+23)-III-4	(22+23)-III-1
334.2	19825	12938	--	--	12.72	12.72	-0.09	0.53	-0.06	0.35	(22+23)-I-2	(22+23)-I-3
FLN	28895	19338	--	--	12.72	12.72	-0.14	0.77	-0.09	0.52	(22+23)-I-2	(22+23)-I-3

X	x-	d-	x-/d-	x+	d+	x+/d+	Mr-	Mr+	C-	C+	Stato-	Stato+
cm	cm	cm		cm	cm		kg*m	kg*m				
ILN	22.5	147.0	0.153	22.5	147.0	0.153	76635	76635	(22+23)-I-4	(22+23)-I-1	Parz.	Parz.
37.1	22.4	147.0	0.153	22.4	147.0	0.152	76635	76635	(22+23)-III-4	(22+23)-III-1	Parz.	Parz.
CAMP	22.4	147.0	0.152	22.4	147.0	0.152	76635	76635	(22+23)-III-4	(22+23)-III-1	Parz.	Parz.
334.2	22.2	147.0	0.151	22.2	147.0	0.151	76635	76635	(22+23)-I-2	(22+23)-I-3	Parz.	Parz.
FLN	22.3	147.0	0.152	22.2	147.0	0.151	76635	76635	(22+23)-I-2	(22+23)-I-3	Parz.	Parz.

Verifica a taglio: cot(θ) Sin=2.500, cot(θ) Cen=2.500, cot(θ) Des=2.500

Comb Sin=(22+23)-I-4 Cen=(22+23)-I-1 Des=(22+23)-I-1

Sez	Td	VRdns	VRcd	VRsd	VRd	Tpl	Mr	Dx	Staffe
	kg	kg	kg	kg	kg	kg	kg*m	cm	cmq/m
Sin	45204	--	176573	45204	45204	0	76635	150.0	3.78
Cen	42684	--	176573	42684	42684	--	--	--	3.57
Des	46153	--	176573	46153	46153	0	76635	150.0	3.86

Trave : 202 [203 , 204] Pilastrate [3 , 4]

Sez. R: By= 50.0 cm Bz=150.0 cm L=371.3 cm Ln=371.3 cm

Criterio : CLS_TraviAlte_Esist - Verifica a flessione rcm=395 [kg/cmq], fym=4986 [kg/cmq], FC=1.20 qd=3, qf=1.5 :: **Verificato**

X	M-	M+	ΔM-	ΔM+	Afs	Afi	εc-	εf-	εc+	εf+	C-	C+
cm	kg*m	kg*m	kg*m	kg*m	cmq	cmq						
ILN	44485	36542	--	--	12.72	12.72	-0.21	1.19	-0.17	0.98	(22+23)-I-4	(22+23)-I-1
37.1	36389	30874	--	--	12.72	12.72	-0.17	0.97	-0.15	0.82	(22+23)-III-4	(22+23)-III-1
CAMP	28557	24954	--	--	12.72	12.72	-0.14	0.76	-0.12	0.67	(22+23)-III-4	(22+23)-III-1
334.2	24362	19724	--	--	12.72	12.72	-0.12	0.65	-0.09	0.53	(22+23)-I-2	(22+23)-I-3
FLN	32363	25516	--	--	12.72	12.72	-0.15	0.86	-0.12	0.68	(22+23)-I-2	(22+23)-I-3

X	x-	d-	x-/d-	x+	d+	x+/d+	Mr-	Mr+	C-	C+	Stato-	Stato+
cm	cm	cm		cm	cm		kg*m	kg*m				
ILN	22.4	147.0	0.152	22.3	147.0	0.152	76635	76635	(22+23)-I-4	(22+23)-I-1	Parz.	Parz.
37.1	22.3	147.0	0.152	22.3	147.0	0.152	76635	76635	(22+23)-III-4	(22+23)-III-1	Parz.	Parz.
CAMP	22.3	147.0	0.152	22.3	147.0	0.151	76635	76635	(22+23)-III-4	(22+23)-III-1	Parz.	Parz.
334.2	22.3	147.0	0.151	22.2	147.0	0.151	76635	76635	(22+23)-I-2	(22+23)-I-3	Parz.	Parz.
FLN	22.3	147.0	0.152	22.3	147.0	0.151	76635	76635	(22+23)-I-2	(22+23)-I-3	Parz.	Parz.

Verifica a taglio: $\cot(\theta)$ Sin=2.500, $\cot(\theta)$ Cen=2.500, $\cot(\theta)$ Des=2.500

Comb Sin=(22+23)-I-4 Cen=(22+23)-I-4 Des=(22+23)-I-1

Sez	Td	VRdns	VRcd	VRsd	VRd	Tpl	Mr	Dx	Staffe
	kg	kg	kg	kg	kg	kg	kg*m	cm	cmq/m
Sin	40893	--	176573	40893	40893	0	76635	150.0	3.42
Cen	37425	--	176573	37425	37425	--	--	--	3.13
Des	40598	--	176573	40598	40598	0	76635	150.0	3.40

Trave : 202 [204 , 818] Pilastrate [4 , -]

Sez. R: $B_y=50.0\text{ cm}$ $B_z=150.0\text{ cm}$ $L=185.6\text{ cm}$ $L_n=185.6\text{ cm}$

Criteria : CLS_TraviAlte_Esist - Verifica a flessione $r_{cm}=395$ [kg/cm²], $f_{ym}=4986$ [kg/cm²], $FC=1.20$ $q_d=3$, $q_f=1.5$:: **Verificato**

X	M-	M+	$\Delta M-$	$\Delta M+$	Afs	Afi	ϵ_c-	ϵ_f-	ϵ_c+	ϵ_f+	C-	C+
cm	kg*m	kg*m	kg*m	kg*m	cmq	cmq						
ILN	36033	29994	--	--	12.72	12.72	-0.17	0.96	-0.14	0.80	(22+23)-I-3	(22+23)-I-2
18.6	32186	27343	--	--	12.72	12.72	-0.15	0.86	-0.13	0.73	(22+23)-I-3	(22+23)-I-2
CAMP	28405	24629	--	--	12.72	12.72	-0.14	0.76	-0.12	0.66	(22+23)-I-3	(22+23)-I-2
167.1	3822	3910	--	--	12.72	12.72	-0.02	0.10	-0.02	0.10	(22+23)-I-3	(22+23)-I-2
FLN	1398	1523	--	--	12.72	12.72	-0.01	0.04	-0.01	0.04	(22+23)-II-4	(22+23)-II-1

X	x-	d-	x-/d-	x+	d+	x+/d+	Mr-	Mr+	C-	C+	Stato-	Stato+
cm	cm	cm		cm	cm		kg*m	kg*m				
ILN	22.3	147.0	0.152	22.3	147.0	0.152	76635	76635	(22+23)-I-3	(22+23)-I-2	Parz.	Parz.
18.6	22.3	147.0	0.152	22.3	147.0	0.152	76635	76635	(22+23)-I-3	(22+23)-I-2	Parz.	Parz.
CAMP	22.3	147.0	0.152	22.3	147.0	0.151	76635	76635	(22+23)-I-3	(22+23)-I-2	Parz.	Parz.
167.1	22.1	147.0	0.150	22.1	147.0	0.150	76635	76635	(22+23)-I-3	(22+23)-I-2	Parz.	Parz.
FLN	22.1	147.0	0.150	22.1	147.0	0.150	76635	76635	(22+23)-II-4	(22+23)-II-1	Parz.	Parz.

Verifica a taglio: $\cot(\theta)$ Sin=2.500, $\cot(\theta)$ Des=2.500

Comb Sin=(22+23)-I-4 Des=(22+23)-I-4

Sez	Td	VRdns	VRcd	VRsd	VRd	Tpl	Mr	Dx	Staffe
	kg	kg	kg	kg	kg	kg	kg*m	cm	cmq/m
Sin	38562	--	176573	38562	38562	0	76635	92.8	3.23
Des	36481	--	176573	36481	36481	0	76635	92.8	3.05

Trave : 202 [818 , 205] Pilastrate [- , 5]

Sez. R: $B_y=50.0\text{ cm}$ $B_z=150.0\text{ cm}$ $L=185.6\text{ cm}$ $L_n=185.6\text{ cm}$

Criteria : CLS_TraviAlte_Esist - Verifica a flessione $r_{cm}=395$ [kg/cm²], $f_{ym}=4986$ [kg/cm²], $FC=1.20$ $q_d=3$, $q_f=1.5$:: **Verificato**

X	M-	M+	$\Delta M-$	$\Delta M+$	Afs	Afi	ϵ_c-	ϵ_f-	ϵ_c+	ϵ_f+	C-	C+
cm	kg*m	kg*m	kg*m	kg*m	cmq	cmq						
ILN	1973	2098	--	--	12.72	12.72	-0.01	0.05	-0.01	0.06	(22+23)-I-3	(22+23)-I-2
18.6	2034	2067	--	--	12.72	12.72	-0.01	0.05	-0.01	0.06	(22+23)-I-2	(22+23)-I-3
CAMP	27051	22834	--	--	12.72	12.72	-0.13	0.72	-0.11	0.61	(22+23)-I-2	(22+23)-I-3
167.1	30894	25555	--	--	12.72	12.72	-0.15	0.82	-0.12	0.68	(22+23)-I-2	(22+23)-I-3
FLN	34803	28214	--	--	12.72	12.72	-0.17	0.93	-0.13	0.75	(22+23)-I-2	(22+23)-I-3

X	x-	d-	x-/d-	x+	d+	x+/d+	Mr-	Mr+	C-	C+	Stato-	Stato+
cm	cm	cm		cm	cm		kg*m	kg*m				
ILN	22.1	147.0	0.150	22.1	147.0	0.150	76635	76635	(22+23)-I-3	(22+23)-I-2	Parz.	Parz.

IperSpaceMax 9.0.1 Copyright© 2016 Soft.Lab:

X	x-	d-	x-/d-	x+	d+	x+/d+	Mr-	Mr+	C-	C+	Stato-	Stato+
18.6	22.1	147.0	0.150	22.1	147.0	0.150	76635	76635	(22+23)-I-2	(22+23)-I-3	Parz.	Parz.
CAMP	22.3	147.0	0.152	22.2	147.0	0.151	76635	76635	(22+23)-I-2	(22+23)-I-3	Parz.	Parz.
167.1	22.3	147.0	0.152	22.3	147.0	0.151	76635	76635	(22+23)-I-2	(22+23)-I-3	Parz.	Parz.
FLN	22.3	147.0	0.152	22.3	147.0	0.152	76635	76635	(22+23)-I-2	(22+23)-I-3	Parz.	Parz.

Verifica a taglio:cot(θ) Sin=2.500,cot(θ) Des=2.500

Comb Sin=(22+23)-I-1 Des=(22+23)-I-1

Sez	Td	VRdns	VRcd	VRsd	VRd	Tpl	Mr	Dx	Staffe
	kg	kg	kg	kg	kg	kg	kg*m	cm	cmq/m
Sin	37324	--	176573	37324	37324	0	76635	92.8	3.12
Des	39058	--	176573	39058	39058	0	76635	92.8	3.27

Trave : 202 [205 , 817] Pilastrate [5 , -]

Sez. R: By= 50.0 cm Bz=150.0 cm L=185.6 cm Ln=185.6 cm

Criterio : CLS_TraviAlte_Esist - Verifica a flessione rcm=395 [kg/cm²],fym=4986 [kg/cm²], FC=1.20 qd=3, qf=1.5 :: **Verificato**

X	M-	M+	ΔM-	ΔM+	Afs	Afi	εc-	εf-	εc+	εf+	C-	C+
cm	kg*m	kg*m	kg*m	kg*m	cmq	cmq						
ILN	30135	23966	--	--	12.72	12.72	-0.14	0.80	-0.11	0.64	(22+23)-I-3	(22+23)-I-2
18.6	26365	21361	--	--	12.72	12.72	-0.13	0.70	-0.10	0.57	(22+23)-I-3	(22+23)-I-2
CAMP	22662	18695	--	--	12.72	12.72	-0.11	0.60	-0.09	0.50	(22+23)-I-3	(22+23)-I-2
167.1	3021	2706	--	--	12.72	12.72	-0.01	0.08	-0.01	0.07	(22+23)-I-2	(22+23)-I-3
FLN	5949	5641	--	--	12.72	12.72	-0.03	0.16	-0.03	0.15	(22+23)-I-2	(22+23)-I-3

X	x-	d-	x-/d-	x+	d+	x+/d+	Mr-	Mr+	C-	C+	Stato-	Stato+
cm	cm	cm		cm	cm		kg*m	kg*m				
ILN	22.3	147.0	0.152	22.2	147.0	0.151	76635	76635	(22+23)-I-3	(22+23)-I-2	Parz.	Parz.
18.6	22.3	147.0	0.151	22.2	147.0	0.151	76635	76635	(22+23)-I-3	(22+23)-I-2	Parz.	Parz.
CAMP	22.2	147.0	0.151	22.2	147.0	0.151	76635	76635	(22+23)-I-3	(22+23)-I-2	Parz.	Parz.
167.1	22.1	147.0	0.150	22.1	147.0	0.150	76635	76635	(22+23)-I-2	(22+23)-I-3	Parz.	Parz.
FLN	22.1	147.0	0.150	22.1	147.0	0.150	76635	76635	(22+23)-I-2	(22+23)-I-3	Parz.	Parz.

Verifica a taglio:cot(θ) Sin=2.500,cot(θ) Des=2.500

Comb Sin=(22+23)-I-4 Des=(22+23)-I-4

Sez	Td	VRdns	VRcd	VRsd	VRd	Tpl	Mr	Dx	Staffe
	kg	kg	kg	kg	kg	kg	kg*m	cm	cmq/m
Sin	37823	--	176573	37823	37823	0	76635	92.8	3.17
Des	35741	--	176573	35850	35850	0	76635	92.8	3.00

Trave : 202 [817 , 206] Pilastrate [- , 6]

Sez. R: By= 50.0 cm Bz=150.0 cm L=185.6 cm Ln=185.6 cm

Criterio : CLS_TraviAlte_Esist - Verifica a flessione rcm=395 [kg/cm²],fym=4986 [kg/cm²], FC=1.20 qd=3, qf=1.5 :: **Verificato**

X	M-	M+	ΔM-	ΔM+	Afs	Afi	εc-	εf-	εc+	εf+	C-	C+
cm	kg*m	kg*m	kg*m	kg*m	cmq	cmq						
ILN	4626	4318	--	--	12.72	12.72	-0.02	0.12	-0.02	0.12	(22+23)-I-2	(22+23)-I-3
18.6	7764	7333	--	--	12.72	12.72	-0.04	0.21	-0.03	0.20	(22+23)-I-2	(22+23)-I-3
CAMP	32315	27421	--	--	12.72	12.72	-0.15	0.86	-0.13	0.73	(22+23)-I-2	(22+23)-I-3
167.1	36106	30060	--	--	12.72	12.72	-0.17	0.96	-0.14	0.80	(22+23)-I-1	(22+23)-I-4
FLN	39965	32637	--	--	12.72	12.72	-0.19	1.07	-0.16	0.87	(22+23)-I-1	(22+23)-I-4

X	x-	d-	x-/d-	x+	d+	x+/d+	Mr-	Mr+	C-	C+	Stato-	Stato+
cm	cm	cm		cm	cm		kg*m	kg*m				
ILN	22.1	147.0	0.150	22.1	147.0	0.150	76635	76635	(22+23)-I-2	(22+23)-I-3	Parz.	Parz.
18.6	22.1	147.0	0.151	22.1	147.0	0.151	76635	76635	(22+23)-I-2	(22+23)-I-3	Parz.	Parz.
CAMP	22.3	147.0	0.152	22.3	147.0	0.152	76635	76635	(22+23)-I-2	(22+23)-I-3	Parz.	Parz.
167.1	22.3	147.0	0.152	22.3	147.0	0.152	76635	76635	(22+23)-I-1	(22+23)-I-4	Parz.	Parz.
FLN	22.4	147.0	0.152	22.3	147.0	0.152	76635	76635	(22+23)-I-1	(22+23)-I-4	Parz.	Parz.

Verifica a taglio:cot(θ) Sin=2.500,cot(θ) Des=2.500

Comb Sin=(22+23)-I-1 Des=(22+23)-I-1

Sez	Td	VRdns	VRcd	VRsd	VRd	Tpl	Mr	Dx	Staffe
	kg	kg	kg	kg	kg	kg	kg*m	cm	cmq/m
Sin	36755	--	176573	36755	36755	0	76635	92.8	3.08
Des	38489	--	176573	38489	38489	0	76635	92.8	3.22

Trave : 202 [206 , 207] Pilastrate [6 , 7]

Sez. R: By= 50.0 cm Bz=150.0 cm L=371.2 cm Ln=371.2 cm

Criterio : CLS_TraviAlte_Esist - Verifica a flessione rcm=395 [kg/cmq],fym=4986 [kg/cmq], FC=1.20 qd=3, qf=1.5 :: **Verificato**

X	M-	M+	ΔM-	ΔM+	Afs	Afi	εc-	εf-	εc+	εf+	C-	C+
cm	kg*m	kg*m	kg*m	kg*m	cmq	cmq						
ILN	26105	17816	--	--	12.72	12.72	-0.12	0.70	-0.08	0.48	(22+23)-I-4	(22+23)-I-1
37.1	17886	12165	--	--	12.72	12.72	-0.08	0.48	-0.06	0.32	(22+23)-I-4	(22+23)-I-1
CAMP	36099	33938	--	--	12.72	12.72	-0.17	0.96	-0.16	0.91	(22+23)-I-2	(22+23)-I-3
334.1	43890	40178	--	--	12.72	12.72	-0.21	1.17	-0.19	1.07	(22+23)-I-2	(22+23)-I-3
FLN	51951	46171	--	--	12.72	12.72	-0.25	1.39	-0.22	1.23	(22+23)-I-2	(22+23)-I-3

X	x-	d-	x-/d-	x+	d+	x+/d+	Mr-	Mr+	C-	C+	Stato-	Stato+
cm	cm	cm		cm	cm		kg*m	kg*m				
ILN	22.3	147.0	0.151	22.2	147.0	0.151	76635	76635	(22+23)-I-4	(22+23)-I-1	Parz.	Parz.
37.1	22.2	147.0	0.151	22.2	147.0	0.151	76635	76635	(22+23)-I-4	(22+23)-I-1	Parz.	Parz.
CAMP	22.3	147.0	0.152	22.3	147.0	0.152	76635	76635	(22+23)-I-2	(22+23)-I-3	Parz.	Parz.
334.1	22.4	147.0	0.152	22.4	147.0	0.152	76635	76635	(22+23)-I-2	(22+23)-I-3	Parz.	Parz.
FLN	22.5	147.0	0.153	22.4	147.0	0.153	76635	76635	(22+23)-I-2	(22+23)-I-3	Parz.	Parz.

Verifica a taglio:cot(θ) Sin=2.500,cot(θ) Cen=2.500,cot(θ) Des=2.500

Comb Sin=(22+23)-I-4 Cen=(22+23)-I-4 Des=(22+23)-I-1

Sez	Td	VRdns	VRcd	VRsd	VRd	Tpl	Mr	Dx	Staffe
	kg	kg	kg	kg	kg	kg	kg*m	cm	cmq/m
Sin	41820	--	176573	41820	41820	0	76635	150.0	3.50
Cen	38351	--	176573	38351	38351	--	--	--	3.21
Des	41144	--	176573	41144	41144	0	76635	150.0	3.44

Trave : 202 [207 , 208] Pilastrate [7 , 8]

Sez. R: By= 50.0 cm Bz=150.0 cm L=371.2 cm Ln=371.2 cm

Criterio : CLS_TraviAlte_Esist - Verifica a flessione rcm=395 [kg/cmq],fym=4986 [kg/cmq], FC=1.20 qd=3, qf=1.5 :: **Verificato**

X	M-	M+	ΔM-	ΔM+	Afs	Afi	εc-	εf-	εc+	εf+	C-	C+
cm	kg*m	kg*m	kg*m	kg*m	cmq	cmq						
ILN	12972	4462	--	--	12.72	12.72	-0.06	0.35	-0.02	0.12	(22+23)-I-2	(22+23)-I-3
37.1	7488	2332	--	--	12.72	12.72	-0.04	0.20	-0.01	0.06	(22+23)-I-2	(22+23)-I-3
CAMP	36311	40207	--	--	12.72	12.72	-0.17	0.97	-0.19	1.07	(22+23)-I-1	(22+23)-I-4
334.1	42317	45445	--	--	12.72	12.72	-0.20	1.13	-0.22	1.21	(22+23)-I-1	(22+23)-I-4
FLN	48590	50436	--	--	12.72	12.72	-0.23	1.30	-0.24	1.35	(22+23)-I-1	(22+23)-I-4

X	x-	d-	x-/d-	x+	d+	x+/d+	Mr-	Mr+	C-	C+	Stato-	Stato+
cm	cm	cm		cm	cm		kg*m	kg*m				
ILN	22.2	147.0	0.151	22.1	147.0	0.150	76635	76635	(22+23)-I-2	(22+23)-I-3	Parz.	Parz.
37.1	22.1	147.0	0.151	22.1	147.0	0.150	76635	76635	(22+23)-I-2	(22+23)-I-3	Parz.	Parz.
CAMP	22.3	147.0	0.152	22.4	147.0	0.152	76635	76635	(22+23)-I-1	(22+23)-I-4	Parz.	Parz.
334.1	22.4	147.0	0.152	22.4	147.0	0.152	76635	76635	(22+23)-I-1	(22+23)-I-4	Parz.	Parz.
FLN	22.4	147.0	0.153	22.5	147.0	0.153	76635	76635	(22+23)-I-1	(22+23)-I-4	Parz.	Parz.

Verifica a taglio:cot(θ) Sin=2.500,cot(θ) Cen=2.500,cot(θ) Des=2.500

Comb Sin=(22+23)-I-4 Cen=(22+23)-I-4 Des=(22+23)-I-1

Sez	Td	VRdns	VRcd	VRsd	VRd	Tpl	Mr	Dx	Staffe
	kg	kg	kg	kg	kg	kg	kg*m	cm	cmq/m

IperSpaceMax 9.0.1 Copyright© 2016 Soft.Lab:

Sez	Td	VRdns	VRcd	VRsd	VRd	Tpl	Mr	Dx	Staffe
Sin	35388	--	176573	35850	35850	0	76635	150.0	3.00
Cen	31920	--	176573	35850	35850	--	--	--	3.00
Des	32598	--	176573	35850	35850	0	76635	150.0	3.00

Trave : 203 [202 , 210] Pilastrate [2 , 10]

Sez. R: By= 50.0 cm Bz=100.0 cm L=1750.0 cm Ln=1600.0 cm

Criterio : CLS_TraviAlte_Esist - Verifica a flessione rcm=395 [kg/cmq],fym=4986 [kg/cmq], FC=1.20 qd=3, qf=1.5 :: **Verificato**

X	M-	M+	ΔM-	ΔM+	Afs	Afi	εc-	εf-	εc+	εf+	C-	C+
cm	kg*m	kg*m	kg*m	kg*m	cmq	cmq						
ILN	72652	9850	--	--	20.36	10.18	-0.58	1.89	-0.09	0.50	(22+23)-IV-2	(22+23)-IV-3
160.0	46665	19339	--	--	12.72	7.63	-0.45	1.92	-0.21	1.30	(22+23)-IV-2	(22+23)-IV-3
CAMP	--	33564	--	--	7.63	10.18	--	--	-0.35	1.71	20	4
1440.0	47316	18656	--	--	12.72	7.63	-0.46	1.94	-0.21	1.25	(22+23)-IV-3	(22+23)-IV-2
FLN	73470	8999	--	--	20.36	10.18	-0.59	1.91	-0.08	0.45	(22+23)-IV-3	(22+23)-IV-2

X	x-	d-	x-/d-	x+	d+	x+/d+	Mr-	Mr+	C-	C+	Stato-	Stato+
cm	cm	cm		cm	cm		kg*m	kg*m				
ILN	22.9	97.0	0.236	14.8	97.0	0.153	79888	40259	(22+23)-IV-2	(22+23)-IV-3	Parz.	Parz.
160.0	18.6	97.0	0.191	13.7	97.0	0.141	50194	30314	(22+23)-IV-2	(22+23)-IV-3	Parz.	Parz.
CAMP	--	--	--	16.6	97.0	0.171	30315	40264	20	4	--	Parz.
1440.0	18.6	97.0	0.191	13.7	97.0	0.141	50194	30314	(22+23)-IV-3	(22+23)-IV-2	Parz.	Parz.
FLN	22.9	97.0	0.236	14.8	97.0	0.153	79888	40259	(22+23)-IV-3	(22+23)-IV-2	Parz.	Parz.

Verifica a taglio:cot(θ) Sin=2.500,cot(θ) Cen=2.500,cot(θ) Des=2.500

Comb Sin=9 Cen=(22+23)-IV-3 Des=7

Sez	Td	VRdns	VRcd	VRsd	VRd	Tpl	Mr	Dx	Staffe
	kg	kg	kg	kg	kg	kg	kg*m	cm	cmq/m
Sin	22764	--	117718	23656	23656	0	40259	100.0	3.00
Cen	20264	--	117718	23656	23656	--	--	--	3.00
Des	22930	--	117718	23656	23656	0	79888	100.0	3.00

Trave : 204 [203 , 211] Pilastrate [3 , 11]

Sez. R: By= 50.0 cm Bz=100.0 cm L=1750.0 cm Ln=1600.0 cm

Criterio : CLS_TraviAlte_Esist - Verifica a flessione rcm=395 [kg/cmq],fym=4986 [kg/cmq], FC=1.20 qd=3, qf=1.5 :: **Verificato**

X	M-	M+	ΔM-	ΔM+	Afs	Afi	εc-	εf-	εc+	εf+	C-	C+
cm	kg*m	kg*m	kg*m	kg*m	cmq	cmq						
ILN	71833	8659	--	--	20.36	10.18	-0.58	1.87	-0.08	0.44	(22+23)-IV-2	(22+23)-IV-3
160.0	46001	18408	--	--	12.72	7.63	-0.45	1.89	-0.20	1.24	(22+23)-IV-2	(22+23)-IV-3
CAMP	--	33769	--	--	7.63	10.18	--	--	-0.36	1.72	20	4
1440.0	46181	18079	--	--	12.72	7.63	-0.45	1.90	-0.20	1.22	(22+23)-IV-3	(22+23)-IV-2
FLN	72077	8267	--	--	20.36	10.18	-0.58	1.88	-0.08	0.42	(22+23)-IV-3	(22+23)-IV-2

X	x-	d-	x-/d-	x+	d+	x+/d+	Mr-	Mr+	C-	C+	Stato-	Stato+
cm	cm	cm		cm	cm		kg*m	kg*m				
ILN	22.9	97.0	0.236	14.8	97.0	0.152	79888	40259	(22+23)-IV-2	(22+23)-IV-3	Parz.	Parz.
160.0	18.5	97.0	0.191	13.7	97.0	0.141	50194	30314	(22+23)-IV-2	(22+23)-IV-3	Parz.	Parz.
CAMP	--	--	--	16.6	97.0	0.171	30315	40264	20	4	--	Parz.
1440.0	18.5	97.0	0.191	13.7	97.0	0.141	50194	30314	(22+23)-IV-3	(22+23)-IV-2	Parz.	Parz.
FLN	22.9	97.0	0.236	14.8	97.0	0.152	79888	40259	(22+23)-IV-3	(22+23)-IV-2	Parz.	Parz.

Verifica a taglio:cot(θ) Sin=2.500,cot(θ) Cen=2.500,cot(θ) Des=2.500

Comb Sin=9 Cen=(22+23)-IV-3 Des=7

Sez	Td	VRdns	VRcd	VRsd	VRd	Tpl	Mr	Dx	Staffe
	kg	kg	kg	kg	kg	kg	kg*m	cm	cmq/m
Sin	22815	--	117666	23656	23656	0	40259	100.0	3.00
Cen	19973	--	117666	23656	23656	--	--	--	3.00
Des	22880	--	117666	23656	23656	0	79888	100.0	3.00

Trave : 205 [204 , 212] Pilastrate [4 , 12]

Sez. R: By= 50.0 cm Bz=100.0 cm L=1750.0 cm Ln=1600.0 cm

Criterio : CLS_TraviAlte_Esist - Verifica a flessione rcm=395 [kg/cmq],fym=4986 [kg/cmq], FC=1.20 qd=3, qf=1.5 ::Verificato

X	M-	M+	ΔM-	ΔM+	Afs	Afi	εc-	εf-	εc+	εf+	C-	C+
cm	kg*m	kg*m	kg*m	kg*m	cmq	cmq						
ILN	69732	6650	--	--	17.81	10.18	-1.72	20.97	-0.06	0.34	(22+23)-IV-2	(22+23)-IV-3
160.0	44311	16809	--	--	12.72	7.63	-0.43	1.82	-0.19	1.13	(22+23)-IV-2	(22+23)-IV-3
CAMP	--	33869	--	--	7.63	10.18	--	--	-0.36	1.73	20	4
1440.0	44493	16480	--	--	12.72	7.63	-0.43	1.83	-0.18	1.11	(22+23)-IV-3	(22+23)-IV-2
FLN	69978	6257	--	--	20.36	10.18	-0.56	1.82	-0.06	0.32	(22+23)-IV-3	(22+23)-IV-2

X	x-	d-	x-/d-	x+	d+	x+/d+	Mr-	Mr+	C-	C+	Stato-	Stato+
cm	cm	cm		cm	cm		kg*m	kg*m				
ILN	7.3	97.0	0.076	15.0	97.0	0.155	70020	40260	(22+23)-IV-2	(22+23)-IV-3	Parz.	Parz.
160.0	18.5	97.0	0.191	13.7	97.0	0.141	50194	30314	(22+23)-IV-2	(22+23)-IV-3	Parz.	Parz.
CAMP	--	--	--	16.6	97.0	0.171	30315	40264	20	4	--	Parz.
1440.0	18.5	97.0	0.191	13.7	97.0	0.141	50194	30314	(22+23)-IV-3	(22+23)-IV-2	Parz.	Parz.
FLN	22.8	97.0	0.235	14.8	97.0	0.152	79888	40259	(22+23)-IV-3	(22+23)-IV-2	Parz.	Parz.

Verifica a taglio:cot(θ) Sin=2.500,cot(θ) Cen=2.500,cot(θ) Des=2.500

Comb Sin=9 Cen=(22+23)-IV-3 Des=7

Sez	Td	VRdns	VRcd	VRsd	VRd	Tpl	Mr	Dx	Staffe
	kg	kg	kg	kg	kg	kg	kg*m	cm	cmq/m
Sin	22813	--	117620	23656	23656	0	40260	100.0	3.00
Cen	19459	--	117620	23656	23656	--	--	--	3.00
Des	22882	--	117620	23656	23656	0	79888	100.0	3.00

Trave : 206 [205 , 213] Pilastrate [5 , 13]

Sez. R: By= 50.0 cm Bz=100.0 cm L=1750.0 cm Ln=1600.0 cm

Criterio : CLS_TraviAlte_Esist - Verifica a flessione rcm=395 [kg/cmq],fym=4986 [kg/cmq], FC=1.20 qd=3, qf=1.5 ::Verificato

X	M-	M+	ΔM-	ΔM+	Afs	Afi	εc-	εf-	εc+	εf+	C-	C+
cm	kg*m	kg*m	kg*m	kg*m	cmq	cmq						
ILN	69033	6440	--	--	17.81	10.18	-1.07	8.19	-0.06	0.33	(22+23)-II-2	(22+23)-II-3
160.0	43744	16637	--	--	12.72	7.63	-0.42	1.80	-0.18	1.12	(22+23)-II-2	(22+23)-II-3
CAMP	--	33909	--	--	7.63	10.18	--	--	-0.36	1.73	20	4
1440.0	44360	16001	--	--	12.72	7.63	-0.43	1.82	-0.18	1.08	(22+23)-II-3	(22+23)-II-2
FLN	69806	5647	--	--	17.81	10.18	-1.88	24.79	-0.05	0.29	(22+23)-II-3	(22+23)-II-2

X	x-	d-	x-/d-	x+	d+	x+/d+	Mr-	Mr+	C-	C+	Stato-	Stato+
cm	cm	cm		cm	cm		kg*m	kg*m				
ILN	11.2	97.0	0.116	15.0	97.0	0.155	70020	40260	(22+23)-II-2	(22+23)-II-3	Parz.	Parz.
160.0	18.5	97.0	0.191	13.7	97.0	0.141	50194	30314	(22+23)-II-2	(22+23)-II-3	Parz.	Parz.
CAMP	--	--	--	16.6	97.0	0.171	30315	40264	20	4	--	Parz.
1440.0	18.5	97.0	0.191	13.7	97.0	0.141	50194	30314	(22+23)-II-3	(22+23)-II-2	Parz.	Parz.
FLN	6.8	97.0	0.071	15.0	97.0	0.155	70020	40260	(22+23)-II-3	(22+23)-II-2	Parz.	Parz.

Verifica a taglio:cot(θ) Sin=2.500,cot(θ) Cen=2.500,cot(θ) Des=2.500

Comb Sin=9 Cen=(22+23)-II-3 Des=7

Sez	Td	VRdns	VRcd	VRsd	VRd	Tpl	Mr	Dx	Staffe
	kg	kg	kg	kg	kg	kg	kg*m	cm	cmq/m
Sin	22763	--	117557	23656	23656	0	40260	100.0	3.00
Cen	19382	--	117557	23656	23656	--	--	--	3.00
Des	22936	--	117557	23656	23656	0	70020	100.0	3.00

Trave : 207 [206 , 214] Pilastrate [6 , 14]

Sez. R: By= 50.0 cm Bz=100.0 cm L=1750.0 cm Ln=1675.0 cm

IperSpaceMax 9.0.1 Copyright© 2016 Soft.Lab:

Criteria : CLS_TraviAlte_Esist - Verifica a flessione rcm=395 [kg/cmq],fym=4986 [kg/cmq], FC=1.20 qd=3, qf=1.5 :: **Verificato**

X	M-	M+	ΔM-	ΔM+	Afs	Afi	εc-	εf-	εc+	εf+	C-	C+
cm	kg*m	kg*m	kg*m	kg*m	cmq	cmq						
ILN	75249	8413	--	--	20.36	10.18	-0.61	1.96	-0.08	0.42	(22+23)-II-2	(22+23)-II-3
167.5	47643	19226	--	--	12.72	7.63	-0.46	1.96	-0.21	1.29	(22+23)-II-2	(22+23)-II-3
CAMP	--	36474	--	--	7.63	10.18	--	--	-0.38	1.86	20	4
1507.5	50522	16954	--	--	15.27	7.63	-0.46	1.74	-0.18	1.14	(22+23)-II-3	(22+23)-II-2
FLN	78772	5498	--	--	20.36	10.18	-1.21	8.86	-0.05	0.28	(22+23)-II-3	(22+23)-II-2

X	x-	d-	x-/d-	x+	d+	x+/d+	Mr-	Mr+	C-	C+	Stato-	Stato+
cm	cm	cm		cm	cm		kg*m	kg*m				
ILN	22.9	97.0	0.236	14.8	97.0	0.152	79888	40259	(22+23)-II-2	(22+23)-II-3	Parz.	Parz.
167.5	18.6	97.0	0.191	13.7	97.0	0.141	50194	30314	(22+23)-II-2	(22+23)-II-3	Parz.	Parz.
CAMP	--	--	--	16.6	97.0	0.171	30315	40264	20	4	--	Parz.
1507.5	20.2	97.0	0.208	13.4	97.0	0.138	60099	30314	(22+23)-II-3	(22+23)-II-2	Parz.	Parz.
FLN	11.7	97.0	0.120	14.8	97.0	0.152	79888	40259	(22+23)-II-3	(22+23)-II-2	Parz.	Parz.

Verifica a taglio:cot(θ) Sin=2.500,cot(θ) Cen=2.500,cot(θ) Des=2.500

Comb Sin=7 Cen=(22+23)-II-3 Des=7

Sez	Td	VRdns	VRcd	VRsd	VRd	Tpl	Mr	Dx	Staffe
	kg	kg	kg	kg	kg	kg	kg*m	cm	cmq/m
Sin	23551	--	117534	23656	23656	0	40259	100.0	3.00
Cen	20583	--	117534	23656	23656	--	--	--	3.00
Des	24282	--	117534	24282	24282	0	79888	100.0	3.08

Trave : 208 [207 , 215] Pilastrate [7 , 15]

Sez. R: By= 50.0 cm Bz=100.0 cm L=1750.0 cm Ln=1600.0 cm

Criteria : CLS_TraviAlte_Esist - Verifica a flessione rcm=395 [kg/cmq],fym=4986 [kg/cmq], FC=1.20 qd=3, qf=1.5 :: **Verificato**

X	M-	M+	ΔM-	ΔM+	Afs	Afi	εc-	εf-	εc+	εf+	C-	C+
cm	kg*m	kg*m	kg*m	kg*m	cmq	cmq						
ILN	79492	16793	--	--	20.36	10.18	-1.80	19.49	-0.15	0.85	(22+23)-II-4	(22+23)-II-1
160.0	52122	24908	--	--	15.27	7.63	-0.47	1.80	-0.27	1.67	(22+23)-II-4	(22+23)-II-1
CAMP	--	33746	--	--	7.63	10.18	--	--	-0.35	1.72	20	4
1440.0	52735	24267	--	--	15.27	7.63	-0.48	1.82	-0.26	1.63	(22+23)-II-1	(22+23)-II-4
FLN	80261	15995	--	--	22.90	12.72	-0.61	1.86	-0.13	0.65	(22+23)-II-1	(22+23)-II-4

X	x-	d-	x-/d-	x+	d+	x+/d+	Mr-	Mr+	C-	C+	Stato-	Stato+
cm	cm	cm		cm	cm		kg*m	kg*m				
ILN	8.2	97.0	0.085	14.9	97.0	0.153	79888	40259	(22+23)-II-4	(22+23)-II-1	Parz.	Parz.
160.0	20.2	97.0	0.208	13.5	97.0	0.139	60099	30314	(22+23)-II-4	(22+23)-II-1	Parz.	Parz.
CAMP	--	--	--	16.6	97.0	0.171	30315	40264	20	4	--	Parz.
1440.0	20.2	97.0	0.209	13.5	97.0	0.139	60099	30314	(22+23)-II-1	(22+23)-II-4	Parz.	Parz.
FLN	23.8	97.0	0.246	16.3	97.0	0.168	89810	50201	(22+23)-II-1	(22+23)-II-4	Parz.	Parz.

Verifica a taglio:cot(θ) Sin=2.500,cot(θ) Cen=2.500,cot(θ) Des=2.500

Comb Sin=(22+23)-II-4 Cen=(22+23)-II-1 Des=(22+23)-II-1

Sez	Td	VRdns	VRcd	VRsd	VRd	Tpl	Mr	Dx	Staffe
	kg	kg	kg	kg	kg	kg	kg*m	cm	cmq/m
Sin	24361	--	117554	24361	24361	0	79888	100.0	3.09
Cen	21983	--	117554	23656	23656	--	--	--	3.00
Des	24459	--	117554	24459	24459	0	50201	100.0	3.10

Trave : 209 [208 , 216] Pilastrate [8 , 16]

Sez. R: By= 50.0 cm Bz=100.0 cm L=1750.0 cm Ln=1600.0 cm

Criteria : CLS_TraviAlte_Esist - Verifica a flessione rcm=395 [kg/cmq],fym=4986 [kg/cmq], FC=1.20 qd=3, qf=1.5 :: **Verificato**

X	M-	M+	ΔM-	ΔM+	Afs	Afi	εc-	εf-	εc+	εf+	C-	C+
cm	kg*m	kg*m	kg*m	kg*m	cmq	cmq						
ILN	77197	19771	--	--	20.36	10.18	-0.77	3.36	-0.18	1.00	(22+23)-II-4	(22+23)-II-1

IperSpaceMax 9.0.1 Copyright© 2016 Soft.Lab:

X	M-	M+	ΔM-	ΔM+	Afs	Afi	εc-	εf-	εc+	εf+	C-	C+
160.0	51420	26156	--	--	15.27	7.63	-0.47	1.77	-0.28	1.76	(22+23)-II-4	(22+23)-II-1
CAMP	29391	25992	--	--	7.63	7.63	-0.37	2.28	-0.31	1.75	(22+23)-II-1	4
1440.0	51646	25916	--	--	15.27	7.63	-0.47	1.78	-0.28	1.74	(22+23)-II-1	(22+23)-II-4
FLN	77482	19473	--	--	20.36	10.18	-0.82	3.87	-0.18	0.98	(22+23)-II-1	(22+23)-II-4

X	x-	d-	x-/d-	x+	d+	x+/d+	Mr-	Mr+	C-	C+	Stato-	Stato+
cm	cm	cm		cm	cm		kg*m	kg*m				
ILN	18.1	97.0	0.187	14.9	97.0	0.153	79888	40259	(22+23)-II-4	(22+23)-II-1	Parz.	Parz.
160.0	20.2	97.0	0.208	13.5	97.0	0.139	60099	30314	(22+23)-II-4	(22+23)-II-1	Parz.	Parz.
CAMP	13.5	97.0	0.139	14.4	97.0	0.148	30316	30316	(22+23)-II-1	4	Parz.	Parz.
1440.0	20.2	97.0	0.208	13.5	97.0	0.139	60099	30314	(22+23)-II-1	(22+23)-II-4	Parz.	Parz.
FLN	17.0	97.0	0.175	14.9	97.0	0.153	79888	40259	(22+23)-II-1	(22+23)-II-4	Parz.	Parz.

Verifica a taglio:cot(θ) Sin=2.500,cot(θ) Cen=2.500,cot(θ) Des=2.500

Comb Sin=(22+23)-II-4 Cen=(22+23)-II-1 Des=(22+23)-II-1

Sez	Td	VRdns	VRcd	VRsd	VRd	Tpl	Mr	Dx	Staffe
	kg	kg	kg	kg	kg	kg	kg*m	cm	cmq/m
Sin	23290	--	117528	23656	23656	0	40259	100.0	3.00
Cen	21089	--	117528	23656	23656	--	--	--	3.00
Des	23326	--	117528	23656	23656	0	79888	100.0	3.00

Trave : 210 [209 , 210] Pilastrate [9 , 10]

Sez. R: By= 50.0 cm Bz=150.0 cm L=371.3 cm Ln=371.3 cm

Criterio : CLS_TraviAlte_Esist - Verifica a flessione rcm=395 [kg/cm²],fym=4986 [kg/cm²], FC=1.20 qd=3, qf=1.5 :: **Verificato**

X	M-	M+	ΔM-	ΔM+	Afs	Afi	εc-	εf-	εc+	εf+	C-	C+
cm	kg*m	kg*m	kg*m	kg*m	cmq	cmq						
ILN	54319	56267	--	--	12.72	12.72	-0.26	1.45	-0.27	1.50	(22+23)-V-3	(22+23)-V-2
37.1	47303	50434	--	--	12.72	12.72	-0.23	1.26	-0.24	1.35	(22+23)-V-3	(22+23)-V-2
CAMP	40552	44351	--	--	12.72	12.72	-0.19	1.08	-0.21	1.18	(22+23)-V-3	(22+23)-V-2
334.2	8195	2246	--	--	12.72	12.72	-0.04	0.22	-0.01	0.06	(22+23)-VII-3	(22+23)-VII-2
FLN	14999	5597	--	--	12.72	12.72	-0.07	0.40	-0.03	0.15	(22+23)-VII-1	(22+23)-VII-4

X	x-	d-	x-/d-	x+	d+	x+/d+	Mr-	Mr+	C-	C+	Stato-	Stato+
cm	cm	cm		cm	cm		kg*m	kg*m				
ILN	22.5	147.0	0.153	22.5	147.0	0.153	76635	76635	(22+23)-V-3	(22+23)-V-2	Parz.	Parz.
37.1	22.4	147.0	0.153	22.5	147.0	0.153	76635	76635	(22+23)-V-3	(22+23)-V-2	Parz.	Parz.
CAMP	22.4	147.0	0.152	22.4	147.0	0.152	76635	76635	(22+23)-V-3	(22+23)-V-2	Parz.	Parz.
334.2	22.1	147.0	0.151	22.1	147.0	0.150	76635	76635	(22+23)-VII-3	(22+23)-VII-2	Parz.	Parz.
FLN	22.2	147.0	0.151	22.1	147.0	0.150	76635	76635	(22+23)-VII-1	(22+23)-VII-4	Parz.	Parz.

Verifica a taglio:cot(θ) Sin=2.500,cot(θ) Cen=2.500,cot(θ) Des=2.500

Comb Sin=(22+23)-V-4 Cen=(22+23)-V-1 Des=(22+23)-V-1

Sez	Td	VRdns	VRcd	VRsd	VRd	Tpl	Mr	Dx	Staffe
	kg	kg	kg	kg	kg	kg	kg*m	cm	cmq/m
Sin	36669	--	176573	36669	36669	0	76635	150.0	3.07
Cen	36257	--	176573	36257	36257	--	--	--	3.03
Des	39726	--	176573	39726	39726	0	76635	150.0	3.32

Trave : 210 [210 , 211] Pilastrate [10 , 11]

Sez. R: By= 50.0 cm Bz=150.0 cm L=371.3 cm Ln=371.3 cm

Criterio : CLS_TraviAlte_Esist - Verifica a flessione rcm=395 [kg/cm²],fym=4986 [kg/cm²], FC=1.20 qd=3, qf=1.5 :: **Verificato**

X	M-	M+	ΔM-	ΔM+	Afs	Afi	εc-	εf-	εc+	εf+	C-	C+
cm	kg*m	kg*m	kg*m	kg*m	cmq	cmq						
ILN	55734	49149	--	--	12.72	12.72	-0.27	1.49	-0.24	1.31	(22+23)-V-3	(22+23)-V-2
37.1	47267	42671	--	--	12.72	12.72	-0.23	1.26	-0.20	1.14	(22+23)-V-3	(22+23)-V-2
CAMP	39110	35987	--	--	12.72	12.72	-0.19	1.04	-0.17	0.96	(22+23)-VII-3	(22+23)-VII-2
334.2	19084	11853	--	--	12.72	12.72	-0.09	0.51	-0.06	0.32	(22+23)-V-1	(22+23)-V-4

IperSpaceMax 9.0.1 Copyright© 2016 Soft.Lab:

X	M-	M+	ΔM-	ΔM+	Afs	Afi	εc-	εf-	εc+	εf+	C-	C+
FLN	27800	17922	--	--	12.72	12.72	-0.13	0.74	-0.09	0.48	(22+23)-V-1	(22+23)-V-4

X	x-	d-	x-/d-	x+	d+	x+/d+	Mr-	Mr+	C-	C+	Stato-	Stato+
cm	cm	cm		cm	cm		kg*m	kg*m				
ILN	22.5	147.0	0.153	22.4	147.0	0.153	76635	76635	(22+23)-V-3	(22+23)-V-2	Parz.	Parz.
37.1	22.4	147.0	0.153	22.4	147.0	0.152	76635	76635	(22+23)-V-3	(22+23)-V-2	Parz.	Parz.
CAMP	22.4	147.0	0.152	22.3	147.0	0.152	76635	76635	(22+23)-VII-3	(22+23)-VII-2	Parz.	Parz.
334.2	22.2	147.0	0.151	22.2	147.0	0.151	76635	76635	(22+23)-V-1	(22+23)-V-4	Parz.	Parz.
FLN	22.3	147.0	0.152	22.2	147.0	0.151	76635	76635	(22+23)-V-1	(22+23)-V-4	Parz.	Parz.

Verifica a taglio:cot(θ) Sin=2.500,cot(θ) Cen=2.500,cot(θ) Des=2.500

Comb Sin=(22+23)-V-3 Cen=(22+23)-V-2 Des=(22+23)-V-2

Sez	Td	VRdns	VRcd	VRsd	VRd	Tpl	Mr	Dx	Staffe
	kg	kg	kg	kg	kg	kg	kg*m	cm	cmq/m
Sin	43395	--	176573	43395	43395	0	76635	150.0	3.63
Cen	40813	--	176573	40813	40813	--	--	--	3.42
Des	44282	--	176573	44282	44282	0	76635	150.0	3.71

Trave : 210 [211 , 212] Pilastrate [11 , 12]

Sez. R: By= 50.0 cm Bz=150.0 cm L=371.3 cm Ln=371.3 cm

Criterio : CLS_TraviAlte_Esist - Verifica a flessione rcm=395 [kg/cmq],fym=4986 [kg/cmq], FC=1.20 qd=3, qf=1.5 :: **Verificato**

X	M-	M+	ΔM-	ΔM+	Afs	Afi	εc-	εf-	εc+	εf+	C-	C+
cm	kg*m	kg*m	kg*m	kg*m	cmq	cmq						
ILN	42988	34806	--	--	12.72	12.72	-0.21	1.15	-0.17	0.93	(22+23)-V-3	(22+23)-V-2
37.1	35174	29416	--	--	12.72	12.72	-0.17	0.94	-0.14	0.79	(22+23)-V-3	(22+23)-V-2
CAMP	27630	23781	--	--	12.72	12.72	-0.13	0.74	-0.11	0.63	(22+23)-V-3	(22+23)-V-2
334.2	23450	18540	--	--	12.72	12.72	-0.11	0.63	-0.09	0.49	(22+23)-V-1	(22+23)-V-4
FLN	31160	24038	--	--	12.72	12.72	-0.15	0.83	-0.11	0.64	(22+23)-V-1	(22+23)-V-4

X	x-	d-	x-/d-	x+	d+	x+/d+	Mr-	Mr+	C-	C+	Stato-	Stato+
cm	cm	cm		cm	cm		kg*m	kg*m				
ILN	22.4	147.0	0.152	22.3	147.0	0.152	76635	76635	(22+23)-V-3	(22+23)-V-2	Parz.	Parz.
37.1	22.3	147.0	0.152	22.3	147.0	0.152	76635	76635	(22+23)-V-3	(22+23)-V-2	Parz.	Parz.
CAMP	22.3	147.0	0.152	22.2	147.0	0.151	76635	76635	(22+23)-V-3	(22+23)-V-2	Parz.	Parz.
334.2	22.2	147.0	0.151	22.2	147.0	0.151	76635	76635	(22+23)-V-1	(22+23)-V-4	Parz.	Parz.
FLN	22.3	147.0	0.152	22.2	147.0	0.151	76635	76635	(22+23)-V-1	(22+23)-V-4	Parz.	Parz.

Verifica a taglio:cot(θ) Sin=2.500,cot(θ) Cen=2.500,cot(θ) Des=2.500

Comb Sin=(22+23)-V-3 Cen=(22+23)-V-3 Des=(22+23)-V-2

Sez	Td	VRdns	VRcd	VRsd	VRd	Tpl	Mr	Dx	Staffe
	kg	kg	kg	kg	kg	kg	kg*m	cm	cmq/m
Sin	39310	--	176573	39310	39310	0	76635	150.0	3.29
Cen	35841	--	176573	35850	35850	--	--	--	3.00
Des	39025	--	176573	39025	39025	0	76635	150.0	3.27

Trave : 210 [212 , 815] Pilastrate [12 , -]

Sez. R: By= 50.0 cm Bz=150.0 cm L=185.6 cm Ln=185.6 cm

Criterio : CLS_TraviAlte_Esist - Verifica a flessione rcm=395 [kg/cmq],fym=4986 [kg/cmq], FC=1.20 qd=3, qf=1.5 :: **Verificato**

X	M-	M+	ΔM-	ΔM+	Afs	Afi	εc-	εf-	εc+	εf+	C-	C+
cm	kg*m	kg*m	kg*m	kg*m	cmq	cmq						
ILN	34715	28424	--	--	12.72	12.72	-0.17	0.93	-0.14	0.76	(22+23)-V-3	(22+23)-V-2
18.6	31010	25904	--	--	12.72	12.72	-0.15	0.83	-0.12	0.69	(22+23)-V-3	(22+23)-V-2
CAMP	27372	23322	--	--	12.72	12.72	-0.13	0.73	-0.11	0.62	(22+23)-V-3	(22+23)-V-2
167.1	3814	3553	--	--	12.72	12.72	-0.02	0.10	-0.02	0.09	(22+23)-V-4	(22+23)-V-1
FLN	1585	1350	--	--	12.72	12.72	-0.01	0.04	-0.01	0.04	(22+23)-VI-3	(22+23)-VI-2

IperSpaceMax 9.0.1 Copyright© 2016 Soft.Lab:

X	x-	d-	x-/d-	x+	d+	x+/d+	Mr-	Mr+	C-	C+	Stato-	Stato+
cm	cm	cm		cm	cm		kg*m	kg*m				
ILN	22.3	147.0	0.152	22.3	147.0	0.152	76635	76635	(22+23)-V-3	(22+23)-V-2	Parz.	Parz.
18.6	22.3	147.0	0.152	22.3	147.0	0.151	76635	76635	(22+23)-V-3	(22+23)-V-2	Parz.	Parz.
CAMP	22.3	147.0	0.152	22.2	147.0	0.151	76635	76635	(22+23)-V-3	(22+23)-V-2	Parz.	Parz.
167.1	22.1	147.0	0.150	22.1	147.0	0.150	76635	76635	(22+23)-V-4	(22+23)-V-1	Parz.	Parz.
FLN	22.1	147.0	0.150	22.1	147.0	0.150	76635	76635	(22+23)-VI-3	(22+23)-VI-2	Parz.	Parz.

Verifica a taglio:cot(θ) Sin=2.500,cot(θ) Des=2.500

Comb Sin=(22+23)-V-3 Des=(22+23)-V-3

Sez	Td	VRdns	VRcd	VRsd	VRd	Tpl	Mr	Dx	Staffe
	kg	kg	kg	kg	kg	kg	kg*m	cm	cmq/m
Sin	37059	--	176573	37059	37059	0	76635	92.8	3.10
Des	34978	--	176573	35850	35850	0	76635	92.8	3.00

Trave : 210 [815 , 213] Pilastrate [- , 13]

Sez. R: By= 50.0 cm Bz=150.0 cm L=185.6 cm Ln=185.6 cm

Criteria : CLS_TraviAlte_Esist - Verifica a flessione rcm=395 [kg/cmq],fym=4986 [kg/cmq], FC=1.20 qd=3, qf=1.5 :: **Verificato**

X	M-	M+	ΔM-	ΔM+	Afs	Afi	εc-	εf-	εc+	εf+	C-	C+
cm	kg*m	kg*m	kg*m	kg*m	cmq	cmq						
ILN	2100	1865	--	--	12.72	12.72	-0.01	0.06	-0.01	0.05	(22+23)-V-4	(22+23)-V-1
18.6	2135	1797	--	--	12.72	12.72	-0.01	0.06	-0.01	0.05	(22+23)-V-1	(22+23)-V-4
CAMP	26223	21560	--	--	12.72	12.72	-0.12	0.70	-0.10	0.58	(22+23)-V-1	(22+23)-V-4
167.1	29936	24139	--	--	12.72	12.72	-0.14	0.80	-0.11	0.64	(22+23)-V-1	(22+23)-V-4
FLN	33714	26656	--	--	12.72	12.72	-0.16	0.90	-0.13	0.71	(22+23)-V-2	(22+23)-V-3

X	x-	d-	x-/d-	x+	d+	x+/d+	Mr-	Mr+	C-	C+	Stato-	Stato+
cm	cm	cm		cm	cm		kg*m	kg*m				
ILN	22.1	147.0	0.150	22.1	147.0	0.150	76635	76635	(22+23)-V-4	(22+23)-V-1	Parz.	Parz.
18.6	22.1	147.0	0.150	22.1	147.0	0.150	76635	76635	(22+23)-V-1	(22+23)-V-4	Parz.	Parz.
CAMP	22.3	147.0	0.151	22.2	147.0	0.151	76635	76635	(22+23)-V-1	(22+23)-V-4	Parz.	Parz.
167.1	22.3	147.0	0.152	22.2	147.0	0.151	76635	76635	(22+23)-V-1	(22+23)-V-4	Parz.	Parz.
FLN	22.3	147.0	0.152	22.3	147.0	0.151	76635	76635	(22+23)-V-2	(22+23)-V-3	Parz.	Parz.

Verifica a taglio:cot(θ) Sin=2.500,cot(θ) Des=2.500

Comb Sin=(22+23)-V-2 Des=(22+23)-V-2

Sez	Td	VRdns	VRcd	VRsd	VRd	Tpl	Mr	Dx	Staffe
	kg	kg	kg	kg	kg	kg	kg*m	cm	cmq/m
Sin	35878	--	176573	35878	35878	0	76635	92.8	3.00
Des	37612	--	176573	37612	37612	0	76635	92.8	3.15

Trave : 210 [213 , 816] Pilastrate [13 , -]

Sez. R: By= 50.0 cm Bz=150.0 cm L=185.6 cm Ln=185.6 cm

Criteria : CLS_TraviAlte_Esist - Verifica a flessione rcm=395 [kg/cmq],fym=4986 [kg/cmq], FC=1.20 qd=3, qf=1.5 :: **Verificato**

X	M-	M+	ΔM-	ΔM+	Afs	Afi	εc-	εf-	εc+	εf+	C-	C+
cm	kg*m	kg*m	kg*m	kg*m	cmq	cmq						
ILN	29018	22387	--	--	12.72	12.72	-0.14	0.77	-0.11	0.60	(22+23)-V-3	(22+23)-V-2
18.6	25333	19958	--	--	12.72	12.72	-0.12	0.68	-0.09	0.53	(22+23)-V-4	(22+23)-V-1
CAMP	21717	17468	--	--	12.72	12.72	-0.10	0.58	-0.08	0.47	(22+23)-V-4	(22+23)-V-1
167.1	2951	2980	--	--	12.72	12.72	-0.01	0.08	-0.01	0.08	(22+23)-V-1	(22+23)-V-4
FLN	5740	5865	--	--	12.72	12.72	-0.03	0.15	-0.03	0.16	(22+23)-V-1	(22+23)-V-4

X	x-	d-	x-/d-	x+	d+	x+/d+	Mr-	Mr+	C-	C+	Stato-	Stato+
cm	cm	cm		cm	cm		kg*m	kg*m				
ILN	22.3	147.0	0.152	22.2	147.0	0.151	76635	76635	(22+23)-V-3	(22+23)-V-2	Parz.	Parz.
18.6	22.3	147.0	0.151	22.2	147.0	0.151	76635	76635	(22+23)-V-4	(22+23)-V-1	Parz.	Parz.
CAMP	22.2	147.0	0.151	22.2	147.0	0.151	76635	76635	(22+23)-V-4	(22+23)-V-1	Parz.	Parz.
167.1	22.1	147.0	0.150	22.1	147.0	0.150	76635	76635	(22+23)-V-1	(22+23)-V-4	Parz.	Parz.

IperSpaceMax 9.0.1 Copyright© 2016 Soft.Lab:

X	x-	d-	x-/d-	x+	d+	x+/d+	Mr-	Mr+	C-	C+	Stato-	Stato+
FLN	22.1	147.0	0.150	22.1	147.0	0.150	76635	76635	(22+23)-V-1	(22+23)-V-4	Parz.	Parz.

Verifica a taglio:cot(θ) Sin=2.500,cot(θ) Des=2.500

Comb Sin=(22+23)-V-3 Des=(22+23)-V-3

Sez	Td	VRdns	VRcd	VRsd	VRd	Tpl	Mr	Dx	Staffe
	kg	kg	kg	kg	kg	kg	kg*m	cm	cmq/m
Sin	36669	--	176573	36669	36669	0	76635	92.8	3.07
Des	34588	--	176573	35850	35850	0	76635	92.8	3.00

Trave : 210 [816 , 214] Pilastrate [- , 14]

Sez. R: By= 50.0 cm Bz=150.0 cm L=185.6 cm Ln=185.6 cm

Criterio : CLS_TraviAlte_Esist - Verifica a flessione rcm=395 [kg/cmq],fym=4986 [kg/cmq], FC=1.20 qd=3, qf=1.5 :: **Verificato**

X	M-	M+	ΔM-	ΔM+	Afs	Afi	εc-	εf-	εc+	εf+	C-	C+
cm	kg*m	kg*m	kg*m	kg*m	cmq	cmq						
ILN	4423	4548	--	--	12.72	12.72	-0.02	0.12	-0.02	0.12	(22+23)-V-1	(22+23)-V-4
18.6	7395	7487	--	--	12.72	12.72	-0.03	0.20	-0.04	0.20	(22+23)-V-1	(22+23)-V-4
CAMP	30730	26985	--	--	12.72	12.72	-0.15	0.82	-0.13	0.72	(22+23)-V-2	(22+23)-V-3
167.1	34348	29540	--	--	12.72	12.72	-0.16	0.92	-0.14	0.79	(22+23)-V-2	(22+23)-V-3
FLN	38033	32033	--	--	12.72	12.72	-0.18	1.02	-0.15	0.86	(22+23)-V-2	(22+23)-V-3

X	x-	d-	x-/d-	x+	d+	x+/d+	Mr-	Mr+	C-	C+	Stato-	Stato+
cm	cm	cm		cm	cm		kg*m	kg*m				
ILN	22.1	147.0	0.150	22.1	147.0	0.150	76635	76635	(22+23)-V-1	(22+23)-V-4	Parz.	Parz.
18.6	22.1	147.0	0.151	22.1	147.0	0.151	76635	76635	(22+23)-V-1	(22+23)-V-4	Parz.	Parz.
CAMP	22.3	147.0	0.152	22.3	147.0	0.152	76635	76635	(22+23)-V-2	(22+23)-V-3	Parz.	Parz.
167.1	22.3	147.0	0.152	22.3	147.0	0.152	76635	76635	(22+23)-V-2	(22+23)-V-3	Parz.	Parz.
FLN	22.4	147.0	0.152	22.3	147.0	0.152	76635	76635	(22+23)-V-2	(22+23)-V-3	Parz.	Parz.

Verifica a taglio:cot(θ) Sin=2.500,cot(θ) Des=2.500

Comb Sin=(22+23)-V-2 Des=(22+23)-V-2

Sez	Td	VRdns	VRcd	VRsd	VRd	Tpl	Mr	Dx	Staffe
	kg	kg	kg	kg	kg	kg	kg*m	cm	cmq/m
Sin	35110	--	176573	35850	35850	0	76635	92.8	3.00
Des	36845	--	176573	36845	36845	0	76635	92.8	3.08

Trave : 210 [214 , 215] Pilastrate [14 , 15]

Sez. R: By= 50.0 cm Bz=150.0 cm L=371.2 cm Ln=371.2 cm

Criterio : CLS_TraviAlte_Esist - Verifica a flessione rcm=395 [kg/cmq],fym=4986 [kg/cmq], FC=1.20 qd=3, qf=1.5 :: **Verificato**

X	M-	M+	ΔM-	ΔM+	Afs	Afi	εc-	εf-	εc+	εf+	C-	C+
cm	kg*m	kg*m	kg*m	kg*m	cmq	cmq						
ILN	24361	17437	--	--	12.72	12.72	-0.12	0.65	-0.08	0.47	(22+23)-V-3	(22+23)-V-2
37.1	16527	11987	--	--	12.72	12.72	-0.08	0.44	-0.06	0.32	(22+23)-V-3	(22+23)-V-2
CAMP	34822	32548	--	--	12.72	12.72	-0.17	0.93	-0.16	0.87	(22+23)-V-1	(22+23)-V-4
334.1	42416	38406	--	--	12.72	12.72	-0.20	1.13	-0.18	1.03	(22+23)-V-1	(22+23)-V-4
FLN	50277	44016	--	--	12.72	12.72	-0.24	1.34	-0.21	1.18	(22+23)-V-1	(22+23)-V-4

X	x-	d-	x-/d-	x+	d+	x+/d+	Mr-	Mr+	C-	C+	Stato-	Stato+
cm	cm	cm		cm	cm		kg*m	kg*m				
ILN	22.3	147.0	0.151	22.2	147.0	0.151	76635	76635	(22+23)-V-3	(22+23)-V-2	Parz.	Parz.
37.1	22.2	147.0	0.151	22.2	147.0	0.151	76635	76635	(22+23)-V-3	(22+23)-V-2	Parz.	Parz.
CAMP	22.3	147.0	0.152	22.3	147.0	0.152	76635	76635	(22+23)-V-1	(22+23)-V-4	Parz.	Parz.
334.1	22.4	147.0	0.152	22.4	147.0	0.152	76635	76635	(22+23)-V-1	(22+23)-V-4	Parz.	Parz.
FLN	22.5	147.0	0.153	22.4	147.0	0.152	76635	76635	(22+23)-V-1	(22+23)-V-4	Parz.	Parz.

Verifica a taglio:cot(θ) Sin=2.500,cot(θ) Cen=2.500,cot(θ) Des=2.500

Comb Sin=(22+23)-V-3 Cen=(22+23)-V-3 Des=(22+23)-V-2

IperSpaceMax 9.0.1 Copyright© 2016 Soft.Lab:

Sez	Td	VRdns	VRcd	VRsd	VRd	Tpl	Mr	Dx	Staffe
	kg	kg	kg	kg	kg	kg	kg*m	cm	cmq/m
Sin	39986	--	176573	39986	39986	0	76635	150.0	3.35
Cen	36517	--	176573	36517	36517	--	--	--	3.06
Des	39807	--	176573	39807	39807	0	76635	150.0	3.33

Trave : 210 [215 , 216] Pilastrate [15 , 16]

Sez. R: $B_y=50.0\text{ cm}$ $B_z=150.0\text{ cm}$ $L=371.2\text{ cm}$ $L_n=371.2\text{ cm}$

Criteria : CLS_TraviAlte_Esist - Verifica a flessione $r_{cm}=395\text{ [kg/cmq]}$, $f_{ym}=4986\text{ [kg/cmq]}$, $FC=1.20$ $q_d=3$, $q_f=1.5$:: **Verificato**

X	M-	M+	$\Delta M-$	$\Delta M+$	Afs	Afi	ϵ_c-	ϵ_f-	ϵ_c+	ϵ_f+	C-	C+
cm	kg*m	kg*m	kg*m	kg*m	cmq	cmq						
ILN	12607	3690	--	--	12.72	12.72	-0.06	0.34	-0.02	0.10	(22+23)-V-1	(22+23)-V-4
37.1	7467	1936	--	--	12.72	12.72	-0.04	0.20	-0.01	0.05	(22+23)-V-1	(22+23)-V-4
CAMP	34683	38425	--	--	12.72	12.72	-0.17	0.93	-0.18	1.03	(22+23)-V-2	(22+23)-V-3
334.1	40383	43389	--	--	12.72	12.72	-0.19	1.08	-0.21	1.16	(22+23)-V-2	(22+23)-V-3
FLN	46350	48106	--	--	12.72	12.72	-0.22	1.24	-0.23	1.28	(22+23)-V-2	(22+23)-V-3

X	x-	d-	x-/d-	x+	d+	x+/d+	Mr-	Mr+	C-	C+	Stato-	Stato+
cm	cm	cm		cm	cm		kg*m	kg*m				
ILN	22.2	147.0	0.151	22.1	147.0	0.150	76635	76635	(22+23)-V-1	(22+23)-V-4	Parz.	Parz.
37.1	22.1	147.0	0.151	22.1	147.0	0.150	76635	76635	(22+23)-V-1	(22+23)-V-4	Parz.	Parz.
CAMP	22.3	147.0	0.152	22.4	147.0	0.152	76635	76635	(22+23)-V-2	(22+23)-V-3	Parz.	Parz.
334.1	22.4	147.0	0.152	22.4	147.0	0.152	76635	76635	(22+23)-V-2	(22+23)-V-3	Parz.	Parz.
FLN	22.4	147.0	0.153	22.4	147.0	0.153	76635	76635	(22+23)-V-2	(22+23)-V-3	Parz.	Parz.

Verifica a taglio: $\cot(\theta)$ Sin=2.500, $\cot(\theta)$ Cen=2.500, $\cot(\theta)$ Des=2.500

Comb Sin=(22+23)-V-3 Cen=(22+23)-V-3 Des=(22+23)-V-2

Sez	Td	VRdns	VRcd	VRsd	VRd	Tpl	Mr	Dx	Staffe
	kg	kg	kg	kg	kg	kg	kg*m	cm	cmq/m
Sin	33865	--	176573	35850	35850	0	76635	150.0	3.00
Cen	30396	--	176573	35850	35850	--	--	--	3.00
Des	30990	--	176573	35850	35850	0	76635	150.0	3.00